

สำนักหอสมุดกลาง พระจอมเกล้าลาดกระบัง

ผลของโซเดียมไฮดรอกไซด์และ/หรือมาลิกแอนไฮไดรด์-กราฟท์-
พอลิพรอพิลีนที่มีต่อสมบัติต่าง ๆ ของพอลิพรอพิลีนเสริมแรงด้วยขี้เลื่อยจาก
ไม้เต็งนอก

**EFFECT OF SODIUM HYDROXIDE AND/OR MALEIC ANHYDRIDE-
GRAFTED-POLYPROPYLENE (MAPP) ON PROPERTIES OF
POLYPROPYLENE REINFORCED BY MARANTI SAWDUST**

(*Shorea foxworthyi*)



นริศรา บุตรพริ้ง

NARISSARA BUTPRING

กพ.
๒๕๕๓
๒๕๕๐

เลขหมู่.....
เลขทะเบียน **74830**
วัน,เดือน,ปี **11 ต.ค. 2550**

b. 118 29941
i.

วิทยานิพนธ์นี้เป็นส่วนหนึ่งของการศึกษาตามหลักสูตรปริญญาวิทยาศาสตรมหาบัณฑิต

สาขาวิชาเทคโนโลยีพอลิเมอร์

บัณฑิตวิทยาลัย

สถาบันเทคโนโลยีพระจอมเกล้าเจ้าคุณทหารลาดกระบัง

เอกสารนี้เป็นเอกสารที่สงวนไว้สำหรับการใช้งานเพื่อ พ.ศ.2550 เท่านั้น ไม่อนุญาตให้นำไปใช้ประโยชน์ด้านการค้า
ไม่ว่ากรณีใดๆทั้งสิ้น อีกทั้งห้ามมิให้ตัดแปลงเนื้อหา และต้องอ้างอิงถึงเจ้าของเอกสารทุกครั้งที่มีการนำไปใช้

**EFFECT OF SODIUM HYDROXIDE AND/OR MALEIC ANHYDRIDE-GRAFTED-
POLYPROPYLENE (MAPP) ON PROPERTIES OF POLYPROPYLENE REINFORCED
BY MARANTI SAWDUST (*Shorea foxworthyi*)**



**A THESIS SUBMITTED IN PARTIAL FULFILLMENT
OF THE REQUIREMENT FOR THE DEGREE OF
MASTER OF SCIENCE IN POLYMER TECHNOLOGY
SCHOOL OF GRADUATE STUDIES
KING MONGKUT'S INSTITUTE OF TECHNOLOGY LADKRABANG**

2007

เอกสารนี้เป็นเอกสารที่สงวนไว้สำหรับการใช้งานเพื่อการศึกษาเท่านั้น ไม่อนุญาตให้นำไปใช้ประโยชน์ด้านการค้า
ไม่ว่ากรณีใดๆทั้งสิ้น อีกทั้งห้ามมิให้ดัดแปลงเนื้อหา และต้องอ้างอิงถึงเจ้าของเอกสารทุกครั้งที่มีการนำไปใช้



COPYRIGHT 2007

SCHOOL OF GRADUATE STUDIES

KING MONGKUT'S INSTITUTE OF TECHNOLOGY LADKRABANG

เอกสารนี้เป็นเอกสารที่สงวนไว้สำหรับการใช้งานเพื่อการศึกษาเท่านั้น ไม่อนุญาตให้นำไปใช้ประโยชน์ด้านการค้า
ไม่ว่ากรณีใดๆทั้งสิ้น อีกทั้งห้ามมิให้ดัดแปลงเนื้อหา และต้องอ้างอิงถึงเจ้าของเอกสารทุกครั้งที่มีการนำไปใช้

หัวข้อวิทยานิพนธ์

ผลของโซเดียมไฮดรอกไซด์และ/หรือมาลิกแอนไฮดรยด์ - กราฟท์-พอลิพรอพิลีนที่มีต่อสมบัติต่าง ๆ ของพอลิพรอพิลีน เสริมแรงด้วยขี้เลื่อยจากไม้เต็งนอก

นักศึกษา

นางสาวนริศรา บุตรพริง

รหัสประจำตัว

45064404

ปริญญา

วิทยาศาสตรมหาบัณฑิต

สาขาวิชา

เทคโนโลยีพอลิเมอร์

อาจารย์ที่ปรึกษาวิทยานิพนธ์

ผศ.ดร.จุฑารัตน์ ปรัชญาวรากร

บทคัดย่อ

งานวิจัยนี้เป็นการศึกษาถึงสมบัติต่าง ๆ ของพอลิพรอพิลีนคอมโพสิตที่ใช้ขี้เลื่อยจากไม้เนื้อแข็งชนิดไม้เต็งนอกเป็นสารเสริมแรง ทำการผสมโดยใช้เครื่องอัดรีดชนิดเกลียวหนอนเดี่ยว และขึ้นรูปโดยการกดอัด โดยศึกษาถึงผลของปริมาณและขนาดอนุภาคของขี้เลื่อยที่มีต่อสมบัติทางเชิงกลและสมบัติทางกายภาพของพอลิพรอพิลีน นอกจากนี้ทำการปรับปรุงพื้นผิวขี้เลื่อยด้วยสารละลายโซเดียมไฮดรอกไซด์ (NaOH) และ/หรือใช้สารช่วยผสมพอลิพรอพิลีนต่อกิ่งด้วยมาลิกแอนไฮดรยด์ (MAPP) พบว่าปริมาณและขนาดอนุภาคของขี้เลื่อยที่ให้สมบัติโดยรวมดีที่สุด คือ วัสดุคอมโพสิตระหว่างพอลิพรอพิลีนกับขี้เลื่อยขนาดมากกว่าหรือเท่ากับ 100 เมช ปริมาณ 30% โดยน้ำหนัก จากผลของสารช่วยผสม MAPP พบว่าช่วยให้สมบัติเชิงกลโดยรวมดีขึ้น คือ ความแข็งแรงดึง ร้อยละการดึงยืด ณ จุดคราก มอดูลัสแรงดึง ความแข็งแรงโค้งงอ และมอดูลัสโค้งงอมีแนวโน้มดีขึ้น ส่วนการปรับปรุงพื้นผิวด้วย NaOH พบว่าที่ความเข้มข้น 5% โดยน้ำหนัก เป็นเวลา 60 นาที ให้สมบัติโดยรวมดีที่สุด ส่วนการปรับปรุงพื้นผิวด้วย NaOH เข้มข้น 5% โดยน้ำหนัก เป็นเวลา 60 นาที ร่วมกับการใช้สารช่วยผสม MAPP ร้อยละ 5 โดยน้ำหนักขี้เลื่อยให้สมบัติโดยรวมดีที่สุด จากการศึกษาสมบัติทางความร้อนด้วย TGA พบว่าวัสดุคอมโพสิตที่มีการบำบัดด้วยโซเดียมไฮดรอกไซด์และ/หรือการใช้สารช่วยผสม MAPP ช่วยให้อุณหภูมิเริ่มต้นการเสถสภาพมีแนวโน้มเพิ่มขึ้นเล็กน้อย นอกจากนี้วัสดุคอมโพสิตมีแนวโน้มการดูดซึมน้ำเพิ่มขึ้นเมื่อมีการใช้ขี้เลื่อยเป็นสารเสริมแรง เมื่อใช้สารช่วยผสม MAPP พบว่าร้อยละการดูดซึมน้ำมีแนวโน้มลดลง แต่การใช้ NaOH ทำให้ร้อยละการดูดซึมน้ำมีแนวโน้มเพิ่มขึ้น

Thesis Title Effect of Sodium hydroxide and/or Maleic anhydride-grafted-Polypropylene (MAPP) on Properties of Polypropylene Reinforced By Meranti Sawdust (*Shorea foxworthyi*)

Student Ms.Narissara Butpring

Student ID. 45064404

Degree Master of Science

Program Polymer Technology

Thesis Advisor Asst.Prof.Dr.Jutarat Prachayawarakorn

ABSTRACT

This research aimed to study properties of polypropylene composites reinforced by Meranti hardwood sawdust. The composites were compounded in a single-screw extruder and then compressed into testing specimens using a compression molding machine. The influence of filler loadings and filler particle sizes on physical and mechanical properties of PP were studied. In addition, the sawdust was surface-treated with sodium hydroxide (NaOH) and/or maleic anhydride-grafted-polypropylene (MAPP) compatibilizer. It was found that the suitable content and particle size of the sawdust were 30% and more than 100 mesh. The mechanical property improvement, i.e. tensile strength, elongation at yield, Young's modulus, flexural strength and flexural modulus were obtained from the use of MAPP compatibilizer. In addition, similar property enhancement was found with the NaOH treatment. It was shown that the optimum concentration and time for NaOH treatment were 5% and 60 min, respectively. Moreover, the NaOH treatment and the addition of compatibilizer resulted in the greatest overall mechanical properties. The result from TGA technique showed that the use of NaOH and/or MAPP caused the slight increase of the onset thermal decomposition temperatures of the composites. Furthermore, water absorption of composites increased with the incorporation of the sawdust and the MAPP. However, NaOH treatment brought about the decrease of the water absorption of the composites.

กิตติกรรมประกาศ

วิทยานิพนธ์ฉบับนี้สำเร็จลุล่วงได้เป็นอย่างดีด้วยการได้รับคำแนะนำและคำปรึกษาเกี่ยวกับการทำงานวิจัยในครั้งนี้จาก ผศ.ดร.จุฑารัตน์ ปรัชญาวารากร ซึ่งเป็นอาจารย์ผู้ควบคุมวิทยานิพนธ์ ผู้วิจัยรู้สึกซาบซึ้งในความอนุเคราะห์จากท่านและขอกราบขอบพระคุณเป็นอย่างสูง

ขอขอบพระคุณ ผศ.ดร.สุปราณี แก้วภิรมย์ เป็นอย่างสูงในความกรุณามาเป็นกรรมการสอบวิทยานิพนธ์ในครั้งนี้ และได้ให้คำแนะนำและแก้ไขในการทำวิจัยให้ประสบผลสำเร็จไปด้วยดี

ขอขอบพระคุณ รศ.ดร.อิทธิพล แจ่มจัต และ ผศ.ดร.ชลลดา ฤตวิรุฬห์ ที่ให้คำแนะนำและแก้ไขปัญหาในบางจุดเกี่ยวกับงานวิจัยนี้ ซึ่งมีส่วนช่วยให้ผู้วิจัยสามารถดำเนินการวิจัยลุล่วงไปด้วยดี

ขอขอบคุณบริษัท HMC Polymers Company Limited ที่ให้ความอนุเคราะห์พอลิพรอพิลีน

ขอขอบคุณบริษัท Innovation Group ที่ให้ความอนุเคราะห์พอลิพรอพิลีนต่อกิ่งด้วยมาเลอิกแอนไฮไดรด์ (Maleic anhydride grafted polypropylene, MAPP)

ขอขอบคุณร้านค้าไม้ตลาดบางโพ ที่ให้ความอนุเคราะห์ไม้เต็งนอกที่คัดแยกแล้ว

สุดท้ายขอขอบคุณเพื่อน ๆ นักศึกษาทุกคนที่ช่วยเหลือและให้คำแนะนำต่าง ๆ อีกทั้งคอยให้กำลังใจให้แก่ผู้วิจัยมาโดยตลอด นอกจากนี้ขอขอบคุณครอบครัวของผู้วิจัยที่คอยเป็นกำลังใจที่ดีและสนับสนุนช่วยเหลือในการทำงานวิจัยจนสำเร็จสมบูรณ์ยิ่งขึ้น

คุณค่าและประโยชน์อันพึงมีจากวิทยานิพนธ์ฉบับนี้ ผู้วิจัยขอบพระคุณผู้มีพระคุณทุกท่าน

นางสาวนริศรา บุตรพริ้ง

สารบัญ

	หน้า
บทคัดย่อภาษาไทย.....	I
บทคัดย่อภาษาอังกฤษ.....	II
กิตติกรรมประกาศ.....	III
สารบัญ.....	IV
สารบัญตาราง	VIII
สารบัญรูป.....	IX
บทที่ 1 บทนำ.....	1
1.1 ความสำคัญและที่มาของงานวิจัย.....	1
1.2 วัตถุประสงค์ของงานวิจัย.....	4
1.3 ขอบเขตของงานวิจัย.....	5
1.4 ผลที่คาดว่าจะได้รับ.....	5
	1.5
บทที่ 2 ทฤษฎีและหลักการ.....	6
2.1 พอลิพรอพิลีน.....	6
2.1.1 สมบัติทางกายภาพและการนำไปใช้.....	6
2.1.1.1 ข้อดีของพอลิพรอพิลีน.....	7
2.1.1.2 ข้อด้อยของพอลิพรอพิลีน.....	8
2.2 ไม้ตั้งนอก.....	8
2.2.1 เส้นใยไม้.....	10
2.2.2 องค์ประกอบทางเคมีของไม้.....	11
2.2.3 องค์ประกอบอินทรีย์ของเส้นใยไม้.....	11
2.2.3.1 เซลลูโลส.....	11
2.2.3.2 เฮมิเซลลูโลส.....	13
2.2.3.3 ลิกนิน.....	14
2.2.3.4 เพคติน.....	15
2.3 คอมโพสิต.....	15
2.3.1 องค์ประกอบหลักของคอมโพสิต.....	16

เอกสารนี้เป็นเอกสารที่สงวนไว้สำหรับการใช้งานเพื่อการศึกษาเท่านั้น ไม่อนุญาตให้นำไปใช้ประโยชน์ด้านการค้า
ไม่ว่ากรณีใดๆทั้งสิ้น อีกทั้งห้ามมิให้ดัดแปลงเนื้อหา และต้องอ้างอิงถึงเจ้าของเอกสารทุกครั้งที่มีการนำไปใช้

สารบัญ (ต่อ)

	หน้า
3.4.3.1 Diferential Scanning Calorimeter (DSC).....	37
3.4.3.2 อุณหภูมิการสลายตัว.....	38
3.4.4 สัณฐานวิทยา.....	38
3.4.4.1 กล้องจุลทรรศน์อิเล็กตรอนแบบส่องกราด.....	38
3.4.5 อินฟราเรดสเปกโทรสโกปี.....	38
บทที่ 4 ผลการทดลองและวิจารณ์ผลการทดลอง.....	39
4.1 การหาอัตราส่วนความยาวต่อเส้นผ่านศูนย์กลาง.....	40
4.2 สัณฐานวิทยา.....	42
4.2.1 ผลสัณฐานวิทยาขนาดและปริมาณขี้เลื่อย.....	42
4.2.2 ผลสัณฐานวิทยาของสารช่วยผสม.....	44
4.2.3 ผลสัณฐานวิทยาของการปรับปรุงพื้นผิวด้วย โซเดียม ไฮดรอกไซด์.....	46
4.2.4 ผลสัณฐานวิทยาของสารช่วยผสม และปรับปรุงพื้นผิวด้วย โซเดียมไฮดรอกไซด์.....	49
4.3 การวิเคราะห์หมู่ฟังก์ชัน โดยเทคนิค FT-IR.....	50
4.4 สมบัติทางความร้อน.....	53
4.4.1 อุณหภูมิการสลายตัว (Thermal degradation).....	53
4.4.2 อุณหภูมิการหลอมเหลว (Melt temperature, T_m) อุณหภูมิการเกิดผลึก (Crystallization temperature, T_c) และปริมาณความเป็นผลึก (Degree of crystallinity).....	56
4.5 สมบัติเชิงกล.....	57
4.5.1 ผลของขนาดและปริมาณขี้เลื่อย.....	57
4.5.1.1 สมบัติทางแรงดึง.....	57
4.5.1.2 สมบัติทางแรงโค้งงอ.....	60
4.5.1.3 ความแข็งแรงกระแทก.....	62
4.5.1.4 ความแข็งกด.....	63
4.5.2 ผลของปริมาณสารช่วยผสมมาลิกแอ็นไฮดรยด์กราฟ พอลิพรอพิลีน.....	64
4.5.2.1 สมบัติทางแรงดึง.....	65

เอกสารนี้เป็นเอกสารที่สงวนไว้สำหรับการใช้งานเพื่อการศึกษาเท่านั้น ไม่อนุญาตให้นำไปใช้ประโยชน์ด้านการค้า
ไม่ว่ากรณีใดๆทั้งสิ้น อีกทั้งห้ามมิให้ดัดแปลงเนื้อหา และต้องอ้างอิงถึงเจ้าของเอกสารทุกครั้งที่มีการนำไปใช้

สารบัญ (ต่อ)

	หน้า
4.5.2.2 สมบัติทางแรงโค้งงอ.....	67
4.5.2.3 ความแข็งแรงกระแทก.....	68
4.5.2.4 ความแข็งกด.....	69
4.5.3 ผลของโซเดียมไฮดรอกไซด์.....	70
4.5.3.1 สมบัติทางแรงดึง.....	71
4.5.3.2 สมบัติทางแรงโค้งงอ.....	73
4.5.3.3 ความแข็งแรงกระแทก.....	75
4.5.3.4 ความแข็งกด.....	76
4.5.4 ผลของโซเดียมไฮดรอกไซด์และมาลิกแอนไฮดรายด์.....	77
4.5.4.1 สมบัติทางแรงดึง.....	77
4.5.4.2 สมบัติทางแรงโค้งงอ.....	79
4.5.4.3 ความแข็งแรงกระแทกและความแข็งกด.....	81
4.6 สมบัติทางกายภาพ.....	83
บทที่ 5 สรุปผลการวิจัยและข้อเสนอแนะ.....	86
เอกสารอ้างอิง.....	88
ภาคผนวก	
ภาคผนวก ก.....	93
ภาคผนวก ข.....	97
ภาคผนวก ค.....	98
ภาคผนวก ง.....	105
ภาคผนวก จ.....	108
ประวัติผู้เขียน.....	110

สารบัญตาราง

ตารางที่	หน้า
1.1 แสดงการเติบโตของตลาด Filler Compound ในอเมริกาเหนือ.....	2
2.1 สมบัติบางประการของพอลิพรอพิลีนเชิงพาณิชย์.....	7
2.2 สมบัติทางธรรมชาติของไม้เต็งนอก.....	9
2.3 ประเภทของไม้ตามมาตรฐานกรมป่าไม้.....	10
2.4 ส่วนประกอบต่าง ๆ ของไม้เนื้อแข็งและไม้เนื้ออ่อน.....	11
2.5 ข้อดีและข้อเสียของคอม โพลีต.....	19
3.1 สมบัติของพอลิพรอพิลีน (Moplen [®] HP550R).....	29
3.2 สมบัติของพอลิพรอพิลีนต่อกิ่งด้วยมาลิกแอนไฮดรไรด์ (Fusabond [®] P MD353D)	30
3.3 ส่วนผสมต่าง ๆ ที่ใช้ในการเตรียมตัวอย่างทดสอบ.....	32
3.4 มาตรฐานต่าง ๆ ในการทดสอบพอลิเมอร์คอม โพลีต.....	34
4.1 ค่าเฉลี่ยของอัตราส่วนความยาวต่อเส้นผ่านศูนย์กลางของขี้เลื่อยจาก 10 ตัวอย่าง.....	42
4.2 แสดงตำแหน่งสเปกตรัมของวัสดุผสมระหว่างพอลิพรอพิลีนและขี้เลื่อย.....	50
4.3 อุณหภูมิการสลายตัวของพอลิพรอพิลีน ขี้เลื่อยที่ปรับปรุงและไม่ปรับปรุงพื้นผิวด้วย โซเดียมไฮดรอกไซด์	54
4.4 อุณหภูมิการเกิดผลึก เอนทัลปี และปริมาณความเป็นผลึกของพอลิพรอพิลีนใน วัสดุผสมระหว่างพอลิพรอพิลีนกับขี้เลื่อยที่เติมและไม่เติมสารช่วยผสม MAPP และ ขี้เลื่อยปรับปรุงพื้นผิวด้วยสารละลายโซเดียมไฮดรอกไซด์ที่มีความเข้มข้น 5% และ ... 15% โดยน้ำหนักนาน 60 นาที.....	56
ก.1 ความแข็งแรงดึง.....	98
ก.2 ร้อยละการดึงยืด ณ จุดคราก.....	99
ก.3 มอดุลัสแรงดึง.....	100
ก.4 ความแข็งแรงโค้งงอ.....	101
ก.5 มอดุลัสโค้งงอ.....	102
ก.6 ความแข็งแรงกระแทก.....	103
ก.7 ความแข็งกด.....	104
จ.1 ร้อยละการดูดซับน้ำ.....	108

เอกสารนี้เป็นเอกสารที่สงวนไว้สำหรับการใช้งานเพื่อการศึกษาเท่านั้น ไม่อนุญาตให้นำไปใช้ประโยชน์ด้านการค้า
ไม่ว่ากรณีใดๆทั้งสิ้น อีกทั้งห้ามมิให้ดัดแปลงเนื้อหา และต้องอ้างอิงถึงเจ้าของเอกสารทุกครั้งที่มีการนำไปใช้

สารบัญรูป

รูปที่	หน้า
1.1 ตัวอย่างงานวัสดุคอมโพสิตจากพลาสติกและไม้.....	1
1.2 การเติบโตตลาด และปริมาณการใช้ WPC ของอเมริกาเหนือปี 2543.....	2
1.3 การเปรียบเทียบค่าความถ่วงจำเพาะของสารตัวเติมชนิดต่าง ๆ.....	3
1.4 การเปรียบเทียบราคาค่าต้นทุนของสารตัวเติมชนิดต่าง ๆ.....	3
2.1 ไม้เต็งนอกที่ใช้ในงานวิจัยนี้.....	9
2.2 โครงสร้างของเซลลูโลส.....	11
2.3 แบบจำลองการจัดเรียงตัวของผลึกและอสัณฐานของเซลลูโลส.....	12
2.4 โครงสร้างของเฮมิเซลลูโลส.....	13
2.5 โครงสร้างของลิกนิน.....	14
2.6 การจัดเรียงตัวของเซลลูโลส เฮมิเซลลูโลส และลิกนิน.....	15
2.7 ตัวอย่างคอมโพสิตที่มีส่วนเสริมแรงต่างกัน.....	16
2.8 ประเภทของวัสดุคอมโพสิต โดยแบ่งตามลักษณะของส่วนเสริมแรง.....	18
2.9 การกระตุ้น โคลอติเมอร์ด้วยความร้อน.....	22
2.10 ปฏิกริยาเอสเทอร์ฟิเคชันของเซลลูโลส.....	22
4.1 ภาพถ่ายจากกล้องจุลทรรศน์อิเล็กตรอนแบบส่องกราดกำลังขยาย 20 เท่าของซีลี้อยที่มี (ก) ขนาด 12-34 เมช (ข) ขนาด 35-99 เมช และ (ค) มากกว่าหรือเท่ากับ 100 เมช.....	41
4.2 ภาพถ่ายจากกล้องจุลทรรศน์อิเล็กตรอนแบบส่องกราดกำลังขยาย 30 เท่าของ (ก) วัสดุผสมระหว่างพอลิพรอพิลีนกับซีลี้อยที่มีขนาด 12-34 เมช และ (ข) วัสดุผสมระหว่างพอลิพรอพิลีนกับซีลี้อยที่มีขนาดมากกว่าหรือเท่ากับ 100 เมช.....	43
4.3 ภาพถ่ายจากกล้องจุลทรรศน์อิเล็กตรอนแบบส่องกราดกำลังขยาย 200 เท่าของ (ก) วัสดุผสมระหว่างพอลิพรอพิลีนกับซีลี้อยที่มีขนาด 12-34 เมช และ (ข) วัสดุผสมระหว่างพอลิพรอพิลีนกับซีลี้อยที่มีขนาดมากกว่าหรือเท่ากับ 100 เมช.....	43
4.4 ภาพถ่ายจากกล้องจุลทรรศน์อิเล็กตรอนแบบส่องกราดกำลังขยาย 30 และ 200 เท่าของ (ก) ไม้ใช้สารช่วยผสม (ข) ใช้สารช่วยผสมร้อยละ 5.....	45

สารบัญรูป (ต่อ)

รูปที่	หน้า
4.5	
ภาพถ่ายจากกล้องจุลทรรศน์อิเล็กตรอนแบบส่องกราดกำลังขยาย 20 และ 500 เท่า ของซีลีอ์ที่มีขนาดน้อยกว่าหรือเท่ากับ 100 เมช	
(ก)	ซีลีอ์ก่อนปรับปรุงพื้นผิว
(ข)	ซีลีอ์ที่ปรับปรุงพื้นผิวด้วยโซเดียมไฮดรอกไซด์เข้มข้น 5% โดยน้ำหนักต่อปริมาตรเป็นเวลา 60 นาที
(ค)	ซีลีอ์ที่ปรับปรุงพื้นผิวด้วยโซเดียมไฮดรอกไซด์เข้มข้น 15% โดยน้ำหนักต่อปริมาตรเป็นเวลา 60 นาที.....47
4.6	
ภาพถ่ายพื้นผิวจากกล้องจุลทรรศน์อิเล็กตรอนแบบส่องกราดของวัสดุคอมโพสิต ระหว่างพอลิพรอพิลีนกับซีลีอ์ที่มีขนาดน้อยกว่าหรือเท่ากับ 100 เมช กำลังขยาย 30 และ 1000 เท่า ตามลำดับ	
(ก)	วัสดุคอมโพสิตที่ไม่มีการปรับปรุงพื้นผิว
(ข)	ปรับปรุงพื้นผิวด้วย โซเดียมไฮดรอกไซด์ เข้มข้น 5% โดยน้ำหนักต่อปริมาตร เป็นเวลา 60 นาที และ
(ค)	ปรับปรุงพื้นผิวด้วย โซเดียมไฮดรอกไซด์ เข้มข้น 15% โดยน้ำหนักต่อปริมาตรเป็น เวลา 60 นาที48
4.7	
ภาพถ่ายพื้นผิววัสดุคอมโพสิตที่ปรับปรุงพื้นผิวซีลีอ์ที่มีขนาด น้อยกว่าหรือเท่ากับ 100 เมช ด้วยโซเดียมไฮดรอกไซด์เข้มข้น 5% โดยน้ำหนักเป็นเวลา 60 นาที และเติมสารช่วยผสม มาลิกแอ็นไฮดรยด์กราฟ พอลิพรอพิลีนร้อยละ 5 โดยน้ำหนักซีลีอ์ จากกล้องจุลทรรศน์อิเล็กตรอนแบบ ส่องกราด (ก) กำลังขยาย 200 เท่า และ (ข) กำลังขยาย 1,000 เท่า.....49	
4.8	อินฟราเรดสเปกตรัมของ (ก) พอลิพรอพิลีน (ข) ซีลีอ์ และ (ค) วัสดุคอมโพสิต51
4.9	
อินฟราเรดสเปกตรัมของวัสดุคอมโพสิต	
(ก)	ซีลีอ์ปรับปรุงพื้นผิวด้วยโซเดียมไฮดรอกไซด์ความเข้มข้น 5% โดยน้ำหนักต่อ ปริมาตร นาน 60 นาที
(ข)	เติมสารช่วยผสม มาลิกแอ็นไฮดรยด์กราฟพอลิพรอพิลีน 5% โดยน้ำหนักซีลีอ์
(ค)	ซีลีอ์ปรับปรุงพื้นผิวด้วยโซเดียมไฮดรอกไซด์ความเข้มข้น 5% โดยน้ำหนักต่อ ปริมาตร นาน 60 นาที และเติมสารช่วยผสม มาลิกแอ็นไฮดรยด์กราฟพอลิพรอพิลีน 5% โดยน้ำหนักซีลีอ์

สารบัญรูป (ต่อ)

รูปที่	หน้า
(ง) ไม่มีการปรับปรุงการยึดเกาะระหว่างวัฏภาค.....	52
4.10 TG เทอร์โมแกรมของพอลิพรอพิลีน ขี้เลื่อย และวัสดุคอมโพสิตระหว่างพอลิพรอพิลีนและขี้เลื่อยที่มีขนาดขี้เลื่อยน้อยกว่าหรือเท่ากับ 100 เมช.....	53
4.11 (ก) TG และ (ข) DTG เทอร์โมแกรมของวัสดุคอมโพสิตระหว่างพอลิพรอพิลีนและขี้เลื่อยที่มีขนาดขี้เลื่อยมากกว่าหรือเท่ากับ 100 เมช วัสดุคอมโพสิตที่เติมสารช่วยผสมมาลิกแอนไฮดรยด์ กราฟพอลิพรอพิลีน 5% โดยน้ำหนักขี้เลื่อย วัสดุคอมโพสิตที่ปรับปรุงพื้นผิวขี้เลื่อยด้วยไฮเดียมไฮดรอกไซด์เข้มข้น 5% โดยน้ำหนักเป็นเวลา 60 นาที และวัสดุคอมโพสิตที่เติมสารช่วยผสมมาลิกแอนไฮดรยด์กราฟพอลิพรอพิลีน 5% โดยน้ำหนักขี้เลื่อย และปรับปรุงพื้นผิวขี้เลื่อยด้วยไฮเดียมไฮดรอกไซด์เข้มข้น 5% โดยน้ำหนักเป็นเวลา 60 นาที โดยมีปริมาณขี้เลื่อยร้อยละ 30 โดยน้ำหนัก.....	55
4.12 ความแข็งแรงดึงของพอลิพรอพิลีน โดยมีขี้เลื่อยจากไม้เต็งนอกเป็นสารตัวเติมที่ปริมาณและขนาดต่าง.....	58
4.13 ร้อยละการดึงยึด ณ จุดครากของพอลิพรอพิลีน โดยมีขี้เลื่อยจากไม้เต็งนอกเป็นสารตัวเติมที่ปริมาณและขนาดต่าง.....	59
4.14 มอดูลัสแรงดึงของพอลิพรอพิลีน โดยมีขี้เลื่อยจากไม้เต็งนอกเป็นสารตัวเติมที่ปริมาณและขนาดต่าง.....	59
4.15 ความแข็งแรงโค้งงอของพอลิพรอพิลีน โดยมีขี้เลื่อยจากไม้เต็งนอกเป็นสารตัวเติมที่ปริมาณและขนาดต่าง.....	60
4.16 มอดูลัสโค้งงอของพอลิพรอพิลีน โดยมีขี้เลื่อยจากไม้เต็งนอกเป็นสารตัวเติมที่ปริมาณและขนาดต่าง.....	61
4.17 ความแข็งแรงกระแทกของพอลิพรอพิลีน โดยมีขี้เลื่อยจากไม้เต็งนอกเป็นสารตัวเติมที่ปริมาณและขนาดต่าง.....	62
4.18 ความแข็งกดของพอลิพรอพิลีน โดยมีขี้เลื่อยจากไม้เต็งนอกเป็นสารตัวเติมที่ปริมาณและขนาดต่าง.....	63

สารบัญรูป (ต่อ)

รูปที่	หน้า
4.19 ความแข็งแรงดึงของพอลิพรอพิลีน โดยมีจี้อยู่จากไม้เต็งนอกเป็นสารตัวเติมในปริมาณร้อยละ 30 โดยน้ำหนัก และเติมสารช่วยผสมมาลิกแอนไฮดราดกราฟพอลิพรอพิลีนในปริมาณต่าง ๆ.....	65
4.20 ร้อยละการดึงยึด ณ จุดครากของพอลิพรอพิลีน โดยมีจี้อยู่จากไม้เต็งนอกเป็นสารตัวเติมในปริมาณร้อยละ 30 โดยน้ำหนัก และเติมสารช่วยผสมมาลิกแอนไฮดราดกราฟพอลิพรอพิลีนในปริมาณต่าง ๆ.....	66
4.21 มอดูลัสแรงดึงของพอลิพรอพิลีน โดยมีจี้อยู่จากไม้เต็งนอกเป็นสารตัวเติมในปริมาณร้อยละ 30 โดยน้ำหนักและเติมสารช่วยผสมมาลิกแอนไฮดราดกราฟพอลิพรอพิลีนในปริมาณต่าง ๆ.....	66
4.22 ความแข็งแรงโค้งงอของพอลิพรอพิลีน โดยมีจี้อยู่จากไม้เต็งนอกเป็นสารตัวเติมในปริมาณร้อยละ 30 โดยน้ำหนัก และเติมสารช่วยผสมมาลิกแอนไฮดราดกราฟพอลิพรอพิลีนในปริมาณต่าง ๆ.....	67
4.23 มอดูลัสโค้งงอของพอลิพรอพิลีน โดยมีจี้อยู่จากไม้เต็งนอกเป็นสารตัวเติมในปริมาณร้อยละ 30 โดยน้ำหนักและเติมสารช่วยผสมมาลิกแอนไฮดราดกราฟพอลิพรอพิลีนในปริมาณต่าง ๆ.....	67
4.24 ความแข็งแรงกระแทกของพอลิพรอพิลีน โดยมีจี้อยู่จากไม้เต็งนอกเป็นสารตัวเติมใน ปริมาณร้อยละ 30 โดยน้ำหนัก และเติมสารช่วยผสมมาลิกแอนไฮดราดกราฟพอลิพรอพิลีนในปริมาณต่าง ๆ.....	68
4.25 ความแข็งกดของพอลิพรอพิลีน โดยมีจี้อยู่จากไม้เต็งนอกเป็นสารตัวเติมในปริมาณร้อยละ 30 โดยน้ำหนัก และเติมสารช่วยผสมมาลิกแอนไฮดราดกราฟพอลิพรอพิลีนในปริมาณต่าง ๆ.....	69
4.26 ความแข็งแรงดึงของพอลิพรอพิลีน โดยมีจี้อยู่จากไม้เต็งนอกเป็นสารตัวเติมในปริมาณร้อยละ 30 โดยน้ำหนัก ที่ความเข้มข้นและเวลาในการปรับปรุงพื้นผิวจี้อยู่ด้วย โซเดียมไฮดรอกไซด์ที่ต่างกัน.....	71
4.27 ร้อยละการดึงยึด ณ จุดครากของพอลิพรอพิลีน โดยมีจี้อยู่จากไม้เต็งนอกเป็นสารตัวเติมในปริมาณร้อยละ 30 โดยน้ำหนัก ที่ความเข้มข้นและเวลาในการปรับปรุงพื้นผิวจี้อยู่ด้วย โซเดียมไฮดรอกไซด์ที่ต่างกัน.....	71

สารบัญรูป (ต่อ)

รูปที่	หน้า
4.28 มอดูลัสแรงดึงของพอลิพรอพิลีน โดยมีซีเลื่อยจากไม้เต็งนอกเป็นสารตัวเติม ในปริมาณร้อยละ 30 โดยน้ำหนัก ที่ความเข้มข้นและเวลาในการปรับปรุง พื้นผิวซีเลื่อยด้วยโซเดียมไฮดรอกไซด์ที่ต่างกัน.....	72
4.29 ความแข็งแรงโค้งงอของพอลิพรอพิลีน โดยมีซีเลื่อยจากไม้เต็งนอกเป็น สารตัวเติมในปริมาณ ร้อยละ 30 โดยน้ำหนัก ที่ความเข้มข้นและเวลาในการปรับปรุง พื้นผิวซีเลื่อยด้วย โซเดียมไฮดรอกไซด์ที่ต่างกัน.....	74
4.30 มอดูลัสโค้งงอของพอลิพรอพิลีน โดยมีซีเลื่อยจาก ไม้เต็งนอกเป็นสารตัวเติม ในปริมาณ ร้อยละ 30 โดยน้ำหนัก ที่ความเข้มข้นและเวลาในการปรับปรุง พื้นผิวซีเลื่อยด้วย โซเดียมไฮดรอกไซด์ที่ต่างกัน.....	74
4.31 ความแข็งแรงกระแทกของพอลิพรอพิลีน โดยมีซีเลื่อยจากไม้เต็งนอก เป็นสารตัวเติมในปริมาณ ร้อยละ 30 โดยน้ำหนัก ที่ความเข้มข้นและ เวลาในการปรับปรุงพื้นผิวซีเลื่อยด้วย โซเดียมไฮดรอกไซด์ที่ต่างกัน.....	75
4.32 ความแข็งกดของพอลิพรอพิลีน โดยมีซีเลื่อยจากไม้เต็งนอกเป็นสารตัวเติม ในปริมาณร้อยละ 30 โดยน้ำหนัก ที่ความเข้มข้นและเวลาในการปรับปรุง พื้นผิวซีเลื่อยด้วยโซเดียมไฮดรอกไซด์ที่ต่างกัน.....	76
4.33 สมบัติทางแรงดึงของวัสดุคอมโพสิตระหว่างพอลิพรอพิลีนกับซีเลื่อย ขนาดน้อยกว่าหรือเท่ากับ 100 เมช ที่อัตราส่วนร้อยละ 30 โดยน้ำหนัก โดยซีเลื่อยที่ผ่านการปรับปรุงพื้นผิวด้วยโซเดียมไฮดรอกไซด์เข้มข้นร้อยละ 5 โดยน้ำหนักเป็นระยะเวลา 60 นาที และเติมสารช่วยผสม มาลิกแอนไฮไดรด์ กราฟพอลิพรอพิลีนร้อยละ 5 โดยน้ำหนักซีเลื่อย (ข) ร้อยละการดึงยึด ฉ จุดคราก และ (ค) มอดูลัสแรงดึง.....	79
4.34 สมบัติทางแรงโค้งงอของวัสดุคอมโพสิตระหว่างพอลิพรอพิลีนกับซีเลื่อย ขนาดน้อยกว่าหรือเท่ากับ 100 เมช ที่อัตราส่วนร้อยละ 30 โดยน้ำหนัก โดยซีเลื่อยที่ผ่านการปรับปรุงพื้นผิวด้วยโซเดียมไฮดรอกไซด์เข้มข้นร้อยละ 5 โดยน้ำหนัก เป็นระยะเวลา 60 นาที และเติมสารช่วยผสม มาลิกแอนไฮไดรด์ กราฟพอลิพรอพิลีน ร้อยละ 5 โดยน้ำหนักซีเลื่อย (ก) ความแข็งแรง โค้งงอ และ (ข) มอดูลัสโค้งงอ	80

สารบัญรูป (ต่อ)

รูปที่	หน้า
4.35 ความแข็งแรงกระแทกของวัสดุคอมโพสิตระหว่างพอลิพรอพิลีนกับซีลีเยอขนาดน้อยกว่าหรือเท่ากับ 100 เมช ที่อัตราส่วนร้อยละ 30 โดยน้ำหนัก โดยซีลีเยอที่ผ่านการปรับปรุงพื้นผิวด้วยไซเดียมไฮดรอกไซด์เข้มข้นร้อยละ 5 โดยน้ำหนัก เป็นระยะเวลา 60 นาที และเติมสารช่วยผสมมาลิกแอนไฮดรไรต์กราฟพอลิพรอพิลีน ร้อยละ 5 โดยน้ำหนักซีลีเยอ.....	81
4.36 ความแข็งแรงกดของวัสดุคอมโพสิตระหว่างพอลิพรอพิลีนกับซีลีเยอขนาดน้อยกว่าหรือเท่ากับ 100 เมช ที่อัตราส่วนร้อยละ 30 โดยน้ำหนัก โดยซีลีเยอที่ผ่านการปรับปรุงพื้นผิวด้วยไซเดียมไฮดรอกไซด์เข้มข้นร้อยละ 5 โดยน้ำหนัก เป็นระยะเวลา 60 นาที และเติมสารช่วยผสมมาลิกแอนไฮดรไรต์กราฟพอลิพรอพิลีน ร้อยละ 5 โดยน้ำหนักซีลีเยอ.....	82
4.37 ความสัมพันธ์ระหว่างร้อยละการดูดซับน้ำของพอลิพรอพิลีน วัสดุคอมโพสิตระหว่างพอลิพรอพิลีนกับซีลีเยอที่มีขนาดซีลีเยอขนาดน้อยกว่าหรือเท่ากับ 100 เมช วัสดุคอมโพสิตที่เติมสารช่วยผสมมาลิกแอนไฮดรไรต์กราฟพอลิพรอพิลีน 5% โดยน้ำหนักซีลีเยอ วัสดุคอมโพสิตที่ปรับปรุงพื้นผิวซีลีเยอด้วยไซเดียมไฮดรอกไซด์ความเข้มข้น 5% โดยน้ำหนักต่อปริมาตร เป็นเวลา 60 นาที และวัสดุคอมโพสิตที่ปรับปรุงพื้นผิวซีลีเยอด้วยไซเดียมไฮดรอกไซด์ความเข้มข้น 5% โดยน้ำหนักเป็นเวลา 60 นาที โดยมีปริมาณซีลีเยอร้อยละ 30 โดยน้ำหนัก และเติมสารช่วยผสมมาลิกแอนไฮดรไรต์กราฟพอลิพรอพิลีน 5% โดยน้ำหนักซีลีเยอ.....	84
ก.1 DSC เทอร์โมแกรมแสดงอุณหภูมิการหลอมเหลวและเกิดผลึกของพอลิพรอพิลีน	93
ก.2 DSC เทอร์โมแกรมแสดงอุณหภูมิการหลอมเหลวและเกิดผลึกของวัสดุผสมระหว่างพอลิพรอพิลีนและซีลีเยอขนาด 12-34 เมช ที่ปริมาณร้อยละ 30 โดยน้ำหนัก	93
ก.3 DSC เทอร์โมแกรมแสดงอุณหภูมิการหลอมเหลวและเกิดผลึกของวัสดุผสมระหว่างพอลิพรอพิลีนและซีลีเยอขนาดมากกว่าหรือเท่ากับ 100 เมช ที่ปริมาณร้อยละ 30 โดยน้ำหนัก	94
ก.4 DSC เทอร์โมแกรมแสดงอุณหภูมิการหลอมเหลวและเกิดผลึกของวัสดุผสมระหว่างพอลิพรอพิลีนและซีลีเยอขนาดมากกว่าหรือเท่ากับ 100 เมช ที่ปริมาณร้อยละ 30 โดยน้ำหนัก และเติมสารช่วยผสม MAPP ร้อยละ 5 โดยน้ำหนักซีลีเยอ.....	94

เอกสารนี้เป็นเอกสารที่สงวนไว้สำหรับการใช้งานเพื่อการศึกษาเท่านั้น ไม่อนุญาตให้นำไปใช้ประโยชน์ด้านการค้า ไม่ว่ากรณีใดๆทั้งสิ้น อีกทั้งห้ามมิให้ดัดแปลงเนื้อหา และต้องอ้างอิงถึงเจ้าของเอกสารทุกครั้งที่มีการนำไปใช้

สารบัญรูป (ต่อ)

รูปที่	หน้า
ก.5 DSC เทอร์โมแกรมแสดงอุณหภูมิการหลอมเหลวและเกิดผลึกของวัสดุผสมระหว่างพอลิพรอพิลีนและซีลีโอที่ปรับปรุงพื้นผิวด้วยไซเดียมไฮดรอกไซด์เข้มข้นร้อยละ 5 โดยน้ำหนัก นาน 60 นาที ขนาดมากกว่าหรือเท่ากับ 100 เมช ที่ปริมาณร้อยละ 30 โดยน้ำหนัก.....	95
ก.6 DSC เทอร์โมแกรมแสดงอุณหภูมิการหลอมเหลวและเกิดผลึกของวัสดุผสมระหว่างพอลิพรอพิลีนและซีลีโอที่ปรับปรุงพื้นผิวด้วยไซเดียมไฮดรอกไซด์เข้มข้นร้อยละ 15 โดยน้ำหนัก นาน 60 นาที ขนาดมากกว่าหรือเท่ากับ 100 เมช ที่ปริมาณร้อยละ 30 โดยน้ำหนัก.....	95
ก.7 DSC เทอร์โมแกรมแสดงอุณหภูมิการหลอมเหลวและเกิดผลึกของวัสดุผสมระหว่างพอลิพรอพิลีนและซีลีโอที่ปรับปรุงพื้นผิวด้วยไซเดียมไฮดรอกไซด์เข้มข้นร้อยละ 15 โดยน้ำหนัก นาน 60 นาที ขนาดมากกว่าหรือเท่ากับ 100 เมช ที่ปริมาณร้อยละ 30 โดยน้ำหนัก และเติมสารช่วยผสม MAPP ร้อยละ 5 โดยน้ำหนักซีลีโอ.....	96
ง.1 DTG เทอร์โมแกรมแสดงอุณหภูมิเริ่มต้นการสลายตัวของพอลิพรอพิลีน.....	105
ง.2 DTG เทอร์โมแกรมแสดงอุณหภูมิเริ่มต้นการสลายตัวของซีลีโอขนาดมากกว่าหรือเท่ากับ 100 เมช	105
ง.3 DTG เทอร์โมแกรมแสดงอุณหภูมิเริ่มต้นการสลายตัวของวัสดุผสมระหว่างพอลิพรอพิลีนและซีลีโอขนาดมากกว่าหรือเท่ากับ 100 เมช ที่ปริมาณร้อยละ 30 โดยน้ำหนัก	106
ง.4 DTG เทอร์โมแกรมแสดงอุณหภูมิเริ่มต้นการสลายตัวของวัสดุผสมระหว่างพอลิพรอพิลีนและซีลีโอขนาดมากกว่าหรือเท่ากับ 100 เมช ที่ปริมาณร้อยละ 30 โดยน้ำหนัก และเติมสารช่วยผสม MAPP ร้อยละ 5 โดยน้ำหนักซีลีโอ.....	106
ง.5 DTG เทอร์โมแกรมแสดงอุณหภูมิเริ่มต้นการสลายตัวของวัสดุผสมระหว่างพอลิพรอพิลีนและซีลีโอที่ปรับปรุงพื้นผิวด้วยไซเดียมไฮดรอกไซด์เข้มข้นร้อยละ 5 โดยน้ำหนัก นาน 60 นาที ขนาดมากกว่าหรือเท่ากับ 100 เมช ที่ปริมาณร้อยละ 30 โดยน้ำหนัก.....	107

สารบัญรูป (ต่อ)

รูปที่	หน้า
จ.6 DTG เทอร์โมแกรมแสดงอุณหภูมิการหลอมเหลวและเกิดผลึกของวัสดุผสม ระหว่าง พอลิพรอพิลีนและซีลีนที่ปรับปรุงพื้นผิวด้วย โซเดียมไฮดรอกไซด์ เข้มข้นร้อยละ 5 โดยน้ำหนัก นาน 60 นาที ขนาดมากกว่าหรือเท่ากับ 100 เมช ที่ปริมาณร้อยละ 30 โดยน้ำหนัก และเติมสารช่วยผสม MAPP ร้อยละ 5 โดยน้ำหนักซีลีน.....	107



บทที่ 1

บทนำ

1.1 ความสำคัญและที่มาของงานวิจัย

พลาสติกจัดเป็นวัสดุสังเคราะห์ที่นิยมใช้กันอย่างแพร่หลาย พอลิพรอพิลีนเป็นพลาสติกประเภทหนึ่งที่มีผู้นิยมนำมาใช้ในการผลิตเป็นผลิตภัณฑ์ประเภทต่าง ๆ การผลิตพลาสติกคอมโพสิตเป็นอีกหนึ่งทางเลือกที่ได้รับความนิยมและมีการใช้งานกันมาก เนื่องจากพลาสติกคอมโพสิตมีสมบัติเด่นหลายประการที่สำคัญ คือ มีความแข็งแรงสูง แต่มีน้ำหนักเบาเมื่อเทียบกับวัสดุอื่น ๆ เช่น โลหะหรือเซรามิกส์

วัสดุเสริมแรงในพลาสติกคอมโพสิตในปัจจุบันที่นิยมคือ เส้นใยแก้วและไม้ก่า ซึ่งมีราคาแพงจึงได้มีผู้ศึกษาที่จะประยุกต์นำเส้นใยไม้ มาใช้สารเสริมแรง (Wood fibre-reinforced thermoplastic composites) เนื่องจากเส้นใยธรรมชาติมีราคาถูก หาง่าย ความหนาแน่นน้อย น้ำหนักเบา ปรับปรุงสมบัติทางเคมีได้ ข่อยสลายได้เองตามธรรมชาติ และลดความเสี่ยงจากอุตสาหกรรมไม้และเกษตรกรรม แต่มีข้อจำกัด คือ มีสมบัติการดูดซับน้ำ และมีสมบัติการยึดติดกับพอลิเมอร์ที่ไม่ดี

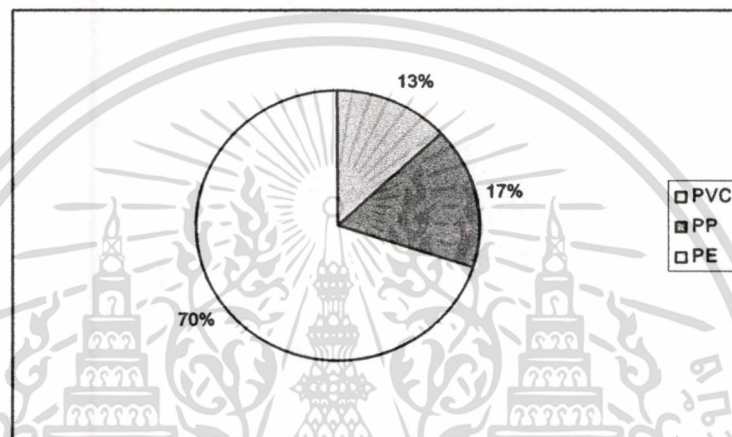


รูปที่ 1.1 ตัวอย่างงานวัสดุคอมโพสิตจากพลาสติกและไม้ [1-4]

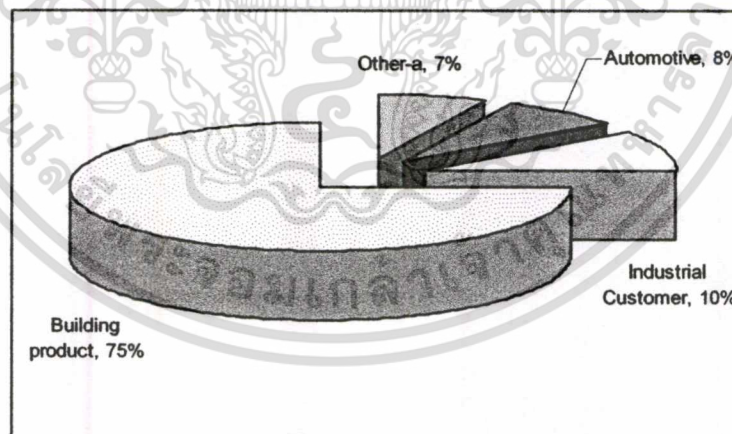
พลาสติกคอมโพสิตที่มีไม้เป็นส่วนเสริมแรง (Wood Plastic Composite, WPC) [5] เป็นวัสดุทดแทนไม้ที่ได้รับความนิยมอย่างมากในตลาดยุโรป สืบเนื่องจากรายงานผลการศึกษาคู่ WPC และสถิติการเติบโตของตลาด WPC ปี 2543 ถึง 2548 (2000 ถึง 2005) ดังที่แสดงในแผนภูมิรูปที่ 1.1-1.2 และจากตารางที่ 1.1 แสดงให้เห็นว่า WPC เป็นสารตัวเติมที่มีอัตราการใช้งานสูงกว่าเส้นใยแก้ว และสาร ตัวเติมประเภทแร่ (Mineral filler)

ตารางที่ 1.1 แสดงการเติบโตของตลาด Filler Compound ในอเมริกาเหนือ
(North America Market Size) [5]

การเติบโตของตลาด Filler Compound ในอเมริกาเหนือ			
ปี (Millions pounds / Year)	2000	2005	Growth Rate
เส้นใยแก้ว	200	300	8.4%
Talc, CaCO ₃	1,000	1,200	3.7%
Wood Polyolefin	530	1,100	15.7%



2000 North America Market WPC



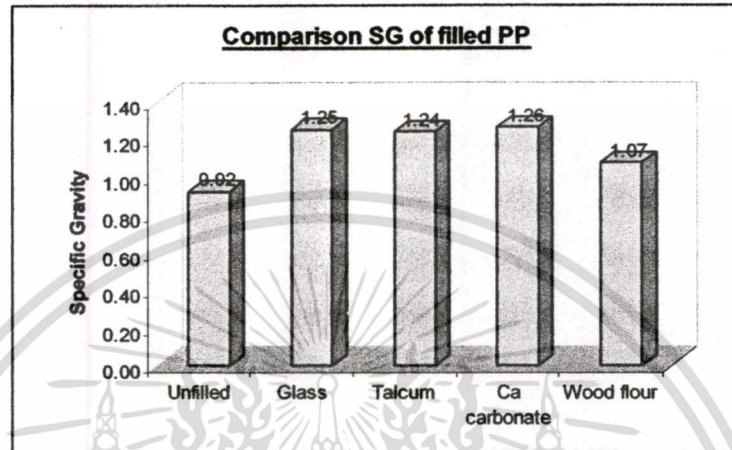
Major end market for WPC

รูปที่ 1.2 การเติบโตตลาด และปริมาณการใช้ WPC ของอเมริกาเหนือปี 2543 [5]

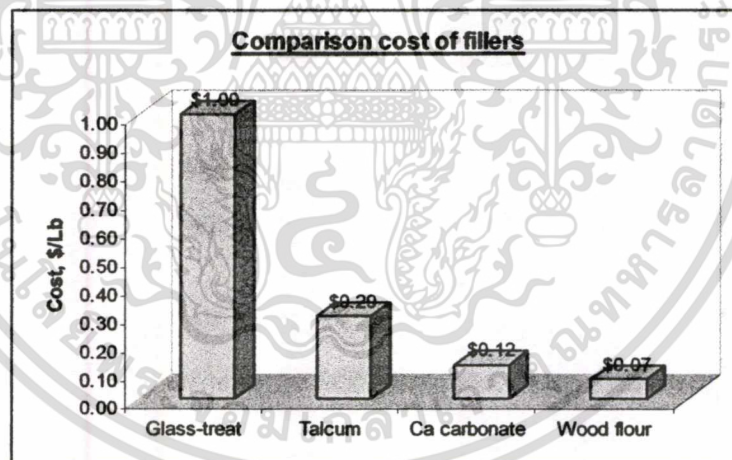
เนื่องจากไม้เป็นสารตัวเติมที่ราคาถูก และมีความถ่วงจำเพาะต่ำกว่าเมื่อเปรียบเทียบกับสารตัวเติมชนิดอื่นเช่น เส้นใยแก้ว (Glass fiber) แคลเซียมคาร์บอเนต (Calcium carbonate) และทัลค (Talc) ดังที่แสดงในแผนภูมิรูปที่ 1.3-1.4 จะพบว่าค่าความถ่วงจำเพาะของ เส้นใยแก้ว แคลเซียม

เอกสารนี้เป็นเอกสารที่สงวนไว้สำหรับการใช้งานเพื่อการศึกษาเท่านั้น ไม่อนุญาตให้นำไปใช้ประโยชน์ด้านการค้า ไม่ว่าจะกรณีใดๆทั้งสิ้น อีกทั้งห้ามมิให้ดัดแปลงเนื้อหา และต้องอ้างอิงถึงเจ้าของเอกสารทุกครั้งที่มีการนำไปใช้

คาร์บอนเนต และทัลค์ มีค่าความถ่วงจำเพาะสูงกว่าผงไม้มาก แสดงว่าเมื่อนำมาเป็นสารตัวเติมในพลาสติกในอัตราส่วนที่มากจะทำให้ผลิตภัณฑ์มีค่าความถ่วงจำเพาะสูง หรือ น้ำหนักมากส่งผลทำให้ใช้งานยาก และยังมีราคาที่สูงกว่าผงไม้ ดังนั้นการใช้ผงไม้เป็นสารตัวเติมจึงทำให้ผลิตภัณฑ์มีต้นทุนที่ต่ำกว่าการใช้สารตัวเติมชนิดอื่น



รูปที่ 1.3 การเปรียบเทียบค่าความถ่วงจำเพาะของสารตัวเติมชนิดต่าง ๆ [5]



รูปที่ 1.4 การเปรียบเทียบราคาต้นทุนของสารตัวเติมชนิดต่าง ๆ [5]

เอกสารนี้เป็นเอกสารที่สงวนไว้สำหรับการใช้งานเพื่อการศึกษาเท่านั้น ไม่อนุญาตให้นำไปใช้ประโยชน์ด้านการค้าไม่ว่ากรณีใดๆทั้งสิ้น อีกทั้งห้ามมิให้ดัดแปลงเนื้อหา และต้องอ้างอิงถึงเจ้าของเอกสารทุกครั้งที่มีการนำไปใช้

พอลิเมอร์ที่ใช้สำหรับงานวิจัยนี้ คือ พอลิพรอพิลีน (Polypropylene) ซึ่งใช้เป็นพอลิเมอร์เมตริกซ์ เนื่องจากพอลิพรอพิลีนสามารถหลอมเหลวและขึ้นรูปได้ง่ายที่อุณหภูมิปานกลาง มีสมบัติที่เหนียว ใส แข็งแรงและถือว่ามีน้ำหนักเบาที่สุด และใช้ซีลี้อยไม้เต็งนอก (*Shorea foxworthyi*) ที่เป็นวัสดุเหลือทิ้งจากโรงเลื่อยเป็นสารเสริมแรงสำหรับพอลิพรอพิลีน แต่อย่างไรก็ตามความสามารถในการยึดเกาะระหว่างพื้นผิวของพอลิพรอพิลีนและซีลี้อยไม้เต็งนอก เนื่องจากซีลี้อยเป็นเส้นใยมีองค์ประกอบทางเคมี คือ เซลลูโลส (Cellulose) เฮมิเซลลูโลส (Hemicellulose) และลิกนิน (Lignin) ซึ่งมีสมบัติชอบน้ำ (Hydrophilic) หรือมีความสามารถในการดูดซับน้ำสูงไม่สามารถเกิดแรงยึดเหนี่ยวได้ดีกับพอลิพรอพิลีนที่มีสมบัติไม่ชอบน้ำ (Hydrophobic) หรือมีความสามารถในการดูดซับน้ำต่ำที่สำคัญการยึดติดกันของพื้นผิวระหว่างเมตริกซ์และเส้นใยนี้มีบทบาทสำคัญโดยตรงต่อสมบัติเชิงกล (Mechanical properties) และสมบัติทางกายภาพ (Physical properties) ของคอมโพสิตที่ผลิตได้ ดังนั้นแนวทางการปรับปรุงความสามารถในการเข้ากันได้ของซีลี้อยกับพอลิพรอพิลีนเมตริกซ์สามารถจึงได้มีการทำได้โดยใช้วิธีการทางเคมี เช่น การใช้สารช่วยผสม (Compatibilizer) เพื่อเพิ่มแรงยึดเหนี่ยวระหว่าง 2 วัสดุ หรือการปรับปรุงพื้นผิวด้วยด่าง (Alkali Treatment)

ในงานวิจัยนี้มีการปรับปรุงพื้นผิวซีลี้อยด้วยด่าง ได้แก่ โซเดียมไฮดรอกไซด์ (Sodium hydroxide, NaOH) และสารช่วยผสม (Compatibilizer) ที่ใช้ ได้แก่ พอลิพรอพิลีนต่อกิ่งด้วยมาลิกแอนไฮไดรด์ (Maleic anhydride grafted polypropylene, MAPP) ซึ่งคาดว่า การปรับปรุงพื้นผิวซีลี้อยด้วยด่าง และการใช้สารก่อกวน จะช่วยปรับปรุงพันธะระหว่างพื้นผิวเส้นใยกับเมตริกซ์ให้มีการยึดเกาะกันได้ดีขึ้น จากนั้นทำการทดสอบสมบัติเชิงกล สมบัติทางกายภาพ สมบัติทางความร้อน และสัณฐานวิทยาของพอลิเมอร์ที่ผลิตได้ต่อไป

1.2 วัตถุประสงค์ของงานวิจัย

1. เพื่อผลิตคอมโพสิตจากพอลิพรอพิลีนและซีลี้อยไม้เต็งนอก
2. เพื่อศึกษาสมบัติเชิงกล สมบัติทางความร้อน สมบัติทางกายภาพ และสัณฐานวิทยาของคอมโพสิตที่ผลิตได้
3. เพื่อศึกษาแนวทางในการปรับปรุงการยึดเกาะพื้นผิวระหว่างพอลิพรอพิลีนและซีลี้อย

1.3 ขอบเขตของงานวิจัย

1. ศึกษาถึงขนาดและปริมาณของขี้เถื่อที่มีต่อสมบัติของวัสดุคอมโพสิตที่ได้
2. ศึกษาสมบัติเชิงกลต่าง ๆ ได้แก่ ความแข็งแรงดึง (Tensile strength) ร้อยละการดึงยืด ณ จุดคราก (% Elongation at yield) มอดุลัส (Modulus) ความแข็งแรงโค้งงอ (Flexural strength) มอดุลัสโค้งงอ (Flexural modulus) ความแข็งแรงกระแทก (Impact strength) สมบัติทางกายภาพ ได้แก่ การดูดซับน้ำ (Water absorption) สมบัติทางความร้อนด้วยคิฟเฟอร์เมตริกซ์ (Differential scanning calorimeter) ได้แก่ อุณหภูมิการหลอมเหลว อุณหภูมิการเกิดผลึก และองศาการเกิดผลึก รวมถึงสัณฐานวิทยาของพอลิเมอร์ผสมด้วยกล้องจุลทรรศน์อิเล็กตรอนแบบส่องกราด (Scanning electron microscope, SEM) ที่มีพอลิพรอพิลีนเป็นพอลิเมอร์เมทริกซ์และขี้เถื่อเป็นสารตัวเติม
3. ศึกษาเชิงเปรียบเทียบถึงการปรับปรุงและไม่ปรับปรุงพื้นผิวขี้เถื่อด้วยโซเดียมไฮดรอกไซด์
4. ศึกษาถึงผลของปริมาณของสารช่วยผสม MAPP ที่มีต่อสมบัติต่าง ๆ ของวัสดุคอมโพสิตที่ปรับปรุงและไม่ปรับปรุงพื้นผิวด้วยโซเดียมไฮดรอกไซด์

1.4 ผลที่คาดว่าจะได้รับ

1. สามารถผลิตวัสดุคอมโพสิตจากพอลิพรอพิลีนกับขี้เถื่อให้สมบัติโดยรวมดีขึ้น
2. เพิ่มมูลค่าให้กับขี้เถื่อที่ได้จากอุตสาหกรรมผลิตผลิตภัณฑ์ไม้ให้สามารถใช้ประโยชน์ในการเสริมแรงพลาสติกได้มากขึ้น

บทที่ 2

ทฤษฎีและหลักการ

2.1 พอลิพรอพิลีน (Polypropylene) [6-8]

หน่วยซ้ำของพอลิพรอพิลีน (Polypropylene) คือ $(-\text{CH}_2-\text{CH})_n$ —มีหมู่เมทิล (CH_3) เกาะ
 CH_3

อยู่บนโครงสร้างพอลิพรอพิลีน เป็นพอลิเมอร์ที่มีน้ำหนักเบา มีจุดหลอมเหลวปานกลาง ใช้ผลิตท่อ แผ่นพลาสติก ภาชนะเป่าขึ้นรูป และเส้นใย สามารถสังเคราะห์ได้ด้วยตัวเร่งเฮเทอโรจีเนียส (Heterogeneous catalysts) พอลิพรอพิลีนเป็นพอลิเมอร์ที่มีความเหนียว ไส แข็งแรง และเป็นพอลิเมอร์กึ่งผลึก (Semicrystalline polymer)

2.1.1 สมบัติทางกายภาพและการนำไปใช้

พอลิพรอพิลีนมีความเป็นผลึกสูงเนื่องจากมีโครงสร้างเชิงเส้นตรงโดยตลอด มีจุดหลอมเหลว 165 องศาเซลเซียส มีอุณหภูมิการเปลี่ยนสถานะคล้ายแก้ว (T_g) ประมาณ 13-0 องศาเซลเซียส และมีความหนาแน่น 0.905 กรัมต่อลูกบาศก์เซนติเมตร และเนื่องจากความเป็นผลึกสูง จึงทำให้พอลิพรอพิลีนมีสมบัติเชิงกลที่ดี และมีจุดหลอมเหลวสูงกว่าพอลิเอทิลีนทำให้สามารถใช้งานได้ที่อุณหภูมิสูงกว่า เนื่องจากพอลิพรอพิลีนสามารถทำแม่แบบที่มีรูปร่างซับซ้อนได้ง่าย และวัสดุที่ทำจากพอลิพรอพิลีนยังรักษาความแข็งแรงของรูปทรงไว้ได้ที่อุณหภูมิสูงถึง 140 องศาเซลเซียส สมบัติการละลายได้ของพอลิพรอพิลีนคล้ายคลึงกับพอลิเอทิลีน กล่าวคือไม่สามารถละลายในตัวทำละลายใด ๆ อุณหภูมิห้อง แต่จะละลายได้ในตัวทำละลายไฮโดรคาร์บอน และคลอรีเนตไฮโดรคาร์บอนที่อุณหภูมิสูงกว่า 80 องศาเซลเซียส

สมบัติของพอลิพรอพิลีนขึ้นอยู่กับความหนาแน่น น้ำหนักโมเลกุล และการกระจายน้ำหนักโมเลกุล ซึ่งสมบัติต่าง ๆ ของพอลิพรอพิลีนแสดงดังตารางที่ 2.1

ตารางที่ 2.1 สมบัติบางประการของพอลิพรอพิลีนเชิงพาณิชย์ [6-7, 9]

สมบัติทั่วไป	พอลิพรอพิลีน
ความหนาแน่น (g/cm^3)	0.90
ความเป็นผลึก (%)	82
อุณหภูมิหลอมเหลวผลึก ($^{\circ}\text{C}$)	175
อุณหภูมิเปลี่ยนสถานะแก้ว ($^{\circ}\text{C}$)	-20
มอดุลัส (GPa)	1.0-1.4
ความทนทานแรงดึงสูงสุด (GPa)	0.02-0.04
ค่าการนำความร้อน ($\text{Wm}^{-1}\text{K}^{-1}$)	0.2
ค่าการขยายตัวทางความร้อน ($10^{-6}^{\circ}\text{C}^{-1}$)	110
เปอร์เซ็นต์การดึงยืด ณ จุดขาด (%)	100-600
ความต้านทานการกระแทก (J m^{-1})	21-53
อุณหภูมิการสลายตัวของพอลิเมอร์ ($^{\circ}\text{C}$ ที่ 455 kPa)	225-250

ประมาณครึ่งหนึ่งของพอลิพรอพิลีนที่ผลิตขึ้นมาไปทำเป็นส่วนประกอบ และชิ้นส่วนของรถยนต์และอุปกรณ์เครื่องใช้ภายในบ้าน ส่วนที่เหลือใช้ทำในรูปเส้นใย และฟิล์ม

2.1.1.1 ข้อดีของพอลิพรอพิลีน

1. มีความเหนียวใส
2. มีน้ำหนักเบา ราคาถูก
3. สัมประสิทธิ์ความเสียดทานต่ำ
4. เป็นฉนวนไฟฟ้าที่ดี
5. มีความเสียดต่อการปฏิกิริยาเคมี
6. ทนต่อสารเคมี เช่น กรดและเบส
7. ดูดซับน้ำต่ำ
8. มีความโค้งงอดีเยี่ยม
9. มีความเป็นผลึกสูงจึงมีสมบัติเชิงกลที่ดี

เอกสารนี้เป็นเอกสารที่สงวนไว้สำหรับการใช้งานเพื่อการศึกษาเท่านั้น ไม่อนุญาตให้นำไปใช้ประโยชน์ด้านการค้า
ไม่ว่ากรณีใดๆทั้งสิ้น อีกทั้งห้ามมิให้ตัดแปลงเนื้อหา และต้องอ้างอิงถึงเจ้าของเอกสารทุกครั้งที่มีการนำไปใช้

2.1.1.2 ข้อดีของพอลิพรอพิลีน

1. ปลายทางต่อรังสีอุลตราไวโอเล็ต
2. ไม่ทนต่อสภาวะแวดล้อม
3. ดัดได้ง่าย
4. ละลายในตัวทำละลายที่มีคลอไรด์หรืออะโรมาติกเป็นองค์ประกอบ
5. ขาดต่อการเชื่อมต่อหรือประกอบ
6. โลหะจะเป็นตัวเร่งปฏิกิริยาออกซิเดชัน

2.2 ไม้เต็งนอก [10-11]

ขี้เลื่อยที่ใช้เป็นสารเสริมแรงสำหรับงานวิจัยนี้เป็นเศษไม้ที่เหลือจากอุตสาหกรรมการผลิตผลิตภัณฑ์ที่ทำจากไม้เนื้อแข็งชนิดไม้เต็งนอก (*Shorea foxworthyi*)

ไม้เต็งนอกที่ใช้ในงานวิจัยนี้

ชื่อทางพฤกษศาสตร์

Shorea foxworthyi

วงศ์

Dipterocarpaceae

ลักษณะที่เกิด

เป็นไม้ยืนต้นขนาดกลางถึงขนาดใหญ่ สูง 15-30 เมตร เรือนยอดเป็นพุ่มกว้าง ออกดอกและผลระหว่างเดือนมีนาคม-มิถุนายน ก่อนออกดอกจะผลัดใบและผลิใบใหม่พร้อมกับช่อดอก จัดเป็นไม้เนื้อแข็งขึ้นเป็นหมู่ตามป่าแดง และป่าเต็งรังทั่วไป ยกเว้นภาคใต้

ลักษณะทั่วไปของเนื้อไม้ สีน้ำตาลอ่อนเมื่อตัดใหม่ ๆ ทิ้งไว้นาน ๆ จะเป็นสีน้ำตาลแก่แกมแดงไม่มีกลิ่น และรส น้ำหนักมาก(ความถ่วงจำเพาะ ≈ 1.05) เซลล์ของเนื้อไม้เรียงตัวเบี่ยงเบนไปจากแกนของลำต้น ทั้งทางขวา และทางซ้ายสลับกัน เนื้อไม้หนาปานกลาง และสม่ำเสมอ มีความแข็งแรงมาก

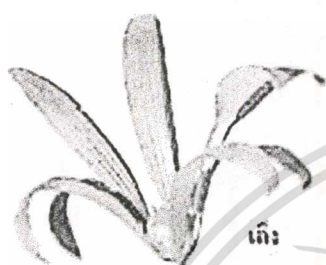
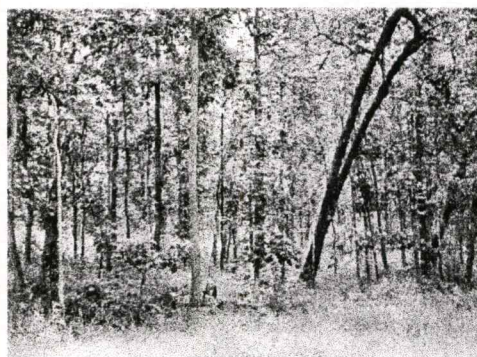
ลักษณะโครงสร้างของเนื้อไม้ วงรอบปีมีแต่ไม่ชัดเจน ระบบท่อลำเลียงอยู่กันอย่างกระจัดกระจายมองเห็นด้วยตาเปล่า มีขนาดความโตเฉลี่ยประมาณ 5 ท่อลำเลียงต่อหนึ่งตารางมิลลิเมตร

ประโยชน์

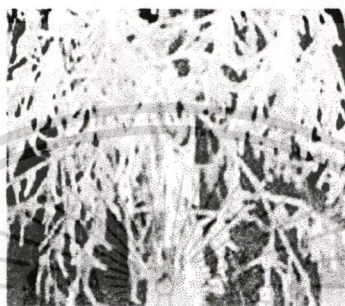
ใช้ก่อสร้างได้แข็งแรงทนทาน เช่น ทำโครงสร้างอาคาร บ้านเรือนและพื้นสะพาน รถ เครื่องมือกลกรรม ไม้หมอนรถไฟ โครงเรือเดินทะเล ฯลฯ เปลือกใช้เป็นยาสมานแผล ห้ามเลือด รักษาแผลเรื้อรัง แผลพุพอง ชันไม้ผสมน้ำมันทาไม้ และยาแนว

เอกสารนี้เป็นเอกสารที่สงวนไว้สำหรับการศึกษาเท่านั้น ไม่อนุญาตให้นำไปใช้ประโยชน์ด้านการค้า

ไม่ว่ากรณีใดๆทั้งสิ้น อีกทั้งห้ามมิให้ตัดแปลงเนื้อหา และต้องอ้างอิงถึงเจ้าของเอกสารทุกครั้งที่มีการนำไปใช้



เถา



รูปที่ 2.1 ไม้เต็งนอกที่ใช้ในงานวิจัยนี้ [12-14]

ตารางที่ 2.2 สมบัติทางธรรมชาติของไม้เต็งนอก [15]

สมบัติทั่วไป	ค่าที่ได้
ปริมาณความชื้น (%)	13.6
ความถ่วงจำเพาะ (g/cm^3)	1.02
ความแข็งแรง (kg/cm^2) - การคัด	1571
- การบีบ	768
- การเลื่อน	182
ความเหนียวจากการคัด (kg.m)	6.60
ความแข็ง (kg)	967
ความทนทานจากการทดลองปักดิน (ปี)	7-15*

* จากค่าสถิติความทนทานตามธรรมชาติของประเทศมาเลเซีย

เอกสารนี้เป็นเอกสารที่สงวนไว้สำหรับการใช้งานเพื่อการศึกษาเท่านั้น ไม่อนุญาตให้นำไปใช้ประโยชน์ด้านการค้า
ไม่ว่ากรณีใดๆทั้งสิ้น อีกทั้งห้ามมิให้ดัดแปลงเนื้อหา และต้องอ้างอิงถึงเจ้าของเอกสารทุกครั้งที่มีการนำไปใช้

2.2.1 เส้นใยไม้ [16]

โครงสร้างทางเคมีและกายวิภาคของไม้มีผลกระทบต่อสมบัติความแข็งแรง ลักษณะรูปร่าง (Appearance) ความต้านทานต่อแทรกผ่าน (Penetration) ของน้ำ สารเคมี และการเสียดสภาพไม้แบ่งได้ 2 ประเภทหลัก ๆ คือ ไม้เนื้อแข็ง (Hardwood) และ ไม้เนื้ออ่อน (Softwood)

- ไม้เนื้อแข็ง ลักษณะใบจะกว้าง ผลัดใบตามอุณหภูมิที่เปลี่ยนไปของโลก ที่สำคัญ คือ จะมีท่อลำเลียงน้ำมัตรวมอยู่ในโครงสร้างของเนื้อเยื่อพืช เช่น ไม้เต็ง ไม้สัก เป็นต้น

- ไม้เนื้ออ่อน ลักษณะใบจะคล้ายเข็ม ไม่มีการผลัดใบและไม่มีส่วนที่เป็นท่อลำเลียงน้ำในโครงสร้างของเนื้อเยื่อพืช เช่น ไม้แดง ไม้ประดู่ เป็นต้น

ไม้เนื้อแข็งตามมาตรฐานกรมป่าไม้กำหนดค่าไม้ชนิดใดเป็นไม้เนื้อแข็งนั้น พิจารณาตามความแข็งแรง ทนทาน ตามหนังสือกรมป่าไม้ที่ กส. 0702/6679 ลงวันที่ 3 พ.ค. 2517 ได้แบ่งไม้ออกเป็น 3 ประเภท โดยถือเอาค่าความแข็งแรงในการตัดไม้แห้ง (ความชื้นประมาณ 12 %) และความทนทานตามธรรมชาติของไม้ชนิดนั้นเป็นเกณฑ์ดังตารางที่ 2.3

ตารางที่ 2.3 ประเภทของไม้ตามมาตรฐานกรมป่าไม้ [15]

ชนิดไม้	ความแข็งแรงในการตัด (kg/cm^3)	ความทนทานตามธรรมชาติ (ปี)
ไม้เนื้อแข็ง	มากกว่า 1000	มากกว่า 6
ไม้เนื้อแข็งปานกลาง	600 - 1000	2 - 6
ไม้เนื้ออ่อน	น้อยกว่า 600	น้อยกว่า 6

อย่างไรก็ตามองค์ประกอบทางเคมีของไม้เนื้อแข็งและไม้เนื้ออ่อนไม่แตกต่างกันมากนัก นอกจากมีปริมาณขององค์ประกอบที่แตกต่างกันบ้าง ส่วนประกอบทางเคมีของไม้เนื้อแข็งและไม้เนื้ออ่อนแสดงในตารางที่ 2.4

ตารางที่ 2.4 ส่วนประกอบต่าง ๆ ของไม้เนื้อแข็งและไม้เนื้ออ่อน [16]

ส่วนประกอบ	ไม้เนื้อแข็ง	ไม้เนื้ออ่อน
เซลลูโลส	31-64	30-61
เฮมิเซลลูโลส	15-35	20-32
ลิกนิน	14-35	22-37
ซี้ด้า	0.1-5.4	0.02-1.1

2.2.2 องค์ประกอบทางเคมีของไม้ [17]

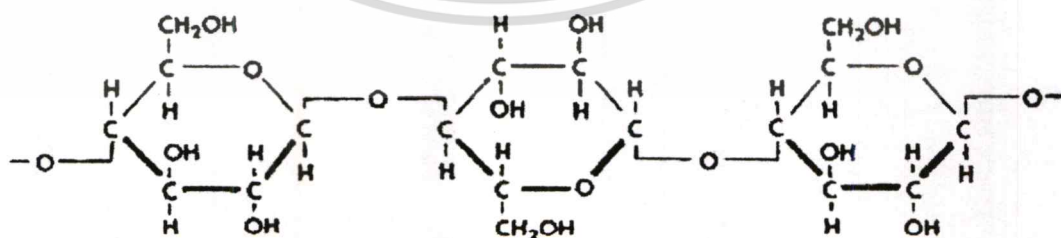
องค์ประกอบทางเคมี (Chemical compositions) ที่สำคัญของไม้ ได้แก่ คาร์บอน (C) 49-50% ไฮโดรเจน (H) 6% และออกซิเจน (O) 44-45% นอกจากนี้ยังมีไนโตรเจน (N) 0.1-1% และแร่ธาตุปริมาณน้อย เช่น แคลเซียม (Ca) แมกนีเซียม (Mg) และโพแทสเซียม (K) ที่พบในเล้าไม้อีกด้วย

2.2.3 องค์ประกอบอินทรีย์ของเส้นใยไม้ [16,18]

องค์ประกอบของเส้นใยไม้ ได้แก่ เซลลูโลส (Cellulose) เป็นส่วนใหญ่ เฮมิเซลลูโลส (Hemicellulose) และลิกนิน (Lignin) นอกจากนี้ยังมีสารเพคติน (Pectin) ปริมาณเล็กน้อย

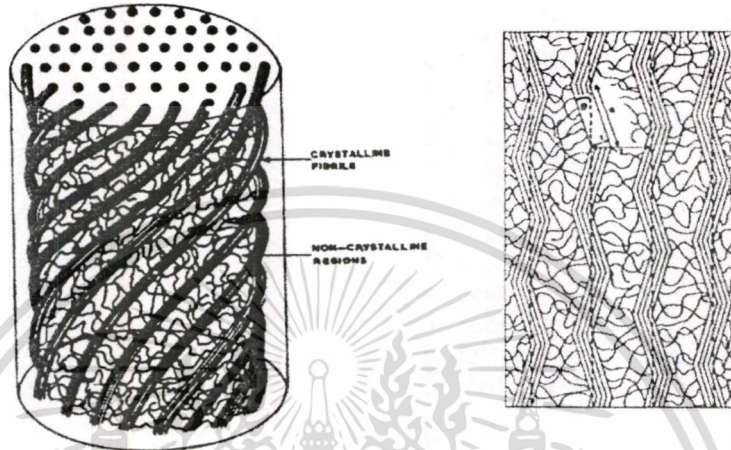
2.2.3.1 เซลลูโลส

เซลลูโลสเป็นสารประกอบพอลิแซคคาไรด์ (Polysaccharides) ที่ประกอบด้วยหน่วยซ้ำ ๆ กันของกลูโคสที่มีสูตรเคมี $C_6H_{12}O_6$ เป็นโมโนแซคคาไรด์ (Monosaccharides) ที่เกิดผ่านการสังเคราะห์แสง (Photosynthesis) ในบรรยากาศของก๊าซคาร์บอนไดออกไซด์ กลูโคสเป็นโครงสร้างในเนื้อเยื่อพืช โดยพบร่วมกับลิกนิน เพนโตแซนแกม (Pentosan gum) แทนนิน ฯลฯ



รูปที่ 2.2 โครงสร้างของเซลลูโลส [16]

เซลลูโลสสามารถเกิดพันธะไฮโดรเจนได้ เนื่องจากหมู่ไฮดรอกซิลในโครงสร้างมีการจัดเรียงตัวอย่างเป็นระเบียบ จึงทำให้เซลลูโลสมีความเป็นผลึกสูงมาก อุณหภูมิการหลอมตัวสูง มักจะเกิดการสลายตัวก่อนถึงอุณหภูมิหลอมตัว และมีความสามารถในการละลายต่ำแต่จะละลายในกรดเข้มข้น เช่น กรดไฮโดรคลอริก กรดซัลฟูริก เป็นต้น รูปที่ 2.3 แสดงการจัดเรียงตัวของผลึกและ ออสัณฐานในโครงสร้างของเซลลูโลส



รูปที่ 2.3 แบบจำลองการจัดเรียงตัวของผลึกและอสัณฐานของเซลลูโลส [18]

สมบัติทางกายภาพของเซลลูโลส

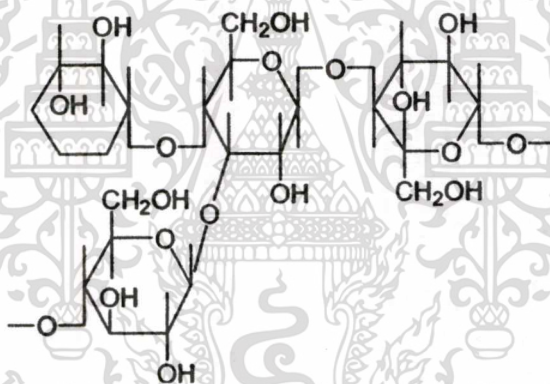
1. ความหนาแน่นของเซลลูโลสประมาณ 1.5 กรัมต่อลูกบาศก์เซนติเมตร ความหนาแน่นของเส้นใยเดี่ยวมีค่าไม่แน่นอน ซึ่งแปรตามแหล่งที่มาและการปรับปรุงทางเคมี
 2. การดูดซับความชื้น เซลลูโลสเป็นของแข็งไม่มีสี มีการดูดและคายไอน้ำและของเหลวอื่นๆ ที่อยู่ในบรรยากาศรอบๆ จนกระทั่งถึงสมดุล ปริมาณความชื้นมีผลต่อสมบัติบางประการ อย่างเช่น ความแข็งแรงดึง (Tensile strength)
 3. การละลาย เซลลูโลสไม่ละลายน้ำและตัวทำละลายอินทรีย์ แต่จะละลายในกรดเข้มข้น เช่น 72% กรดซัลฟูริก 40% กรดไฮโดรคลอริกและ 78% กรดฟอสฟอริก เซลลูโลสจะเกิดไฮโดรไลซิส อย่างรวดเร็วในสารละลายกรดที่อุณหภูมิห้อง และปฏิกิริยาจะหยุดที่อุณหภูมิต่ำ
- สารละลายเกลือบางชนิดที่เข้มข้น เช่น 72% ซิงค์คลอไรด์ และสารอัลคาไลด์ไฮดรอกไซด์ เช่น โซเดียมไฮดรอกไซด์ จะทำให้เซลลูโลสบวมและเซลลูโลสที่มีน้ำหนักโมเลกุลต่ำๆ ละลายได้

2.2.3.2 เฮมิเซลลูโลส

โครงสร้างเฮมิเซลลูโลสจะประกอบด้วยพอลิแซคคาไรด์คล้ายกับเซลลูโลส แต่อย่างไรก็ตามเฮมิเซลลูโลสยังมีข้อแตกต่างจากเซลลูโลส 3 ข้อด้วยกัน คือ

1. เฮมิเซลลูโลสจะประกอบด้วยน้ำตาลโมเลกุลเดี่ยวหลายชนิด เช่น กลูโคส กาแลคโตส แมนโนส ไซโลส รวมทั้งกรดกลูโคนิก และกาแลกทูโรนิก ในขณะที่เซลลูโลสจะประกอบด้วยโมเลกุลกลูโคสชนิดเดียวเป็นส่วนใหญ่
2. สายโซ่พอลิเมอร์ของเฮมิเซลลูโลสส่วนใหญ่จะมีลักษณะเป็นสายโซ่กิ่ง ในขณะที่สายโซ่พอลิเมอร์ของเซลลูโลสมีลักษณะเป็นสายโซ่ตรง
3. ระดับการเกิดพอลิแซคคาไรด์จากน้ำตาลโมเลกุลเดี่ยว (Degree of polymerization) ของเซลลูโลสสูงกว่าเฮมิเซลลูโลส

สูตรเคมีของเฮมิเซลลูโลส คือ $(C_6H_{12}O_5)_{2n}$ โดย n คือ จำนวนหน่วยซ้ำของเฮมิเซลลูโลส โครงสร้างทางเคมีของเฮมิเซลลูโลสแสดงได้ดังรูปที่ 2.4

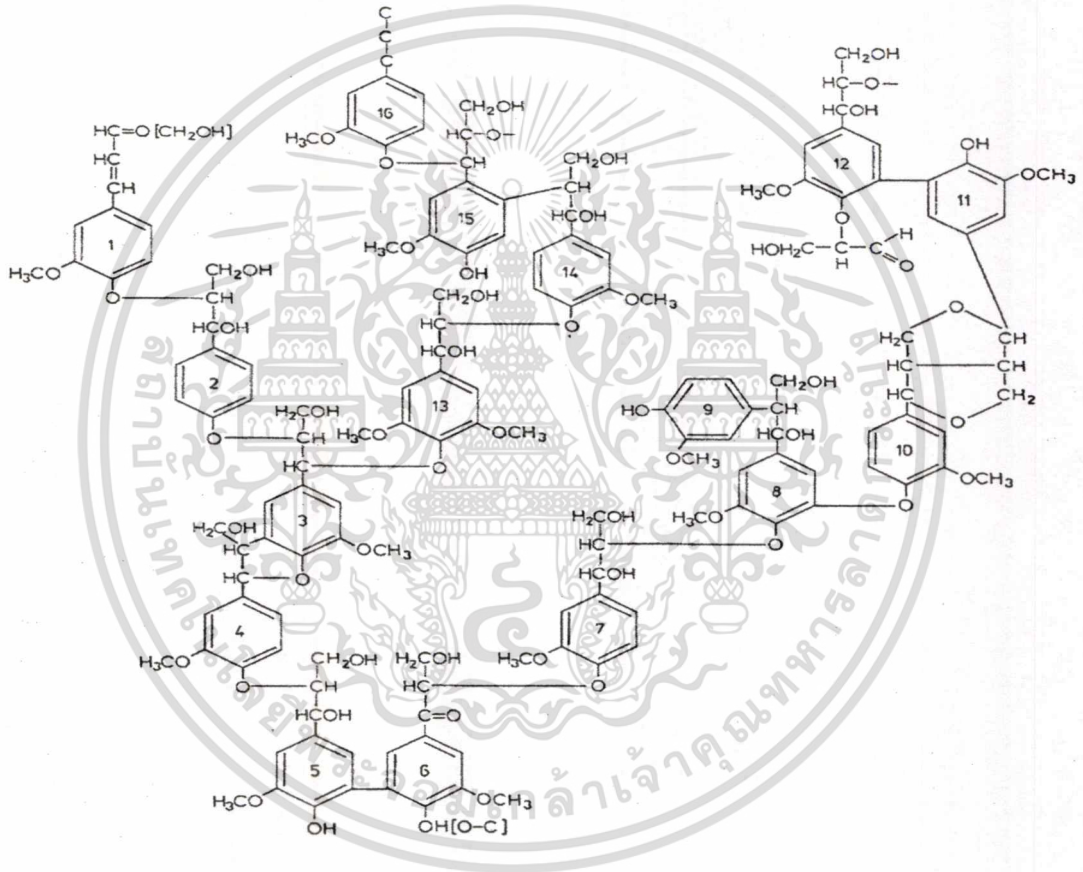


รูปที่ 2.4 โครงสร้างของเฮมิเซลลูโลส [19]

เฮมิเซลลูโลสพบในเนื้อเยื่อของพืชโดยรวมอยู่กับสารอื่น ๆ เช่น ลิกนิน เซลลูโลส เป็นโครงสร้างของผนังเซลล์พบมากในแกลบ ช้างข้าวโพด

2.2.3.3 ลิกนิน

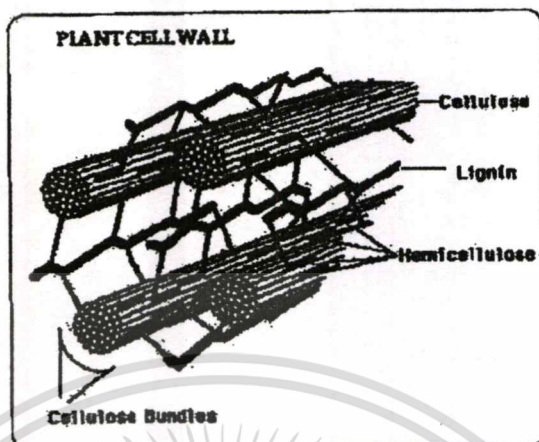
ลิกนินเป็นสารประกอบไฮโดรคาร์บอนเชิงซ้อน มีน้ำหนักโมเลกุลสูงและเกิดขึ้นเองตามธรรมชาติ โครงสร้างของลิกนินจะประกอบด้วยสารอะลิฟาติกและสารอะโรมาติกอยู่ร่วมกัน สารอะโรมาติกในโครงสร้างของลิกนินทำให้ลิกนินมีเสถียรภาพสูงและไม่ละลายน้ำ นอกจากนี้ลิกนินยังเป็นส่วนสำคัญที่ทำหน้าที่ยึดเซลลูโลสและเฮมิเซลลูโลสเข้าไว้ด้วยกัน ทำให้พืชที่มีปริมาณลิกนินอยู่มากจะมีความแข็ง ทนทานต่อคืนฟ้าอากาศสูงมากด้วย ซึ่งไม้ต่างชนิดกันจะมีลิกนินอยู่ในโครงสร้างในรูปที่แตกต่างกันด้วย ตัวอย่างโครงสร้างของลิกนินแสดงดังรูป 2.5



รูปที่ 2.5 โครงสร้างของลิกนิน [20]

เอกสารนี้เป็นเอกสารที่สงวนไว้สำหรับการใช้งานเพื่อการศึกษาเท่านั้น ไม่อนุญาตให้นำไปใช้ประโยชน์ด้านการค้า
ไม่ว่ากรณีใดๆทั้งสิ้น อีกทั้งห้ามมิให้ตัดแปลงเนื้อหา และต้องอ้างอิงถึงเจ้าของเอกสารทุกครั้งที่มีการนำไปใช้

ไม้แต่ละชนิดจะมีอัตราส่วนระหว่างเซลลูโลส เฮมิเซลลูโลส และลิกนินไม่เท่ากันขึ้นอยู่กับชนิดและอายุของไม้ สำหรับไม้ชนิดเดียวกันนั้นไม้ที่มีอายุนานจะมีปริมาณลิกนินมาก



รูปที่ 2.6 การจัดเรียงตัวของเซลลูโลส เฮมิเซลลูโลส และลิกนิน [17]

2.2.3.4 เพคติน

เพคตินเป็นสารประเภทคาร์โบไฮเดรตรู้จักกันในชื่อของ เฮเทอโรพอลิแซคคาไรด์ (Heteropolysaccharides) ซึ่งมีองค์ประกอบที่สำคัญ คือ กรดโพลีกลาแลคทูรอน (Polygalacturonic acid) โดยเพคตินจะละลายในน้ำ หลังจากการทำให้เป็นกลางบางส่วน (Partial neutralization) ด้วยค่าหรือแอมโมเนียมไฮดรอกไซด์

2.3 คอมโพสิต [21]

คอมโพสิต (Composites) หรือวัสดุประกอบเป็นวัสดุที่ได้รับความนิยมและมีการใช้งานกันอย่างกว้างขวาง เนื่องจากคอมโพสิตมีสมบัติที่ดีหลายอย่างจึงมีการนำมาประยุกต์ใช้งานทางด้านวิศวกรรมโดยใช้เป็นวัสดุวิศวกรรม (Engineering materials) นอกจากนี้มีสมบัติที่หลากหลายเนื่องจากมี คอมโพสิตหลายชนิดและหลายรูปแบบ จึงสามารถเลือกใช้ออกแบบ และสร้างวัสดุคอมโพสิตให้เหมาะสมกับการใช้งานต่างๆ ได้ ทำให้มีการประยุกต์ใช้วัสดุคอมโพสิตอย่างกว้างขวาง

พอลิเมอร์คอมโพสิต (Polymer composites) หมายถึง วัสดุที่ประกอบด้วยส่วนประกอบสองส่วน (หรือมากกว่า) ที่แตกต่างกันอย่างชัดเจน (Distinct component) เมื่อผสมเป็นคอมโพสิตแล้วจะมีความแข็งแรงมากกว่าแต่ละองค์ประกอบย่อย

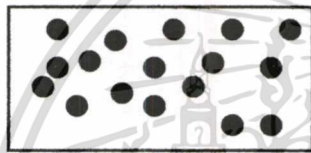
2.3.1 องค์ประกอบหลักของคอมโพสิต [21]

คอมโพสิตประกอบด้วย 2 องค์ประกอบหลัก คือ

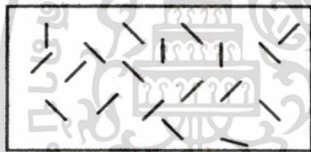
2.3.1.1 ส่วนเสริมแรง

ส่วนเสริมแรง (Reinforcement) เป็นส่วนประกอบที่ให้ความแข็งแรงแก่วัสดุคอมโพสิต วัสดุที่จะเป็นส่วนเสริมแรงนั้นจะมีความแข็งแรงและมอดุลัสสูง มีลักษณะรูปร่างได้หลายแบบอาจเป็นแผ่น เส้นใย หรืออนุภาคเล็ก ๆ ส่วนเสริมแรงที่นิยมใช้มีลักษณะเป็นเส้นใย (Fibers) อาจเป็นเส้นใยยาวต่อเนื่อง (Continuous fibers) หรือเส้นใยสั้น (Discontinuous fibers) นอกจากนี้อาจเป็นเส้นใยที่พันกันหรืออยู่ในรูปของเส้นใยที่ผ่านการถัก (Knitting) หรือการทอ (Weaving) มาแล้วทำให้คอมโพสิตมีโครงสร้างและมีการจัดเรียงตัวของส่วนเสริมแรงหลายรูปแบบ ดังแสดงในรูปที่

2.7



ส่วนเสริมแรงเป็นอนุภาคจัดเรียงตัวแบบสุ่ม



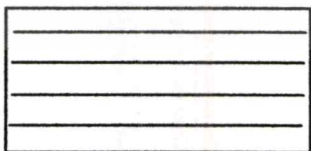
ส่วนเสริมแรงเป็นเส้นใยสั้นจัดเรียงตัวแบบสุ่ม



ส่วนเสริมแรงเป็นเส้นใยสั้นจัดเรียงตัวทิศทางเดียวกัน



ส่วนเสริมแรงเป็นเส้นใยยาวต่อเนื่องจัดเรียงตัวแบบสุ่ม



ส่วนเสริมแรงเป็นเส้นใยยาวต่อเนื่องจัดเรียงตัวแบบในทิศทางเดียวกัน

รูปที่ 2.7 ตัวอย่างคอมโพสิตที่มีส่วนเสริมแรงต่างกัน [18]

2.3.1.2 เมทริกซ์

เมทริกซ์ (Matrix) เป็นองค์ประกอบที่มีความต่อเนื่องที่ยึดส่วนเสริมแรงเข้าด้วยกัน ทำให้ส่วนเสริมแรงอยู่ในตำแหน่งและการเรียงตัวที่กำหนด โดยเมทริกซ์จะล้อมรอบและปกป้องส่วนเสริมแรงจากการเสียดสภาพจากสิ่งแวดล้อม เช่น อุณหภูมิ ความชื้น ฯลฯ เมทริกซ์มักเป็นส่วนที่มีความแข็งแรงและมอดุลัสน้อยกว่าส่วนเสริมแรง เมทริกซ์มีหน้าที่ต่าง ๆ ดังนี้

1. ทำหน้าที่ถ่ายเทความเค้น (Transfer stresses) ที่ได้รับไปยังเส้นใยเสริมแรง และถ่ายเทความเค้นระหว่างเส้นใย
2. ทำหน้าที่เป็นเกราะป้องกัน (Barrier) กับสถานะแวดล้อมใด ๆ
3. ป้องกันเส้นใยจากการขัดถูเสียดสี (Abrasion)

2.3.2 การแบ่งชนิดของคอมโพสิต

การแบ่งชนิดวัสดุคอมโพสิตมีหลายแบบ คอมโพสิตอาจแบ่งตามลักษณะของส่วนเสริมแรงได้คือ

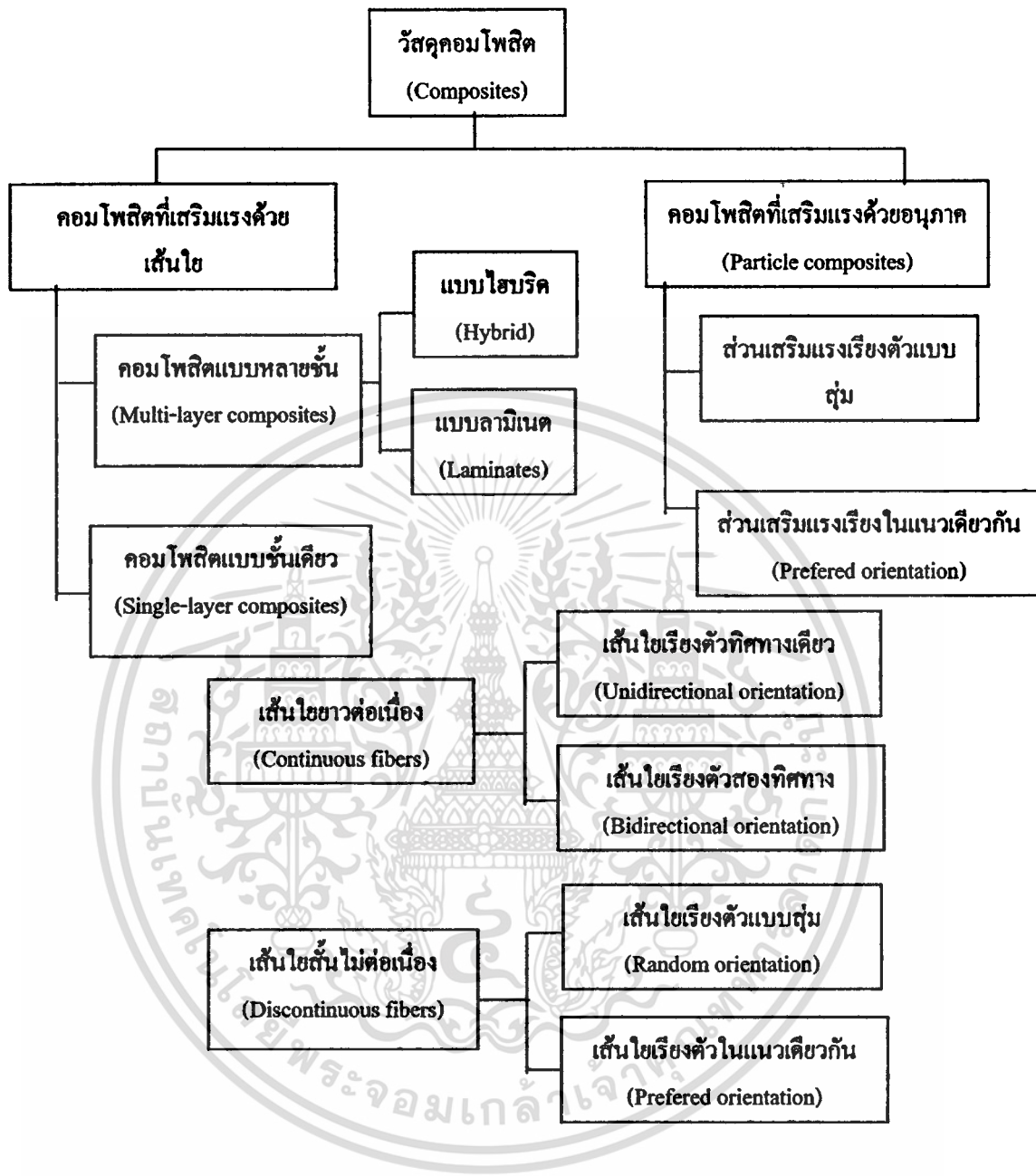
1. คอมโพสิตแบบเส้นใย (Fibrous composites) คือ คอมโพสิตที่มีส่วนเสริมแรงเป็นเส้นใย อาจเป็นเส้นใยสั้น (Short fibers) หรือเส้นใยยาวต่อเนื่อง (Continuous fibers) มักเป็นเส้นใยขนาดเล็กที่มีความแข็งแรงและมอดุลัสสูง ทำให้คอมโพสิตมีความแข็งแรงตามแนวการเรียงตัวของเส้นใยสูงกว่าแนวอื่น ๆ
2. คอมโพสิตแบบลามิเนต (Laminar composites) คือ คอมโพสิตที่ประกอบด้วยชั้นหรือแผ่นของวัสดุที่ยึดติดกันด้วยตัวเชื่อมเมทริกซ์ มีลักษณะเป็นชั้น ๆ คล้ายแผ่นประกบหรือเป็นโครงสร้างคล้ายรังผึ้ง
3. คอมโพสิตแบบเป็นก้อน (Particulate composites) คือ คอมโพสิตที่มีส่วนเสริมแรงเป็นเม็ด (Beads) เป็นแผ่น (Flake) หรือผง (Powder) ที่มีขนาดเล็ก

และสามารถเขียนเป็นแผนภูมิคอมโพสิตที่แบ่งตามลักษณะของส่วนเสริมแรงและการจัดเรียงตัวได้ดังรูปที่ 2.8

นอกจากนี้ ยังสามารถแบ่งชนิดของคอมโพสิตได้ตามลักษณะการเกิดของคอมโพสิต คือ

1. คอมโพสิตจากธรรมชาติ (Natural composites) คือ วัสดุคอมโพสิตที่เกิดขึ้นเองตามธรรมชาติ เช่น ไม้ ฟัน และกระดูก ตัวอย่างเช่น ไม้เป็นคอมโพสิตที่มีเส้นใยเซลลูโลสเป็นส่วนเสริมแรง โดยมีสารจำพวกลิกนินเป็นเมทริกซ์ยึดเซลลูโลสไว้ด้วยกัน ส่วนกระดูกและฟันเป็นคอมโพสิตของผลึกแคลเซียมไฮดรอกซีอะปาทิต (Hydroxyapatite) ที่อยู่ในเมทริกซ์ของคอลลาเจนที่เป็นสารอินทรีย์เหนียว เป็นต้น

2. คอมโพสิตจากการสังเคราะห์ (Synthetic composites) คือ วัสดุคอมโพสิตที่ได้จากการสังเคราะห์ เช่น พลาสติกเสริมแรง วัสดุไฟเบอร์กลาส ฯลฯ



รูปที่ 2.8 ประเภทของวัสดุคอมโพสิต โดยแบ่งตามลักษณะของส่วนเสริมแรง [21]

เอกสารนี้เป็นเอกสารที่สงวนไว้สำหรับการใช้งานเพื่อการศึกษาเท่านั้น ไม่อนุญาตให้นำไปใช้ประโยชน์ด้านการค้า
ไม่ว่ากรณีใดๆทั้งสิ้น อีกทั้งห้ามมิให้ดัดแปลงเนื้อหา และต้องอ้างอิงถึงเจ้าของเอกสารทุกครั้งที่มีการนำไปใช้

เมื่อพิจารณาข้อดีและข้อเสียของวัสดุคอมโพสิตสามารถสรุปได้ดังตารางที่ 2.5

ตารางที่ 2.5 ข้อดีและข้อเสียของคอมโพสิต [21]

ข้อดี	ข้อเสีย
<ol style="list-style-type: none"> 1. มีสมบัติต่อน้ำหนักสูง เช่น ความแข็งแรงจำเพาะ เนื่องจากวัสดุคอมโพสิตมีความหนาแน่นค้ำ น้ำหนักเบา 2. ช่วยลดน้ำหนักของวัสดุ 3. มีสมบัติหลายหลาย 4. มีอายุการใช้งานยาวนาน ด้านทานการสึกกร่อนดี 5. สมบัติการรับแรงและแอมป์ (Damping) ดี 6. ความทนทานต่อการล้าดี 7. มีเสถียรภาพทางรูปร่างสูง เนื่องจากมีสัมประสิทธิ์การขยายตัวทางความร้อนค้ำเมื่อเทียบกับวัสดุอื่น เช่น โลหะ 	<ol style="list-style-type: none"> 1. ต้นทุนการผลิตสูง เนื่องจากราคาของวัตถุดิบและเครื่องมือการขึ้นรูปคอมโพสิต 2. มักมีสมบัติแต่ละทิศทางไม่เท่ากันหรือมีสมบัติแอนไอโซโทรปี (Anisotropy) เนื่องจากมีการจัดเรียงตัว (Orientation) ของส่วนเสริมแรง 3. ยากในการต่อ (Attaching) หรือเชื่อมติดกับวัสดุอื่น 4. ยากในการตรวจวิเคราะห์สมบัติของคอมโพสิต 5. ยากในการทำลายและนำกลับมาใช้ใหม่หรือรีไซเคิล (Recycle)

2.4 การปรับปรุงสภาพพื้นผิวของเส้นใย [21]

2.4.1 ทฤษฎีการยึดเกาะ

สมบัติเชิงกล และสมบัติทางกายภาพของคอมโพสิตที่เสริมแรงด้วยเส้นใยไม่ได้ขึ้นอยู่กับความแข็งแรงของเส้นใยและเมตริกซ์เท่านั้น แต่ยังขึ้นกับลักษณะของผิวสัมผัสของเส้นใยกับเมตริกซ์ด้วย ในวัสดุคอมโพสิต เมตริกซ์สามารถสามารถยึดเกาะกับเส้นใยได้หลายวิธี กลไกการยึดเกาะหลักแบ่งออกเป็น 5 กลไก ซึ่งอาจเกิดอย่างใดอย่างหนึ่งหรือเกิดร่วมกัน ดังนี้

1. การดูดซับและการเปียก (Adsorption and Wetting)

เมื่อพื้นผิวสองพื้นผิวที่ไม่มีประจุไฟฟ้าอยู่ใกล้กันมากพอ จะเกิด “แรงดึงดูดเชิงกล” (Physical attraction) เช่น การเปียก (Wetting) ของเหลวบนพื้นผิวของแข็ง ในกรณีของของแข็งสองชนิดอยู่ใกล้ชิดกันมากถึงระดับจุลภาคหรือระดับอะตอม ความขรุขระของพื้นผิวจะเป็นสิ่งขัดขวางไม่ให้เกิดการยึดเกาะหรือสัมผัส จะมีเพียงบางตำแหน่งเท่านั้นที่สามารถสัมผัสกันได้

2. การแพร่เข้าหากัน (Interdiffusion)

เกิดระหว่างสองพื้นผิวที่มีการแพร่โมเลกุลพอลิเมอร์บนพื้นหนึ่งไปยังโครงร่างโมเลกุลอีกพื้นผิวหนึ่ง ความแข็งแรงของแรงยึดติดนี้ขึ้นอยู่กับความยืดหยุ่นและความสามารถในการเคลื่อนที่และการเกี่ยวพันของสายโซ่พอลิเมอร์

3. แรงดึงดูดประจุหรือไฟฟ้าสถิตย์ (Electrostatic attraction)

เกิดขึ้นเมื่อวัสดุสองชนิดที่มีประจุต่างกันมาอยู่ใกล้กัน นั่นคือถ้าพื้นผิวหนึ่งมีประจุรวมเป็นบวก และอีกพื้นผิวหนึ่งมีประจุรวมเป็นลบ เกิดแรงดึงดูดระหว่างประจุที่ต่างกัน ความแข็งแรงของการยึดติดชนิดนี้ขึ้นอยู่กับความหนาแน่นประจุ แรงดึงดูดระหว่างประจุหรือไฟฟ้าสถิตย์ไม่ใช่แรงยึดเกาะหลักระหว่างเส้นใยกับเมตริกซ์ในคอมโพสิต

4. พันธะเคมี (Chemical bonding)

เกิดขึ้นเมื่อเส้นใยมีหมู่ฟังก์ชันเคมีบนพื้นผิว และเมตริกซ์มีหมู่ฟังก์ชันเคมีที่สามารถเกิดปฏิกิริยาเคมีเป็นพันธะเคมีได้แก่ พันธะโควาเลนต์เชื่อมระหว่างเส้นใยกับเมตริกซ์ ซึ่งเป็นการยึดเกาะที่แข็งแรง ความแข็งแรงของกลไกการยึดเกาะชนิดนี้ขึ้นอยู่กับจำนวนและชนิดของพันธะที่เกิดขึ้น

5. การยึดเกาะเชิงกล (Mechanical adhesion or mechanical interlocking)

เกิดขึ้นเมื่อเมตริกซ์กระจายบนพื้นผิวเส้นใย ในขณะที่เป็นของไหลสามารถที่จะแทรกตัวไปตามพื้นผิวที่ขรุขระของเส้นใย รวมทั้งช่องว่างอื่น ๆ เมื่อเมตริกซ์แข็งตัวเป็นเหตุให้เมตริกซ์ถูกล็อกแข็งติดอยู่กับพื้นผิวเส้นใย ความแข็งแรงของกลไกการยึดเกาะชนิดนี้ขึ้นอยู่กับความขรุขระ (Roughness) ของพื้นผิวเส้นใยที่เมตริกซ์แทรกตัวไป

ประสิทธิภาพของการยึดเกาะระหว่างพื้นผิวเส้นใยและเมตริกซ์นั้นเป็นส่วนสำคัญที่จะขึ้นกับความสามารถในการนำพลาสติกคอมโพสิต ไปประยุกต์ใช้งานเพื่อให้มีความหลากหลาย ดังนั้นการปรับปรุงพื้นผิวของเส้นใยก่อนนำมาผลิตพลาสติกคอมโพสิตเพื่อเพิ่มการยึดเกาะระหว่างเส้นใยและเมตริกซ์จึงเป็นที่นิยมกันในปัจจุบัน วิธีการปรับปรุงพื้นผิวเส้นใยมี 2 วิธี คือ วิธีทางกายภาพ (Physical methods) และวิธีทางเคมี (Chemical methods) ซึ่งแต่ละวิธีจะให้ประสิทธิภาพการยึดเกาะที่แตกต่างกัน

2.4.2 วิธีทางกายภาพ

การปรับปรุงพื้นผิวทางกายภาพทำได้หลายวิธี เช่น การคึงยืด (Stretching) การรีดคึง (Calendering) การปรับปรุงพื้นผิวโดยใช้ความร้อน (Thermotreatment) และการพันเส้นใย (Hybrid yarns) วิธีที่ระบุข้างต้นเหล่านี้จะไม่ทำให้องค์ประกอบทางเคมีของเส้นใยเปลี่ยนแปลงไป แต่อย่างไรก็ตามยังมีการปรับปรุงพื้นผิวทางกายภาพอื่น ๆ ที่ทำให้องค์ประกอบทางเคมีของเส้นใยเปลี่ยนแปลงไปซึ่งจะมีผลต่อพันธะเชิงกลของเส้นใยและเมตริกซ์พอลิเมอร์

2.4.3 วิธีทางเคมี

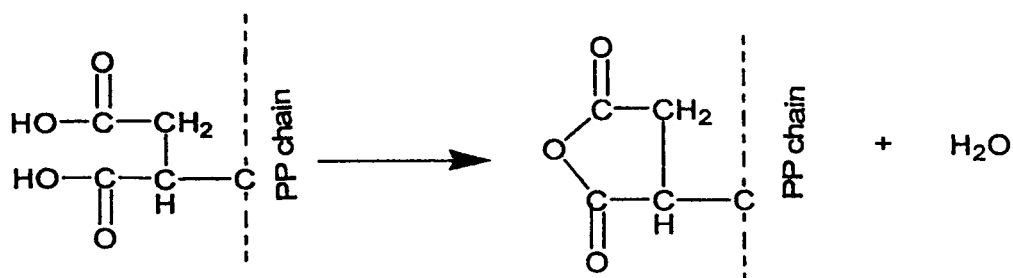
เนื่องจากเส้นใยเซลลูโลสมีหมู่ไฮดรอกซิลอยู่ในโครงสร้างจึงทำให้เส้นใยเซลลูโลสมีขี้มาก จึงเป็นเหตุให้ไม่สามารถเข้ากันได้ (Incompatibility) กับพอลิเมอร์ที่ไม่มีขี้หรือมีสมบัติไม่ชอบน้ำ (Hydrophobic) เช่น พอลิพรอพิลีน ความสามารถในการเข้ากันได้ระหว่างพอลิเมอร์เมตริกซ์กับเส้นใยสามารถปรับปรุงได้โดยการใช้สารคู่ควบ (Coupling agents) ซึ่งสารคู่ควบจะเป็นตัวกลางเชื่อมระหว่างวัสดุทั้งสอง สารคู่ควบมีหลายชนิดแตกต่างกันตามหน้าที่ในการเชื่อม โยงหน้าที่ของสารคู่ควบมีหลายประการดังนี้

1. สารคู่ควบจะปรับปรุงสมบัติการเปียกผิว (Wettability) ระหว่างพอลิเมอร์กับสารตั้งต้น โดยจะเพิ่มแรงยึดเกาะระหว่างพื้นผิว (Surface tension)
2. สารคู่ควบจะปรับปรุงพื้นผิวระหว่างวัสดุที่ไม่แข็งแรงของพลาสติกคอมโพสิต
3. สารคู่ควบจะเพิ่มความเหนียวและความสามารถในการโค้งงอให้กับวัสดุ
4. สารคู่ควบจะสร้างพันธะโควาเลนต์ให้เกิดขึ้นระหว่างวัสดุทั้งสอง
5. สารคู่ควบจะเปลี่ยนแปลงความเป็นกรดของพื้นผิวสารตั้งต้น

2.4.3.1 พอลิเมอร์ร่วมชนิดต่อกิ่ง

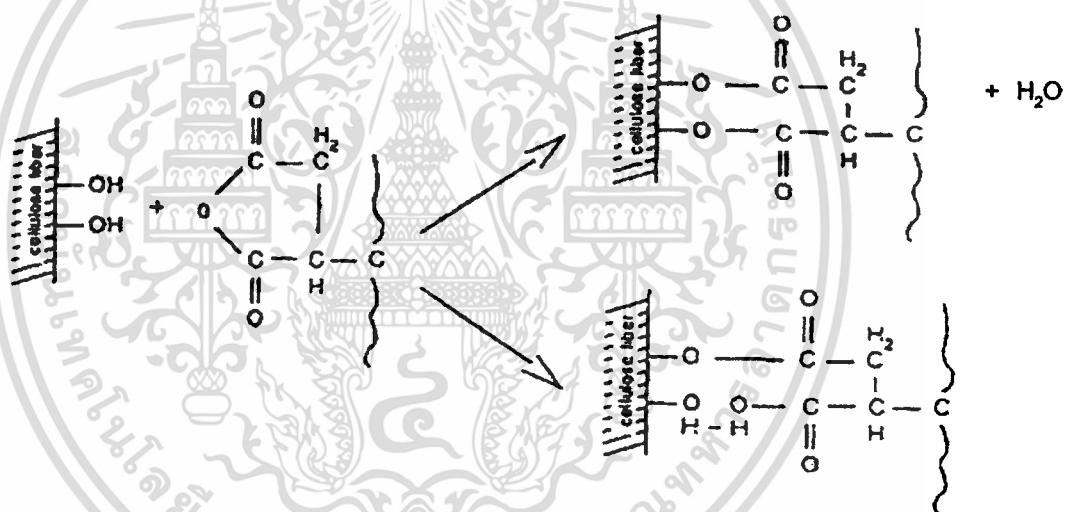
วิธีนี้เป็นการใช้พอลิพรอพิลีนต่อกิ่งด้วยมาลิกแอนไฮไดรด์ (Maleic anhydride grafted polypropylene, MAPP) เป็นสารคู่ควบซึ่งจะทำให้เกิดพันธะโควาเลนต์ระหว่างมาลิกแอนไฮไดรด์ และหมู่ไฮดรอกซิลบนพื้นผิวของเซลลูโลส กลไกของปฏิกิริยาสามารถแบ่งได้ 2 ขั้นตอนคือ

ขั้นที่ 1 การกระตุ้นโคพอลิเมอร์ (Activation of the copolymer, MAPP) ด้วยความร้อน โดยใช้อุณหภูมิประมาณ 170 องศาเซลเซียส ก่อนที่จะปรับสภาพพื้นผิวเส้นใยซึ่งโคพอลิเมอร์จะเปลี่ยนรูปเป็นแอนไฮไดรด์ที่ว่องไวกว่า ปฏิกิริยาที่เกิดขึ้นสามารถแสดงได้ดังรูปที่ 2.9



รูปที่ 2.9 การกระตุ้น โพลอติเมอร์ด้วยความร้อน [22]

ขั้นที่ 2 เอสเทอร์ฟิเคชันของเซลลูโลส (Esterification of cellulose) เกิดเป็นพันธะไฮโดรเจนและเกิดปฏิกิริยาเอสเทอร์ฟิเคชันกับหมู่ไฮดรอกซิลของเซลลูโลสและเกิดพันธะเอสเทอร์ได้ ปฏิกิริยาที่เกิดขึ้นแสดงดังรูปที่ 2.10



รูปที่ 2.10 ปฏิกิริยาเอสเทอร์ฟิเคชันของเซลลูโลส [22]

เอกสารนี้เป็นเอกสารที่สงวนไว้สำหรับการใช้งานเพื่อการศึกษาเท่านั้น ไม่อนุญาตให้นำไปใช้ประโยชน์ด้านการค้า
ไม่ว่ากรณีใดๆทั้งสิ้น อีกทั้งห้ามมิให้ตัดแปลงเนื้อหา และต้องอ้างอิงถึงเจ้าของเอกสารทุกครั้งที่มีการนำไปใช้

2.5 งานวิจัยที่เกี่ยวข้อง

นันทพร พันธุ์ภักดี และ เรวดี สฤทธาริยะ [23] ได้ทำการศึกษาพอลิเมอร์คอมโพสิตใช้เส้นใยอ้อยเป็นสารตัวเติมในพอลิพรอพิลีน โดยมีการปรับปรุงพื้นผิวเส้นใยด้วยวิธีการการฉายรังสี การปรับสภาพผิวของเส้นใยด้วยสารอีโพลีนแวกซ์ (Epolene wax) ซึ่งเป็นสารช่วยกระจาย และการใช้เม็ดติฟังก์ชันมอนอเมอร์ (Multifunctional monomer) โดยใช้สาร TMPTA ใช้การผสมด้วยเครื่อง Barbender ขึ้นรูปด้วยเครื่อง Injection molding พบว่าปริมาณเส้นใยอ้อย 10% โดยน้ำหนัก สามารถทนต่อแรงดึงยึด แรงกระแทก การขูด และความร้อนได้ดี

จิราพรรณ หน่ายคอน และ มาริษา ดันดีลักขณา [24] ได้ทำการศึกษาพอลิเมอร์ คอมโพสิตใช้เส้นใยอ้อยเป็นสารตัวเติมในพอลิพรอพิลีนและพอลิเอทิลีนชนิดความหนาแน่นสูงจากขวดน้ำพลาสติกที่เหลือใช้ โดยมีการปรับปรุงพื้นผิวเส้นใยด้วยวิธีการการฉายรังสีแกมมาจากโคบอลต์ 60 ในปริมาณ 0 10 20 และ 30 กิโลเกย์ และใช้เม็ดติฟังก์ชันมอนอเมอร์ช่วยในการตอก พบว่าการฉายรังสีในปริมาณ 10 กิโลเกย์ ให้สมบัติที่ดีที่สุด และเมื่อทำการเปรียบเทียบพอลิเมอร์คอมโพสิตที่ทำจากเส้นใยใหม่และเก่า พบว่าพอลิเมอร์คอมโพสิตที่ทำจากเส้นใยใหม่ให้สมบัติเชิงกลดีกว่า และดูดซับน้ำน้อยกว่าพอลิเมอร์คอมโพสิตที่ได้จากเส้นใยเก่า

กมลทิพย์ มุมิ และ รัชณีกุล บุญหนูกลับ [25] ได้ทำการศึกษาพอลิเมอร์คอมโพสิตใช้เส้นใยมะพร้าวเป็นสารตัวเติมในอะครีโลไนไตร-บิวทาไดอิน-สไตรีน (ABS) โดยการปรับปรุงพื้นผิวเส้นใยมะพร้าวโดยทำการสกัดเส้นใยด้วยสารละลายโซเดียมไฮดรอกไซด์เข้มข้น 5% นาน 48 ชั่วโมง และสกัดเส้นใยด้วยสารละลายโซเดียมไฮดรอกไซด์เข้มข้น 5% นาน 48 ชั่วโมงแล้วตอกด้วยอะครีลาไมด์ นอกจากนี้ยังได้ทำการศึกษาสถานะในขั้นตอนการตอกโดยใช้ความเข้มข้นมอนอเมอร์ 0.5 0.75 และ 1 โมลาร์ ใช้เวลาในการตอก 1 3 และ 5 ชั่วโมง รวมทั้งศึกษาผลของอะครีลาไมด์ที่ติดอยู่บนเส้นใยที่มีผลต่อสมบัติเชิงกลของคอมโพสิต โดยการนำเส้นใยที่ทำการตอกแบ่งออกเป็นสองส่วน ส่วนแรกนำไปล้างน้ำกลั่นอุณหภูมิ 55 องศาเซลเซียส อีกส่วนล้างด้วยน้ำกลั่นที่อุณหภูมิห้อง อบเส้นใยที่อุณหภูมิ 70 องศาเซลเซียส นาน 6 ชั่วโมงก่อนนำไปเตรียมคอมโพสิต ผลจากการศึกษาพบว่าเส้นใยมะพร้าวที่สกัดด้วยสารละลายโซเดียมไฮดรอกไซด์ทำให้คอมโพสิตมีสมบัติเชิงกล และสมบัติทางความร้อนดีกว่าเส้นใยมะพร้าวที่ไม่ได้ปรับปรุง เนื่องจากการสกัดด้วยสารละลายโซเดียมไฮดรอกไซด์ช่วยการยึดเกาะระหว่างเส้นใยกับเมทริกซ์ดีขึ้น นอกจากนี้พบว่าสถานะการตอกทำให้ได้คอมโพสิตที่มีสมบัติเชิงกลดีที่สุด

M.B.Fernanda และคณะ [26] ได้ทำการศึกษาผลของการปรับปรุงพื้นผิวของเส้นใยไม้ที่ได้จากเยื่อไม้ของต้นสน (Aspen) ที่มีต่อสมบัติเชิงกลของคอมโพสิตระหว่างเส้นใยสนกับเมทริกซ์ที่เป็นพอลิพรอพิลีนหรือพอลิพรอพิลีนคอลลีด้วยมาลิกแอนไฮดราต นอกจากนี้ยังศึกษาสภาวะที่เหมาะสมที่ใช้ในการผสมเพื่อเตรียมพลาสติกคอมโพสิต โดยทำการผสมพอลิพรอพิลีน และเส้นใยสนที่อุณหภูมิต่าง ๆ คือ 170 180 และ 190 องศาเซลเซียส เป็นเวลา 10 และ 15 นาที ความเร็วสกรู 60 รอบต่อนาที ทำการปรับปรุงพื้นผิวของเส้นใยไม้ด้วยสารก่อกวนไขมัน โดยมีชนิดของสารก่อกวนไขมัน ปริมาณสารก่อกวนไขมันและกระบวนการเคลือบบนพื้นผิวของเมทริกซ์ของ PP หรือ MAPP ที่แตกต่างกัน จากผลการทดลองพบว่าอุณหภูมิและเวลาในการผสมที่เหมาะสม คือ 180 องศาเซลเซียสและ 10 นาที ตามลำดับ ในขณะที่การปรับปรุงสภาพผิวเส้นใยไม้ด้วยสารก่อกวนไขมัน A-172 ในปริมาณ 4% โดยน้ำหนัก ที่เคลือบด้วย MAPP 2% w/v และปริมาณเส้นใยไม้ที่ 10% w/w ให้ค่าความแข็งแรงดึง มอดูลัส และความทนทานต่อการโค้งงอสูงสุด และร้อยละการยืด ณ จุดขาด ค่าที่สุด

T.Q.Li และคณะ [27] ทำการศึกษาความทนทานต่อแรงกระแทกของคอมโพสิตระหว่างพอลิพรอพิลีนที่นำกลับมาใช้ใหม่และขี้เลื่อยจากต้นสนที่ได้จากโรงงานทำเฟอร์นิเจอร์ทั่วไป พบว่าความแข็งแรงกระแทกแบบไอซอด (Notched Izod strength) เพิ่มขึ้นตามการเพิ่มขึ้นของปริมาณ MAPP และปริมาณเส้นใยในคอมโพสิต นอกจากนี้ความแข็งแรงดึงและมอดูลัสเพิ่มขึ้นตามปริมาณ MAPP ที่เพิ่มขึ้นด้วย อย่างไรก็ตามเมื่อทำการศึกษาลักษณะการแตกตัวเชิงกล (Linear fracture mechanics, LEFM) โดยการทดสอบความแข็งแรงกระแทกแบบชาร์ปี พบว่าพลังงานแตกร้าว (Fracture energy, G_c) เพิ่มขึ้นตามการเพิ่มของปริมาณ MAPP และมีค่าลดลงเล็กน้อยเมื่อไม่ได้เติม MAPP ส่วนความเหนียวขณะแตกร้าว (Fracture toughness, K_{Ic}) ของคอมโพสิตที่ไม่ได้เติม MAPP เพิ่มขึ้นในอัตราที่สูงกว่าคอมโพสิตที่ผ่านการปรับปรุงพื้นผิวด้วย MAPP แต่ความเหนียวขณะแตกร้าวของคอมโพสิตที่ไม่ได้เติม MAPP มีค่าต่ำกว่าคอมโพสิตที่ผ่านการปรับปรุงพื้นผิวด้วย MAPP ที่ปริมาณเส้นใย 30% และ 40%

K.Rajeev และคณะ [28] ศึกษาคอมโพสิตระหว่างไอโซแทกติกพอลิพรอพิลีนและเส้นใยปอกระเจา (Kenaf fiber) โดยใช้ MAPP เป็นสารช่วยผสมในเครื่องอัดรีดแบบเกลียวทวนอนคู่และฉีดขึ้นรูปชิ้นงาน นอกจากนี้ยังศึกษาคอมโพสิตที่ปรับปรุงพื้นผิวเส้นใยด้วยสารละลาย Amino-ethyl-amino-propyl trimethoxysilane ในน้ำ และทดสอบสมบัติเชิงกลต่าง ๆ จากผลงานวิจัยพบว่าเมื่อเพิ่มปริมาณ MAPP 2-5% ทำให้สมบัติด้านแรงดึงและสมบัติด้านการโค้งงอเพิ่มขึ้น แต่ความแข็งแรงกระแทกและความเหนียว (Toughness) ลดลง นอกจากนี้สมบัติต่าง ๆ ของคอมโพสิตที่ปรับปรุงพื้นผิวด้วยไขมันที่ปริมาณเส้นใยเท่ากันเปรียบเทียบกับการใช้ MAPP นั้น พบว่าการใช้ไขมันให้สมบัติด้านแรงดึง สมบัติด้านโค้งงอ และความแข็งแรงกระแทกสูงกว่าการใช้ MAPP

P.W.Balasuriya และคณะ [29] ศึกษาถึงวิธีการปรับปรุงพื้นผิวของคอมโพสิตระหว่าง HDPE และเศษไม้ (Wood flakes) ด้วยมาลิกอิกแอนไฮดรอยด์ (MA) ผสมในเครื่องอัดรีดแบบเกลียวทวนอก (Twin - screw extruder) และใช้สารละลายไซเลน (N - (4 - vinylbenzyl) - N' - (3 - trimethoxysilypropylethyl) enediamine, CVBS) จากการวิเคราะห์ด้วยเครื่อง DSC และ FTIR สามารถพบโครงสร้างที่เกิดจาก HDPE และไซเลนต่อกิ่งบนเส้นใยไม้ที่ตำแหน่งสเปกตรัม 1111 และ 1032 cm^{-1} ซึ่งเป็นโครงสร้างของพอลิไซลอคเซน และพบพีกที่ตำแหน่ง 1865 1786 และ 1795 - 1775 เป็นหมู่แอนไฮดรอยด์ นอกจากนี้ที่ตำแหน่ง 1305 และ 1220 cm^{-1} ของ C-O Stretching ของ Cyclic anhydride ซึ่งช่วยเพิ่มความสามารถในการเข้ากันได้ระหว่างเส้นใยไม้และพอลิเอทิลีน จากผลของสมบัติเชิงกลแสดงว่าคอมโพสิตที่ปรับปรุงพื้นผิวด้วยไซเลนและ MA นั้นปรับปรุงความแข็งแรงดึง ความเหนียว และความแข็งแรงกระแทกแบบไอซอค โดยพบว่า การปรับปรุงพื้นผิวด้วย MA 1-2% โดยน้ำหนักขี้เลื่อย และ ไซเลน 1-3% โดยน้ำหนักขี้เลื่อย ให้สมบัติเชิงกลที่เหมาะสมที่สุด

M.C.Matias และคณะ [30] ศึกษาปฏิกิริยาของพอลิพรอพิลีนและเส้นใยเซลลูโลสที่ได้จากเยื่อกระดาษที่ไม่ได้ฟอกขาวและกระดาษกรองอ้างอิง (Whatman no.42) โดยใช้สารคู่ควบ 3 ชนิด ได้แก่ MAPP, N-2-Aminoethyl-3-aminopropyltri-methoxysilane และ Methyltrimethoxy silane เพื่อปรับปรุงความเข้ากันได้ระหว่างเส้นใยและเมทริกซ์ ศึกษาปฏิกิริยาโดยใช้เทคนิค DRIFT และ Diffuse reflectance ultraviolet-visible spectroscopy ซึ่งเส้นใยเซลลูโลสทั้งสองชนิดเกิดปฏิกิริยาไปในทางเดียวกัน สำหรับ Aminosilane นั้นเกิดปฏิกิริยากับเซลลูโลสในส่วนหมู่เอมิโนที่พีกตำแหน่ง 1550 cm^{-1} และเกิดสเปกตรัมของพอลิไซลอคเซนที่ตำแหน่ง 1060-1260 cm^{-1} สำหรับการใส่ MAPP เป็นสารคู่ควบนั้นแสดงพีกที่ตำแหน่ง 1718 และ 1775 cm^{-1} ของ MAPP ส่วนเส้นใยที่ปรับปรุงพื้นผิวด้วย MAPP นั้นปรากฏสเปกตรัมที่ตำแหน่ง 1734 cm^{-1} แสดงหมู่คาร์บอนิลของเอสเทอร์ จากการศึกษาเปรียบเทียบระดับการปรับปรุงพื้นผิวเซลลูโลส (Degree of cellulose modification) ด้วยสารคู่ควบแต่ละชนิดด้วยการวิเคราะห์จลนศาสตร์ของการออกซิเดชัน ซึ่งให้เห็นว่าการลดลงของหมู่ที่ว่องไวต่อการเกิดปฏิกิริยาของเซลลูโลสเกิดขึ้นจากการเกิดปฏิกิริยาเอสเทอร์ฟิเคชันด้วย MAPP เช่นเดียวกับไซเลนที่เกิดจากปฏิกิริยาควบแน่นระหว่างหมู่ไซลานอลกับหมู่ไซลอคซิลของเซลลูโลส

N.Stark และคณะ [31] ทำการศึกษาคอมโพสิตระหว่างพอลิพรอพิลีนและผงไม้โดยพิจารณาผลของชนิดผงไม้และขนาดอนุภาคผงไม้ที่มีคุณสมบัติต่าง ๆ ของคอมโพสิต โดยเติมผงไม้ปริมาณ 20-60% โดยน้ำหนักผงไม้ พบว่าเมื่อปริมาณผงไม้เพิ่มขึ้นค่ามอดูลัสโค้งงอและมอดูลัสแรงดึง ความหนาแน่น อุณหภูมิการเสียรูปเพิ่มขึ้น ในขณะที่ความแข็งแรงโค้งงอ ความแข็งแรงดึง ร้อยละการดึงยืด ๗ จุดขาด การหดตัวของแม่แบบ (Mold shrinkage) และดัชนีการหลอมไหล (Melt flow index) มีแนวโน้มลดลง นอกจากนี้ไม้เนื้อแข็งให้สมบัติด้านแรงโค้งงอและแรงดึง รวมถึงอุณหภูมิการเสียรูปดีกว่าไม้เนื้ออ่อน และปริมาณผงไม้ 40% โดยน้ำหนักผงไม้ ให้สมบัติโดยรวมดีที่สุด สมบัติด้านแรงดึง สมบัติด้านแรงโค้งงอ อุณหภูมิการเสียรูป มีแนวโน้มเพิ่มขึ้นเมื่อเพิ่มขนาดผงไม้ สำหรับขนาดผงไม้ต่ำกว่า 0.25 มิลลิเมตรทำให้การหดตัวของแม่แบบลดลง

O.Y.Mansour และคณะ [32] ได้ทำการศึกษาอัตราการเกิดกราฟพอลิเมอร์ไรเซชันแบบต่อเนื่องของไวนิลมอนอเมอร์เมทิลเมทาไครเลท เมทิลอะไครเลท เอทิลอะไครเลท แอลลิลแอลกอฮอล์ แอลลิลคลอไรด์ อะครีโลไนไคล์ โดยใช้เซลลูโลสจากเส้นใยฝ้ายที่ผ่านการปรับปรุงด้วยสารละลายต่าง ๆ โดยใช้สารละลายโซเดียมไฮดรอกไซด์ที่ความเข้มข้น 5 10 15 20 25 และ 30% โดยน้ำหนักต่อปริมาตรเป็นเวลา 1 ชั่วโมง พบว่าการปรับปรุงด้วยสารละลายต่าง ๆ ลดความเป็นผลึกของเซลลูโลส การใช้โซเดียมไฮดรอกไซด์ความเข้มข้น 5% สามารถลดอัตราการเกิดกราฟพอลิเมอร์ไรเซชันและปริมาณการต่อเนื่อง สำหรับการใส่โซเดียมไฮดรอกไซด์ความเข้มข้นอื่นพบว่าเป็นการเพิ่มอัตราการใส่ ฟรีดิคัลแอมโมเนียมซัลเฟต (Free-radical) นอกจากนี้การใช้โซเดียมไฮดรอกไซด์ความเข้มข้นต่ำกว่า 5% พบว่าให้ประสิทธิภาพ ปริมาณการต่อเนื่อง และความเป็นผลึกของเซลลูโลสมากที่สุด และที่โซเดียมไฮดรอกไซด์ความเข้มข้น 15% ขึ้นไปทำให้ความเป็นผลึก ประสิทธิภาพ และปริมาณการต่อเนื่องลดลง

J.C.M.Suarez และคณะ [33] ได้ทำการศึกษาสมบัติความแข็งแรงดึง ความแข็งแรงกระแทก และโครงสร้างของส่วนประกอบของคอมโพสิตระหว่างพอลิพรอพิลีนกับซีลีออสผงไม้ 4 ชนิดได้แก่ ซินเนมอน เซอร์รี่ วอลนัท และ มะฮอกกานี โดยมีการปรับปรุงพื้นผิวของซีลีออสด้วย MAPP 22.4 % โดยน้ำหนักของผงไม้ พบว่าการเติม MAPP ช่วยปรับปรุงสมบัติต่าง ๆ ดีกว่าที่ไม่ได้เติม เนื่องจากช่วยเพิ่มการยึดเกาะบริเวณพื้นผิวระหว่าง PP/ซีลีออส โดยปริมาณ MAPP 20-40% ช่วยปรับปรุงการยึดเกาะระหว่างวัฏภาคได้ดีส่งผลให้สมบัติความแข็งแรงดึงดีที่สุด แต่ที่ปริมาณ MAPP 10% ช่วยปรับปรุงการยึดเกาะเพียงพอแล้ว

M.N.Ichazo และคณะ [34] ได้ทำการศึกษาสมบัติเชิงกล โครงสร้างส่วนประกอบ และสมบัติทางความร้อนของคอมโพสิตที่เกิดจากพอลิพรอพิลีนกับผงไม้เนื้อแข็งซึ่งผสมไม้ 5 ชนิดในปริมาณเท่ากัน ได้แก่ มะฮอกกานี ซีคาร์ สน โอ๊ก และซาภิซาคิ ที่อัตราส่วน 10 20 30 และ 40% โดยน้ำหนัก พบว่าที่อัตราส่วน 40 % มีสมบัติที่ดีที่สุดจึงนำมาทำการปรับปรุงผงไม้ด้วยโซเดียมไฮดรอกไซด์ความเข้มข้น 18% โดยน้ำหนัก เป็นเวลา 30 นาที และ 60 นาที แล้วเติมสารช่วยผสม MAPP 3.45% โดยน้ำหนักของพอลิพรอพิลีน เพื่อปรับปรุงการยึดเกาะระหว่างวัฏภาคและการกระจายตัวของผงไม้ พบว่าการปรับปรุงโดยใช้สารละลายค้างเพียงอย่างเดียวช่วยปรับปรุงการกระจายตัวของผงไม้และช่วยให้หมู่ OH ที่ผิวหน้าของไวมากขึ้น การเติมผงไม้ที่ปรับปรุงด้วยโซเดียมไฮดรอกไซด์ทำให้ความแข็งแรงดึงเพิ่มขึ้นเล็กน้อย และเพิ่มค่ามอดุลัส แต่ค่าร้อยละการดึงยึดและความแข็งแรงกระแทกลดลง การเพิ่มปริมาณผงไม้ทำให้ร้อยละการดูดซับน้ำโดยเพิ่มอย่างรวดเร็วในระยะเริ่มต้นและเริ่มคงที่เมื่อเวลาผ่านไป 30 วัน แต่พบว่าขนาดของผงไม้ไม่มีผลต่อสมบัติของชิ้นงานมากนัก นอกจากนี้เมื่อเติม MAPP ทำให้ร้อยละการดูดซับน้ำลดลงและทำให้คุณสมบัติความเป็นผลึกสูงขึ้น จากการศึกษาสมบัติทางความร้อนพบว่าคอมโพสิตที่ไม่ได้ผ่านการปรับปรุงมีค่า T_g เพิ่มขึ้น 7 องศาเซลเซียส และเพิ่ม 13 องศาเซลเซียส เมื่อผ่านการปรับปรุง แต่ผลของ T_m ไม่มีการเปลี่ยนแปลงทั้งคอมโพสิตที่ไม่ได้ผ่านการปรับปรุงและผ่านการปรับปรุง

K.Joseph และคณะ [35] ได้ทำการศึกษาสมบัติทางด้านความแข็งแรงดึงของคอมโพสิตที่เกิดจากพอลิเอทิลีนชนิดความหนาแน่นต่ำ (LDPE) กับเส้นใยป่านศรนารายณ์ (Sisal fiber) พบว่าปัจจัยที่มีอิทธิพลต่อค่าความแข็งแรงดึง ได้แก่ กระบวนการผสมเส้นใยกับพอลิเมอร์ ความยาวของเส้นใย ปริมาณเส้นใยและลักษณะการจัดเรียงตัวของเส้นใยในพอลิเมอร์ โดยที่การผสมพอลิเมอร์กับเส้นใยในวิธีการผสมแบบสารละลาย (Solution mixing) ทำให้เกิดการเสียหายของเส้นใยน้อยกว่าการผสมแบบหลอมเหลว (Melt mixing) ซึ่งเมื่อเพิ่มปริมาณเส้นใยลงไป มีผลทำให้ค่าความแข็งแรงดึงของคอมโพสิตเพิ่มขึ้น แต่ค่าร้อยละการยึด ฉ จุดขาดลดลง และเมื่อนำคอมโพสิตมาฉีดขึ้นรูปใหม่ได้ค่าร้อยละการยึด ฉ จุดขาดเพิ่มขึ้นตามจำนวนครั้งที่ฉีด ทั้งนี้เนื่องมาจากผลของความร้อนในระหว่างกระบวนการขึ้นรูปทำให้เกิดการสลายตัวของผิวของเส้นใย จึงทำให้เส้นใยยึดติดกับเมตริกซ์ได้ดีขึ้นค่าร้อยละการยึด ฉ จุดขาดจึงเพิ่มขึ้น นอกจากนี้พบว่าคอมโพสิตที่มีการจัดเรียงตัวของเส้นใยตามแนวแรงให้ค่าความแข็งแรงดึงดีกว่า คอมโพสิตที่มีการจัดเรียงตัวของเส้นใยในแนวทิศทาง ตั้งฉากกับแนวแรง และเส้นใยที่มีความยาว 6 มิลลิเมตร ให้ค่าความแข็งแรงดึงที่สูงสุด

P.V.Joseph และคณะ [36] ได้ทำการศึกษาสมบัติทางความร้อนและความเป็นผลึกของคอมโพสิตที่เกิดจากพอลิพรอพิลีน กับเส้นใยป่านศรนารายณ์ (Sisal fiber) โดยมีการปรับปรุงการยึดเกาะของเส้นใยด้วยยูรีเทนเคลือบผิวของพอลิพรอพิลีน ไกลคอล (PPG/TDI) , MAPP และ $KMnO_4$ ด้วยเทคนิค TG DSC และ OM จากเทคนิค TG พบว่าการเติมเส้นใยป่านศรนารายณ์และการปรับปรุงทางเคมีส่งผลต่อสมบัติทางความร้อนของคอมโพสิต โดยคอมโพสิตที่เติมเส้นใยป่านศรนารายณ์ที่ผ่านการปรับปรุงทางเคมีให้สมบัติทางความร้อนที่ดีกว่าเส้นใยที่ไม่ผ่านการปรับปรุง จากเทคนิค DSC พบว่าการเติมเส้นใยใน PP ทำให้ความเป็นผลึก และอุณหภูมิการเป็นผลึกสูงขึ้น เนื่องจากที่ผิวหน้าของเส้นใยเกิดการริเริ่มของนิวเคลียส และเมื่อเพิ่มปริมาณของเส้นใยอุณหภูมิการหลอมเหลวของพอลิพรอพิลีนสูงขึ้น พบว่าการใช้ PPG/TDI ทำให้อุณหภูมิการเป็นผลึกน้อยที่สุด



บทที่ 3

การดำเนินงานวิจัย

3.1 สารเคมี และวัสดุที่ใช้ในงานวิจัย

1. พอลิพรอพิลีน (Polypropylene, PP) : Moplen[®] HP550R (High flow polypropylene homopolymer resin) จากบริษัท HMC POLYMERS COMPANY LIMITED มีสมบัติดังตารางที่ 3.1

ตารางที่ 3.1 สมบัติของพอลิพรอพิลีน (Moplen[®] HP550R) [37]

สมบัติทั่วไป	Moplen [®] HP550R	ASTM METHOD
อัตราการไหล (Melt flow rate, g/10min)	22	D 1238
ความหนาแน่น (Density, g/cm ³)	0.90	D 792B
ความแข็งแรงดึง ณ จุดคราก (Tensile strength at yield, MPa)	33	D 638
ร้อยละการดึงยืด ณ จุดคราก (Elongation at yield, %)	9	D638
มอดุลัสโค้งงอ (Flexural modulus, MPa)	1450	D 790A
ความแข็งแรงกระแทก (Notched izod impact strength at 23 °C, J/m)	15	D 256A
อุณหภูมิการเสียรูป (Deflection temperature at 455 kPa, °C)	92	D 648

2. ไม้เต็งนอก (*Shorea foxworthyi*) : จากโรงงานทำเฟอร์นิเจอร์ทั่วไป
3. พอลิพรอพิลีนต่อกิ่งด้วยมาลิกแอนไฮไดรด์ (Maleic anhydride grafted polypropylene, MAPP) : Fusabond[®] P MD353D มีสมบัติดังตารางที่ 3.2

ตารางที่ 3.2 สมบัติของพอลิพรอพิลีนค็อกกิ้งด้วยมาลิกแอนไฮไดรด์ (Fusabond[®] P MD353D) [38]

สมบัติทั่วไป	Fusabond [®] P MD353D	ASTM METHOD
ความหนาแน่น (Density, g/cm ³)	0.90	D 792
ระดับการค็อกกิ้ง MAH (wt%)	สูงมาก	FTIR (Dupont)
อัตราการไหล (Melt flow rate, g/10min)	22.4	D1238, 160 [°] C /0.325kg
จุดหลอมเหลว (°C, °F)	136 (277)	D 3418
พอลิเมอร์พื้นฐาน คือ โคพอลิเมอร์พอลิพรอพิลีนแบบสุ่ม		

4. สารละลายไซเคียมไฮดรอกไซด์ร้อยละ 5 10 และ 15 โดยน้ำหนัก (Merck & Co.,Inc.)

3.2 เครื่องมือที่ใช้ในงานวิจัย

1. เครื่องอัดรีดแบบเกลียวหนอนเดี่ยว (Single-screw extruder) รุ่น Polydrive with Rheomax R252 : HAAKE
2. เครื่องบดพลาสติก (Grinder) รุ่น A 600 : Bosco Engineering
3. เครื่องทดสอบความแข็งแรงดึง (Universal testing machine) : LLYOD Instrument LTD. รุ่น LR 30K
4. เครื่องทดสอบความแข็งแรงกระแทก (Izod impact tester) : บริษัท Yasuda Seiki Seisakusho รุ่น 258-PC IMPACT TESTER
5. เครื่องทดสอบความแข็งกดแบบชอร์ดี (Hardness tester, shore D) : Yasuda Seiki Seisakusho Ltd. รุ่น DXT
6. เครื่องอัดขึ้นรูป (Compression molding machine) รุ่น LP-20 : Lab Tech Engineering Company LTD.
7. กล้องจุลทรรศน์อิเล็กตรอนแบบส่องกราด (Scanning electron microscope, SEM) : บริษัท LEO รุ่น 1455 VP
8. เครื่องมือวิเคราะห์สมบัติทางความร้อน (Differential scanning calorimeter, DSC) รุ่น Pyris Diamond DSC: Perkin Elmer
9. เครื่องฟูเรียสทรานส์ฟอร์มอินฟราเรดสเปกโทรโฟโตมิเตอร์ (Fourier transform infrared spectrophotometer, FTIR) : Perkin Elmer รุ่น FTIR Spectrum GX
10. เครื่องร้อนแยกขนาด
11. ตะแกรงมาตรฐานขนาด 12 35 และ 100 เมช
12. เครื่องเจียร
13. ตู้อบ (Oven)

เอกสารนี้เป็นเอกสารที่สงวนไว้สำหรับการใช้งานเพื่อการศึกษาเท่านั้น ไม่อนุญาตให้นำไปใช้ประโยชน์ด้านการค้า
ไม่ว่ากรณีใดๆทั้งสิ้น อีกทั้งห้ามมิให้ตัดแปลงเนื้อหา และต้องอ้างอิงถึงเจ้าของเอกสารทุกครั้งที่มีการนำไปใช้

14. เครื่องชั่ง
15. เกียง
16. ถุงมือกันความร้อน
17. เวอร์เนีย
18. ไมโครมิเตอร์
19. แท่งแม่เหล็ก (Magnetic bar)
20. อ่างน้ำมัน
21. ขวดกั้นกลมขนาด 250 มิลลิลิตร
22. อุปกรณ์ควบแน่น (Condenser)
23. เครื่องให้ความร้อน (Heater)
24. เทอร์โมมิเตอร์
25. ชุดเครื่องมือกรองแบบลดความดัน
26. โถดูดความชื้น (Desiccator)
27. เครื่องแก้วต่าง ๆ เช่น บีกเกอร์ หลอดหยดสาร แท่งแก้วคนสาร เป็นต้น

3.3 วิธีการทดลอง

3.3.1 การเตรียมขี้เถ้า

1. นำขี้เถ้ามาอุ่นเพื่อกำจัดทราย ฟุ้งที่ติดมากับขี้เถ้า
2. บดขี้เถ้าด้วยเครื่องบดพลาสติกเพื่อให้ขี้เถ้ามีขนาดเล็กลง
3. นำขี้เถ้าที่ผ่านการบด ไปคัดขนาดด้วยเครื่องร่อนแยกขนาด โดยใช้ตะแกรงร่อนขนาด

12 35 และ 100 เมช

4. นำขี้เถ้าที่ได้ ไปอบที่อุณหภูมิ 105 องศาเซลเซียส จนน้ำหนักขี้เถ้าคงที่

3.3.2 การเตรียมตัวอย่างทดสอบ

1. นำขี้เถ้าที่ผ่านการคัดขนาด และอบจนน้ำหนักคงที่แล้ว มาผสมกับพอลิพรอพิลีนใน

อัตราส่วนดังตารางที่ 3.3

ตารางที่ 3.3 ส่วนผสมต่าง ๆ ที่ใช้ในการเตรียมตัวอย่างทดสอบ

สูตรที่	พอลิพรอพิลีน (ร้อยละ)	ซีลีโย (ร้อยละ)	ขนาดซีลีโย (เมซ)
1	100	-	-
2	85	15	12-34
3	85	15	35-99
4	85	15	>100
5	70	30	12-34
6	70	30	35-99
7	70	30	>100
8	55	45	12-34
9	55	45	35-99
10	55	45	>100

2. ทำการผสมสูตรต่าง ๆ ในภาชนะปิด
3. นำของผสมที่ได้ไปผสมที่อุณหภูมิเดียวกันอีกครั้งด้วยเครื่องอัดรีดแบบเกลียวหนอนเดี่ยวโดยใช้อุณหภูมิ 165 170 180 และ 190 องศาเซลเซียส ตามลำดับ และใช้ความเร็วรอบ 35 รอบต่อนาที
4. นำของผสมที่ได้ไปบดด้วยเครื่องบดพลาสติก
5. อบของผสมที่ผ่านการบดที่อุณหภูมิ 105 องศาเซลเซียส เป็นเวลา 24 ชั่วโมงก่อนนำของผสมไปขึ้นรูปโดยเครื่องอัดขึ้นรูป (Compression molding machine) ที่อุณหภูมิ 210 องศาเซลเซียส เป็นเวลา 5 นาที และอัดเย็นเพื่อให้ชิ้นงานเย็นตัวเป็นเวลา 5 นาที
5. ตัดชิ้นงานทดสอบ
6. ทดสอบสมบัติต่าง ๆ ของชิ้นงาน ตามหัวข้อ 3.3.4

เอกสารนี้เป็นเอกสารที่สงวนไว้สำหรับการใช้งานเพื่อการศึกษาเท่านั้น ไม่อนุญาตให้นำไปใช้ประโยชน์ด้านการค้า
ไม่ว่ากรณีใดๆทั้งสิ้น อีกทั้งห้ามมิให้ตัดแปลงเนื้อหา และต้องอ้างอิงถึงเจ้าของเอกสารทุกครั้งที่มีการนำไปใช้

3.3.3 การปรับปรุงสมบัติของวัสดุคอมโพสิต

เลือกสูตรของวัสดุคอมโพสิตที่มีสมบัติโดยรวมดีที่สุดที่สุ่มมาศึกษาต่อ

3.3.3.1 การปรับปรุงพื้นผิวซีลือบ

- นำซีลือบมาแช่ในสารละลายโซเดียมไฮดรอกไซด์เข้มข้นร้อยละ 5 10 และ 15 โดยน้ำหนักต่อปริมาตรเป็นเวลา 30 60 และ 120 นาที

- ปรับค่าความเป็นกรดค้างของซีลือบให้เป็นกลางด้วยน้ำ หรือ กรดอะซิติก

- อบซีลือบที่อุณหภูมิ 105 องศาเซลเซียสจนน้ำหนักคงที่

3.3.3.2 การเตรียมตัวอย่างทดสอบ

เตรียมชิ้นงานใน 4 ลักษณะ ดังนี้

- เตรียมชิ้นงานจากซีลือบที่ไม่ผ่านการปรับปรุงพื้นผิว ด้วยสารละลายโซเดียมไฮดรอกไซด์และไม่มีการใช้สารช่วยผสม MAPP

- เตรียมชิ้นงานจากซีลือบที่ไม่ผ่านการปรับปรุงพื้นผิว ด้วยสารละลายโซเดียมไฮดรอกไซด์ และใช้สารช่วยผสม MAPP

- เตรียมชิ้นงานจากซีลือบที่ผ่านการปรับปรุงพื้นผิว ด้วยสารละลายโซเดียมไฮดรอกไซด์ และไม่ใช้สารช่วยผสม MAPP

- เตรียมชิ้นงานจากซีลือบที่ผ่านการปรับปรุงพื้นผิว ด้วยสารละลายโซเดียมไฮดรอกไซด์ และใช้สารช่วยผสม MAPP

- ทำการผสมเช่นเดียวกับข้อ 3.3.2

หมายเหตุ ปริมาณ MAPP ที่ใช้ ได้แก่ 2 3 และ 5 % ค่อน้ำหนักซีลือบ

3.3.4 การทดสอบสมบัติต่าง ๆ ของวัสดุคอมโพสิต

แบ่งการทดสอบเป็น 5 ลักษณะ

1. ทดสอบสมบัติเชิงกล

- สมบัติทางแรงดึง สำหรับค่าความแข็งแรงดึง ค่ามอดุลัส ร้อยละการดึงยืด ณ จุดคราก

- สมบัติความโค้งงอ สำหรับค่าความแข็งแรงโค้งงอ และมอดุลัสโค้งงอ

- ความแข็งแรงกระแทก

- ความแข็งแรงกด

2. ศึกษาสมบัติทางกายภาพ

- ร้อยละการดูดซึมน้ำ

3. ศึกษาสมบัติทางความร้อน

- ดีพีเฟอเรนเชียลสแกนนิ่งคาลอริมิเตอร์

เอกสารนี้เป็นเอกสารที่สงวนไว้สำหรับการใช้งานเพื่อการศึกษาเท่านั้น ไม่อนุญาตให้นำไปใช้ประโยชน์ด้านการค้า

ไม่ว่ากรณีใดๆทั้งสิ้น อีกทั้งห้ามมิให้ตัดแปลงเนื้อหา และต้องอ้างอิงถึงเจ้าของเอกสารทุกครั้งที่มีการนำไปใช้

4. ศึกษาต้นฐานวิทยา
 - กล้องจุลทรรศน์อิเล็กตรอนแบบส่องกราด
5. การวิเคราะห์หาหมู่ฟังก์ชัน
 - เครื่องฟูเรียสทรานส์ฟอร์มอินฟราเรดสเปกโทรโฟโตมิเตอร์

3.4 วิธีการทดสอบ

สมบัติต่าง ๆ ของพอลิเมอร์คอมโพสิตได้ทำการทดสอบตามมาตรฐานต่าง ๆ ดังตารางที่ 3.4

ตารางที่ 3.4 มาตรฐานต่าง ๆ ในการทดสอบพอลิเมอร์คอมโพสิต

สมบัติ	มาตรฐานที่ใช้ทดสอบ	หน่วยที่รายงาน
ความแข็งแรงดึง (Tensile strength)	ASTM D 638	MPa
มอดุลัสที่ 3% (Modulus)	ASTM D 638	MPa
เปอร์เซ็นต์การดึงยืด ณ จุดคราก (%Elongation at break)	ASTM D 256	kJ/m^2
ความแข็งกด (Hardness)	ASTM D 785	Shore D
ความแข็งแรง โค้งงอ (Flexural strength)	ASTM D 790	MPa
มอดุลัส โค้งงอ (Flexural modulus)	ASTM D 790	MPa
ร้อยละการดูดซับน้ำ (% Water absorption)	ASTM D 570	%

3.4.1 สมบัติเชิงกล

3.4.1.1 ความแข็งแรงดึง มอดุลัส และ ร้อยละการดึงยืด ณ จุดคราก

การทดสอบหาค่าความแข็งแรงดึง (Tensile strength) เป็นไปดั่งมาตรฐาน ASTM D 638 [34] โดยใช้เครื่องทดสอบสมบัติเชิงกล (Universal testing machine) และโปรแกรม WINDAP ในการคำนวณชิ้นงานตัวอย่างอยู่ในรูปคัมเบลล์ ใช้ชิ้นงานตัวอย่าง 10 ชิ้นในแต่ละสูตรและใช้สภาวะในการทดสอบดังนี้

- โหลดเซลล์ (Load cell)	5	กิโลนิวตัน (kN)
- ความเร็วในการดึง (Test speed)	5	มิลลิเมตร/นาที

ค่าความแข็งแรงดึง ค่ามอดุลัส และค่าร้อยละการดึงยืด ณ จุดคราก สามารถหาได้จากสมการดังต่อไปนี้

$$\text{ค่าความแข็งแรงดึง } (\sigma) = \frac{F_1}{A}$$

$$\text{ค่ามอดุลัสที่ความเครียด 3% (E)} = \frac{F_2 / A}{3 / 100}$$

$$\text{ร้อยละการดึงยืด ณ จุดคราก (A)} = \left[\frac{l - l_0}{l_0} \right] \times 100$$

เมื่อ F_1 คือแรงที่ใช้ในการดึงยืดชิ้นงานตัวอย่าง ณ จุดสูงสุด (หน่วยเป็นนิวตัน; N)

F_2 คือแรงที่ใช้ในการดึงยืดชิ้นงานตัวอย่างที่ 3% ความเครียด (หน่วยเป็นนิวตัน; N)

A คือพื้นที่หน้าตัดของชิ้นงานตัวอย่าง (หน่วยเป็นตารางมิลลิเมตร; mm²)

l คือระยะห่างระหว่างจุดสองจุดหลังทำการดึงชิ้นงานตัวอย่าง ณ จุดคราก (หน่วยเป็นมิลลิเมตร; mm)

l_0 คือระยะที่ชิ้นงานตัวอย่างแคบที่สุดและมีพื้นที่หน้าตัดขนานกัน (Gauge Length หน่วยเป็นมิลลิเมตร; mm)

3.4.1.2 ความแข็งแรงกระแทก

การทดสอบความแข็งแรงกระแทก (Impact strength) เป็นไปตามมาตรฐาน ASTM D256 [40] โดยในการทดสอบจะใช้มาตรฐานแบบไอซอด (Izod type) ใช้ชิ้นงานตัวอย่าง 10 ชิ้นในแต่ละสูตร ค่าความแข็งแรงกระแทกสามารถหาได้จากสมการดังต่อไปนี้

$$\text{ความแข็งแรงกระแทก (IS)} = W/A$$

เมื่อ IS คือ ค่าความแข็งแรงกระแทก (หน่วยเป็นกิโลจูลต่อตารางเมตร; kJ/m²)

W คือ ค่าพลังงานกระแทก (หน่วยเป็นกิโลจูล; kJ)

A คือ พื้นที่หน้าตัดของตัวอย่าง (ตารางเมตร; m²)

3.4.1.3 ความแข็งกด

การทดสอบความแข็งกด (Hardness) เป็นไปดั่งมาตรฐาน ASTM D785 [41] ในการทดสอบใช้มาตรฐาน Shore D ลักษณะพื้นผิวของวัสดุที่นำมาทดสอบต้องมีความเรียบ มีความหนาไม่ต่ำกว่า 6 มิลลิเมตร ใช้เวลากด 15 วินาทีจึงอ่านค่าได้ ใช้ชิ้นงานตัวอย่าง 10 ชิ้นในแต่ละสูตร โดยทำการทดสอบ 5 ครั้งต่อหนึ่งตัวอย่าง

3.4.1.4 ความแข็งแรงโค้งงอ และมอดุลัสโค้งงอ

การทดสอบหาค่าความแข็งแรงโค้งงอ และมอดุลัสโค้งงอ เป็นไปดั่งมาตรฐาน ASTM D790 [42] โดยการทดสอบแต่ละครั้งใช้ชิ้นงานตัวอย่าง 10 ชิ้น รูปที่ 3.5 เป็นภาพการทดสอบความแข็งแรงโค้งงอ สภาพที่ใช้ในการทดสอบเป็นดังนี้

- โหลดเซลล์	5	กิโลนิวตัน (kN)
- ความเร็วในการกด (Compression speed)	5	มิลลิเมตร/นาที
- ระยะห่างของขารองรับชิ้นงาน (Span length)	40	มิลลิเมตร

สูตรที่ใช้ในการคำนวณค่าความแข็งแรง โค้งงอและมอดุลัสโค้งงอมีดังนี้

$$\text{ค่าความแข็งแรงโค้งงอ ; } \sigma_f = \frac{1.5FL}{bh^2}$$

$$\text{มอดุลัสโค้งงอ ; } E_b = \frac{L^3}{4bh^3} \times \frac{\Delta F}{\Delta d}$$

เมื่อ F คือ แรงกดสูงสุดที่ทำให้ชิ้นงานโค้งงอ (หน่วยเป็นนิวตัน; N)

L คือ Span length (หน่วยเป็นมิลลิเมตร; mm)

b คือ ความกว้างของตัวอย่าง (หน่วยเป็นมิลลิเมตร ; mm)

h คือ ความหนาของตัวอย่าง (หน่วยเป็นมิลลิเมตร ; mm)

ΔF คือ ผลต่างของแรงกด ณ จุดเริ่มต้นถึงแรงกดที่ 20 N ในช่วงความชันเป็นเส้นตรง (หน่วยเป็นนิวตัน; N)

Δd คือ ระยะกดโค้งงอในช่วงแรงกด 0-20 N (หน่วยเป็นมิลลิเมตร)

3.4.2 สมบัติทางกายภาพ

3.4.2.1 ร้อยละการดูดซับน้ำ

การทดสอบร้อยละการดูดซับน้ำ (Water absorption) เป็นไปดั่งมาตรฐาน ASTM D570-81 [43] โดยนำชิ้นงานตัวอย่างอย่างละ 2 ชิ้น ให้น้ำหนักประมาณ 2.000-2.500 กรัม ไปอบที่อุณหภูมิ 60 องศาเซลเซียส เป็นเวลา 24 ชั่วโมง จากนั้นนำมาชั่งน้ำหนักโดยละเอียด แล้วนำไปแช่น้ำ โดยต้องทำการชั่งน้ำหนักที่เปลี่ยนแปลงอยู่เสมอทุกสัปดาห์จนกระทั่งชิ้นงานมีน้ำหนักคงที่ แล้วนำมาคำนวณหาเปอร์เซ็นต์การดูดซับน้ำ จากสมการดังต่อไปนี้

$$\% \text{ การดูดซับน้ำ} = \frac{\text{น้ำหนักตัวอย่างเปียก} - \text{น้ำหนักตัวอย่างเริ่มต้น}}{\text{น้ำหนักตัวอย่างเริ่มต้น}} \times 100$$

3.4.3 สมบัติทางความร้อน

3.4.3.1 Differential scanning calorimeter (DSC)

เป็นเครื่องมือที่ใช้หาอุณหภูมิการตกผลึก (Crystallization temperature, T_c) อุณหภูมิการหลอมเหลว (Melt temperature, T_m) และพื้นที่ใต้กราฟซึ่งเป็นค่าที่บอกถึงปริมาณความร้อนที่ใช้ในการหลอมเหลวผลึก (Enthalpy of fusion, ΔH_f) เพื่อคำนวณองศาของการเกิดผลึก (Degree of crystallinity) ของสารได้จากสูตรดังต่อไปนี้

$$\Delta H_f = \frac{\text{พื้นที่ใต้กราฟ (mJ)}}{\text{น้ำหนักของสารตัวอย่าง (mg)}}$$

$$\text{Degree of crystallinity} = \frac{\Delta H_f / \text{fraction of PP}}{\Delta H_f^{\circ}} \times 100$$

เมื่อ ΔH_f = Enthalpy of fusion ของสารหรือพื้นที่ใต้กราฟ (J/g)

ΔH_f° = Enthalpy of fusion ของพอลิพรอพิลีนที่มีองศาการ

เป็น ผลึก 100% เท่ากับ 165 J/g [45]

ซึ่งสารตัวอย่างใส่ในอุณหภูมิเย็นแพนหนักประมาณ 5 มิลลิกรัม ให้ทราบปริมาณสารแน่นอนแล้วนำไปวิเคราะห์ด้วยเครื่อง DSC โดยใช้อัตราการเพิ่มอุณหภูมิ 10 องศาเซลเซียสต่อนาที ที่อุณหภูมิในช่วง 50-200 องศาเซลเซียส และลดอุณหภูมิลงในอัตราอุณหภูมิ 10 องศาเซลเซียสต่อนาที จากอุณหภูมิในช่วง 200-50 องศาเซลเซียส

3.4.3.2 อุณหภูมิการสลายตัว (Thermal degradation)

การศึกษาอุณหภูมิการสลายตัว (Onset temperature) ของวัสดุคอมโพสิตระหว่างพอลิพรอพิลีนและซีลือขไม้เต็งด้วยเทอร์โมกราวิเมตริกแอนาไลเซอร์ (Thermogravimetric analyzer, TGA) ทำได้โดยชั่งสารตัวอย่างประมาณ 16 มิลลิกรัม แล้วนำมาวิเคราะห์ด้วยเครื่อง TGA โดยใช้บรรยากาศไนโตรเจน (N_2) และใช้ภาวะในการทดสอบคือ อุณหภูมิที่ใช้อยู่ในช่วง 50-900 องศาเซลเซียส และมีอัตราการเพิ่มอุณหภูมิ (Heating rate) ที่ 10 องศาเซลเซียส/นาที

3.4.4 ฐานานวิทยา

กล้องจุลทรรศน์อิเล็กตรอนแบบส่องกราด (Scanning electron microscope, SEM) ใช้นำมาศึกษาลักษณะพื้นผิวของพอลิเมอร์ที่แตกหักที่อุณหภูมิต่ำ (Cryogenic fracture) การเตรียมตัวอย่างทำได้โดยนำชิ้นงานตัวอย่างมาแช่ในไนโตรเจนเหลว (Liquid nitrogen) และทำการหักทันที หลังจากนั้นนำมาเคลือบด้วยทองและนำเข้าเครื่อง SEM ต่อไป โดยจะทำการศึกษาการกระจายตัวของเส้นใยและศึกษาการยึดติดระหว่างเส้นใยไม้กับพอลิเมอร์ และใช้ศึกษาโครงสร้างและฐานานวิทยาอย่างละเอียดของสารตัวอย่าง ในงานวิจัยนี้ใช้กล้องจุลทรรศน์เพื่ออิเล็กตรอนแบบส่องกราดศึกษาขนาดของซีลือขไม้ในรูปของความยาว/ความกว้าง (l/d) ในแต่ละขนาดใช้ซีลือขจำนวน 100 ตัวอย่างแล้วนำมาหาค่าเฉลี่ย ซึ่งตัวอย่างที่ใช้ทดสอบ คือ ซีลือขขนาด 12-34 เมช ซีลือขขนาด 35-99 เมช และซีลือขขนาดมากกว่าหรือเท่ากับ 100 เมช

3.4.5 อินฟราเรดสเปกโทรสโกปี [46]

การทดสอบทำได้โดยนำสารตัวอย่างที่ผ่านการผสมด้วยเครื่องอัลทริคเกิลยวหนอนเคียวแล้วบดด้วยเครื่องบดหยาบ จากนั้นแช่ในไนโตรเจนเหลวก่อนนำไปบดละเอียดต่อไปด้วยเครื่องบดความเร็วสูง (14000 รอบต่อนาที) ทำให้ได้สารตัวอย่างที่มีขนาดอนุภาคเล็ก ผ่านตะแกรงร่อนขนาด 0.025 มิลลิเมตร จากนั้นนำไปบด ผสมรวมกับ KBr วิเคราะห์ด้วยเครื่องอินฟราเรดสเปกโทรโฟโตมิเตอร์ในช่วงเลขคลื่น $4000-400\text{ cm}^{-1}$ resolution เท่ากับ 4 และจำนวนรอบของการ scan เท่ากับ 16 จากนั้นอ่าน และศึกษาพิคในช่วงต่าง

บทที่ 4

ผลการทดลองและวิจารณ์ผลการทดลอง

งานวิจัยนี้เกี่ยวข้องกับ การนำซีลื้อยจากไม้เต็งนอกลงมาเป็นสารตัวเติมในพอลิพรอพิลีน โดยศึกษาถึงผลของขนาดและปริมาณของซีลื้อยที่มีต่อสมบัติเชิงกล (Mechanical properties) นอกจากนี้ได้ทำการศึกษาเชิงเปรียบเทียบถึงการปรับปรุงและไม่ปรับปรุงพื้นผิวด้วยโซเดียมไฮดรอกไซด์ (Alkali treatment) และการใช้สารช่วยผสม คือ พอลิพรอพิลีนต่อกิ่งด้วยมาลิกอิกแอนไฮไดรด์ (Maleic anhydride grafted polypropylene, มาลิกอิกแอนไฮไดรด์กราฟพอลิพรอพิลีน) เพื่อปรับปรุงการยึดเกาะกับพอลิพรอพิลีนที่พื้นผิวของซีลื้อยที่ใช้เป็นสารตัวเติม ซึ่งสมบัติต่าง ๆ ที่ได้ทำการศึกษา ได้แก่ การศึกษาหุ้่งกั้้นโดยใช้เทคนิค FTIR สัณฐานวิทยา (Morphology) สมบัติเชิงกล (Mechanical property) สมบัติทางกายภาพ (Physical property) และสมบัติทางความร้อน (Thermal property) โดยใช้สัญลักษณ์ดังนี้

PP	คือ พอลิพรอพิลีนที่ไม่มีสารเติมซีลื้อย
SD	คือ ซีลื้อย
SDNaOHS	คือ ซีลื้อยที่ผ่านการปรับปรุงพื้นผิวด้วยโซเดียมไฮดรอกไซด์เข้มข้นร้อยละ 5 โดยน้ำหนักต่อปริมาตร เป็นระยะเวลา 60 นาที
SDNaOH15	คือ ซีลื้อยที่ผ่านการปรับปรุงพื้นผิวด้วยโซเดียมไฮดรอกไซด์เข้มข้นร้อยละ 15 โดยน้ำหนักต่อปริมาตร เป็นระยะเวลา 60 นาที
SD30	คือ วัสดุคอมโพสิตระหว่างพอลิพรอพิลีนกับซีลื้อย โดยมีปริมาณร้อยละ 30 โดยน้ำหนัก
SD30MAPP2	คือ วัสดุคอมโพสิตระหว่างพอลิพรอพิลีนกับซีลื้อย โดยมีปริมาณร้อยละ 30 โดยน้ำหนัก และสารช่วยผสมมาลิกอิกแอนไฮไดรด์กราฟพอลิพรอพิลีนร้อยละ 2 ต่อ น้ำหนักซีลื้อย
SD30MAPP3	คือ วัสดุคอมโพสิตระหว่างพอลิพรอพิลีนกับซีลื้อย โดยมีปริมาณร้อยละ 30 โดยน้ำหนัก และสารช่วยผสมมาลิกอิกแอนไฮไดรด์กราฟพอลิพรอพิลีนร้อยละ 3 ต่อ น้ำหนักซีลื้อย
SD30MAPP5	คือ วัสดุคอมโพสิตระหว่างพอลิพรอพิลีนกับซีลื้อย โดยมีปริมาณร้อยละ 30 โดยน้ำหนัก และสารช่วยผสมมาลิกอิกแอนไฮไดรด์กราฟพอลิพรอพิลีนร้อยละ 5 ต่อ น้ำหนักซีลื้อย

เอกสารนี้เป็นเอกสารที่สงวนไว้สำหรับการใช้งานเพื่อการศึกษาเท่านั้น ไม่อนุญาตให้นำไปใช้ประโยชน์ด้านการค้า
ไม่ว่ากรณีใดๆทั้งสิ้น อีกทั้งห้ามมิให้ดัดแปลงเนื้อหา และต้องอ้างอิงถึงเจ้าของเอกสารทุกครั้งที่มีการนำไปใช้

SD30NaOHMAPP5 คือ วัสดุคอมโพสิตระหว่างพอลิพรอพิลีนกับซีลีอ์ขนาดมากกว่าหรือเท่ากับ 100 เมช ที่อัตราส่วนร้อยละ 30 โดยน้ำหนัก โดยซีลีอ์ที่ผ่านการปรับปรุงพื้นผิวด้วยไฮเดียมไฮดรอกไซด์เข้มข้นร้อยละ 5 โดยน้ำหนักต่อปริมาตร เป็นระยะเวลา 60 นาที และเติมสารช่วยผสม มาลิกแอนไฮไดรด์กราฟพอลิพรอพิลีน ร้อยละ 5 โดยน้ำหนักซีลีอ์

4.1 การหาอัตราส่วนค่าความยาวต่อเส้นผ่านศูนย์กลาง (Aspect ratio, l/d ratio)

ซีลีอ์ที่ทำการคัดขนาดแล้ว ได้แก่ ซีลีอ์ที่มีขนาด 12-34 เมช 35-99 เมช และมากกว่าหรือเท่ากับ 100 เมช ที่ไม่ผ่านการปรับปรุงและปรับปรุงพื้นผิวด้วยไฮเดียมไฮดรอกไซด์เป็นเวลา 1 ชั่วโมง ที่ความเข้มข้นร้อยละ 5 และ 15 โดยน้ำหนัก ได้นำมาหาอัตราส่วนค่าความยาวต่อเส้นผ่านศูนย์กลาง โดยการใช้เครื่อง SEM 10 ตัวอย่างในแต่ละขนาดพบว่าซีลีอ์มีขนาดที่ต่างกันเล็กน้อย ให้ค่าเฉลี่ยของอัตราส่วนค่าความยาวต่อเส้นผ่านศูนย์กลางที่ต่างกัน ซึ่งแสดงได้ดังตารางที่ 4.1 และภาพถ่ายขนาดซีลีอ์จากรูปที่ 4.1 ซึ่งแสดงให้เห็นว่าการปรับปรุงพื้นผิวซีลีอ์ด้วยไฮเดียมไฮดรอกไซด์ไม่มีผลต่อค่าความยาวต่อเส้นผ่านศูนย์กลางของซีลีอ์ และซีลีอ์ที่มีขนาดเล็กมีค่าความยาวต่อเส้นผ่านศูนย์กลางมากกว่าซึ่งแสดงว่าแนวโน้มเป็นเส้นใยมากกว่า ซึ่งจากผลค่าความยาวต่อเส้นผ่านศูนย์กลาง และรูปที่ 4.1 แสดงภาพขนาดซีลีอ์ ซึ่งซีลีอ์ขนาด 12-34 เมช และขนาด 35-99 เมช ลักษณะเป็นอนุภาคที่มีขนาดใหญ่กว่าซีลีอ์ขนาดมากกว่าหรือเท่ากับ 100 เมช อาจจะทำให้เกิดช่องว่างหรือจุดบกพร่องภายในชิ้นงานขนาดใหญ่กว่าซีลีอ์ที่มีขนาดเล็ก ซึ่งส่งผลให้มีสมบัติเชิงกลต่ำเนื่องจากการถ่ายเทแรงต่ำ



รูปที่ 4.1 ภาพถ่ายจากกล้องจุลทรรศน์อิเล็กตรอนแบบส่องกราดกำลังขยาย 20 เท่าของขี้เลื่อยที่มี
 (ก) ขนาด 12-34 ไมครอน (ข) ขนาด 35-99 ไมครอน และ (ค) มากกว่าหรือเท่ากับ 100 ไมครอน

เอกสารนี้เป็นเอกสารที่สงวนไว้สำหรับการใช้งานเพื่อการศึกษาเท่านั้น ไม่อนุญาตให้นำไปใช้ประโยชน์ด้านการค้า
 ไม่ว่ากรณีใดๆทั้งสิ้น อีกทั้งห้ามมิให้ดัดแปลงเนื้อหา และต้องอ้างอิงถึงเจ้าของเอกสารทุกครั้งที่มีการนำไปใช้

ตารางที่ 4.1 ค่าเฉลี่ยของอัตราส่วนความยาวต่อเส้นผ่านศูนย์กลางของซีลี้อย่างน้อยจาก 10 ตัวอย่าง [47]

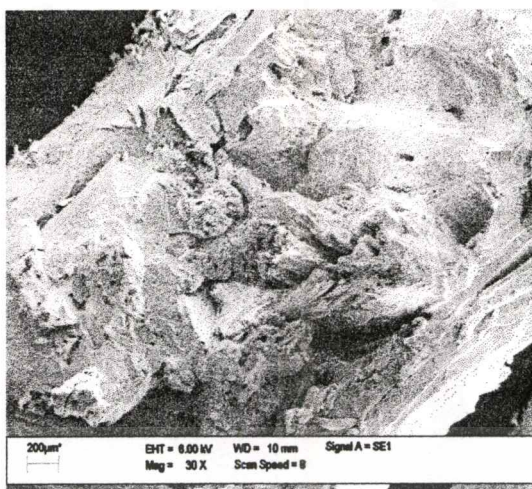
ขนาดตะแกรงร่อน		อัตราส่วนค่าความยาวต่อเส้นผ่านศูนย์กลาง (Aspect ratio)
เมซ	ไมโครเมตร (μm)	
≥ 100	≤ 149	3.6 ± 0.2
≥ 100 (60 นาที 5% NaOH)	≤ 149	3.5 ± 0.3
≥ 100 (60 นาที 15% NaOH)	≤ 149	3.5 ± 0.3
35-100	149-500	2.8 ± 0.3
12-35	500-1680	2.7 ± 0.2

4.2 ลักษณะวิทยา

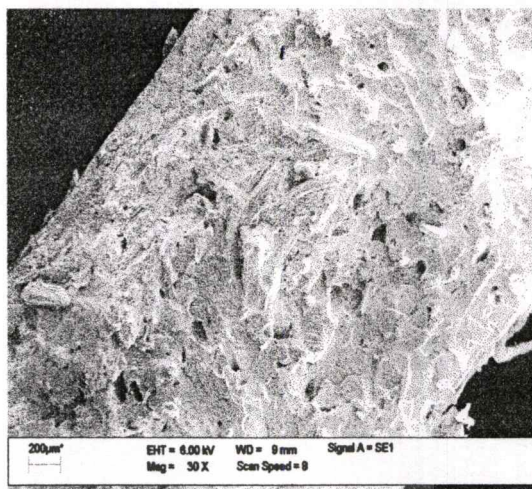
4.2.1 ผลลักษณะวิทยาของขนาดและปริมาณซีลี้อย

การศึกษาลักษณะวิทยาของวัสดุคอมโพสิตระหว่างพอลิพรอพิลีนและซีลี้อย่างน้อยทำได้โดยใช้กล้องจุลทรรศน์อิเล็กตรอนแบบส่องกราด เพื่อศึกษาลักษณะการกระจายตัว (Dispersion) ของซีลี้อยู่ในพอลิพรอพิลีนเมทริกซ์ และลักษณะพื้นผิวระหว่างวัฏภาค (Interfacial surface) ของพอลิพรอพิลีนเมทริกซ์และซีลี้อย

จากรูปที่ 4.2 (ก) - (ข) ซึ่งแสดงภาพถ่ายจากกล้องจุลทรรศน์อิเล็กตรอนแบบส่องกราดกำลังขยาย 30 เท่าของวัสดุคอมโพสิตระหว่างพอลิพรอพิลีนและซีลี้อยที่มีขนาด 12-34 เมซ และมากกว่าหรือเท่ากับ 100 เมซ ในปริมาณซีลี้อยร้อยละ 30 โดยน้ำหนัก เนื่องจากความเข้ากันได้ต่ำของทั้งสองวัฏภาคพบว่าการรวมตัวกันเป็นกลุ่มก้อน (Agglomeration) ของซีลี้อยขนาดใหญ่มีแนวโน้มเกิดช่องว่างหรือจุดบกพร่องภายในชิ้นงานขนาดใหญ่มากกว่าซีลี้อยที่มีขนาดเล็กดังรูปที่ 4.2

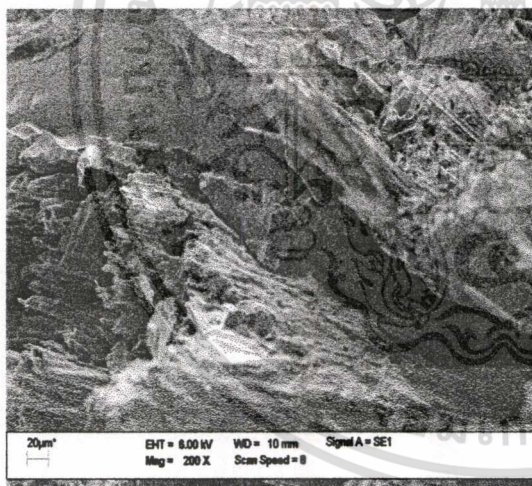


(ก)

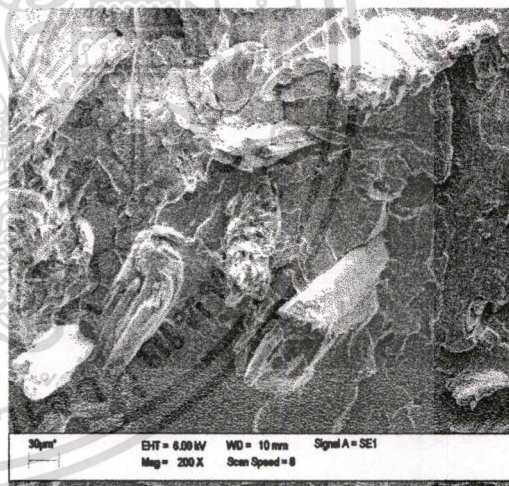


(ข)

รูปที่ 4.2 ภาพถ่ายจากกล้องจุลทรรศน์อิเล็กตรอนแบบส่องกราดกำลังขยาย 30 เท่าของ (ก) วัสดุคอมโพสิตระหว่างพอลิพรอพิลีนกับซีลื้อยที่มีขนาด 12-34 เมช และ (ข) วัสดุคอมโพสิตระหว่างพอลิพรอพิลีนกับซีลื้อยที่มีขนาดมากกว่าหรือเท่ากับ 100 เมช



(ก)



(ข)

รูปที่ 4.3 ภาพถ่ายจากกล้องจุลทรรศน์อิเล็กตรอนแบบส่องกราดกำลังขยาย 200 เท่าของ (ก) วัสดุคอมโพสิตระหว่างพอลิพรอพิลีนกับซีลื้อยที่มีขนาด 12-34 เมช และ (ข) วัสดุคอมโพสิตระหว่างพอลิพรอพิลีนกับซีลื้อยที่มีขนาดมากกว่าหรือเท่ากับ 100 เมช

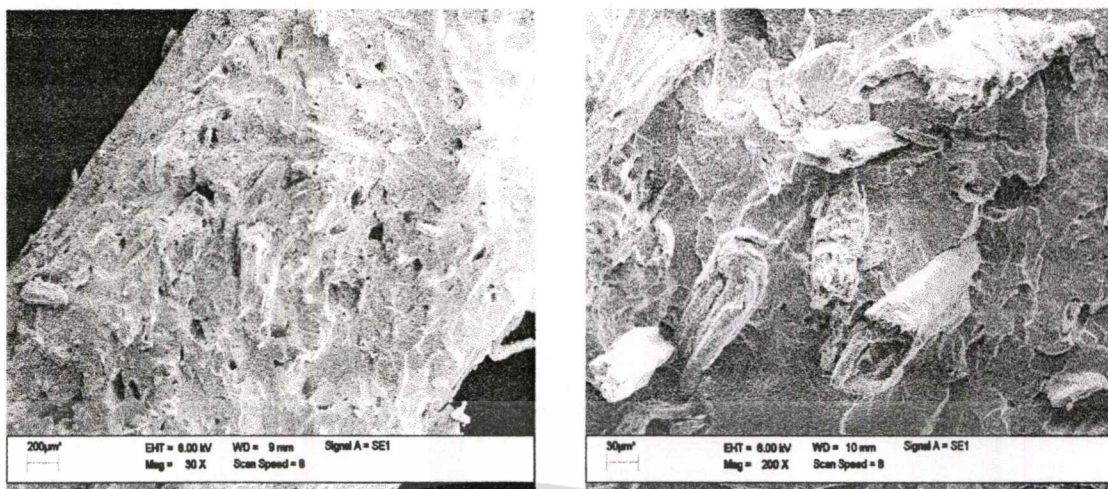
เอกสารนี้เป็นเอกสารที่สงวนไว้สำหรับการใช้งานเพื่อการศึกษาเท่านั้น ไม่อนุญาตให้拿去ใช้ประโยชน์ด้านการค้า ไม่ว่าจะกรณีใดๆทั้งสิ้น อีกทั้งห้ามมิให้ตัดแปลงเนื้อหา และต้องอ้างอิงถึงเจ้าของเอกสารทุกครั้งที่มีการนำไปใช้

เมื่อพิจารณาลักษณะพื้นผิวระหว่างภูมิภาคของพอลิพรอฟิลินเมทริกซ์และซีลีย์พบว่าเกิดช่องว่างระหว่างพอลิพรอฟิลินเมทริกซ์และซีลีย์ โดยแสดงให้เห็นอย่างชัดเจนได้ดังรูปที่ 4.2 และ 4.3 ซึ่งเป็นภาพถ่ายจากกล้องจุลทรรศน์อิเล็กตรอนแบบส่องกราดกำลังขยาย 30 และ 200 เท่า ตามลำดับของวัสดุคอมโพสิตระหว่างพอลิพรอฟิลินและซีลีย์ที่มีขนาด 12-34 เมช และมากกว่าหรือเท่ากับ 100 เมช โดยมีปริมาณซีลีย์ร้อยละ 30 โดยน้ำหนัก พบการเกิดช่องว่างเนื่องจากซีลีย์หลุดออก (Pull-out) จากภูมิภาคของพอลิพรอฟิลิน แสดงให้เห็นว่าภูมิภาคทั้งสองมีความสามารถในการยึดเกาะกันต่ำหรือไม่ เนื่องจากความแตกต่างของความมีขี้ของสองภูมิภาค นั่นคือพอลิพรอฟิลินเมทริกซ์มีความไม่มีขี้ แต่ซีลีย์มีความมีขี้ และพบว่าซีลีย์ที่มีขนาดใหญ่การรวมตัวเป็นกลุ่มก้อนก่อให้เกิดช่องว่างขนาดใหญ่กว่าซีลีย์ที่มีขนาดเล็ก ทำให้เกิดจุดบกพร่องของชิ้นงานระหว่างซีลีย์ในพอลิเมอร์เมทริกซ์ที่ส่งผลอย่างมากต่อสมบัติเชิงกล ในขณะที่ซีลีย์ที่มีขนาดเล็กการรวมตัวเป็นกลุ่มก้อนก่อให้เกิดช่องว่างระหว่างภูมิภาคที่แคบกว่าซีลีย์ที่มีขนาดใหญ่กว่า

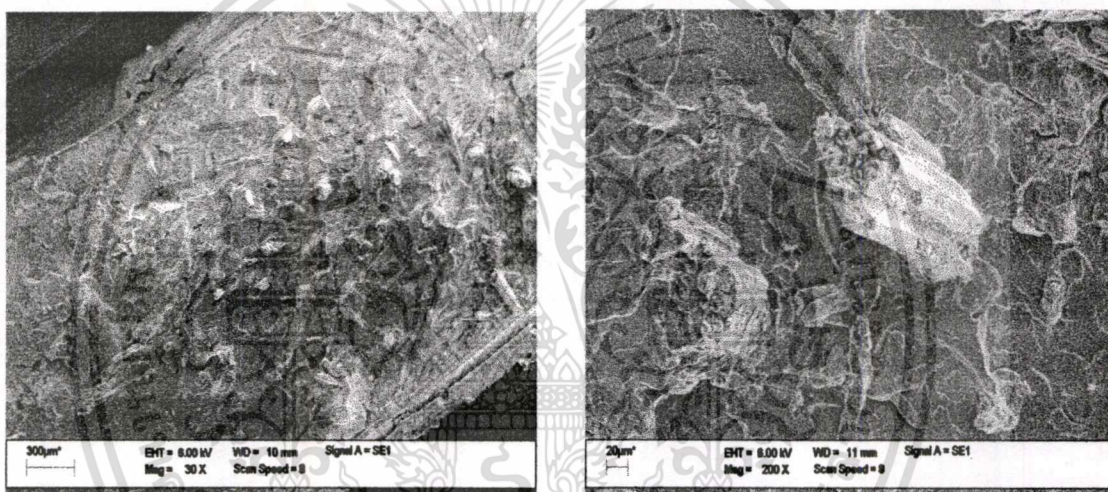
4.2.2 ผลสัมฤทธิ์ของสารช่วยผสม

การศึกษาสัมฤทธิ์ของวัสดุคอมโพสิตระหว่างพอลิพรอฟิลินและซีลีย์ที่เติมสารช่วยผสมมาลิกแอนไฮดรยด์กราฟพอลิพรอฟิลิน เพื่อศึกษาลักษณะการกระจายตัว (Dispersion) ของซีลีย์ในพอลิพรอฟิลินเมทริกซ์ และซีลีย์

จากรูปที่ 4.4 (ก) - (ข) ซึ่งแสดงภาพถ่ายจากกล้องจุลทรรศน์อิเล็กตรอนแบบส่องกราดกำลังขยาย 30 เท่าของวัสดุคอมโพสิตระหว่างพอลิพรอฟิลินและซีลีย์ที่มีขนาดมากกว่าหรือเท่ากับ 100 เมช และเติมสารช่วยผสมมาลิกแอนไฮดรยด์กราฟพอลิพรอฟิลินในปริมาณซีลีย์ร้อยละ 30 โดยน้ำหนัก พบว่าวัสดุคอมโพสิตที่มีการเติมสารช่วยผสมมาลิกแอนไฮดรยด์กราฟพอลิพรอฟิลินมีแนวโน้มกระจายตัวและยึดเกาะในพอลิเมอร์เมทริกซ์ได้ดีกว่าวัสดุคอมโพสิตที่ไม่ได้ปรับปรุงเล็กน้อย เนื่องจากสารช่วยผสมมาลิกแอนไฮดรยด์กราฟพอลิพรอฟิลินปลายข้างหนึ่งไม่มีขี้ (พอลิพรอฟิลิน) จึงเกิดการเกี่ยวพันเชิงกลกับพอลิพรอฟิลินเมทริกซ์ ส่วนปลายอีกข้างหนึ่งมีขี้ (มาลิกแอนไฮดรยด์) สามารถเกิดพันธะเอสเทอร์ หรือ พันธะไฮโดรเจนกับหมู่ไฮดรอกซิลของเซลลูโลสบนพื้นของซีลีย์ทำให้ความเข้ากันได้ดีขึ้นส่งผลต่อสมบัติเชิงกลของวัสดุคอมโพสิต



(ก)



(ข)

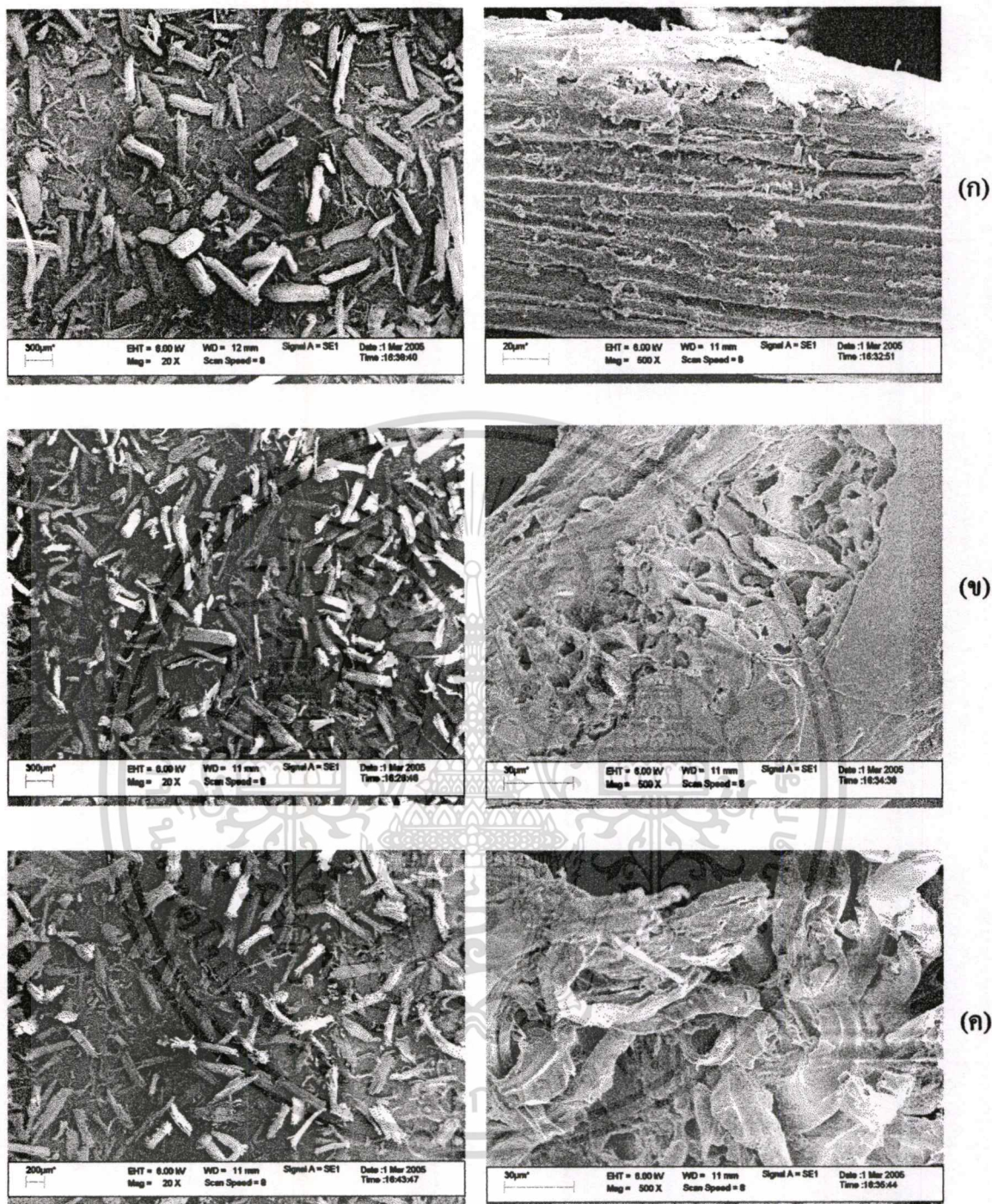
รูปที่ 4.4 ภาพถ่ายจากกล้องจุลทรรศน์อิเล็กตรอนแบบส่องกราดกำลังขยาย 30 และ 200 เท่าของ (ก) ไม่ใช้สารช่วยผสม และ (ข) ใช้สารช่วยผสมร้อยละ 5

เอกสารนี้เป็นเอกสารที่สงวนไว้สำหรับการใช้งานเพื่อการศึกษาเท่านั้น ไม่อนุญาตให้นำไปใช้ประโยชน์ด้านการค้า
 ไม่ว่าจะกรณีใดๆทั้งสิ้น อีกทั้งห้ามมิให้ตัดแปลงเนื้อหา และต้องอ้างอิงถึงเจ้าของเอกสารทุกครั้งที่มีการนำไปใช้

4.2.3 ผลสัมฤทธิ์ของการปรับปรุงพื้นผิวด้วยโซเดียมไฮดรอกไซด์

การปรับปรุงและไม่ปรับปรุงพื้นผิวด้วยโซเดียมไฮดรอกไซด์ของซีเมนต์ พบว่าพื้นผิวของซีเมนต์ที่ผ่านการปรับปรุงพื้นผิวด้วยโซเดียมไฮดรอกไซด์มีความขรุขระมากกว่าซีเมนต์ไม่ผ่านการปรับปรุงพื้นผิว และพบว่าพื้นผิวซีเมนต์มีความขรุขระเพิ่มมากขึ้น โดยเฉพาะบริเวณด้านปลายของซีเมนต์จะมีลักษณะเปื่อยยุ่ยมากขึ้นเมื่อเพิ่มความเข้มข้นของโซเดียมไฮดรอกไซด์ ดังรูปที่ 4.5 (ก) – (ค)

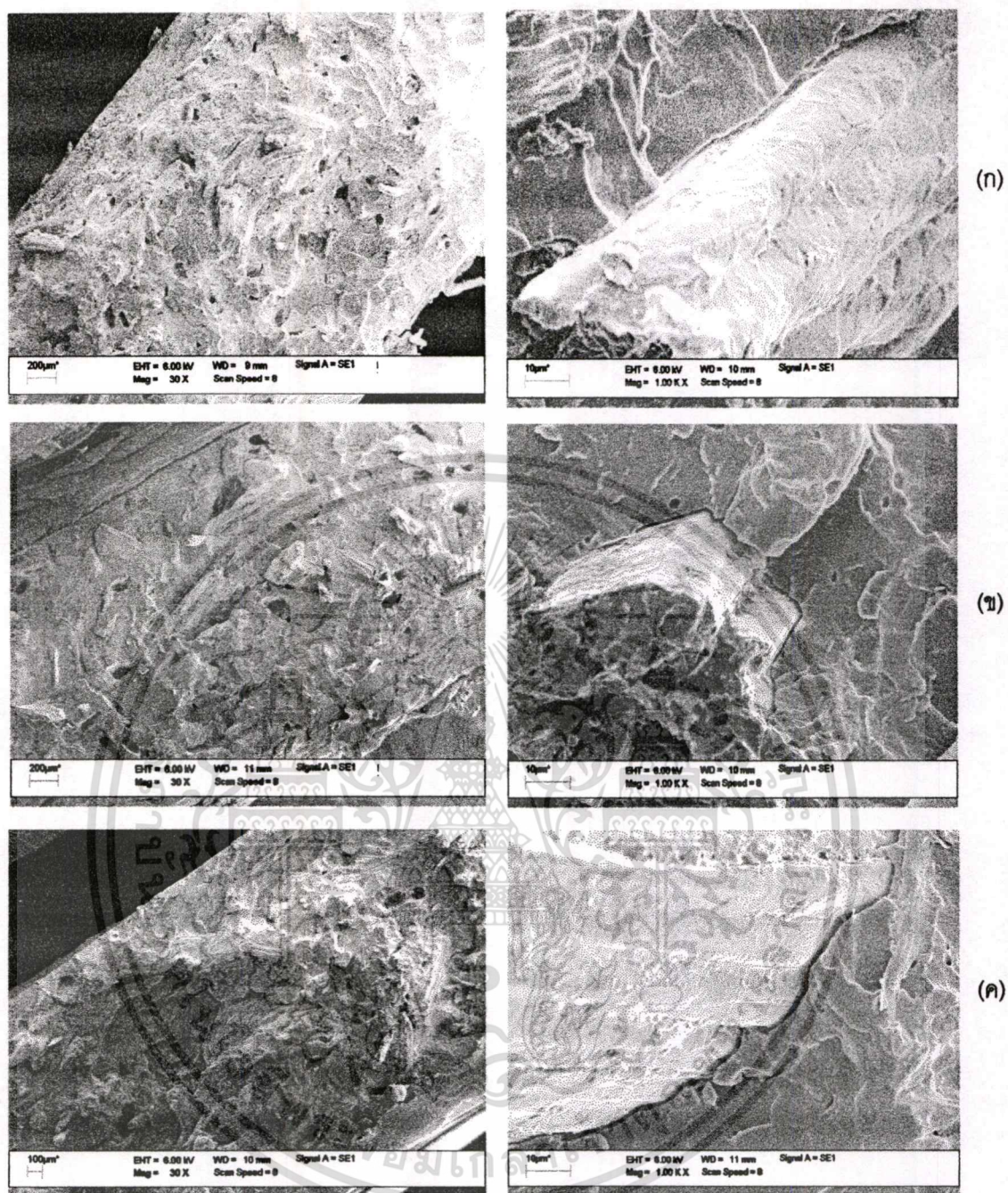
เมื่อพิจารณาบริเวณพื้นผิววัสดุคอมโพสิตระหว่างพอลิพรอพิลีนกับซีเมนต์ที่ผ่านและไม่ผ่านการปรับปรุงพื้นผิวดังรูปที่ 4.6 พบว่าซีเมนต์ที่ผ่านการปรับปรุงพื้นผิวด้วยโซเดียมไฮดรอกไซด์มีร่องรอยการถูกทำลายบริเวณพื้นผิว และเมื่อเพิ่มความเข้มข้นของโซเดียมไฮดรอกไซด์มากขึ้นพบว่าพื้นผิวถูกทำลายมากขึ้น และเมื่อพิจารณาวัสดุคอมโพสิตพบว่าซีเมนต์ที่ผ่านการปรับปรุงพื้นผิวด้วยโซเดียมไฮดรอกไซด์ที่ความเข้มข้น 5% โดยน้ำหนักต่อปริมาตรเป็นเวลา 60 นาที ดังรูปที่ 4.6 (ก) และ (ข) มีแนวโน้มเกิดการยึดเกาะระหว่างสองวัสดุได้ดีกว่าซีเมนต์ที่ไม่ผ่านการปรับปรุงพื้นผิว เนื่องจากการปรับปรุงพื้นผิวเป็นการสกัดลิกนินที่บริเวณพื้นผิวออกส่งผลให้เกิดการยึดเกาะเชิงกลระหว่างซีเมนต์และพอลิพรอพิลีน แต่เมื่อเพิ่มความเข้มข้นโซเดียมไฮดรอกไซด์มากขึ้นดังรูปที่ 4.6 (ค) พบว่าซีเมนต์มีแนวโน้มรวมตัวกันเป็นกลุ่มก้อนมากกว่าซีเมนต์ที่ไม่ผ่านการปรับปรุงพื้นผิว เนื่องจากการปรับปรุงพื้นผิวเป็นการสกัดลิกนินที่เป็นองค์ประกอบส่วนสำคัญที่ทำหน้าที่ยึดเซลลูโลสและเฮมิเซลลูโลสเข้าไว้ด้วยกันออกส่งผลให้เกิดพันธะไฮโดรเจนของหมู่ไฮดรอกซิลระหว่างซีเมนต์ด้วยกันได้ง่ายขึ้น ทำให้เกิดการกระจายตัวของซีเมนต์ในพอลิเมอร์เมทริกซ์ไม่ดี จำนวนช่องว่างมากขึ้น ซึ่งจากที่กล่าวมาทั้งหมดนี้เป็นปัจจัยสำคัญที่ส่งผลต่อสมบัติเชิงกลของวัสดุคอมโพสิต เนื่องจากการถ่ายเทแรงจากพอลิพรอพิลีนเมทริกซ์ไปยังซีเมนต์เกิดขึ้นได้ไม่ดีหรือไม่ต่อเนื่อง



รูปที่ 4.5 ภาพถ่ายจากกล้องจุลทรรศน์อิเล็กตรอนแบบส่องกราดกำลังขยาย 20 และ 500

เท่าของขี้เลื่อยที่มีขนาดมากกว่าหรือเท่ากับ 100 เมช (ก) ขี้เลื่อยก่อนปรับปรุงพื้นผิว (ข) ขี้เลื่อยที่ปรับปรุงพื้นผิวด้วยโซเดียมไฮดรอกไซด์เข้มข้น 5% โดยน้ำหนักต่อปริมาตรเป็นเวลา 60 นาที และ (ค) ขี้เลื่อยที่ปรับปรุงพื้นผิวด้วยโซเดียมไฮดรอกไซด์เข้มข้น 15% โดยน้ำหนักต่อปริมาตรเป็นเวลา 60 นาที

เอกสารนี้เป็นเอกสารที่สงวนไว้สำหรับการใช้งานเพื่อการศึกษาเท่านั้น ไม่อนุญาตให้นำไปใช้ประโยชน์ด้านการค้า
ไม่ว่ากรณีใดๆทั้งสิ้น อีกทั้งห้ามมิให้ตัดแปลงเนื้อหา และต้องอ้างอิงถึงเจ้าของเอกสารทุกครั้งที่มีการนำไปใช้



รูปที่ 4.6 ภาพถ่ายพื้นผิวจากกล้องจุลทรรศน์อิเล็กตรอนแบบส่องกราดของวัสดุคอมพอลิโอสระหว่างพอลิพรอพิลีนกับซีลีนที่มีขนาดมากกว่าหรือเท่ากับ 100 เมช กำลังขยาย 30 และ 1000 เท่า ตามลำดับ (ก) วัสดุคอมพอลิโอสที่ไม่มีการปรับปรุงพื้นผิว (ข) ปรับปรุงพื้นผิวด้วยโซเดียมไฮดรอกไซด์ เข้มข้น 30% โดยน้ำหนักต่อปริมาตรเป็นเวลา 60 นาที และ (ค) ปรับปรุงพื้นผิวด้วย โซเดียมไฮดรอกไซด์ เข้มข้น 15% โดยน้ำหนักต่อปริมาตรเป็นเวลา 60 นาที

เอกสารนี้เป็นเอกสารที่สงวนไว้สำหรับการใช้งานเพื่อการศึกษาเท่านั้น ไม่อนุญาตให้นำไปใช้ประโยชน์ด้านการค้า
ไม่ว่ากรณีใดๆทั้งสิ้น อีกทั้งห้ามมิให้ตัดแปลงเนื้อหา และต้องอ้างอิงถึงเจ้าของเอกสารทุกครั้งที่มีการนำไปใช้

4.2.4 ผลสัมฤทธิ์ทางวิทยาของการใช้สารช่วยผสม และปรับปรุงพื้นผิวด้วยโซเดียมไฮดรอกไซด์

เมื่อศึกษาสัมฤทธิ์ทางวิทยาของวัสดุคอมโพสิตระหว่างพอลิพรอพิลีนกับซีลีเยอขนาดมากกว่าหรือเท่ากับ 100 เมช ที่อัตราส่วนร้อยละ 30 โดยน้ำหนัก โดยซีลีเยอที่ผ่านการปรับปรุงพื้นผิวด้วยโซเดียมไฮดรอกไซด์เข้มข้นร้อยละ 5 โดยน้ำหนักต่อปริมาตร เป็นระยะเวลา 60 นาที และเติมสารช่วยผสม มาลิกแอนไฮดรยด์กราฟพอลิพรอพิลีน ร้อยละ 5 โดยน้ำหนักซีลีเยอ จากรูปที่ 4.7 แสดงว่าวัสดุ คอมโพสิตมีแนวโน้มเกิดการยึดเกาะระหว่างสองวัสดุได้ดี โดยสังเกตเห็นพอลิเมอร์ปกคลุมพื้นผิว ซีลีเยอได้ดี (Wetting)



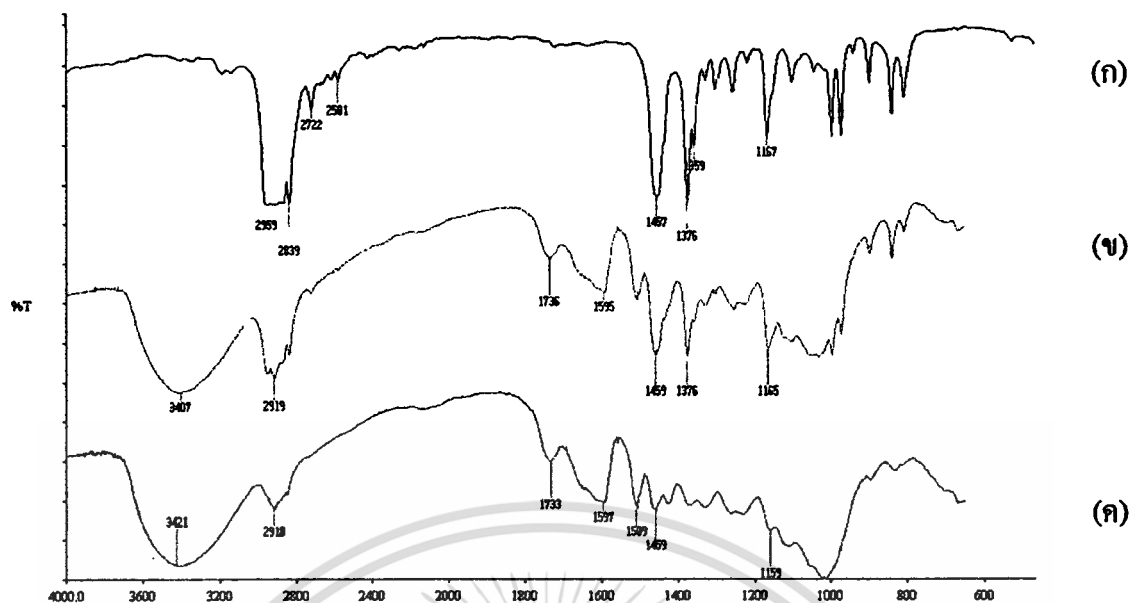
รูปที่ 4.7 ภาพถ่ายพื้นผิววัสดุคอมโพสิตที่ปรับปรุงพื้นผิวซีลีเยอที่มีขนาดมากกว่าหรือเท่ากับ 100 เมช ด้วยโซเดียมไฮดรอกไซด์เข้มข้น 5% โดยน้ำหนักเป็นเวลา 60 นาที และเติมสารช่วยผสมมาลิกแอนไฮดรยด์กราฟพอลิพรอพิลีน ร้อยละ 5 โดยน้ำหนักซีลีเยอ จากกล้องจุลทรรศน์อิเล็กตรอนแบบส่องกราด (ก) กำลังขยาย 200 เท่า และ (ข) กำลังขยาย 1,000 เท่า

4.3 การวิเคราะห์หมู่ฟังก์ชันโดยเทคนิค FT-IR

การวิเคราะห์หมู่ฟังก์ชันของพอลิพรอพิลีน ซีลี้อย และวัสดุคอมโพสิตระหว่างพอลิพรอพิลีน และซีลี้อยด้วยเทคนิค FT-IR [48-50] ในช่วงเลขคลื่น 4000 - 650 cm^{-1} แสดงได้ดังรูปที่ 4.8-4.9 สำหรับการวิเคราะห์หมู่ฟังก์ชันของวัสดุคอมโพสิตระหว่างพอลิพรอพิลีนและซีลี้อยที่มีขนาดมากกว่าหรือเท่ากับ 100 เมช โดยมีปริมาณซีลี้อยร้อยละ 30 โดยน้ำหนัก ด้วยเทคนิค FT-IR แสดงตำแหน่งสเปกตรัมได้ตารางที่ 4.2 และภาพสเปกตรัมดังรูปที่ 4.8-4.9

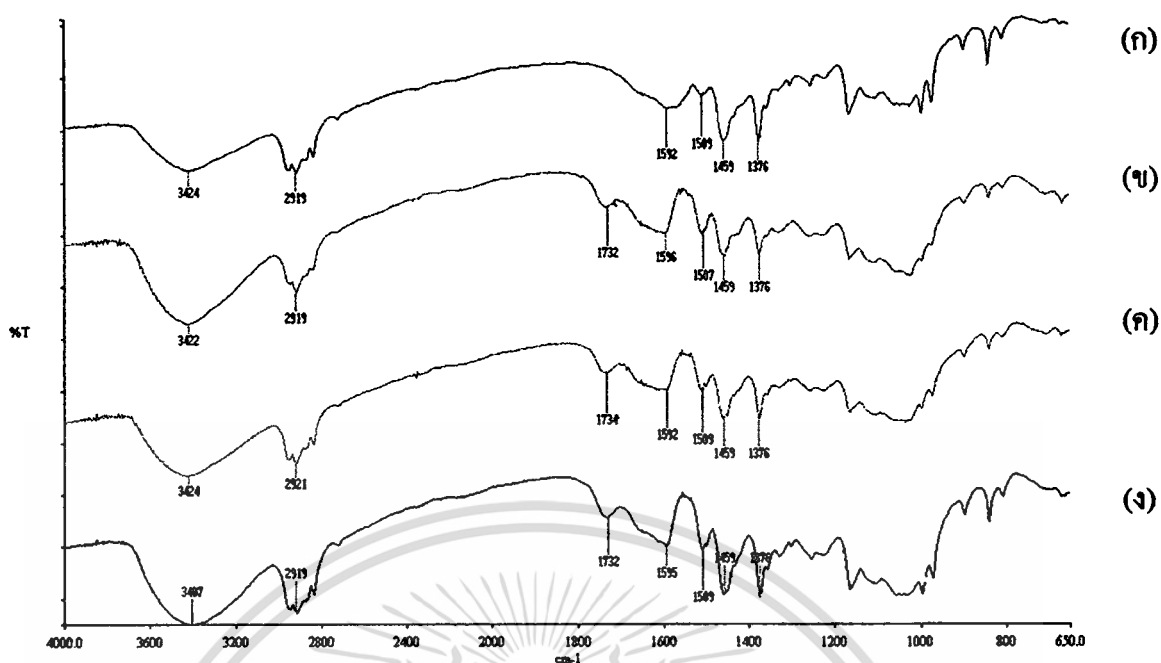
ตารางที่ 4.2 แสดงตำแหน่งสเปกตรัมของวัสดุคอมโพสิตระหว่างพอลิพรอพิลีนและซีลี้อย

ตำแหน่งพิก (cm^{-1})	ลักษณะการสั่น
4000-3000	O-H Stretching
3100-2600	CH-Stretching ของ CH_2 และ/หรือ CH_3
1750-1700	C=O Stretching ของคาร์บอนิล
1680-1650	C=C Stretching
1650-1450	วงแหวนอะโรมาติก
1400-1300	CH-Deformation ของ CH_2 และ/หรือ CH_3
1300-900	C-O Stretching



รูปที่ 4.8 อินฟราเรดสเปกตรัมของ (ก) พอลิพรอพิลีน (ข) พอลิเอทิลีน และ (ค) วัสดุคอมโพสิตระหว่างพอลิพรอพิลีนและพอลิเอทิลีนที่มีขนาดพอลิเมอร์มากกว่าหรือเท่ากับ 100 เมช โดยมีปริมาณพอลิเอทิลีนร้อยละ 30 โดยน้ำหนัก

จากรูปที่ 4.8 จะพบพีกช่วง $4000-3000\text{ cm}^{-1}$ เป็นพีกของหมู่ O-H Stretching ในพอลิเอทิลีนพีกช่วง $3100-2600\text{ cm}^{-1}$ เป็นลักษณะการสั่นแบบ C-H Stretching ของอะลิฟาติกคาร์บอน พีกช่วง $1750-1700\text{ cm}^{-1}$ เป็นลักษณะของหมู่ของคาร์บอนิล (C=O Stretching) ของลิกนินในองค์ประกอบของพอลิเอทิลีน พีกช่วง $1680-1560\text{ cm}^{-1}$ เป็นพีกของคาร์บอนพันธะคู่ (C=C Stretching) พีกช่วง $1650-1450\text{ cm}^{-1}$ เป็นพีกของวงแหวนเบนซีน (Benzene ring) พีกช่วง $1400-1300\text{ cm}^{-1}$ เป็นลักษณะการเปลี่ยนรูปของ CH_2 และ/หรือ CH_3 ของพอลิพรอพิลีนและพอลิเอทิลีน และพีกช่วง $1300-900\text{ cm}^{-1}$ เป็นพีกของ C-O Stretching



รูปที่ 4.9 อินฟราเรดสเปกตรัมของวัสดุคอม โพลีเอท (ก) ที่เลื่อยปรับปรุงพื้นผิวด้วยโซเดียมไฮดรอกไซด์ความเข้มข้น 5% โดยน้ำหนักต่อปริมาตร เป็นเวลา 60 นาที (ข) เดิมสารช่วยผสม มาลิกแอนไฮดรไรต์ กราฟฟอไลฟรอปทิลีน 5% โดยน้ำหนัก ที่เลื่อย (ค) ที่เลื่อยปรับปรุงพื้นผิวด้วยโซเดียมไฮดรอกไซด์ความเข้มข้น 5% โดยน้ำหนักต่อปริมาตร เป็นเวลา 60 นาที และเดิมสารช่วยผสม มาลิกแอนไฮดรไรต์กราฟฟอไลฟรอปทิลีน 5% โดยน้ำหนักที่เลื่อย และ (ง) ไม่มีการปรับปรุงการยึดเกาะระหว่างวัฏภาค

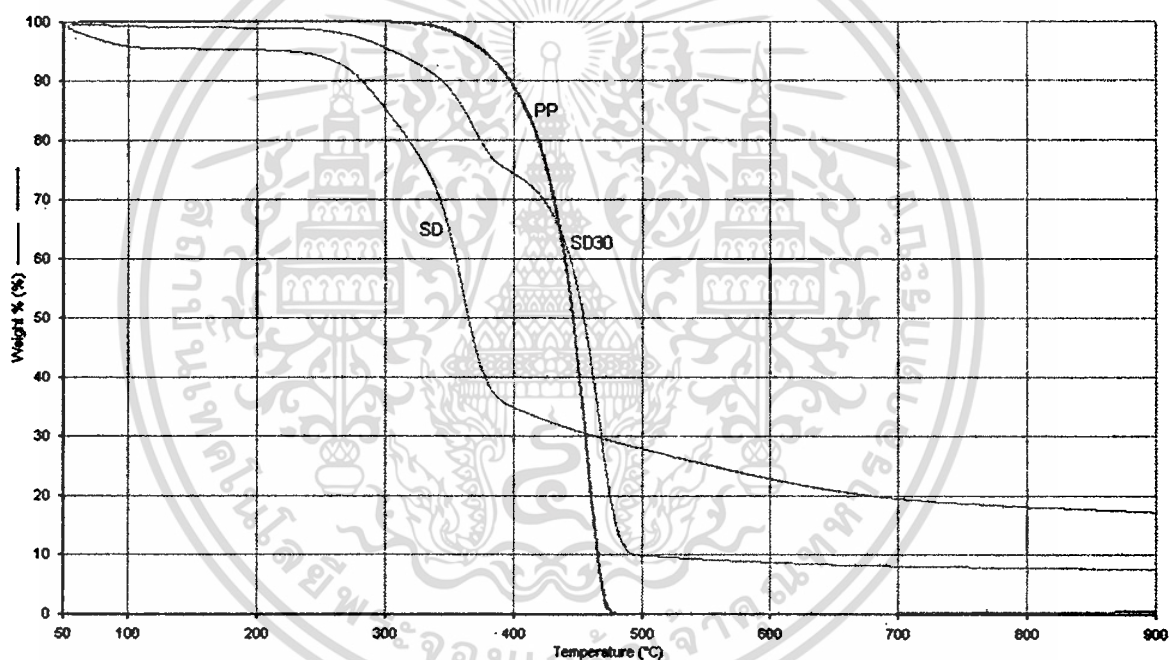
และเมื่อพิจารณารูปที่ 4.9 ซึ่งแสดงอินฟราเรดสเปกตรัมของวัสดุคอม โพลีเอทระหว่างพอลิพรอพิลีนและซีลียที่มีขนาดมากกว่าหรือเท่ากับ 100 เมช โดยมีปริมาณซีลียร้อยละ 30 โดยน้ำหนัก เปรียบเทียบกับวัสดุคอม โพลีเอทที่มีซีลียที่ผสมสารช่วยผสมมาลิกแอนไฮดรไรต์กราฟฟอไลฟรอปทิลีน 5% โดยน้ำหนักซีลีย จากการทดสอบไม่พบพิกที่ปรากฏลักษณะของหมู่คาร์บอนิลที่ตำแหน่ง $1750-1730 \text{ cm}^{-1}$ ที่ชัดเจน

4.4 สมบัติทางความร้อน

สมบัติทางความร้อนที่ทำการศึกษาคือ ศึกษาอุณหภูมิการสลายตัว (Thermal degradation) โดย TGA และ อุณหภูมิการหลอมเหลว (Melt temperature, T_m) อุณหภูมิการเกิดผลึก (Crystallization temperature, T_c) และปริมาณความเป็นผลึก (Degree of crystallinity) โดย DSC

4.4.1 อุณหภูมิการสลายตัว (Thermal degradation)

การศึกษาอุณหภูมิการสลายตัวของซีลี้อย พอลิพรอพิลีน และวัสดุคอมโพสิตระหว่างพอลิพรอพิลีนและซีลี้อย โดย TGA อุณหภูมิที่ใช้ในการศึกษาอยู่ในช่วง 50-900 องศาเซลเซียส อัตราการให้ความร้อน 10 องศาเซลเซียสต่อนาที และใช้บรรยากาศไนโตรเจน ได้ผลการทดลองดังรูปที่ 4.10-4.11 และตารางที่ 4.3



รูปที่ 4.10 TG เทอร์โมแกรมของพอลิพรอพิลีน ซีลี้อย และวัสดุคอมโพสิตระหว่างพอลิพรอพิลีนและซีลี้อยที่มีขนาดซีลี้อยมากกว่าหรือเท่ากับ 100 เมช

จากรูปที่ 4.10 ซึ่งแสดง TG เทอร์โมแกรมของพอลิพรอพิลีน ซีลี้อย และวัสดุคอมโพสิตระหว่างพอลิพรอพิลีนและซีลี้อยที่มีขนาดซีลี้อยมากกว่าหรือเท่ากับ 100 เมช โดยมีปริมาณซีลี้อยร้อยละ 30 โดยน้ำหนัก พบว่าพอลิพรอพิลีนมีอุณหภูมิการสลายตัวสูงกว่าซีลี้อยมีอุณหภูมิการสลายตัว คือ 2 อุณหภูมิ คือ ที่อุณหภูมิ 293 องศาเซลเซียส ซึ่งเป็นอุณหภูมิการสลายตัวของเซตูลอสและเฮมิ-เซตูลอส และถิกนินที่อุณหภูมิ 359 องศาเซลเซียส [51] จากผลที่ได้แสดงว่า

เอกสารนี้เป็นเอกสารที่สงวนไว้สำหรับการใช้งานเพื่อการศึกษาเท่านั้น ไม่อนุญาตให้นำไปใช้ประโยชน์ด้านการค้าไม่ว่ากรณีใดๆทั้งสิ้น อีกทั้งห้ามมิให้ตัดแปลงเนื้อหา และต้องอ้างอิงถึงเจ้าของเอกสารทุกครั้งที่มีการนำไปใช้

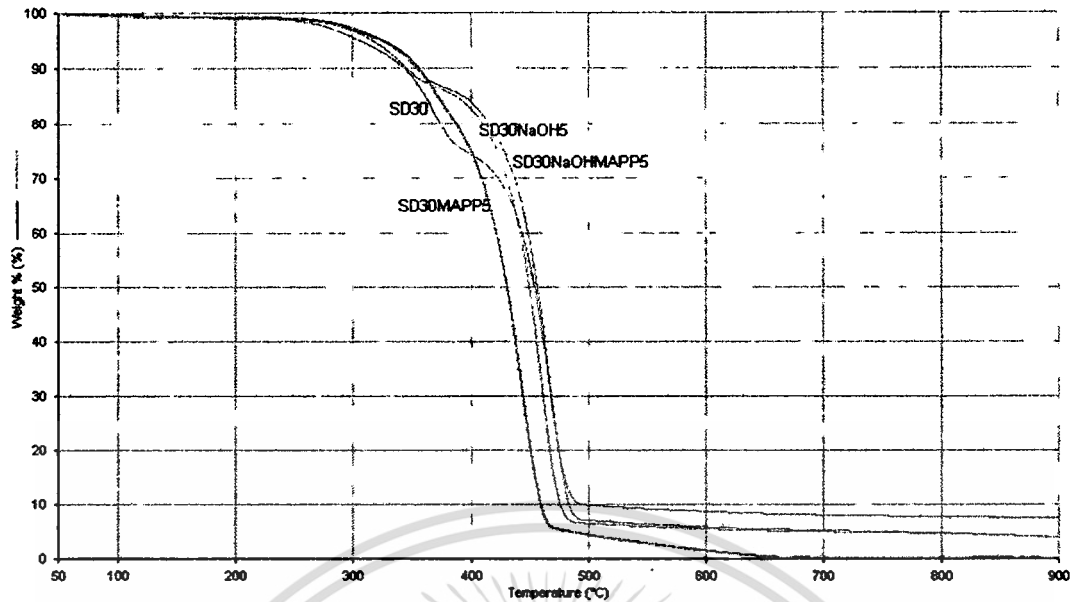
พอลิพรอพิลีนมีอุณหภูมิการสลายตัวสูงกว่าซีลื้อหรือกล่าวได้ว่าพอลิพรอพิลีนมีเสถียรภาพทางความร้อน (Thermal stability) ที่ดีกว่าซีลื้อ

รูปที่ 4.11 ซึ่งแสดง TG และ DTG เทอร์โมแกรม และตารางที่ 4.3 อุณหภูมิการสลายตัวของ พอลิพรอพิลีน ซีลื้อที่ปรับปรุงและไม่ปรับปรุงพื้นผิวด้วยโซเดียมไฮดรอกไซด์ร้อยละ 5 โดยน้ำหนัก เป็นเวลา 60 นาทีและวัสดุคอมโพสิตระหว่างพอลิพรอพิลีนและซีลื้อโดยมีปริมาณซีลื้อร้อยละ 30 โดยน้ำหนัก พบว่าวัสดุคอมโพสิตระหว่างพอลิพรอพิลีนและซีลื้อที่ผ่านการปรับปรุงพื้นผิวด้วยโซเดียมไฮดรอกไซด์มีอุณหภูมิเริ่มต้นการสลายตัวช่วงอุณหภูมิ 302-309 องศาเซลเซียส ซึ่งมีอุณหภูมิเริ่มต้นการสลายตัวสูงกว่าซีลื้อที่ไม่ปรับปรุงพื้นผิวด้วยโซเดียมไฮดรอกไซด์ ซึ่งอาจจะเป็นผลจากการปรับปรุงพื้นผิวด้วยโซเดียมไฮดรอกไซด์ได้สกัดสารที่มีโมเลกุลต่ำบางส่วนหรือสิ่งสกปรกออกไป ส่งผลให้อุณหภูมิการสลายตัวของซีลื้อที่ปรับปรุงพื้นผิวด้วยโซเดียมไฮดรอกไซด์สูงขึ้น ส่วนการใช้สารช่วยผสมมาลิกแอนไฮไดรด์กราฟพอลิพรอพิลีนทำให้วัสดุคอมโพสิตมีอุณหภูมิเริ่มต้นการสลายตัวใกล้เคียงกับการใช้โซเดียมไฮดรอกไซด์

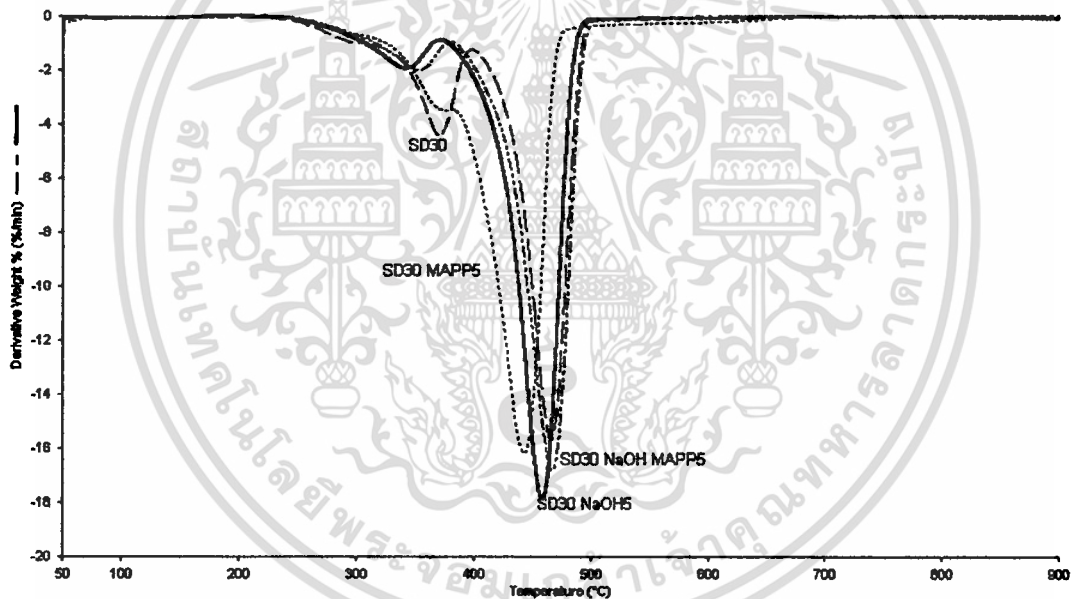
ตารางที่ 4.3 อุณหภูมิการสลายตัวของพอลิพรอพิลีน ซีลื้อที่ปรับปรุงและไม่ปรับปรุงพื้นผิวด้วยโซเดียมไฮดรอกไซด์ และวัสดุคอมโพสิตระหว่างพอลิพรอพิลีนและซีลื้อ

ชื่อตัวอย่าง	อุณหภูมิเริ่มต้นการสลายตัว (°C)
PP	419
ซีลื้อ	
SD	263
วัสดุคอมโพสิต	
SD30	266
SD30MAPP5	308
SD30NaOH5	302
SD30NaOHMAPP5	309

เอกสารนี้เป็นเอกสารที่สงวนไว้สำหรับการใช้งานเพื่อการศึกษาเท่านั้น ไม่อนุญาตให้นำไปใช้ประโยชน์ด้านการค้า
ไม่ว่ากรณีใดๆทั้งสิ้น อีกทั้งห้ามมิให้ตัดแปลงเนื้อหา และต้องอ้างอิงถึงเจ้าของเอกสารทุกครั้งที่มีการนำไปใช้



(ก)



(ข)

รูปที่ 4.11 (ก) TG และ (ข) DTG เทอร์โมแกรมของวัสดุคอมโพสิตระหว่างพอลิพรอพิลีนและซีเมนต์ที่มีขนาดซีเมนต์มากกว่าหรือเท่ากับ 100 เมช วัสดุคอมโพสิตที่เติมสารช่วยผสมมาลิกแอนไฮดรยด์กราฟพอลิพรอพิลีน 5% โดยน้ำหนักซีเมนต์ วัสดุคอมโพสิตที่ปรับปรุงพื้นผิวซีเมนต์ด้วยไฮเดียมไฮดรอกไซด์เข้มข้น 5% โดยน้ำหนักเป็นเวลา 60 นาที และวัสดุคอมโพสิตที่เติมสารช่วยผสมมาลิกแอนไฮดรยด์กราฟพอลิพรอพิลีน 5% โดยน้ำหนักซีเมนต์ และปรับปรุงพื้นผิวซีเมนต์ด้วยไฮเดียมไฮดรอกไซด์เข้มข้น 5% โดยน้ำหนักเป็นเวลา 60 นาที โดยมีปริมาณซีเมนต์ร้อยละ 30 โดยน้ำหนัก

เอกสารนี้เป็นเอกสารที่สงวนไว้สำหรับการใช้งานเพื่อการศึกษาเท่านั้น ไม่อนุญาตให้นำไปใช้ประโยชน์ด้านการค้า
ไม่ว่ากรณีใดๆทั้งสิ้น อีกทั้งห้ามมิให้คัดแปลงเนื้อหา และต้องอ้างอิงถึงเจ้าของเอกสารทุกครั้งที่มีการนำไปใช้

4.4.2 อุณหภูมิการหลอมเหลว (Melt temperature, T_m) อุณหภูมิการเกิดผลึก (Crystallization temperature, T_c) และปริมาณความเป็นผลึก (Degree of crystallinity)

การศึกษาสมบัติทางความร้อนโดยวิเคราะห์ด้วยเครื่อง DSC เกี่ยวกับอุณหภูมิการหลอมเหลว อุณหภูมิการเกิดผลึก และปริมาณความเป็นผลึกของวัสดุคอมโพสิตระหว่างพอลิพรอพิลีนและซีลีโอซ ได้ผลการทดลองดังตารางที่ 4.4

จากตารางที่ 4.4 แสดงอุณหภูมิการหลอมเหลว และอุณหภูมิการเกิดผลึกของพอลิพรอพิลีนและวัสดุคอมโพสิตระหว่างพอลิพรอพิลีนและซีลีโอซที่มีขนาด 12-34 เมช และมากกว่าหรือเท่ากับ 100 เมช โดยมีปริมาณซีลีโอซอัตราส่วนร้อยละ 30 โดยน้ำหนัก พบว่าเมื่อผสมซีลีโอซในวัสดุคอมโพสิตระหว่างพอลิพรอพิลีนและซีลีโอซมีผลทำให้พอลิพรอพิลีนในวัสดุคอมโพสิตมีอุณหภูมิการหลอมเหลว และอุณหภูมิการเกิดผลึกมีแนวโน้มไม่เปลี่ยนแปลง รวมทั้งขนาดของซีลีโอซไม่มีผลต่ออุณหภูมิการหลอมเหลว และอุณหภูมิการเกิดผลึกของพอลิพรอพิลีนในวัสดุคอมโพสิตระหว่างพอลิพรอพิลีนและซีลีโอซ แสดงว่าการใช้ ซีลีโอซทั้งขนาดเล็ก-ขนาดใหญ่เป็นสารตัวเติมในวัสดุคอมโพสิตพอลิพรอพิลีนไม่ส่งผลต่ออุณหภูมิการหลอมเหลว และอุณหภูมิการเกิดผลึกของพอลิพรอพิลีนในวัสดุคอมโพสิตระหว่างพอลิพรอพิลีนและซีลีโอซ

ตารางที่ 4.4 อุณหภูมิการเกิดผลึก เอนทัลปี และปริมาณความเป็นผลึกของพอลิพรอพิลีนในวัสดุคอมโพสิตระหว่างพอลิพรอพิลีนกับซีลีโอซที่เติมและไม่เติมสารช่วยผสมมาลิกแอนไฮไดรด์กราฟพอลิพรอพิลีน และซีลีโอซปรับปรุงพื้นผิวด้วยสารละลายโซเดียมไฮดรอกไซด์ที่มีความเข้มข้น 5% และ 15% โดยน้ำหนักเป็นเวลา 60 นาที

ตัวอย่าง	T_m (°C)	T_c (°C)	% Crystallinity
PP	161.4	126.9	49.1
SD30 (วัสดุคอมโพสิต 12-34 mesh)	160.8	126.1	51.7
SD30 (วัสดุคอมโพสิต ≥ 100 mesh)	158.2	127.2	57.2
SD30MAPP5	159.8	124.4	54.5
SD30NaOH5	160.4	126.8	54.1
SD30NaOH15	158.8	123.6	54.2
SD30NaOHMAPP5	157.8	122.4	55.9

เมื่อพิจารณาปริมาณร้อยละความเป็นผลึก พบว่าการผสมซีลี้อยในวัสดุคอมโพสิตระหว่าง พอลิพรอพิลีนและซีลี้อยนั้นทำให้ปริมาณความเป็นผลึกของพอลิพรอพิลีนมีแนวโน้มเพิ่มขึ้น เนื่องจากซีลี้อยอาจทำหน้าที่เป็นอนุภาคที่เหนียวมา หรือเพิ่มโอกาสการเกิดนิวเคลียสของผลึกของ พอลิพรอพิลีนบนพื้นผิวของซีลี้อยซึ่งส่งผลให้ความเป็นผลึกเพิ่มขึ้น และเมื่อใช้ซีลี้อยที่มีการ ปรับปรุงพื้นผิวด้วยสารละลายโซเดียมไฮดรอกไซด์ หรือ เดิมสารช่วยผสมมาลิกแอนไฮดริด กราฟพอลิพรอพิลีน พบว่ามีร้อยละความเป็นผลึกของพอลิพรอพิลีนเปลี่ยนแปลงไม่มากนัก แสดง ว่าการปรับปรุงพื้นผิวด้วยสารละลายโซเดียมไฮดรอกไซด์ หรือ เดิมสารช่วยผสมมาลิกแอนไฮดริด กราฟพอลิพรอพิลีน ไม่ส่งผลต่อร้อยละความเป็นผลึก

4.5 สมบัติเชิงกล

การศึกษาสมบัติเชิงกลของพอลิพรอพิลีนที่มีซีลี้อยจากไม้เต็งนอกมาเป็นสารตัวเติม โดยมี ศึกษาถึงความแข็งแรงดึง (Tensile strength) โมดูลัสแรงดึง (Tensile modulus) ร้อยละการดึงยืด ณ จุดคราก (% Elongation at yield) ความแข็งแรงโค้งงอ (Flexural strength) โมดูลัสโค้งงอ (Flexural modulus) ความแข็งกด (Hardness) และความแข็งแรงกระแทก (Impact strength) โดยใช้ซีลี้อยที่มีขนาด 12-34 เมช 35-99 เมช และมากกว่าหรือเท่ากับ 100 เมช ในอัตราส่วนซีลี้อย ร้อยละ 15 30 และ 45 จากการศึกษาให้ผลการทดลองดังนี้

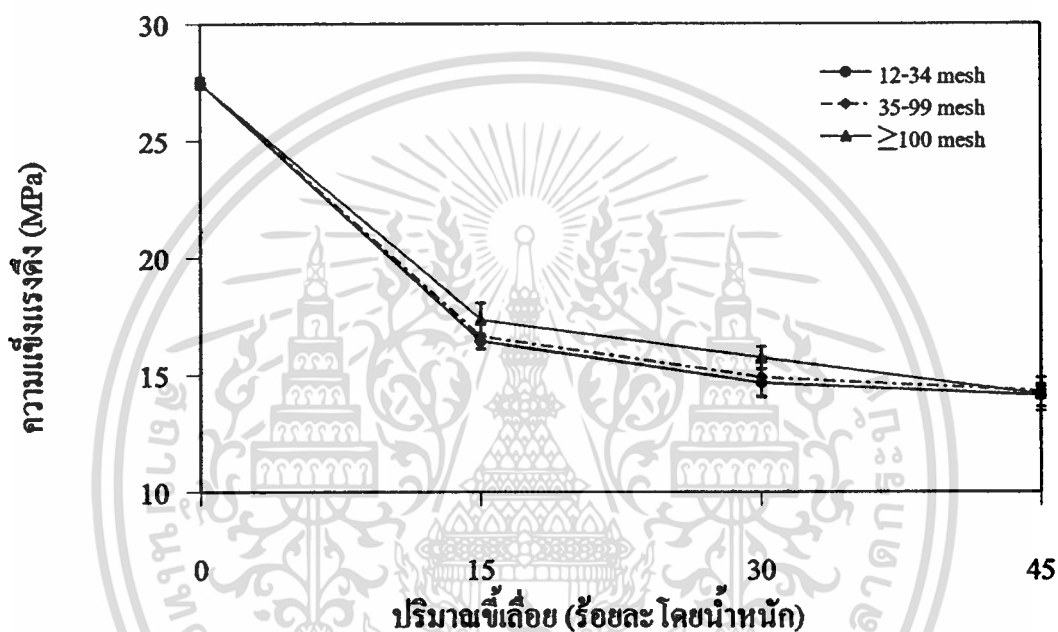
4.5.1 ผลของขนาดและปริมาณซีลี้อย

4.5.1.1 สมบัติทางแรงดึง

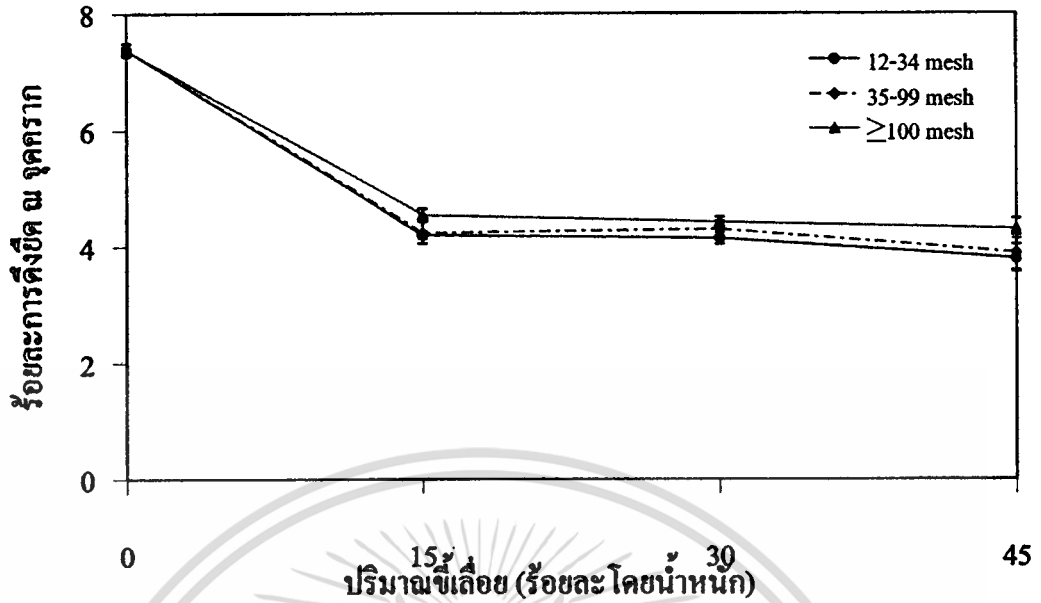
จากรูปที่ 4.12-4.13 แสดงถึงความแข็งแรงดึง และร้อยละการดึงยืด ณ จุดครากของพอลิ พรอพิลีนที่มีซีลี้อยจากไม้เต็งนอกมาเป็นสารตัวเติมในอัตราส่วนร้อยละ 15 30 และ 45 พบว่า ซีลี้อยทำให้ความแข็งแรงดึง และร้อยละการดึงยืด ณ จุดครากของวัสดุคอมโพสิตลดลงในทุก อัตราส่วนที่ทำการศึกษา และเมื่อเพิ่มปริมาณซีลี้อยพบว่าความแข็งแรงดึง และร้อยละการดึงยืด ณ จุดครากของวัสดุคอมโพสิตมีแนวโน้มลดลงในทำนองเดียวกันทุกขนาดของซีลี้อย เนื่องจาก ภูมิภาคที่หนึ่ง คือ พอลิพรอพิลีนเป็นพอลิเมอร์ที่มีไฮโดรคาร์บอนเป็นโครงสร้างไม่มีขั้ว และส่งผล ให้มีสมบัติไม่ชอบน้ำ (Hydrophobic) แต่ภูมิภาคที่สอง คือ ซีลี้อยมีองค์ประกอบหลักเป็น เซลลูโลสมีหมู่ไฮดรอกซิลอยู่ภายในโครงสร้างซึ่งมีขั้วและส่งผลให้มีสมบัติชอบน้ำ (Hydrophilic) จึงทำให้ทั้งสองภูมิภาคมีความเข้ากันได้น้อยเกิดเป็นจุดบกพร่องในชิ้นงานทำให้ความสามารถใน การรับแรงและถ่ายเทแรงของพอลิเมอร์เมทริกซ์ลดลง และเมื่อเพิ่มปริมาณซีลี้อยจึงเป็นการเพิ่ม จุดบกพร่องของชิ้นงาน ทำให้ความสามารถในการรับแรงของชิ้นงานลดลงเมื่อปริมาณซีลี้อย เพิ่มขึ้น

เอกสารนี้เป็นเอกสารที่สงวนไว้สำหรับการใช้งานเพื่อการศึกษาเท่านั้น ไม่อนุญาตให้นำไปใช้ประโยชน์ด้านการค้า ไม่ว่ากรณีใดๆทั้งสิ้น อีกทั้งห้ามมิให้คัดแปลงเนื้อหา และต้องอ้างอิงถึงเจ้าของเอกสารทุกครั้งที่มีการนำไปใช้

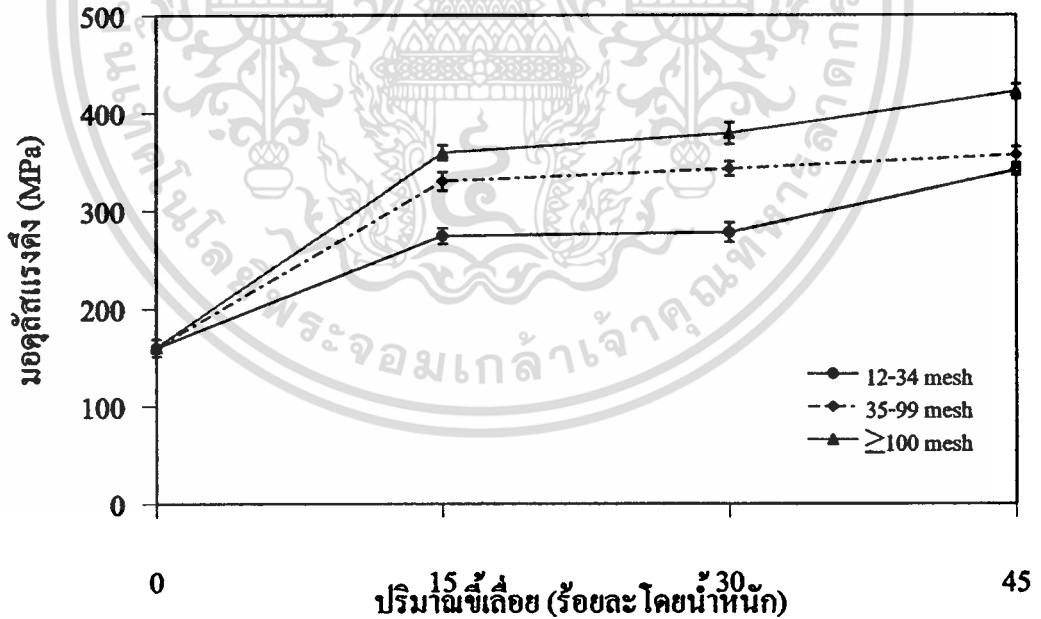
เมื่อพิจารณาถึงขนาดขี้เลื่อย 12-34 เมช 35-99 เมช และมากกว่าหรือเท่ากับ 100 เมช ในอัตราส่วนเดียวกันพบว่าเมื่อขนาดขี้เลื่อยลดลงมีค่าความแข็งแรงดึง และร้อยละการดึงยืด ณ จุดครากมีแนวโน้มเพิ่มขึ้นเล็กน้อย โดยขนาดมากกว่าหรือเท่ากับ 100 เมช มีแนวโน้มความแข็งแรงดึงสูงกว่าขนาดอื่น ๆ ทั้งนี้จากผลของสัณฐานวิทยาจะพบว่าขี้เลื่อยที่มีขนาดใหญ่มีแนวโน้มเกิดช่องว่างขนาดใหญ่ หรือจุดบกพร่องเนื่องจากการรวมตัวกันมากกว่าขี้เลื่อยที่มีขนาดเล็ก ซึ่งทำให้การยึดเกาะระหว่างขี้เลื่อยกับพอลิเมอร์มีแนวโน้มน้อยกว่าขี้เลื่อยมีขนาดเล็ก



รูปที่ 4.12 ความแข็งแรงดึงของพอลิพรอพิลีน โดยมีขี้เลื่อยจาก ไม้เต็งนอกเป็นสารตัวเติมที่ปริมาณและขนาดต่าง ๆ



รูปที่ 4.13 ร้อยละการดึงยึด ณ จุดครากของพอลิพรอพิลีน โดยมีขี้เลื่อยจากไม้เต็งนอกเป็นสารตัวเติมที่ปริมาณและขนาดต่าง ๆ

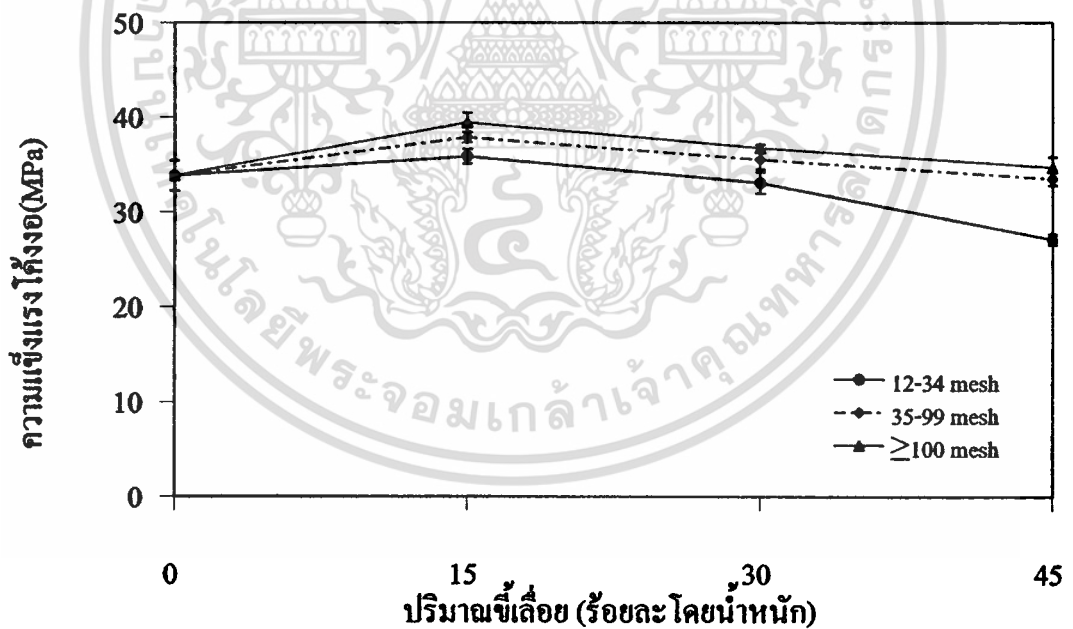


รูปที่ 4.14 มอดุลัสแรงดึงของพอลิพรอพิลีน โดยมีขี้เลื่อยจากไม้เต็งนอกเป็นสารตัวเติมที่ปริมาณและขนาดต่าง ๆ

เอกสารนี้เป็นเอกสารที่สงวนไว้สำหรับการใช้งานเพื่อการศึกษาเท่านั้น ไม่อนุญาตให้นำไปใช้ประโยชน์ด้านการค้า
ไม่ว่ากรณีใดๆทั้งสิ้น อีกทั้งห้ามมิให้ดัดแปลงเนื้อหา และต้องอ้างอิงถึงเจ้าของเอกสารทุกครั้งที่มีการนำไปใช้

จากรูปที่ 4.14 พบว่าพอลิพรอพิลีนที่เดิมมีค่ามอดุลัสแรงดึงมากกว่าพอลิพรอพิลีนเนื่องจากมีค่ามอดุลัสแรงดึง (Stiffness) มากกว่าพอลิพรอพิลีน ดังนั้นเมื่อเดิมมีค่ามอดุลัสแรงดึงสูงในพอลิพรอพิลีนจึงทำให้มอดุลัสแรงดึงเพิ่มมากขึ้นตามไปด้วย เนื่องจากมอดุลัสแรงดึงแสดงถึงความแข็ง หรือการต้านทานต่อการเปลี่ยนแปลงรูปร่างหรือความเสถียรทางรูปร่างของวัสดุ และอนุภาคของซีลียซ์ช่วยขจัดช่องว่างที่ของสายโซ่พอลิเมอร์ซึ่งทำให้เกิดการเปลี่ยนแปลงรูปร่างได้ยากยิ่งขึ้นจึงทำให้มอดุลัสแรงดึงเพิ่มมากขึ้น เมื่อพิจารณาถึงซีลียซ์อัตราส่วนร้อยละ 15 30 และ 45 พบว่าเมื่อปริมาณซีลียซ์ที่มากขึ้นวัสดุคอมโพสิตมีค่ามอดุลัสแรงดึงเปลี่ยนแปลงเล็กน้อย และเมื่อพิจารณาถึงขนาดของซีลียซ์พบว่าซีลียซ์ขนาดมากกว่าหรือเท่ากับ 100 เมช มีค่ามอดุลัสแรงดึงสูงกว่าซีลียซ์ขนาด 35-99 และ 12-34 เมช เนื่องจากผลสัมฤทธิ์ของอนุภาควิทยาพบว่าซีลียซ์ขนาดมากกว่าหรือเท่ากับ 100 เมช มีแนวโน้มเกิดช่องว่างขนาดแคบ หรือจุดบกพร่องเนื่องจากการรวมตัวกันน้อยกว่าซีลียซ์ที่มีขนาดใหญ่ ซึ่งทำให้การยึดเกาะระหว่างซีลียซ์กับพอลิเมอร์มีแนวโน้มมากกว่าซีลียซ์ที่มีขนาดเล็ก และซีลียซ์ขนาดเล็กมีพื้นที่ผิวสัมผัสกับพอลิพรอพิลีนเมทริกซ์มากกว่าซีลียซ์ที่มีขนาดใหญ่กว่าจึงมีความเข้ากันได้มากกว่าส่งผลทำให้วัสดุคอมโพสิตเปลี่ยนแปลงรูปร่างยากขึ้น

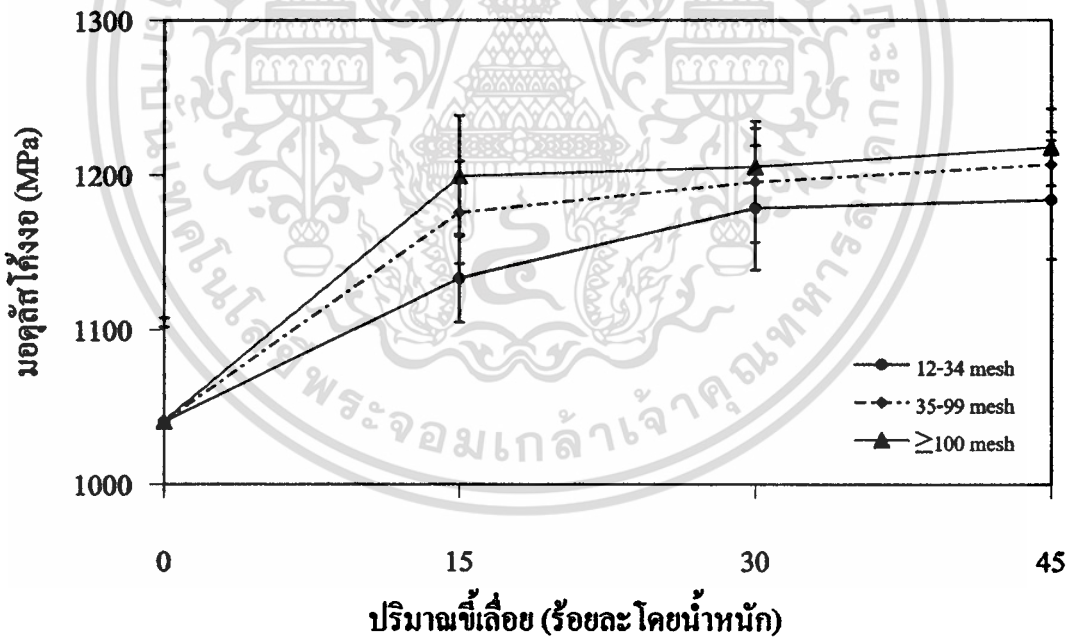
4.5.1.2 สมบัติทางแรงดึง



รูปที่ 4.15 ความแข็งแรงดึงของพอลิพรอพิลีน โดยมีซีลียซ์จากไม้เต็งนอกเป็นสารตัวเติมที่ปริมาณและขนาดต่าง ๆ

จากรูปที่ 4.15 พบว่าความแข็งโค้งงอมีแนวโน้มเพิ่มขึ้นเมื่อเคมีซีเลียลงในพอลิพรอพิลีน แต่เมื่อเพิ่มปริมาณซีเลียมากขึ้นค่าความแข็งแรงโค้งงอมีแนวโน้มลดลงตามไปด้วย โดยที่ปริมาณซีเลียร้อยละ 45 มีความแข็งแรงโค้งงอต่ำที่สุด เมื่อพิจารณาถึงขนาดซีเลียที่ขนาดมากกว่าหรือเท่ากับ 100 และ 35-99 เมช มีค่าใกล้เคียงกันในทุกอัตราส่วน โดยที่ขนาดมากกว่าหรือเท่ากับ 100 เมช มีแนวโน้มค่าความแข็งแรงโค้งงอมากกว่า แต่ที่ขนาด 12-34 เมช ซึ่งมีขนาดใหญ่ให้ค่าแข็งแรงโค้งงอลดต่ำลงอย่างชัดเจนเมื่อเพิ่มปริมาณซีเลีย

เนื่องด้วยเหตุผลที่ว่าพอลิพรอพิลีนมีความเข้ากันได้กับซีเลียน้อยทำให้เมื่อเคมีซีเลียเป็นสารตัวเติมจึงเกิดเป็นจุดบกพร่อง ส่งผลให้การรับแรงต่ำค่าความแข็งแรงโค้งงอของวัสดุคอมโพสิตมีค่าลดลงเมื่อเทียบกับพอลิพรอพิลีนเมทริกซ์ และจากภาพพื้นฐานวิทยาแสดงให้เห็นว่าซีเลียขนาดมากกว่าหรือเท่ากับ 100 เมช มีแนวโน้มเกิดช่องว่างขนาดแคบ หรือจุดบกพร่องเนื่องจากการรวมตัวกันน้อยกว่าซีเลียที่มีขนาดใหญ่ ซึ่งทำให้การยึดเกาะระหว่างซีเลียกับพอลิเมอร์มีแนวโน้มมากกว่าซีเลียมีขนาดเล็ก จึงทำให้มีแนวโน้มความแข็งแรงโค้งงอดีกว่าซีเลียที่มีขนาดใหญ่



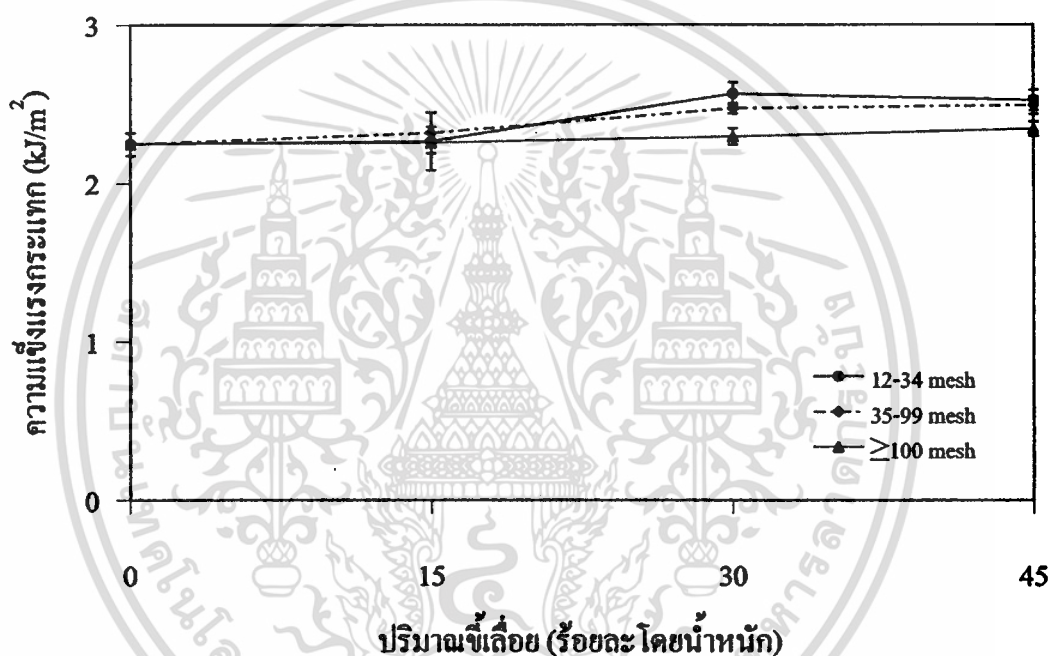
รูปที่ 4.16 มอดุลัส โค้งงอของพอลิพรอพิลีน โดยมีซีเลียจากไม้เค็งนอกเป็นสารตัวเติมที่ปริมาณและขนาดต่าง ๆ

จากรูปที่ 4.16 พบว่ามอดุลัส โค้งงอเพิ่มขึ้นเมื่อเคมีซีเลียลงในพอลิพรอพิลีนเมทริกซ์ และเมื่อเพิ่มปริมาณซีเลียมากขึ้นค่ามอดุลัส โค้งงอมีแนวโน้มเพิ่มขึ้น โดยที่ปริมาณซีเลียที่มากขึ้น

แนวโน้มนำค่ามอดูลัสโค้งงอเพิ่มขึ้นด้วย และพบว่าที่ขนาดขี้เลื่อยมากกว่าหรือเท่ากับ 100 เมช ซึ่งมีขนาดเล็กมีค่ามอดูลัสโค้งงอที่มากกว่าขี้เลื่อยที่มีขนาดใหญ่กว่าในปริมาณเดียวกัน ซึ่งอธิบายได้เช่นเดียวกับมอดูลัสแรงดึง

4.5.1.3 ความแข็งแรงกระแทก

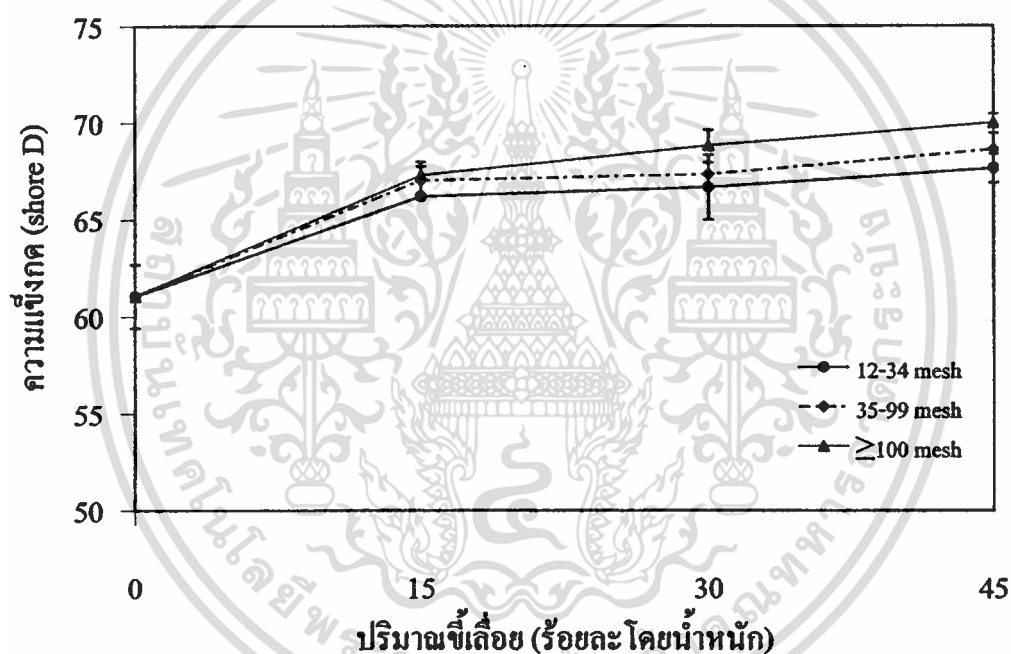
จากรูปที่ 4.17 พบว่าความแข็งแรงกระแทกของวัสดุคอมโพสิตระหว่างพอลิพรอพิลีนและขี้เลื่อยมีแนวโน้มไม่เปลี่ยนแปลงเมื่อเปรียบเทียบกับพอลิพรอพิลีน โดยพบว่าการเปลี่ยนแปลงความแข็งแรงกระแทกของวัสดุคอมโพสิตมีแนวโน้มไม่เปลี่ยนแปลงเมื่อมีการเปลี่ยนแปลงขนาดหรือปริมาณขี้เลื่อย



รูปที่ 4.17 ความแข็งแรงกระแทกของพอลิพรอพิลีน โดยมีขี้เลื่อยจากไม้เต็งนอกเป็นสารตัวเติมที่ปริมาณและขนาดต่างๆ

4.5.1.4 ความแข็งกด

จากรูปที่ 4.18 แสดงค่าความแข็งกดของวัสดุคอมโพสิตระหว่างพอลิพรอพิลีนและซีลื้อย พบว่า พอลิพรอพิลีนที่เติมซีลื้อยมีค่าความแข็งกดสูงกว่าพอลิพรอพิลีนเพียงอย่างเดียว และเมื่อ ปริมาณซีลื้อยเพิ่มขึ้นค่าความแข็งกดของวัสดุคอมโพสิตมีแนวโน้มเพิ่มมากขึ้นเล็กน้อย เนื่องจาก ซีลื้อยมีความแข็งรับแรงกดได้มากกว่าพอลิพรอพิลีนซึ่งมีความนุ่มรับแรงกดได้น้อยกว่าเมื่อผสม ซีลื้อยลงในพอลิพรอพิลีนจึงทำให้วัสดุคอมโพสิตระหว่างพอลิพรอพิลีนและซีลื้อยมีความสามารถในการรับแรงกดได้มากกว่าพอลิพรอพิลีน และเมื่อพิจารณาถึงขนาดของซีลื้อยที่มีต่อความแข็งกด ของวัสดุคอมโพสิตระหว่างพอลิพรอพิลีนและซีลื้อย พบว่าขนาดของซีลื้อยมีผลต่อความแข็งกด ของวัสดุคอมโพสิตระหว่างพอลิพรอพิลีนและซีลื้อยเพียงเล็กน้อย



รูปที่ 4.18 ความแข็งกดของพอลิพรอพิลีน โดยมีซีลื้อยจากไม้เต็งนอกเป็นสารตัวเติมที่ปริมาณและขนาดต่าง ๆ

จากผลการทดสอบสมบัติเชิงกลของวัสดุคอมโพสิตระหว่างพอลิพรอพิลีนและซีลื้อยที่กล่าวมาข้างต้น พบว่าปริมาณและขนาดของซีลื้อยมีผลต่อสมบัติเชิงกลโดยรวม คือ โดยเมื่อเพิ่มปริมาณของซีลื้อยมากขึ้นส่งผลให้ความแข็งแรงดึง และร้อยละการดึงยึด ณ จุดครากของวัสดุคอมโพสิตมีแนวโน้มลดลง ในขณะที่ความแข็งแรงโค้งงอ มอดุลัสแรงดึง มอดุลัสโค้งงอ และความแข็งกดของวัสดุคอมโพสิตมีแนวโน้มเพิ่มขึ้น แต่ความแข็งแรงกระแทกมีแนวโน้มไม่เปลี่ยนแปลง และขนาดของซีลื้อยส่งผลต่อสมบัติเชิงกลของวัสดุคอมโพสิตโดยที่ซีลื้อยที่มีขนาด

เอกสารนี้เป็นเอกสารที่สงวนไว้สำหรับการใช้งานเพื่อการศึกษาเท่านั้น ไม่อนุญาตให้นำไปใช้ประโยชน์ด้านการค้า
ไม่ว่ากรณีใดๆทั้งสิ้น อีกทั้งห้ามมิให้คัดแปลงเนื้อหา และต้องอ้างอิงถึงเจ้าของเอกสารทุกครั้งที่มีการนำไปใช้

เล็กมีแนวโน้มให้ ความแข็งแรงดึง ความแข็งแรงโค้งงอ มอดุลัสแรงดึง มอดุลัสโค้งงอ ร้อยละ การดึงยืด ณ จุดคราก และความแข็งแรงกด มากกว่าซีลี้อยที่มีขนาดใหญ่ แต่เมื่อพิจารณาความ แข็งแรงกระแทกพบว่าปริมาณและขนาดของซีลี้อยไม่ส่งผลต่อความแข็งแรงกระแทกของวัสดุ คอม โพลีต และเมื่อพิจารณาจากสูตรผสมทั้งหมดของวัสดุคอม โพลีตระหว่างพอลิพรอพิลีนและ ซีลี้อย พบว่าวัสดุคอม โพลีตที่มีซีลี้อยขนาดมากกว่าหรือเท่ากับ 100 เมช โดยเลือกปริมาณซีลี้อย ร้อยละ 30 โดยน้ำหนัก เพื่อทำการศึกษาคือเนื่องจากการผสมรวมถึงการขึ้นรูปง่ายกว่าปริมาณ ซีลี้อยร้อยละ 45 โดยน้ำหนัก ให้สมบัติเชิงกลโดยรวมดี และนอกจากนี้การใช้ปริมาณซีลี้อยร้อยละ 30 โดยน้ำหนัก เป็นการนำซีลี้อยมาประยุกต์ให้เกิดประโยชน์กับงานพลาสติก และเพิ่มมูลค่าเชิง พาณิชย์ให้กับซีลี้อยได้มาก

4.5.2 ผลของปริมาณสารช่วยผสมมาลิกแอนไฮดรยด์กราฟพอลิพรอพิลีน

เนื่องจากข้อจำกัดของความเข้ากันได้ระหว่างพอลิเมอร์เมทริกซ์ คือ พอลิพรอพิลีนกับ ซีลี้อย ซึ่งส่งผลให้สมบัติความแข็งแรงดึงที่ได้ไม่ดึนนัก ในงานวิจัยนี้ได้มีการนำสารช่วยผสม มาลิกแอนไฮดรยด์กราฟ พอลิพรอพิลีนมาใช้ในการยึคเกาะระหว่างซีลี้อยกับพอลิพรอพิ- ลีนพร้อมทั้งปรับลดข้อจำกัดดังกล่าวข้างต้นลง และหาปริมาณสารช่วยผสมมาลิกแอนไฮดรยด์ กราฟพอลิพรอพิลีนในปริมาณที่เหมาะสมเพื่อให้ได้สมบัติเชิงกลที่ดีที่สุดในวัสดุคอม โพลีตพอลิ พรอพิลีนที่ใช้ปริมาณซีลี้อยร้อยละ 30 โดยน้ำหนัก

4.5.2.1 สมบัติทางแรงดึง

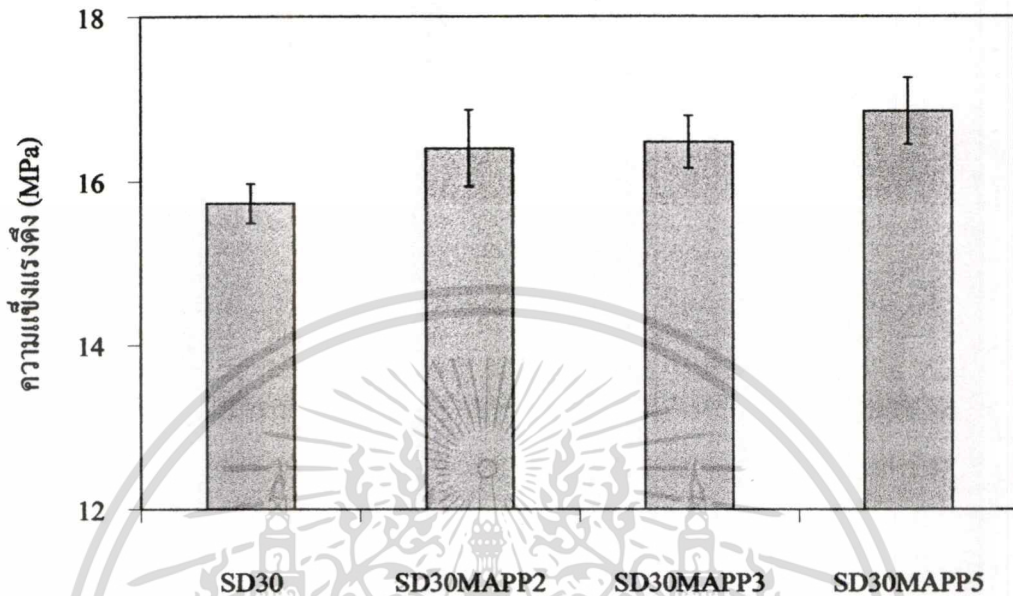
จากรูปที่ 4.19 -21 แสดงความแข็งแรงดึง ร้อยละการดึงยืด ณ จุดคราก และมอดุลัสแรงดึง ตามลำดับของวัสดุคอม โพลีตระหว่างพอลิพรอพิลีนกับซีลี้อยขนาดมากกว่าหรือเท่ากับ 100 เมช อัตราส่วนร้อยละ 30 โดยน้ำหนัก และปรับปรุงการยึคเกาะระหว่างสองวัฏภาคด้วยการเติมสารช่วย ผสมมาลิกแอนไฮดรยด์กราฟพอลิพรอพิลีน (MAPP) ในปริมาณต่าง ๆ โดยน้ำหนักซีลี้อย พบว่าวัสดุคอม โพลีตที่เติมสารช่วยผสมมาลิกแอนไฮดรยด์กราฟพอลิพรอพิลีน มีแนวโน้ม สมบัติทางแรง ดึงเพิ่มมากขึ้นกว่าวัสดุคอม โพลีตที่ไม่เติมสารช่วยผสมมาลิกแอนไฮดรยด์กราฟ พอลิพรอพิลีนเล็กน้อย เนื่องจากมาลิกแอนไฮดรยด์กราฟพอลิพรอพิลีนปลายข้างหนึ่งไม่มีขั้ว สามารถเกิดการเกี่ยวพันเชิงกลกับพอลิพรอพิลีนเมทริกซ์ ส่วนปลายอีกข้างหนึ่งมีขั้วจะเกิดพันธะ เคมีกับหมู่ฟังก์ชันของเซตลู โดสบนพื้นของซีลี้อย

และเมื่อเพิ่มปริมาณมาลิกแอนไฮดรยด์กราฟพอลิพรอพิลีนมากขึ้นพบว่าสมบัติทางแรง ดึงมีแนวโน้มสูงขึ้น ซึ่งผลจากลักษณะฐานวิทยาพบว่าวัสดุคอม โพลีตที่เติมสารช่วยผสมมาลิกแอน ไฮดรยด์ กราฟพอลิพรอพิลีนมีแนวโน้มกระจายตัวดีกว่าวัสดุคอม โพลีตที่ไม่ใช้สารช่วยผสม ดังนั้นการใช้สารช่วยผสมมาลิกแอนไฮดรยด์กราฟพอลิพรอพิลีนจึงส่งผลให้สมบัติทางแรงดึงมี

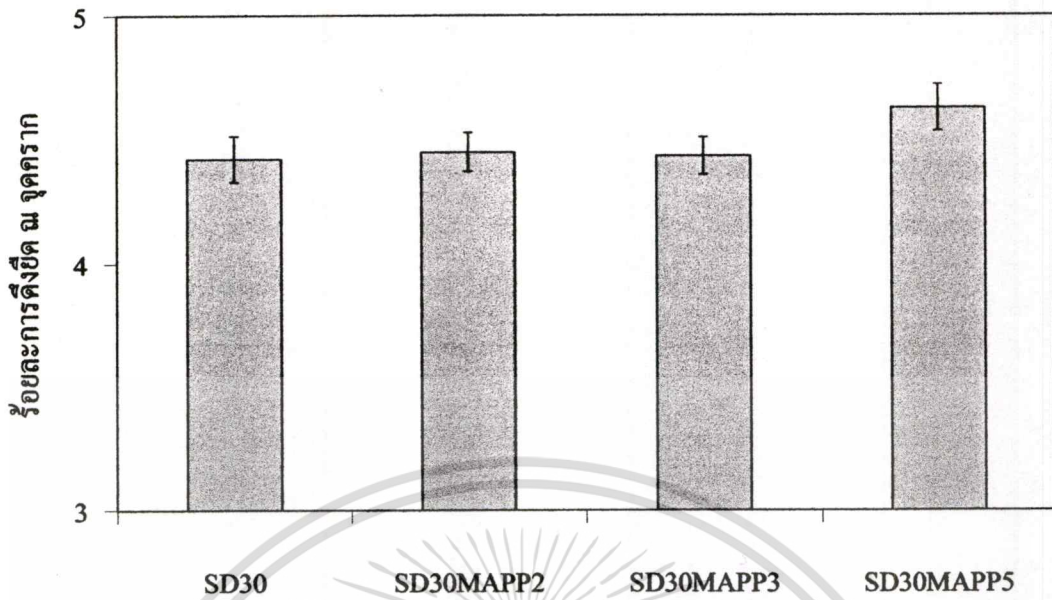
เอกสารแนบโน้มนำขึ้น เนื่องจากมาลิกแอนไฮดรยด์กราฟพอลิพรอพิลีนที่มากขึ้นส่งผลให้เพิ่มพื้นที่การ

ไม่ว่ากรณีใดๆทั้งสิ้น อีกทั้งห้ามมิให้ตัดแปลงเนื้อหา และต้องอ้างอิงถึงเจ้าของเอกสารทุกครั้งที่มีการนำไปใช้

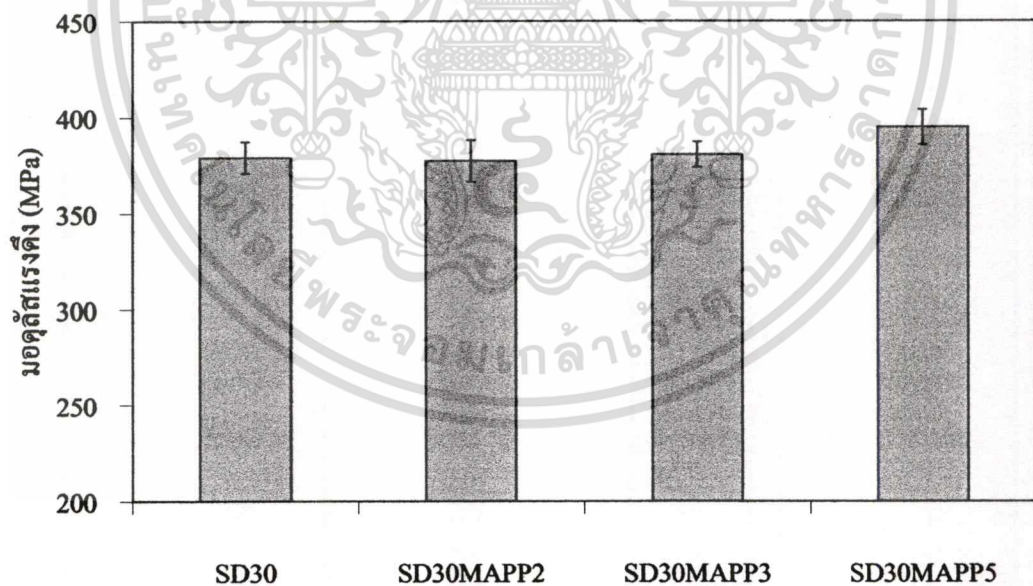
แนวโน้มดีขึ้น เนื่องจากมาลิกแอนไฮดรยด์กราฟฟอติพอสฟอรัสที่มากขึ้นส่งผลให้เพิ่มพื้นที่การเกิดพันธะกับหมู่ฟังก์ชันของเซลลูโลสบนพื้นของจีเลียวส่งผลให้การยึดเกาะที่พื้นผิวของจีเลียวและพอลิพอสฟอรัสให้มากขึ้น



รูปที่ 4.19 ความแข็งแรงดึงของพอลิพอสฟอรัส โดยมีจีเลียวจากไม้เต็งนอกเป็นสารตัวเติมในปริมาณร้อยละ 30 โดยน้ำหนัก และเติมสารช่วยผสมมาลิกแอนไฮดรยด์กราฟฟอติพอสฟอรัสในปริมาณต่าง ๆ



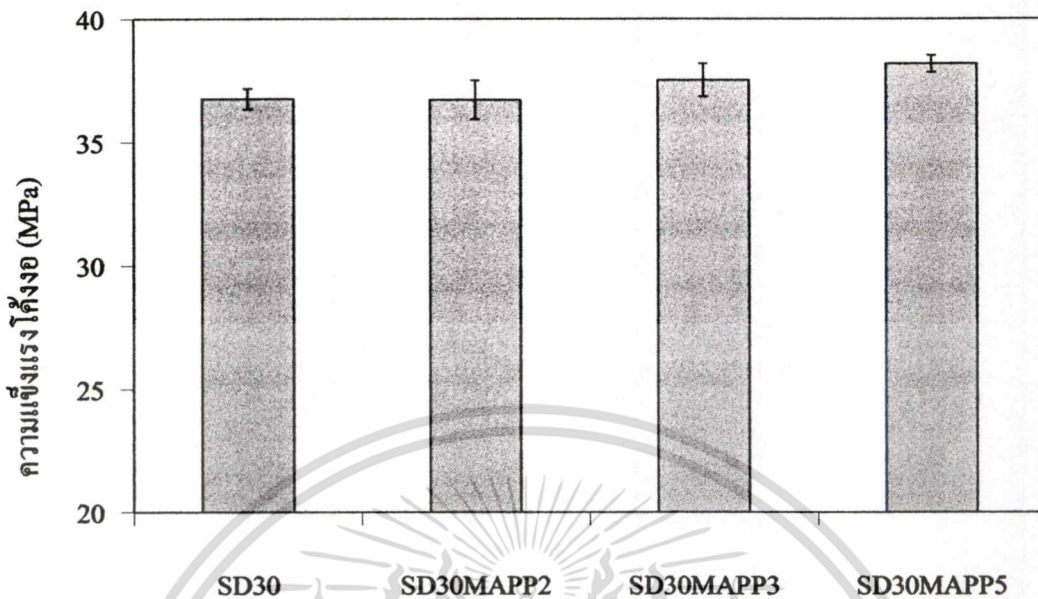
รูปที่ 4.20 ร้อยละการดึงยึด ณ จุดครากของพอลิพรอพิลีน โดยมีซีเลื่อยจากไม้เต็งนอกเป็นสารตัวเติมในปริมาณร้อยละ 30 โดยน้ำหนัก และเติมสารช่วยผสมมาลิกแอนไฮดรยด์กราฟพอลิพรอพิลีนในปริมาณต่าง ๆ



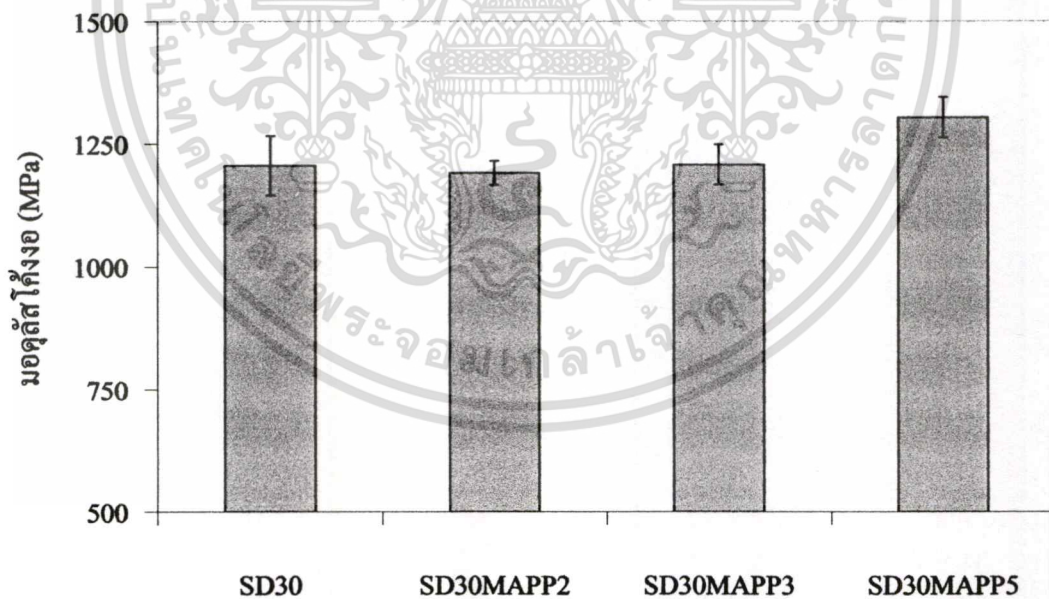
รูปที่ 4.21 มอดูลัสแรงดึงของพอลิพรอพิลีน โดยมีซีเลื่อยจากไม้เต็งนอกเป็นสารตัวเติมในปริมาณร้อยละ 30 โดยน้ำหนักและเติมสารช่วยผสมมาลิกแอนไฮดรยด์กราฟพอลิพรอพิลีนในปริมาณต่าง ๆ

เอกสารนี้เป็นเอกสารที่สงวนไว้สำหรับการใช้งานเพื่อการศึกษาเท่านั้น ไม่อนุญาตให้拿去ไปใช้ประโยชน์ด้านการค้า
ไม่ว่ากรณีใดๆทั้งสิ้น อีกทั้งห้ามมิให้คัดแปลงเนื้อหา และต้องอ้างอิงถึงเจ้าของเอกสารทุกครั้งที่มีการนำไปใช้

4.5.2.2 สมบัติทางแรงโค้งงอ



รูปที่ 4.22 ความแข็งแรงโค้งงอของพอลิพรอพิลีน โดยมีซีเมนต์จากไม้เต็งนอกเป็นสารตัวเติมในปริมาณร้อยละ 30 โดยน้ำหนัก และเติมสารช่วยผสมมาลิกแอนไฮดรยด์กราฟพอลิพรอพิลีนในปริมาณต่าง ๆ

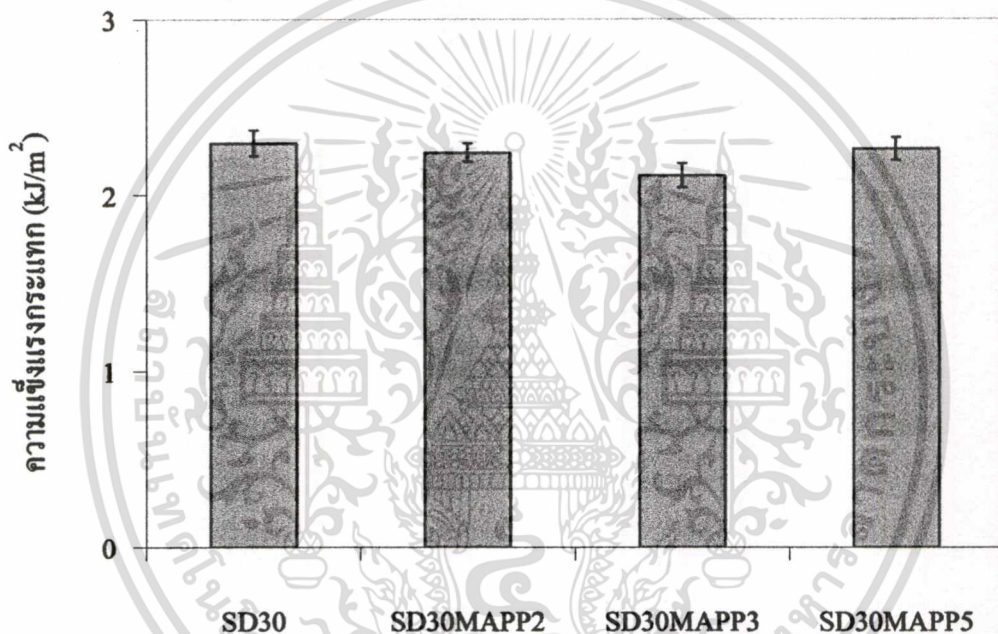


รูปที่ 4.23 มอดุลัสโค้งงอของพอลิพรอพิลีน โดยมีซีเมนต์จากไม้เต็งนอกเป็นสารตัวเติมในปริมาณร้อยละ 30 โดยน้ำหนักและเติมสารช่วยผสมมาลิกแอนไฮดรยด์กราฟพอลิพรอพิลีนในปริมาณต่าง ๆ

เอกสารนี้เป็นเอกสารที่สงวนไว้สำหรับการใช้งานเพื่อการศึกษาเท่านั้น ไม่อนุญาตให้นำไปใช้ประโยชน์ด้านการค้า ไม่ว่าจะกรณีใดๆทั้งสิ้น อีกทั้งห้ามมิให้ดัดแปลงเนื้อหา และต้องอ้างอิงถึงเจ้าของเอกสารทุกครั้งที่มีการนำไปใช้

จากรูปที่ 4.22 และ 4.23 แสดงความแข็งแรงโค้งงอ และมอดุลัสโค้งงอ ตามลำดับของวัสดุคอมโพสิตระหว่างพอลิพรอพิลีนกับซีลื้อยขนาดมากกว่าหรือเท่ากับ 100 เมช อัตราส่วนร้อยละ 30 โดยน้ำหนัก และปรับปรุงการยึดเกาะระหว่างสองวัสดุด้วยการเติมสารช่วยผสมมาลิกแอนไฮดรยด์ กราฟพอลิพรอพิลีนในปริมาณต่าง ๆ โดยน้ำหนักซีลื้อย พบว่าวัสดุคอมโพสิตที่เติมสารช่วยผสม มาลิกแอนไฮดรยด์กราฟพอลิพรอพิลีนมีแนวโน้มสมบัติทางแรงโค้งงอเพิ่มมากขึ้นกว่าวัสดุคอมโพสิตที่ไม่เติมสารช่วยผสมมาลิกแอนไฮดรยด์กราฟพอลิพรอพิลีน ซึ่งสามารถอธิบายได้เช่นเดียวกับหัวข้อ 4.5.2.1

4.5.2.3 ความแข็งแรงกระแทก



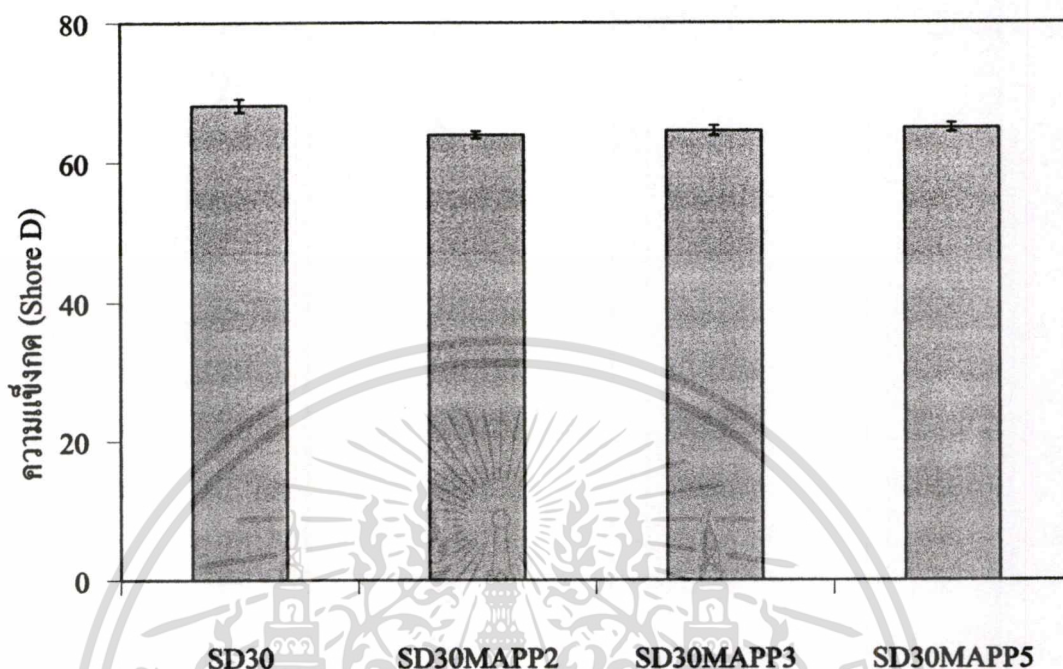
รูปที่ 4.24 ความแข็งแรงกระแทกของพอลิพรอพิลีน โดยมีซีลื้อยจากไม้เต็งนอกเป็นสารตัวเติมในปริมาณร้อยละ 30 โดยน้ำหนัก และเติมสารช่วยผสมมาลิกแอนไฮดรยด์กราฟพอลิพรอพิลีนในปริมาณต่าง ๆ

จากรูปที่ 4.24 แสดงความแข็งแรงกระแทกของวัสดุคอมโพสิตระหว่างพอลิพรอพิลีนกับซีลื้อยขนาดมากกว่าหรือเท่ากับ 100 เมช อัตราส่วนร้อยละ 30 โดยน้ำหนัก พบว่าความแข็งแรงกระแทกของวัสดุคอมโพสิตระหว่างพอลิพรอพิลีนและซีลื้อยมีแนวโน้มไม่เปลี่ยนแปลง เนื่องจากซีลื้อยเป็นวัสดุที่สามารถรับและกระจายแรงให้กับพอลิพรอพิลีนเมทริกซ์ได้ และเมื่อพิจารณาถึงผลของสารช่วยผสมมาลิกแอนไฮดรยด์กราฟพอลิพรอพิลีน โดยพบว่าไม่มีแนวโน้มไม่เปลี่ยนแปลงความแข็งแรงกระแทกของวัสดุคอมโพสิตมากนัก แสดงว่าสารช่วยผสมมาลิกแอนไฮดรยด์กราฟพอลิพรอพิลีน ไม่มีผลต่อค่าความแข็งแรงกระแทก

เอกสารนี้เป็นเอกสารที่สงวนไว้สำหรับการใช้งานเพื่อการศึกษเท่านั้น ไม่อนุญาตให้นำไปใช้ประโยชน์ด้านการค้า

ไม่ว่ากรณีใดๆทั้งสิ้น อีกทั้งห้ามมิให้คัดแปลงเนื้อหา และต้องอ้างอิงถึงเจ้าของเอกสารทุกครั้งที่มีการนำไปใช้

4.5.2.4 ความแข็งกด



รูปที่ 4.25 ความแข็งกดของพอลิพรอพิลีน โดยมีซีลื้อยจาก ไม้เต็งนอกเป็นสารตัวเติมในปริมาณร้อยละ 30 โดยน้ำหนัก และเติมสารช่วยผสมมาลิกแอนไฮดรายด์กราฟพอลิพรอพิลีนในปริมาณต่าง ๆ

จากรูปที่ 4.25 แสดงความแข็งกดของวัสดุคอมโพสิตระหว่างพอลิพรอพิลีนกับซีลื้อยขนาดมากกว่าหรือเท่ากับ 100 เมช อัตราส่วนร้อยละ 30 โดยน้ำหนัก พบว่าเมื่อเติมสารช่วยผสมมาลิกแอนไฮดรายด์กราฟพอลิพรอพิลีน พบว่าวัสดุคอมโพสิตมีความแข็งกดลดลงเล็กน้อย และเมื่อพิจารณาปริมาณของสารช่วยผสมมาลิกแอนไฮดรายด์กราฟพอลิพรอพิลีนพบว่าไม่เปลี่ยนแปลงมากนัก ดังนั้นการเพิ่มปริมาณสารช่วยผสมไม่ส่งผลต่อค่าความแข็งกด

จากการศึกษาผลของสารช่วยผสมมาลิกแอนไฮดรายด์กราฟพอลิพรอพิลีนต่อสมบัติเชิงกลของวัสดุคอมโพสิตระหว่างพอลิพรอพิลีนกับซีลื้อยขนาดมากกว่าหรือเท่ากับ 100 เมช ปริมาณซีลื้อยร้อยละ 30 โดยน้ำหนัก พบว่ามาลิกแอนไฮดรายด์กราฟพอลิพรอพิลีนช่วยให้สมบัติเชิงกลโดยรวมมีแนวโน้มดีขึ้น คือ ความแข็งแรงดึง ร้อยละการดึงยึด ณ จุดคราก มอดูลัสแรงดึง ความแข็งแรงโค้งงอ มอดูลัสโค้งงอ แต่ความแข็งกดมีแนวโน้มลดลง และความแข็งแรงกระแทกไม่เปลี่ยนแปลง เนื่องจากฐานฐานวิทยาแสดงให้เห็นว่ามาลิกแอนไฮดรายด์กราฟพอลิพรอพิลีนส่งผลต่อการกระจายตัวของซีลื้อยในพอลิพรอพิลีนเมทริกซ์ได้ดี และเมื่อศึกษาถึงปริมาณที่

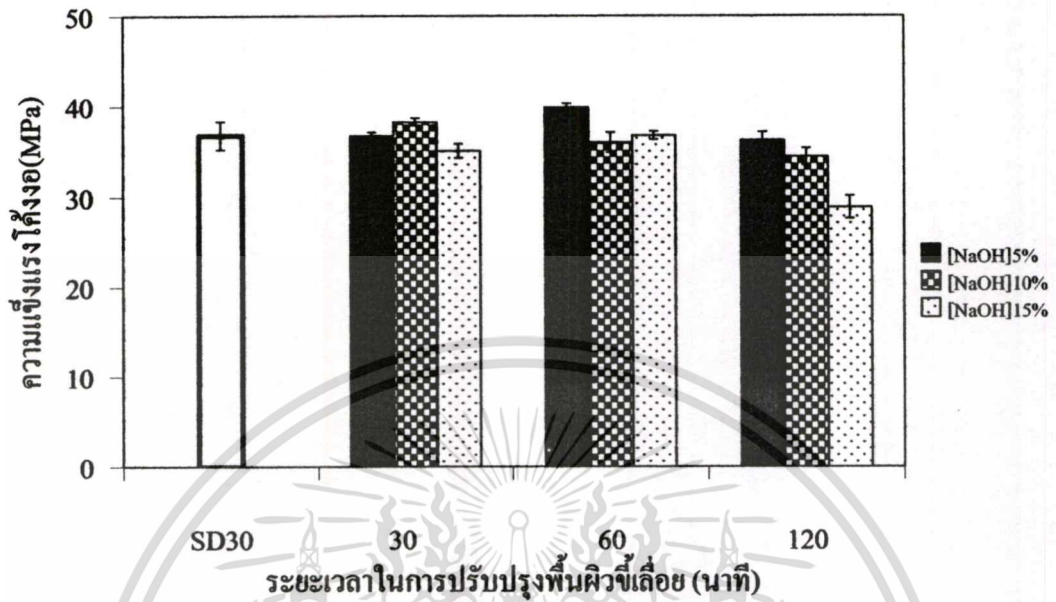
เหมาะสมของสารช่วยผสมมาลิกแอนไฮดรอกซ์กราฟฟอลิพรอพิลีนเพื่อให้ได้สมบัติเชิงกลที่ดีที่สุด พบว่าที่ปริมาณร้อยละ 5 โดยน้ำหนักซีลือมีแนวโน้มสมบัติเชิงกลโดยรวมดี

4.5.3 ผลของโซเดียมไฮดรอกไซด์

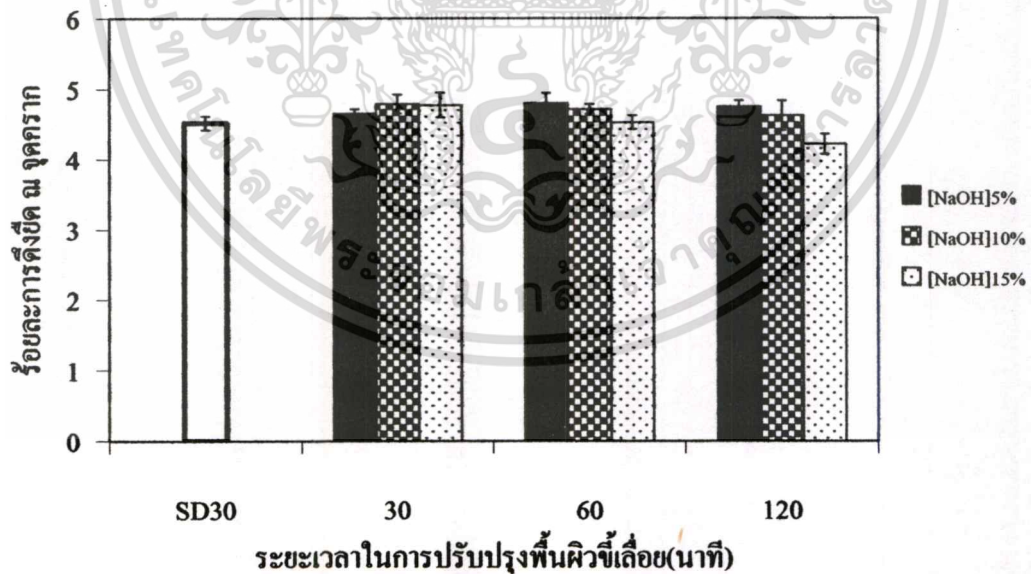
การปรับปรุงพื้นผิวด้วยโซเดียมไฮดรอกไซด์ที่ความเข้มข้นต่าง ๆ กันนั้นเป็นการสกัดลิกนินบริเวณพื้นผิวซึ่งเป็นองค์ประกอบหนึ่งในไม้ออกจากซีลือ [11-12, 28] ทำให้พื้นผิวซีลือมีความขรุขระ (Roughness) ส่งผลให้พอลิเมอร์เมทริกซ์สามารถแทรกเข้าไปในบริเวณพื้นผิวที่ขรุขระ และช่องว่างอื่น ๆ ในขณะที่หลอมเหลวระหว่างทำการผสม และเมื่อเย็นตัวพอลิเมอร์เมทริกซ์เกิดการแข็งตัว เป็นสาเหตุให้พอลิเมอร์เมทริกซ์ถูกล็อกแข็งติดอยู่กับพื้นผิวของเส้นใย เรียกว่า การยึดเกาะเชิงกล (Mechanical Interlocking) ซึ่งความแข็งแรงของการยึดเกาะชนิดนี้ขึ้นอยู่กับความขรุขระของพื้นผิวเส้นใยที่ทำให้เกิดการแทรกตัวของพอลิเมอร์เมทริกซ์ รวมทั้งขึ้นอยู่กับปัจจัยอื่น ๆ ที่มีผลต่อความสามารถของพอลิเมอร์เมทริกซ์ในการเปียกและแทรกตัวบริเวณพื้นผิวที่ขรุขระของเส้นใย

ในงานวิจัยนี้ได้ทำการศึกษาเชิงเปรียบเทียบถึงการปรับปรุงและไม่ปรับปรุงพื้นผิวของซีลือด้วยโซเดียมไฮดรอกไซด์ที่มีต่อสมบัติเชิงกลต่าง ๆ โดยนำซีลือขนาดมากกว่าหรือเท่ากับ 100 เมช ปริมาณร้อยละ 30 มาปรับปรุงพื้นผิวด้วยสารละลายโซเดียมไฮดรอกไซด์ที่ความเข้มข้นร้อยละ 5 10 และ 15 โดยน้ำหนักต่อปริมาตร เป็นเวลา 30 60 และ 120 นาที ตามลำดับที่อุณหภูมิห้องเพื่อหาความเข้มข้นและระยะเวลาที่เหมาะสม

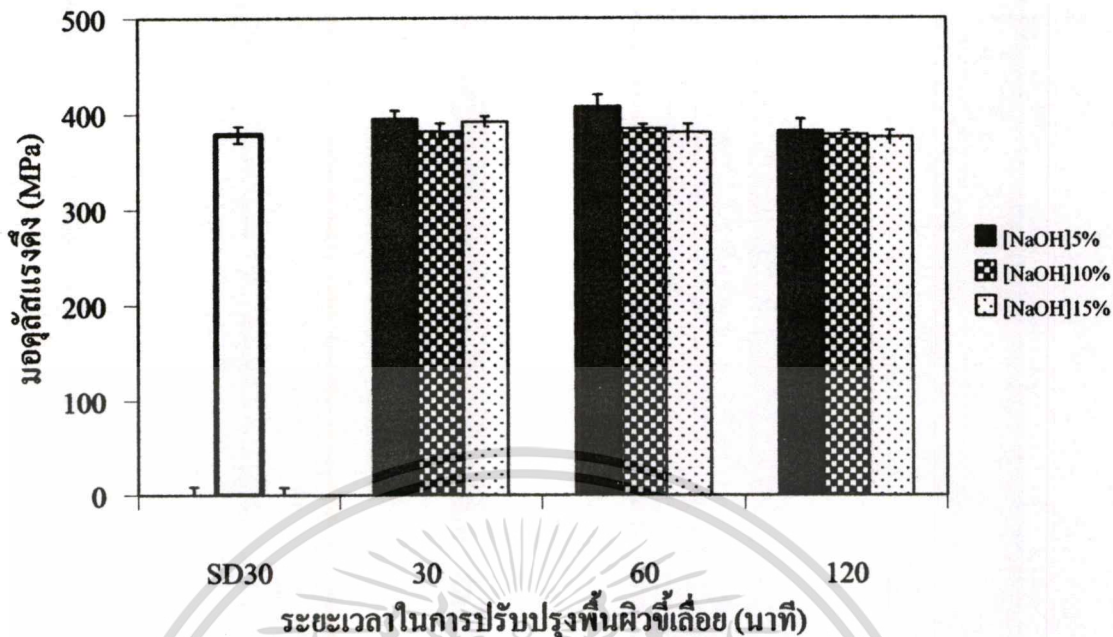
4.5.3.1 สมบัติทางแรงดึง



รูปที่ 4.26 ความแข็งแรงดึงของพอลิพรอพิลีน โคโยมีซีเลื้อยจากไม้เต็งนอกเป็นสารตัวเติมในปริมาณร้อยละ 30 โดยน้ำหนัก ที่ความเข้มข้นและเวลาในการปรับปรุงพื้นผิวซีเลื้อยด้วยโซเดียมไฮดรอกไซด์ที่ต่างกัน



รูปที่ 4.27 ร้อยละการดึงยืด ณ จุดครากของพอลิพรอพิลีน โคโยมีซีเลื้อยจากไม้เต็งนอกเป็นสารตัวเติมในปริมาณร้อยละ 30 โดยน้ำหนัก ที่ความเข้มข้นและเวลาในการปรับปรุงพื้นผิวซีเลื้อยด้วยโซเดียมไฮดรอกไซด์ที่ต่างกัน



รูปที่ 4.28 มอดูลัสแรงดึงของพอลิพรอพิลีน โดยมีซีเมนต์จากไม้เต็งนอกเป็นสารตัวเติมในปริมาณร้อยละ 30 โดยน้ำหนัก ที่ความเข้มข้นและเวลาในการปรับปรุงพื้นผิวซีเมนต์ด้วยโซเดียมไฮดรอกไซด์ที่ต่างกัน

จากรูปที่ 4.26-4.28 แสดงถึงความแข็งแรงดึง ร้อยละการดึงยึด ณ จุดคราก และมอดูลัสแรงดึงของพอลิพรอพิลีนที่มีซีเมนต์จากไม้เต็งนอกที่ผ่านการปรับปรุงพื้นผิวด้วยโซเดียมไฮดรอกไซด์มาเป็นสารตัวเติมในอัตราส่วนร้อยละ 30 โดยน้ำหนัก พบว่าวัสดุคอมโพสิตที่ซีเมนต์ได้รับการปรับปรุงพื้นผิวด้วยโซเดียมไฮดรอกไซด์ความเข้มข้นร้อยละ 5 โดยน้ำหนักต่อปริมาตร เป็นเวลา 30 60 และ 120 นาที มีสมบัติทางแรงดึงมากกว่าวัสดุคอมโพสิตที่ซีเมนต์ไม่ได้รับการปรับปรุงพื้นผิวด้วยโซเดียมไฮดรอกไซด์ แต่พบว่าเมื่อเพิ่มความเข้มข้นโซเดียมไฮดรอกไซด์และระยะเวลาในการปรับปรุงพื้นผิว ซีเมนต์มีแนวโน้มสมบัติทางแรงดึงของวัสดุคอมโพสิตมีค่าลดลงทั้งนี้จากฐานวิชาแสดงให้เห็นว่าเมื่อเพิ่มความเข้มข้นโซเดียมไฮดรอกไซด์และระยะเวลาในการปรับปรุงพื้นผิวมากขึ้น ซีเมนต์มีแนวโน้มการกระจายตัวของซีเมนต์ไม่ดีในเมทริกซ์ เนื่องจากการปรับปรุงพื้นผิวเป็นการสกัดลิกนินที่เป็นองค์ประกอบส่วนสำคัญที่ทำหน้าที่ยึดเซลล์ลูโลสและเฮมิเซลล์ลูโลสเข้าไว้ด้วยกันออกส่งผลให้เกิดพันธะไฮโดรเจนของหมู่ไฮดรอกซิลระหว่างซีเมนต์ด้วยกันได้ง่ายขึ้น ทำให้เกิดการกระจายตัวของซีเมนต์ในพอลิเมอร์เมทริกซ์ไม่ดี โดยที่โซเดียมไฮดรอกไซด์ความเข้มข้นร้อยละ 5 โดยน้ำหนัก ระยะเวลา 1 ชั่วโมงที่ทำการศึกษาให้สมบัติทางแรงดึงมากกว่าความเข้มข้น และระยะเวลาการปรับปรุงพื้นผิวอื่น ๆ ซึ่งเพราะเป็นความเข้มข้นและ

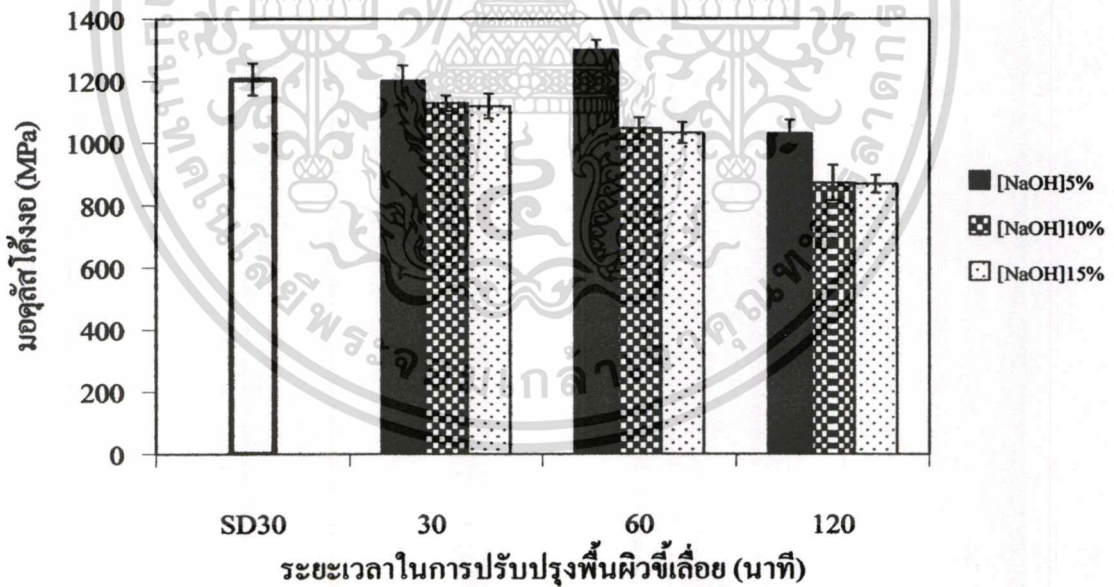
ระยะเวลาที่ทำให้เกิดความขรุขระของพื้นผิวขี้เลื่อยที่เหมาะสมทำให้เกิดความแข็งแรงดิ่งสูงกว่าความเข้มข้น และระยะเวลาอื่น ๆ

4.5.3.2 ความแข็งแรงโค้งงอ

จากรูปที่ 4.29-4.30 แสดงถึงความแข็งแรงโค้งงอ และมอดุลัสโค้งงอของวัสดุคอมโพสิตระหว่างพอลิพรอพิลีนและขี้เลื่อยที่ผ่านการปรับปรุงพื้นผิวด้วยโซเดียมไฮดรอกไซด์ที่ความเข้มข้นและระยะเวลาที่ต่างกัน พบว่าวัสดุคอมโพสิตที่ขี้เลื่อยได้รับการปรับปรุงพื้นผิวด้วยโซเดียมไฮดรอกไซด์เข้มข้นร้อยละ 5 โดยน้ำหนัก เป็นเวลา 60 นาที มีสมบัติทางแรงโค้งงอมากกว่าวัสดุคอมโพสิตที่ขี้เลื่อยไม่ได้รับการปรับปรุงพื้นผิวด้วยโซเดียมไฮดรอกไซด์ แต่พบว่าเมื่อเพิ่มความเข้มข้นสารละลายโซเดียมไฮดรอกไซด์ และระยะเวลาในการปรับปรุงพื้นผิวมากขึ้นส่งผลถึงแนวโน้มสมบัติแรงโค้งงอให้มีค่าลดลง โดยที่ความเข้มข้นร้อยละ 15 โดยน้ำหนักในระยะเวลา 30 60 และ 120 นาที ที่ทำการศึกษาพบว่ามีค่าต่ำกว่าความแข็งแรงโค้งงอของวัสดุคอมโพสิตที่ไม่ได้ทำการปรับปรุงพื้นผิวขี้เลื่อย และเมื่อเพิ่มความเข้มข้นโซเดียมไฮดรอกไซด์มากขึ้นพบว่าขี้เลื่อยมีแนวโน้มรวมตัวกันเป็นกลุ่มก้อนมากกว่าขี้เลื่อยที่ไม่ผ่านการปรับปรุงพื้นผิว เนื่องจากการปรับปรุงพื้นผิวเป็นการสกัดลิกนินที่เป็นองค์ประกอบหนึ่งออก ส่งผลให้เกิดพันธะไฮโดรเจนของหมู่ไฮดรอกซิลระหว่างขี้เลื่อยด้วยกัน ได้ง่ายขึ้นทำให้เกิดการกระจายตัวของขี้เลื่อยในพอลิเมอร์เมทริกซ์ไม่ดีทำให้สมบัติทางแรงโค้งงอลดลงเกิดการเสียสภาพได้ง่ายขึ้น และพบว่าที่ความเข้มข้นโซเดียมไฮดรอกไซด์ร้อยละ 5 โดยน้ำหนักมีความแข็งแรงโค้งงอมากกว่าความเข้มข้นอื่น



รูปที่ 4.29 ความแข็งแรงโค้งงอของพอลิพรอพิลีน โดยมีซีเมนต์จากไม้เต็งนอกเป็นสารตัวเติมในปริมาณร้อยละ 30 โดยน้ำหนัก ที่ความเข้มข้นและเวลาในการปรับปรุงพื้นผิวซีเมนต์ด้วยโซเดียมไฮดรอกไซด์ที่ต่างกัน

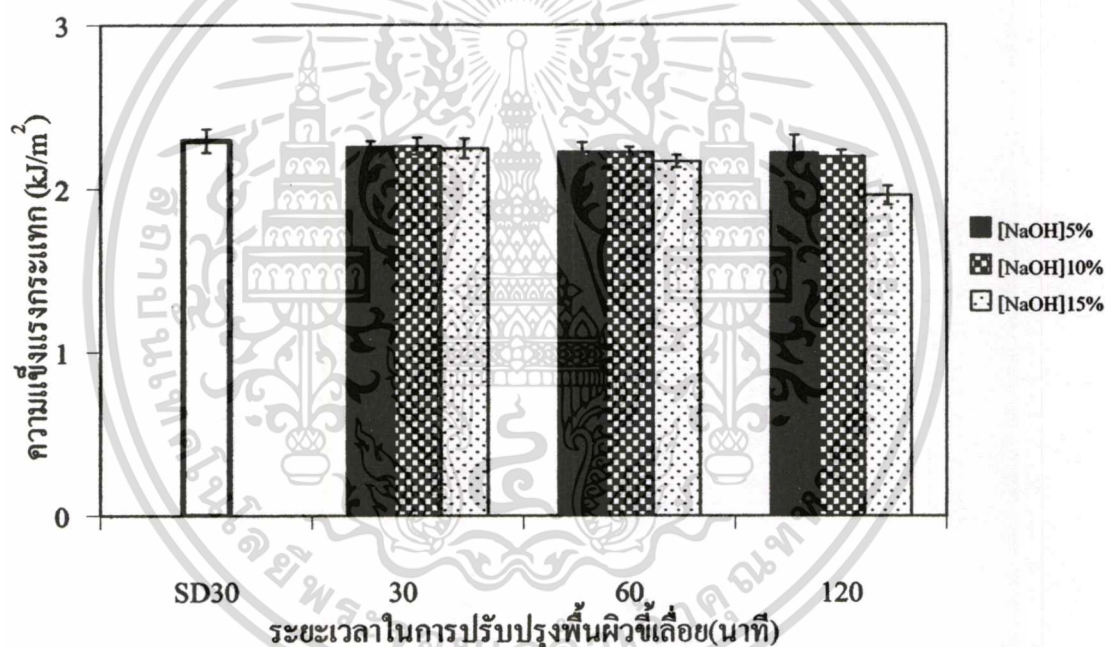


รูปที่ 4.30 โมดูลัสโค้งงอของพอลิพรอพิลีน โดยมีซีเมนต์จากไม้เต็งนอกเป็นสารตัวเติมในปริมาณร้อยละ 30 โดยน้ำหนัก ที่ความเข้มข้นและเวลาในการปรับปรุงพื้นผิวซีเมนต์ด้วยโซเดียมไฮดรอกไซด์ที่ต่างกัน

เอกสารนี้เป็นเอกสารที่สงวนไว้สำหรับการใช้งานเพื่อการศึกษาเท่านั้น ไม่อนุญาตให้นำไปใช้ประโยชน์ด้านการค้า
ไม่ว่ากรณีใดๆทั้งสิ้น อีกทั้งห้ามมิให้ตัดแปลงเนื้อหา และต้องอ้างอิงถึงเจ้าของเอกสารทุกครั้งที่มีการนำไปใช้

4.5.3.3 ความแข็งแรงกระแทก

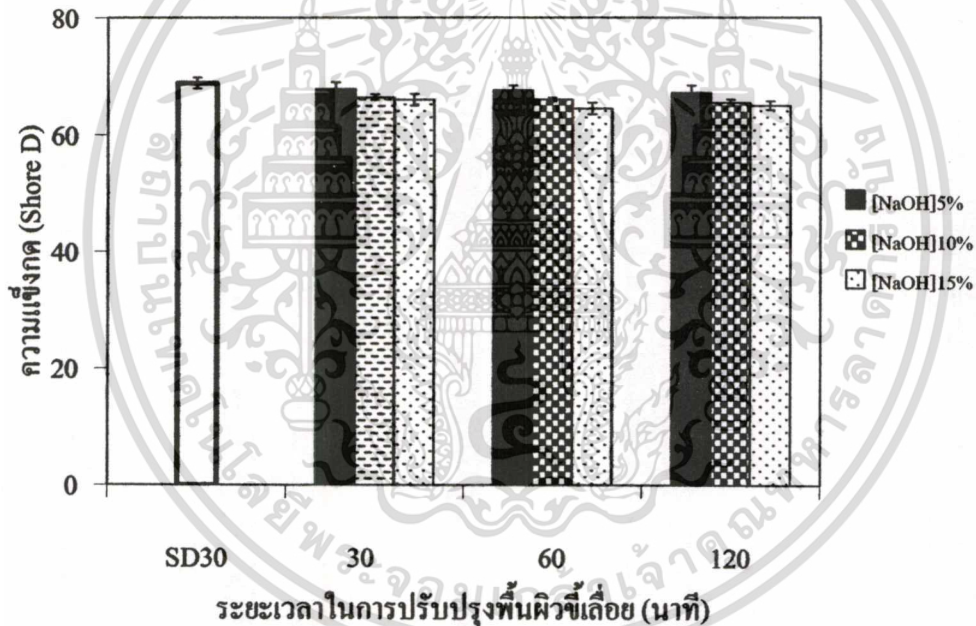
จากรูปที่ 4.31 แสดงถึงความแข็งแรงกระแทกของวัสดุคอมโพสิตระหว่างพอลิพรอพิลีน และ ชีลื้อยที่ผ่านการปรับปรุงพื้นผิวด้วยโซเดียมไฮดรอกไซด์ที่ความเข้มข้น และระยะเวลาที่ต่างกัน พบว่าในทุกความเข้มข้นของโซเดียมไฮดรอกไซด์ และทุกระยะเวลาที่ทำกรปรับปรุงพื้นผิวมีค่าความแข็งแรงกระแทกน้อยกว่าวัสดุคอมโพสิตระหว่างพอลิพรอพิลีนและชีลื้อยที่ไม่ผ่านการปรับปรุงพื้นผิวด้วยโซเดียมไฮดรอกไซด์ นอกจากนี้พบว่าที่เมื่อเพิ่มความเข้มข้น และระยะเวลาในการปรับปรุงพื้นผิวความแข็งแรงกระแทกมีแนวโน้มลดลงเล็กน้อย โดยที่ระยะเวลาในการปรับปรุงพื้นผิว 30 60 และ 120 นาที ความแข็งแรงกระแทกมีแนวโน้มไม่เปลี่ยนแปลง แสดงว่าการปรับปรุงพื้นผิวของชีลื้อยออกไปทำให้พื้นผิวขรุขระ หรือช่องว่างที่บริเวณพื้นผิวชีลื้อยไม่ส่งผลต่อความแข็งแรงกระแทก



รูปที่ 4.31 ความแข็งแรงกระแทกของพอลิพรอพิลีน โดยมีชีลื้อยจากไม้เต็งนอกเป็นสารตัวเติมในปริมาณ ร้อยละ 30 โดยน้ำหนัก ที่ความเข้มข้นและระยะเวลาในการปรับปรุงพื้นผิวชีลื้อยด้วยโซเดียมไฮดรอกไซด์ที่ต่างกัน

4.5.3.4 ความแข็งกด

จากรูปที่ 4.32 แสดงถึงความแข็งกดของของวัสดุคอมโพสิตระหว่างพอลิพรอพิลีนและซีลื้อที่ผ่านการปรับปรุงพื้นผิวด้วยโซเดียมไฮดรอกไซด์ที่ความเข้มข้น และระยะเวลาที่ต่างกัน พบว่าในทุกความเข้มข้นของโซเดียมไฮดรอกไซด์ และทุกระยะเวลาที่ทำการปรับปรุงพื้นผิวมีค่าความแข็งกดน้อยกว่าวัสดุคอมโพสิตระหว่างพอลิพรอพิลีนและซีลื้อที่ไม่ผ่านการปรับปรุงพื้นผิวด้วยโซเดียมไฮดรอกไซด์ และเมื่อเพิ่มความเข้มข้น และระยะเวลาในการปรับปรุงพื้นผิวความแข็งกดมีแนวโน้มลดลง เนื่องจากองค์ประกอบที่สำคัญของไม้ที่จำแนกชนิดไม้เนื้อแข็ง และไม้เนื้ออ่อน คือ ปริมาณลิกนินที่มีอยู่ในไม้ชนิดนั้น โดยที่ไม้ที่มีลิกนินมากส่งผลให้มีความแข็งมากตามไปด้วย ซึ่งการปรับปรุงพื้นผิวด้วยโซเดียมไฮดรอกไซด์เป็นการสกัดลิกนินที่แสดงถึงความแข็งของไม้ออกไปทำให้ซีลื้อมีความแข็งลดลงในทุกสูตรที่ทำการปรับปรุงพื้นผิว



รูปที่ 4.32 ความแข็งกดของพอลิพรอพิลีน โดยมีซีลื้อจากไม้เต็งนอกเป็นสารตัวเติมในปริมาณร้อยละ 30 โดยน้ำหนัก ที่ความเข้มข้นและระยะเวลาในการปรับปรุงพื้นผิวซีลื้อด้วยโซเดียมไฮดรอกไซด์ที่ต่างกัน

จากการศึกษาผลของวัสดุคอมโพสิตที่มีการปรับปรุงพื้นผิวซีลื้อด้วยโซเดียมไฮดรอกไซด์พบว่าที่ความเข้มข้นโซเดียมไฮดรอกไซด์ร้อยละ 5 โดยน้ำหนัก เป็นเวลา 60 นาที ให้สมบัติเชิงกลโดยรวมดีกว่าความเข้มข้น และระยะเวลาในการปรับปรุงผิวสภาวะอื่น ๆ ที่ทำการศึกษา อาจเนื่องจากการเป็นที่ความเข้มข้นและระยะเวลาที่ทำให้เกิดความขรุขระของพื้นผิวซีลื้อที่เหมาะสมทำให้เกิดการยึดเกาะเชิงกลระหว่างซีลื้อและพอลิพรอพิลีนที่เกิดลือคอยู่ภายในช่องว่างบริเวณพื้นผิวไม่ว่ากรณีใดๆทั้งสิ้น อีกทั้งห้ามมิให้ดัดแปลงเนื้อหา และต้องอ้างอิงถึงเจ้าของเอกสารทุกครั้งที่มีการนำไปใช้

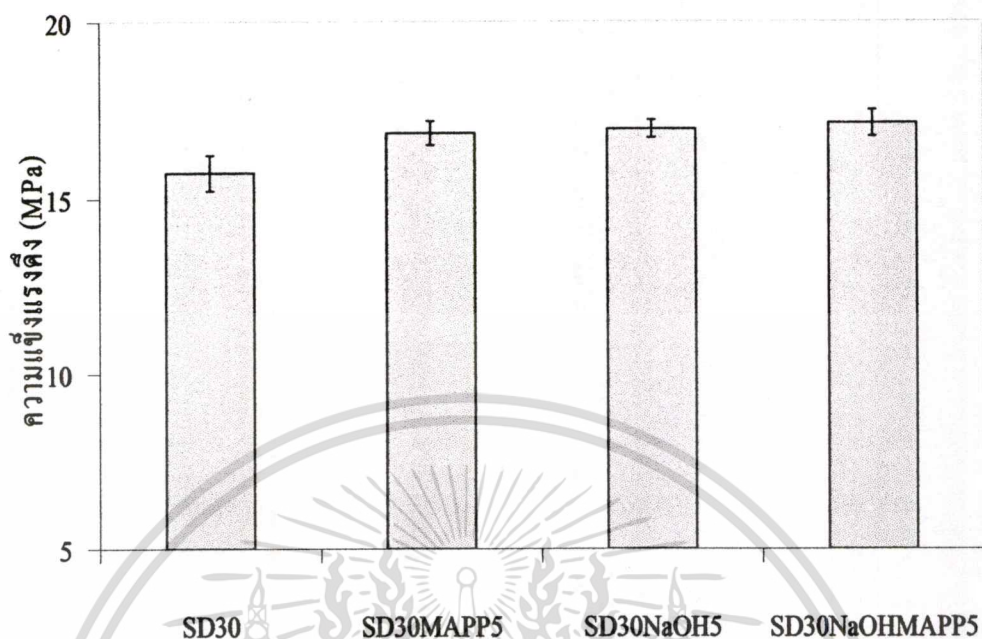
จีเลื้อยที่ขรุขระส่งผลให้วัสดุคอมโพสิตเกิดการเสียหายได้ยากทำให้แนวโน้มสมบัติเชิงกลโดยรวมดี แต่เมื่อเพิ่มความเข้มข้นมากขึ้น หรือเพิ่มระยะเวลาการปรับปรุงพื้นผิวจีเลื้อยด้วยโซเดียมไฮดรอกไซด์มากขึ้นพบว่าสมบัติเชิงกลโดยรวมมีแนวโน้มลดลง เนื่องจากการปรับปรุงพื้นผิวเป็นการสกัดลิกนินที่เป็นองค์ประกอบหนึ่งออก ส่งผลให้เกิดพันธะไฮโดรเจนของหมู่ไฮดรอกซิลระหว่างจีเลื้อยด้วยกันได้ง่ายขึ้นทำให้เกิดการกระจายตัวของจีเลื้อยใน พอลิเมอร์เมทริกซ์ไม่ดีทำให้เกิดการเสียหายได้ง่ายขึ้นสมบัติเชิงกลโดยรวมจึงมีแนวโน้มลดลง

4.5.4 ผลของโซเดียมไฮดรอกไซด์และมาลิกแอนไฮดรารายด์

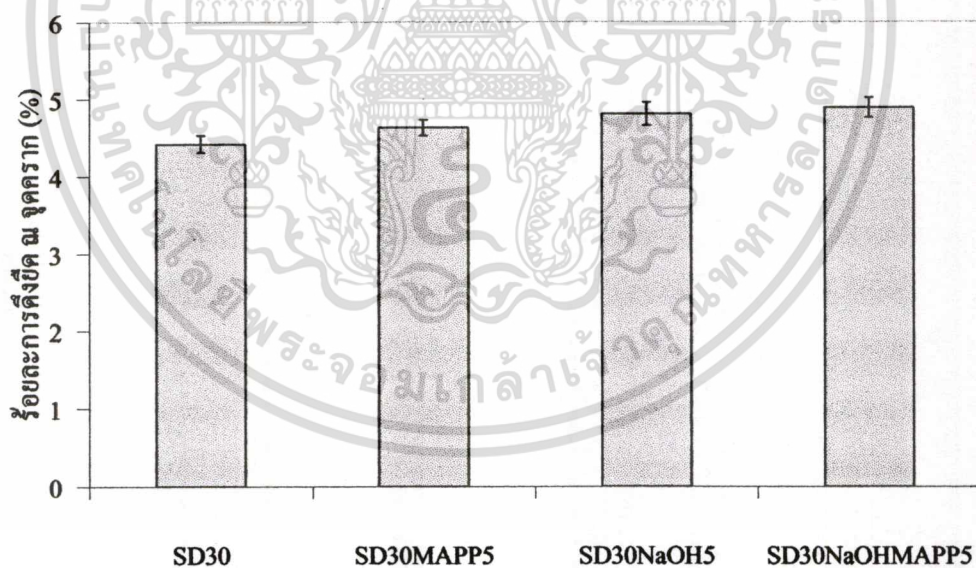
จากผลการทดลองข้างต้นสรุปได้ว่าวัสดุคอมโพสิตระหว่างพอลิพรอพิลีนกับจีเลื้อยขนาดมากกว่าหรือเท่ากับ 100 เมช ที่อัตราส่วนร้อยละ 30 โดยน้ำหนัก โดยจีเลื้อยที่ผ่านการปรับปรุงพื้นผิวด้วยโซเดียมไฮดรอกไซด์เข้มข้นร้อยละ 5 โดยน้ำหนัก เป็นระยะเวลา 60 นาที และวัสดุคอมโพสิตที่เติมสารช่วยผสม มาลิกแอนไฮดรารายด์กราฟพอลิพรอพิลีน ร้อยละ 5 โดยน้ำหนัก จีเลื้อย มีสมบัติเชิงกลโดยรวมดีที่สุด ในงานวิจัยนี้จึงได้มีการศึกษาวัสดุคอมโพสิตถึงผลของโซเดียมไฮดรอกไซด์และมาลิกแอนไฮดรารายด์ที่มีต่อสมบัติเชิงกล

4.5.4.1 สมบัติทางแรงดึง

จากรูปที่ 4.33 แสดงสมบัติทางแรงดึงของวัสดุคอมโพสิตระหว่างพอลิพรอพิลีนกับจีเลื้อยขนาดมากกว่าหรือเท่ากับ 100 เมช ที่อัตราส่วนร้อยละ 30 โดยน้ำหนัก โดยจีเลื้อยที่ผ่านการปรับปรุงพื้นผิวด้วยโซเดียมไฮดรอกไซด์เข้มข้นร้อยละ 5 โดยน้ำหนัก เป็นระยะเวลา 60 นาที และเติมสารช่วยผสม มาลิกแอนไฮดรารายด์กราฟพอลิพรอพิลีน ร้อยละ 5 โดยน้ำหนักจีเลื้อย เมื่อพิจารณาถึงความแข็งแรงดึง ร้อยละการดึงยืด ณ จุดคราก และมอดุลัสแรงดึงพบว่าจีเลื้อยเข้มข้นเล็กน้อยเมื่อเปรียบเทียบกับวัสดุคอมโพสิตที่เติมสารช่วยผสมมาลิกแอนไฮดรารายด์กราฟพอลิพรอพิลีน ร้อยละ 5 โดยน้ำหนักจีเลื้อย และวัสดุคอมโพสิตที่ปรับปรุงพื้นผิวจีเลื้อยด้วยโซเดียมไฮดรอกไซด์เพียงอย่างเดียว เป็นผลจากการปรับปรุงพื้นผิวจีเลื้อยทำให้เกิดการยึดเกาะเชิงกลระหว่างจีเลื้อยและพอลิพรอพิลีนที่เกิดลือคอยู่ภายในช่องว่างบริเวณพื้นผิวจีเลื้อยที่ขรุขระ และมีสารช่วยผสมมาลิกแอนไฮดรารายด์กราฟพอลิพรอพิลีน ช่วยเพิ่มพื้นที่การเกิดพันธะไฮโดรเจนกับหมู่ฟังก์ชันของเซลลูโลสบนพื้นผิวของจีเลื้อยส่งผลให้การยึดเกาะที่พื้นผิวของจีเลื้อยและพอลิพรอพิลีนมีแนวโน้มดีขึ้นส่งผลให้วัสดุคอมโพสิตมีสมบัติทางแรงดึงมีแนวโน้มดีขึ้น

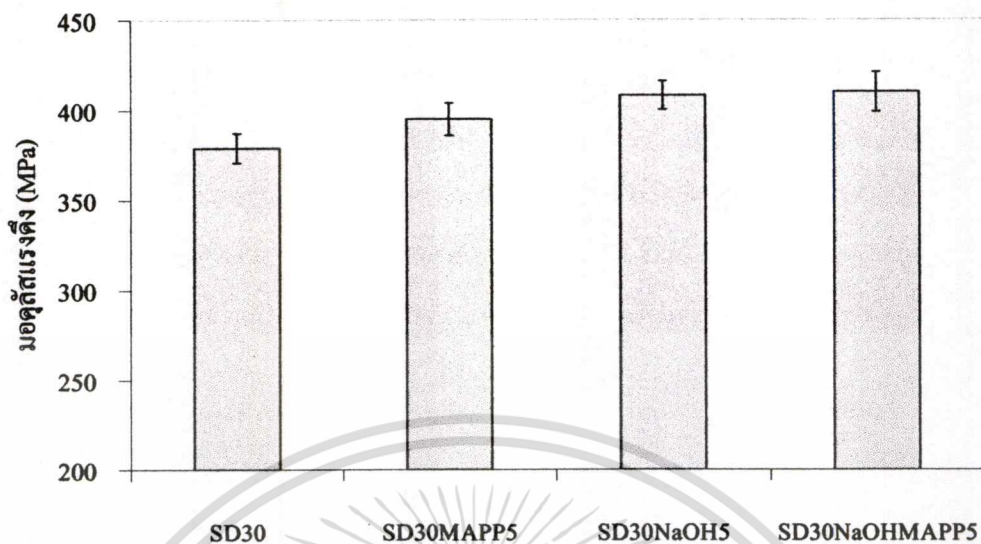


(ก) ความแข็งแรงค้ำ



(ข) ร้อยละการค้ำบด ณ จุดคราก

เอกสารนี้เป็นเอกสารที่สงวนไว้สำหรับการใช้งานเพื่อการศึกษาเท่านั้น ไม่อนุญาตให้นำไปใช้ประโยชน์ด้านการค้า
ไม่ว่ากรณีใดๆทั้งสิ้น อีกทั้งห้ามมิให้ดัดแปลงเนื้อหา และต้องอ้างอิงถึงเจ้าของเอกสารทุกครั้งที่มีการนำไปใช้

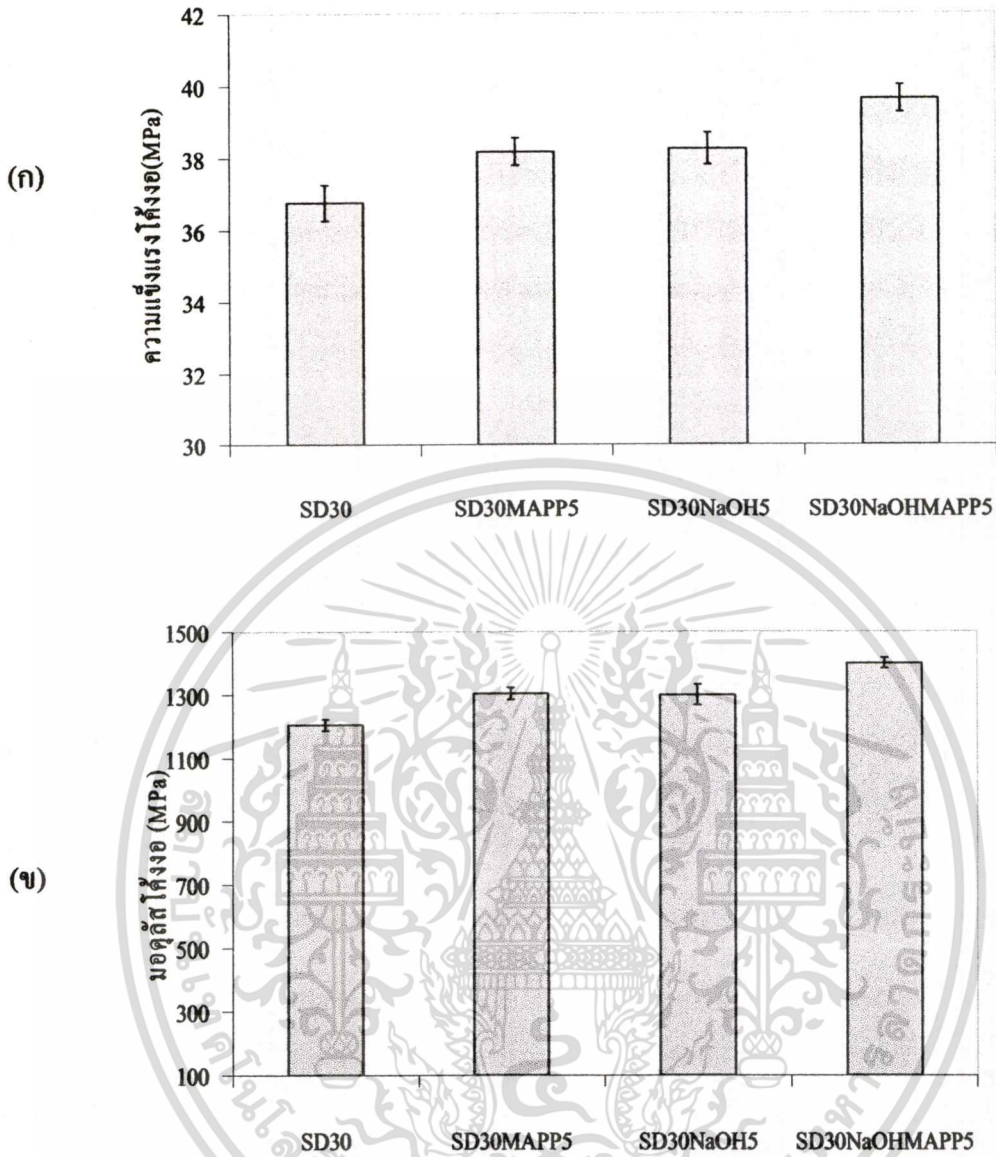


(ค) มอดูลัสแรงดึง

รูปที่ 4.33 สมบัติทางแรงดึงของวัสดุคอมโพสิตระหว่างพอลิพรอพิลีนกับจีลีส้อยขนาดมากกว่าหรือเท่ากับ 100 เมช ที่อัตราส่วนร้อยละ 30 โดยน้ำหนัก โดยจีลีส้อยที่ผ่านการปรับปรุงพื้นผิวด้วยไซเดียมไฮดรอกไซด์เข้มข้นร้อยละ 5 โดยน้ำหนักเป็นระยะเวลา 60 นาที และเติมสารช่วยผสมมาลิกแอนไฮดรายด์กราฟพอลิพรอพิลีนร้อยละ 5 โดยน้ำหนักจีลีส้อย (ข) ร้อยละการคั่งยึก ณ จุดคราก และ (ค) มอดูลัสแรงดึง

4.5.4.2 สมบัติทางแรงโค้งงอ

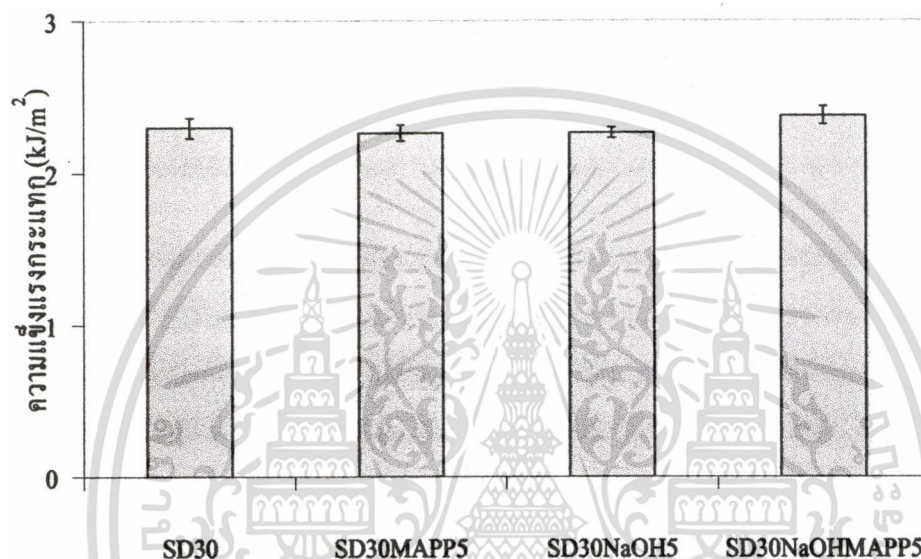
จากรูปที่ 4.34 สมบัติการโค้งงอของวัสดุคอมโพสิตระหว่างพอลิพรอพิลีนกับจีลีส้อยขนาดมากกว่าหรือเท่ากับ 100 เมช ที่อัตราส่วนร้อยละ 30 โดยน้ำหนัก โดยจีลีส้อยที่ผ่านการปรับปรุงพื้นผิวด้วยไซเดียมไฮดรอกไซด์เข้มข้นร้อยละ 5 โดยน้ำหนัก เป็นระยะเวลา 60 นาที และเติมสารช่วยผสมมาลิก-อิกแอนไฮดรายด์กราฟพอลิพรอพิลีน ร้อยละ 5 โดยน้ำหนักจีลีส้อย เมื่อพิจารณาถึงความแข็งแรงโค้งงอ และมอดูลัสโค้งงอ พบว่ามีแนวโน้มเพิ่มขึ้นเมื่อเปรียบเทียบกับวัสดุคอมโพสิตที่เติมสารช่วยผสมมาลิก-อิกแอนไฮดรายด์กราฟพอลิพรอพิลีนร้อยละ 5 โดยน้ำหนักจีลีส้อย และวัสดุคอมโพสิตที่ปรับปรุงพื้นผิวจีลีส้อยด้วยไซเดียมไฮดรอกไซด์เพียงอย่างเดียว ซึ่งสามารถอธิบายด้วยเหตุผลเดียวกับข้างต้น



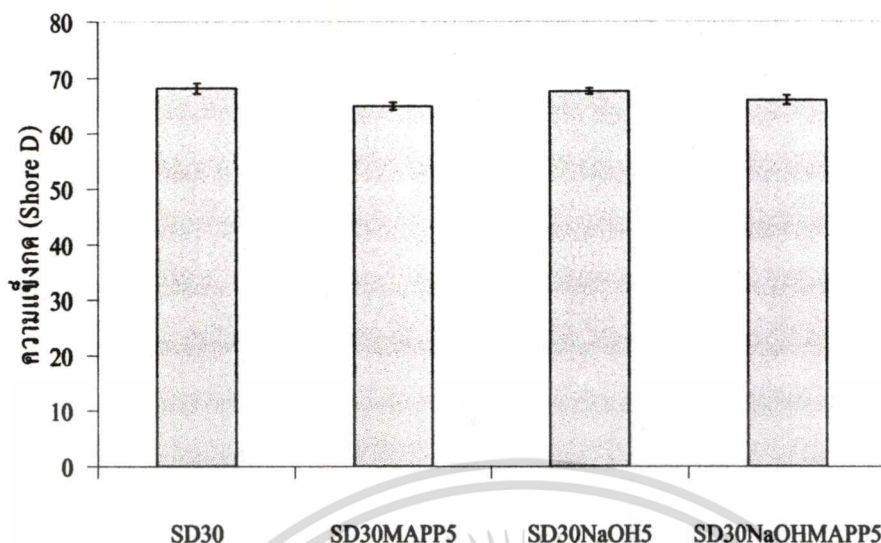
รูปที่ 4.34 สมบัติทางแรงโค้งงอของวัสดุคอมโพสิตระหว่างพอลิพรอพิลีนกับซีลี้อยขนาดมากกว่าหรือเท่ากับ 100 เมช ที่อัตราส่วนร้อยละ 30 โดยน้ำหนัก โดยซีลี้อยที่ผ่านการปรับปรุงพื้นผิวด้วยโซเดียมไฮดรอกไซด์เข้มข้นร้อยละ 5 โดยน้ำหนัก เป็นระยะเวลา 60 นาที และเติมสารช่วยผสมมาลิกแอนไฮไดรด์กราฟพอลิพรอพิลีนร้อยละ 5 โดยน้ำหนัก ซีลี้อย (ก) ความแข็งแรงโค้งงอ และ (ข) มอดุลัสโค้งงอ

4.5.4.3 ความแข็งแรงกระแทกและความแข็งกด

และจากรูปที่ 4.35-4.36 พบว่าความแข็งแรงกระแทก และความแข็งกดของวัสดุคอมโพสิต มีแนวโน้มไม่เปลี่ยนแปลงแสดงถึงสารช่วยผสม มาลิกแอนไฮดรอกไซด์กราฟฟอลิพรอพิลีน ร้อยละ 5 โดยหนักขี้เลื่อย การปรับปรุงพื้นผิวขี้เลื่อยด้วยโซเดียมไฮดรอกไซด์เข้มข้นร้อยละ 5 โดยน้ำหนัก เป็นระยะเวลา 60 นาที หรือใช้ มาลิกแอนไฮดรอกไซด์กราฟฟอลิพรอพิลีน ร่วมกับโซเดียมไฮดรอกไซด์ไม่ส่งผลต่อความแข็งแรงกระแทก และความแข็งกดของวัสดุคอมโพสิต



รูปที่ 4.35 ความแข็งแรงกระแทกของวัสดุคอมโพสิตระหว่างพอลิพรอพิลีนกับขี้เลื่อยขนาดมากกว่าหรือเท่ากับ 100 เมช ที่อัตราส่วนร้อยละ 30 โดยน้ำหนัก โดยขี้เลื่อยที่ผ่านการปรับปรุงพื้นผิวด้วยโซเดียมไฮดรอกไซด์เข้มข้นร้อยละ 5 โดยน้ำหนัก เป็นระยะเวลา 60 นาที และเติมสารช่วยผสมมาลิกแอนไฮดรอกไซด์กราฟฟอลิพรอพิลีนร้อยละ 5 โดยน้ำหนักขี้เลื่อย



รูปที่ 4.36 ความแข็งกดของวัสดุคอมโพสิตระหว่างพอลิพรอพิลีนกับซีลีเยนขนาดมากกว่าหรือเท่ากับ 100 เมช ที่อัตราส่วนร้อยละ 30 โดยน้ำหนัก โดยซีลีเยนที่ผ่านการปรับปรุงพื้นผิวด้วยไซเดียมไฮดรอกไซด์เข้มข้นร้อยละ 5 โดยน้ำหนัก เป็นระยะเวลา 60 นาที และเติมสารช่วยผสมมาลิกแอนไฮดรายด์กราฟพอลิพรอพิลีน ร้อยละ 5 โดยน้ำหนักซีลีเยน

จากผลการทดสอบสมบัติเชิงกลของวัสดุคอมโพสิตระหว่างพอลิพรอพิลีนและซีลีเยนที่กล่าวมาข้างต้น พบว่าปริมาณและขนาดของซีลีเยนมีผลต่อสมบัติเชิงกลโดยรวม คือ โดยเลือกวัสดุคอมโพสิตที่มีซีลีเยนขนาดมากกว่าหรือเท่ากับ 100 เมช โดยมีปริมาณซีลีเยนร้อยละ 30 โดยน้ำหนัก เนื่องจากมีปริมาณไม่มากแต่การผสม และขึ้นรูปง่าย และให้สมบัติเชิงกลโดยรวมที่ดี โดยพิจารณาได้จากความแข็งแรงดึง มอดุลัสแรงดึง ความแข็งแรงโค้งงอ และมอดุลัสโค้งงอ เมื่อพิจารณาถึงผลของสารช่วยผสมพบว่าปริมาณมีผลต่อสมบัติเชิงกลและที่ร้อยละ 5 โดยน้ำหนักของซีลีเยนมีแนวโน้มให้สมบัติเชิงกลดีกว่าปริมาณอื่น ๆ เนื่องจากสารช่วยผสมมาลิกแอนไฮดรายด์กราฟพอลิพรอพิลีนปลายข้างหนึ่ง ไม่มีขั้วก็เกิดการเกี่ยวพันเชิงกลกับพอลิพรอพิลีนเมทริกซ์ ส่วนปลายอีกข้างหนึ่งมีขั้วจะเกิดพันธะเคมีกับหมู่ฟังก์ชันของเซลลูโลสบนพื้นของซีลีเยนซึ่งเพิ่มแรงยึดเกาะระหว่างพอลิพรอพิลีนและซีลีเยนให้มากขึ้น และผลของการปรับปรุงพื้นผิวด้วยไซเดียมไฮดรอกไซด์เข้มข้นร้อยละ 5 10 และ 15 โดยน้ำหนักต่อปริมาตร เป็นระยะเวลา 30 60 และ 120 นาที พบว่าส่งผลต่อสมบัติเชิงกลอย่างชัดเจนทั้งความเข้มข้น และระยะเวลาในการปรับปรุงพื้นผิวโดยพบว่าเมื่อเพิ่มความเข้มข้น และระยะเวลาในการปรับปรุงผิวมากขึ้นส่งผลให้สมบัติเชิงกลลดลง เนื่องจากการปรับปรุงพื้นผิวเป็นการสกัดลิกนินที่เป็นองค์ประกอบหนึ่งออกส่งผลให้เกิดพันธะไฮโดรเจนของหมู่ไฮดรอกซิลระหว่างซีลีเยนด้วยกันได้ง่ายขึ้น ทำให้เกิดการกระจายตัวของซีลีเยนในพอลิเมอร์เมทริกซ์ไม่ดี โดยไซเดียมไฮดรอกไซด์เข้มข้นร้อยละ 5 โดยน้ำหนักต่อปริมาตร

เอกสารนี้เป็นเอกสารที่สงวนไว้สำหรับการใช้งานเพื่อการศึกษาเท่านั้น ไม่อนุญาตให้นำไปใช้ประโยชน์ด้านการค้า

ไม่ว่ากรณีใดๆทั้งสิ้น อีกทั้งห้ามมิให้ดัดแปลงเนื้อหา และต้องอ้างอิงถึงเจ้าของเอกสารทุกครั้งที่มีการนำไปใช้

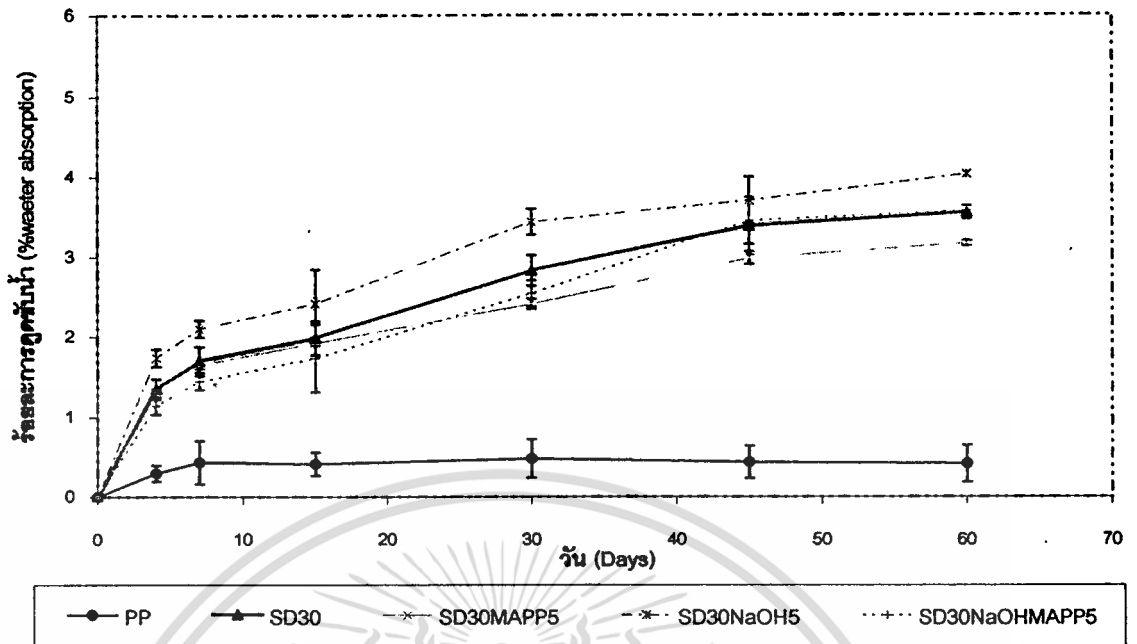
เป็นระยะเวลา 60 นาที มีแนวโน้มให้สมบัติเชิงกลดีกว่าสถานะความเข้มข้น และเวลาอื่น ๆ ที่ทำการศึกษา

และเมื่อศึกษาวัสดุคอมโพสิตถึงผลของการปรับปรุงพื้นผิวซีลด้วยไฮเดียมไฮดรอกไซด์ใช้ร่วมกับมาลิกแอนไฮดรายด์ พบว่าวัสดุคอมโพสิตที่เติมสารช่วยผสมมาลิกแอนไฮดรายด์กราฟฟออลิ-พรอพิลีน ร้อยละ 5 โดยน้ำหนักของซีลเพียงอย่างเดียวมีแนวโน้มสมบัติเชิงกลโดยรวมดีกว่าวัสดุคอมโพสิตที่ไม่ใช้สารช่วยผสมมาลิกแอนไฮดรายด์กราฟฟออลิพรอพิลีน ในขณะที่วัสดุคอมโพสิตที่ปรับปรุงพื้นผิวซีลด้วยไฮเดียมไฮดรอกไซด์เพียงอย่างเดียวมีแนวโน้มสมบัติเชิงกลโดยรวมดีกว่าวัสดุคอมโพสิตที่ใช้สารช่วยผสมมาลิกแอนไฮดรายด์กราฟฟออลิพรอพิลีนร้อยละ 5 โดยน้ำหนักซีลเพียงอย่างเดียว และพบว่าวัสดุคอมโพสิตที่ใช้การปรับปรุงพื้นผิวซีลด้วยไฮเดียมไฮดรอกไซด์เข้มข้นร้อยละ 5 โดยน้ำหนัก เป็นระยะเวลา 60 นาที ร่วมกับมาลิกแอนไฮดรายด์ร้อยละ 5 โดยน้ำหนักซีลเพียงอย่างเดียวมีสมบัติเชิงกลมีแนวโน้มดีกว่าสถานะอื่น ๆ ที่ทำการศึกษาด้วยเหตุผลจากการปรับปรุงพื้นผิวซีลที่ความเข้มข้น และเวลาที่เหมาะสมทำให้เกิดการความขรุขระที่พื้นผิวของซีลทำให้เกิดการยึดเกาะเชิงกลระหว่างซีลและพอลิพรอพิลีนที่เกิดลือคอยู่ภายในช่องว่างบริเวณพื้นผิวซีลที่ขรุขระและสารช่วยผสมมาลิกแอนไฮดรายด์กราฟฟออลิพรอพิลีนปลายข้างหนึ่งไม่มีขั้วก็เกิดการเกี่ยวพันเชิงกลกับพอลิพรอพิลีนเมทริกซ์ ส่วนปลายอีกข้างหนึ่งมีขั้วจะเกิดพันธะเคมีกับหมู่ฟังก์ชันของเซลลูโลสบนพื้นของซีลซึ่งเพิ่มแรงยึดเกาะระหว่างพอลิพรอพิลีนและซีลให้มากขึ้น จึงส่งผลให้วัสดุคอมโพสิตเกิดการเสียหายได้ยากกว่า

4.6 สมบัติทางกายภาพ

สมบัติทางกายภาพที่ทำการศึกษา คือ สมบัติการดูดซับน้ำ (Water absorption) ซึ่งผลที่ได้จากการทดสอบสมบัติการดูดซับน้ำของวัสดุคอมโพสิตกับเวลาแสดงได้ดังรูปที่ 4.37 ซึ่งจากการทดสอบสมบัติการดูดซับน้ำของพอลิพรอพิลีน วัสดุคอมโพสิตระหว่างพอลิพรอพิลีนและซีลโดยขนาดมากกว่าหรือเท่ากับ 100 เมช โดยมีปริมาณซีลร้อยละ 30 โดยน้ำหนัก

จากรูปที่ 4.37 พบว่าวัสดุคอมโพสิตระหว่างพอลิพรอพิลีนและซีลมีค่าร้อยละการดูดซับน้ำมากกว่าพอลิพรอพิลีนอย่างชัดเจน เนื่องจากพอลิพรอพิลีนเป็นพอลิเมอร์ที่มีความไม่มีขั้วหรือมีสมบัติไม่ชอบน้ำ แต่ซีลมีความมีขั้วหรือมีสมบัติชอบน้ำ และเนื่องจากซีลมีหมู่ไฮดรอกซิล (Hydroxyl, -OH) จึงสามารถเกิดพันธะไฮโดรเจน (Hydrogen bond) กับหมู่ไฮดรอกซิลของโมเลกุลของน้ำ ดังนั้นการเติมซีลในพอลิพรอพิลีนจึงทำให้วัสดุคอมโพสิตระหว่างพอลิพรอพิลีนและซีลมี ค่าร้อยละการดูดซับน้ำมากกว่าพอลิพรอพิลีน



รูปที่ 4.37 ความสัมพันธ์ระหว่างร้อยละการดูดซับน้ำของพอลิพรอพิลีน วัสดุคอมโพสิตระหว่างพอลิพรอพิลีนกับซีลือที่มีขนาดซีลือมากกว่าหรือเท่ากับ 100 เมช วัสดุคอมโพสิตที่เติมสารช่วยผสมมาติกแอนไฮดรอกไซด์กราฟพอลิพรอพิลีน 5% โดยน้ำหนักซีลือ วัสดุคอมโพสิตที่ปรับปรุงพื้นผิวซีลือด้วยไฮเดียมไฮดรอกไซด์ความเข้มข้น 5% โดยน้ำหนักต่อปริมาตร เป็นเวลา 60 นาที และวัสดุคอมโพสิตที่ปรับปรุงพื้นผิวซีลือด้วยไฮเดียมไฮดรอกไซด์ความเข้มข้น 5% โดยน้ำหนักเป็นเวลา 60 นาที โดยมีปริมาณซีลือร้อยละ 30 โดยน้ำหนัก และเติมสารช่วยผสมมาติกแอนไฮดรอกไซด์กราฟพอลิพรอพิลีน 5% โดยน้ำหนักซีลือ

เมื่อพิจารณาที่วัสดุคอมโพสิตระหว่างพอลิพรอพิลีนและซีลือที่ปรับปรุงไม่ปรับปรุงพื้นผิวนั้นพบว่าวัสดุคอมโพสิตที่มีซีลือปรับปรุงพื้นผิวด้วยไฮเดียมไฮดรอกไซด์นั้นมีการดูดซับน้ำมีแนวโน้มมากกว่าวัสดุคอมโพสิตที่ไม่มีการปรับปรุงพื้นผิวซีลือเล็กน้อย เนื่องจากละลายไฮเดียมไฮดรอกไซด์เป็นการสกัดสารลิกนินที่เป็นสารที่ไม่มีขั้วออกจากบริเวณพื้นผิวซีลือ และเป็นการเพิ่มพื้นที่ผิวสัมผัสให้แก่ซีลือส่งผลให้ซีลือที่มีการปรับปรุงพื้นผิวด้วยสารละลายไฮเดียมไฮดรอกไซด์มีความมีขั้วหรือมีสมบัติชอบน้ำมากขึ้นหมู่ไฮดรอกซิล (Hydroxyl, -OH) จึงสามารถเกิดพันธะไฮโดรเจน (Hydrogen bond) กับหมู่ไฮดรอกซิลของโมเลกุลของน้ำได้มากขึ้น ดังนั้นการปรับปรุงพื้นผิวซีลือด้วยสารละลายไฮเดียมไฮดรอกไซด์ส่งผลให้วัสดุคอมโพสิตระหว่างพอลิพรอพิลีนและซีลือมีการดูดซับน้ำมากกว่าวัสดุคอมโพสิตพอลิพรอพิลีนกับซีลือที่ไม่ได้ปรับปรุงพื้นผิว เนื่องจากการปรับปรุงพื้นผิวเป็นการสกัดลิกนินที่เป็นเอกสารนี้เป็นเอกสารที่สงวนไว้สำหรับการใช้งานเพื่อการศึกษาเท่านั้น ไม่อนุญาตให้นำไปใช้ประโยชน์ด้านการค้า ไม่ว่าจะกรณีใดๆทั้งสิ้น อีกทั้งห้ามมิให้คัดแปลงเนื้อหา และต้องอ้างอิงถึงเจ้าของเอกสารทุกครั้งที่มีการนำไปใช้

องค์ประกอบหนึ่งที่ไม่มีขั้วออก ส่งผลให้เกิดความมีขั้วเนื่องจากหมู่ไฮดรอกซิลของซีเลียมมากขึ้น และมีแนวโน้มซีเลียมรวมตัวกันเป็นกลุ่มก้อนส่งผลให้มีค่าร้อยละการดูดซับน้ำมากขึ้น

เมื่อมีการเติมสารช่วยผสมมาลิกแอนไฮดรายด์กราฟฟอลิพรอพิลีนลงไปพบว่ามีค่าร้อยละการดูดซับน้ำมีแนวโน้มน้อยกว่าวัสดุคอมโพสิตที่ไม่เติม ทั้งนี้เป็นผลมาจากมาลิกแอนไฮดรายด์กราฟฟอลิพรอพิลีน ได้สร้างพันธะส่วนหนึ่งกับหมู่ไฮดรอกซิล (Hydroxyl, -OH) ของซีเลียม จึงสามารถเกิดพันธะไฮโดรเจน (Hydrogen bond) กับหมู่ไฮดรอกซิลของโมเลกุลของน้ำได้น้อยลง ดังนั้นการเติมมาลิกแอนไฮดรายด์กราฟฟอลิพรอพิลีนในวัสดุคอมโพสิตฟอลิพรอพิลีนกับซีเลียม จึงทำให้วัสดุคอมโพสิตระหว่างฟอลิพรอพิลีนและซีเลียมมีค่าร้อยละการดูดซับน้ำน้อยกว่าวัสดุคอมโพสิตฟอลิพรอพิลีนกับซีเลียมที่ไม่ได้เติมมาลิกแอนไฮดรายด์กราฟฟอลิพรอพิลีน



เอกสารนี้เป็นเอกสารที่สงวนไว้สำหรับการใช้งานเพื่อการศึกษาเท่านั้น ไม่อนุญาตให้นำไปใช้ประโยชน์ด้านการค้า ไม่ว่าจะกรณีใดๆทั้งสิ้น อีกทั้งห้ามมิให้ตัดแปลงเนื้อหา และต้องอ้างอิงถึงเจ้าของเอกสารทุกครั้งที่มีการนำไปใช้

บทที่ 5

สรุปผลการวิจัยและข้อเสนอแนะ

5.1 สรุปผลการวิจัย

งานวิจัยนี้เป็นการศึกษาการนำซีลี้อยจากไม้เต็งนอกมาเป็นสารตัวเติมในพอลิพรอพิลีน โดยศึกษาถึงผลของขนาดและปริมาณของซีลี้อยที่มีต่อสมบัติเชิงกล (Mechanical properties) นอกจากนี้ได้ทำการศึกษาเชิงเปรียบเทียบถึงการปรับปรุงและไม่ปรับปรุงพื้นผิวด้วยโซเดียมไฮดรอกไซด์ (Alkali treatment) และการใช้สารช่วยผสม คือ พอลิพรอพิลีนค็อกกิ้งด้วยมาลิกแอนไฮไดรด์ (Maleic anhydride grafted polypropylene, MAPP) เพื่อปรับปรุงการยึดเกาะกับพอลิพรอพิลีนที่พื้นผิวของซีลี้อยที่ใช้เป็นสารตัวเติม ซึ่งจากผลการทดลองสามารถสรุปผลการวิจัยได้ดังนี้

จากการศึกษาสมบัติทางความร้อนด้วย TGA พบว่าพอลิพรอพิลีนมีเสถียรภาพทางความร้อนมากกว่าวัสดุคอมโพสิตระหว่างพอลิพรอพิลีนกับซีลี้อย และซีลี้อย ตามลำดับ และการปรับปรุงพื้นผิวซีลี้อยด้วยโซเดียมไฮดรอกไซด์ส่งผลให้ซีลี้อยมีเสถียรภาพทางความร้อนมากขึ้น และจากการศึกษาสมบัติทางความร้อนด้วย DSC พบว่าการผสมซีลี้อยในพอลิพรอพิลีนไม่เปลี่ยนแปลงอุณหภูมิการหลอมเหลวของพอลิพรอพิลีน ส่วนอุณหภูมิการเกิดผลึกไม่เปลี่ยนแปลงและปริมาณความเป็นผลึกเพิ่มขึ้นเมื่อเติมซีลี้อย

จากผลการศึกษาผลของขนาดและปริมาณต่อสมบัติเชิงกลของวัสดุคอมโพสิตระหว่างพอลิพรอพิลีนและซีลี้อย พบว่าปริมาณและขนาดของซีลี้อยมีผลต่อสมบัติเชิงกลโดยรวม คือ โดยเมื่อเพิ่มปริมาณของซีลี้อยมากขึ้นส่งผลให้ความแข็งแรงดึง ความแข็งแรงโค้งงอ และร้อยละการดึงยึด ณ จุดคราก ของวัสดุคอมโพสิตมีแนวโน้มลดลง ในขณะที่มอดูลัสแรงดึง มอดูลัสโค้งงอ และความแข็งกดของวัสดุคอมโพสิตมีแนวโน้มเพิ่มขึ้น แต่ความแข็งแรงกระแทกมีแนวโน้มไม่เปลี่ยนแปลง ในขณะที่ขนาดของซีลี้อยส่งผลต่อสมบัติเชิงกลของวัสดุคอมโพสิตโดยที่ซีลี้อยที่มีขนาดเล็กมีแนวโน้มให้ ความแข็งแรงดึง ความแข็งแรงโค้งงอ มอดูลัสแรงดึง มอดูลัสโค้งงอ ร้อยละการดึงยึด ณ จุดคราก และความแข็งกด มีแนวโน้มมากกว่าซีลี้อยที่มีขนาดใหญ่ แต่เมื่อพิจารณาความแข็งแรงกระแทกพบว่าปริมาณและขนาดของซีลี้อยไม่ส่งผลต่อความแข็งแรงกระแทกของวัสดุคอมโพสิต

การศึกษาค่าของสารช่วยผสมมาลิกแอนไฮไดรด์กราฟพอลิพรอพิลีนต่อสมบัติเชิงกลของวัสดุคอมโพสิตระหว่างพอลิพรอพิลีนกับซีลี้อยขนาดมากกว่าหรือเท่ากับ 100 ไมครอน ปริมาณซีลี้อยร้อยละ 30 โดยน้ำหนัก พบว่ามาลิกแอนไฮไดรด์กราฟพอลิพรอพิลีนช่วยให้สมบัติเชิงกลโดยรวมมีแนวโน้มดีขึ้น คือ ความแข็งแรงดึง ร้อยละการดึงยึด ณ จุดคราก มอดูลัสแรงดึง ความ

เอกสารนี้เป็นเอกสารที่สงวนไว้สำหรับการใช้งานเพื่อการศึกษาเท่านั้น เมื่อผู้ใช้เห็นหน้าเว็บไซต์หรือเอกสารฉบับนี้

ไม่ว่ากรณีใดๆทั้งสิ้น อีกทั้งห้ามมิให้คัดลอกเนื้อหา และต้องอ้างอิงถึงเจ้าของเอกสารทุกครั้งที่มีการนำไปใช้

แข็งแรงโค้งงอ มอดุลัสโค้งงอ มีแนวโน้มคี่ขึ้น แต่ความแข็งแรงคมีแนวโน้มลดลง และความแข็งแรง
กระแทกไม่เปลี่ยนแปลง และเมื่อศึกษาถึงปริมาณที่เหมาะสมของสารช่วยผสมมาลิกแอ-
ไฮดรยด์กราฟฟอลิพรอพิลินเพื่อให้ได้สมบัติเชิงกลที่ดีที่สุดพบว่าที่ปริมาณร้อยละ 5 โดยน้ำหนัก
ก็เพียงพอให้สมบัติเชิงกลโดยรวมมีแนวโน้มคี่ที่สุด

การศึกษาผลของวัสดุคอมโพสิตที่มีการปรับปรุงพื้นผิวซึ่งเคลือบด้วยไซเดียมไฮดรอกไซด์
พบว่าที่ความเข้มข้นไซเดียมไฮดรอกไซด์ร้อยละ 5 โดยน้ำหนัก นาน 60 นาที ให้สมบัติเชิงกล
โดยรวมมีแนวโน้มคี่ที่สุด แต่เมื่อเพิ่มความเข้มข้นมากขึ้น หรือเพิ่มระยะเวลาการปรับปรุงพื้นผิว
ซึ่งเคลือบด้วยไซเดียมไฮดรอกไซด์มากขึ้นพบว่าสมบัติเชิงกลโดยรวมมีแนวโน้มลดลง

การศึกษาวัสดุคอมโพสิตถึงผลของการปรับปรุงพื้นผิวซึ่งเคลือบด้วยไซเดียมไฮดรอกไซด์ใช้
ร่วมกับมาลิกแอไฮดรยด์ พบว่าวัสดุคอมโพสิตที่เติมสารช่วยผสมมาลิกแอไฮดรยด์กราฟ
ฟอลิพรอพิลินร้อยละ 5 โดยน้ำหนักก็เพียงพออย่างเดียวมิแนวโน้มสมบัติเชิงกลโดยรวมดีกว่า
วัสดุคอมโพสิตที่ไม่ใช้สารช่วยผสมมาลิกแอไฮดรยด์กราฟฟอลิพรอพิลิน ในขณะที่วัสดุ
คอมโพสิตที่ปรับปรุงพื้นผิวซึ่งเคลือบด้วยไซเดียมไฮดรอกไซด์เพียงพออย่างเดียวมิแนวโน้มสมบัติเชิงกล
โดยรวมดีกว่าวัสดุคอมโพสิตที่ใช้สารช่วยผสมมาลิกแอไฮดรยด์กราฟฟอลิพรอพิลินเพียงอย่าง
เดียว และพบว่าวัสดุคอมโพสิตที่ใช้การปรับปรุงพื้นผิวซึ่งเคลือบด้วยไซเดียมไฮดรอกไซด์เข้มข้นร้อย
ละ 5 โดยน้ำหนัก นาน 60 นาทีร่วมกับมาลิกแอไฮดรยด์ร้อยละ 5 โดยน้ำหนักก็เพียงพอมีสมบัติ
เชิงกลเชิงกลโดยรวมมีแนวโน้มคี่ว่าการใช้สารช่วยผสมมาลิกแอไฮดรยด์กราฟฟอลิพรอพิลิน
และปรับปรุงพื้นผิวซึ่งเคลือบด้วยไซเดียมไฮดรอกไซด์เพียงพออย่างเดียว

ร้อยละการดูดซึมน้ำของวัสดุคอมโพสิตระหว่างพอลิพรอพิลินและซีลือมีแนวโน้ม
เพิ่มขึ้น เมื่อมีการใช้ซีลือเป็นสารตัวเติม เมื่อใช้สารช่วยผสมมาลิกแอไฮดรยด์กราฟฟอลิ-
พรอพิลิน พบว่าร้อยละการดูดซึมน้ำมีแนวโน้มลดลง แต่การปรับปรุงพื้นผิวซึ่งเคลือบในวัสดุคอม
โพสิตด้วยไซเดียมไฮดรอกไซด์พบว่าร้อยละการดูดซึมน้ำมีแนวโน้มเพิ่มขึ้น

5.2 ข้อเสนอแนะ

1. ศึกษาการใช้สารปรับปรุงแรงกระแทก (Impact Modifier) เพื่อปรับปรุงความแข็งแรง
กระแทกของวัสดุคอมโพสิต
2. ศึกษาปริมาณสารช่วยผสม หรือ สารควบคู่ (Coupling agent) เพื่อเพิ่มความสามารถ
ในการเข้ากันได้ของพอลิพรอพิลินและซีลือที่ปรับปรุงพื้นผิวด้วยไซเดียมไฮดรอกไซด์ ซึ่งจะช่วย
เพิ่มสมบัติเชิงกลของวัสดุคอมโพสิตระหว่างพอลิพรอพิลินและซีลือ

เอกสารอ้างอิง

- [1] Mitsubishi Rayon America Inc. 2003 “Process aid for Wood Composite” [online]. Available : <http://www.mrany.com/data/HTML/43.htm>.
- [2] Sinotrans Jiangsu Imp. & Exp Co.,Ltd. 2007 “Wood Plastic Composite” [online]. Available : http://sinotrans.en.alibaba.com/product/0/51151044/Wood_Plastic_Composite.html
- [3] Eco-Product. Inc. 2006 “Trex Decking” [online]. Available : http://www.ecoproducts.com/Building/build_decking/build_decking_trex.htm
- [4] กรมป่าไม้ กระทรวงเกษตร และสหกรณ์. 2006. “ตะเคาเทียม” [online]. Available : www.forest.go.th/private/tiam3.htm
- [5] Douglas J. Gardner. 1998 “Wood Plastic Composite Extrusion Overview” [online]. Available : www.umaine.edu/adhesion/gardner/5502002/wpc%20ext%20over%203-11-02.pdf
- [6] มาลินี ชัยศุกกิจสินธุ์ “เคมีพอลิเมอร์” ภาควิชาเคมี คณะวิทยาศาสตร์ สถาบันเทคโนโลยีพระจอมเกล้าเจ้าคุณทหารลาดกระบัง พิมพ์ครั้งที่ 3 2543 254.
- [7] D.Hull and T.W.Clyne, in “Introduction to Composite Materials”, 2nd ed., Cambridge University Press, Cambridge, 1996, 30-31.
- [8] A.B.Strong, in “Plastics Materials and Processing”, 2nd ed., Prentice Hall, New Jersey, 2000, 208-209.
- [9] S.Aggarwal, in “Physical constants of polypropylene”, in *Polymer handbook* (Brandrup, Immergut Hh. Ed.), Jhon Willey & Sons, New York, 1975, 23-27.
- [10] B.T.Astrom, in “Manufacturing of Polymer Composites”, 1st ed., Chapman & Hall, London, 1997, 37.
- [11] วิรัช ชื่นวาริน และ คำรงค์ ศรีศรีอริย์ “ลักษณะโครงสร้างของเนื้อไม้ที่สำคัญในลำดับชาติไม้มงคลและคิสิกฟลอริชของประเทศไทย” รายงานวนศาสตร์วิจัย คณะวนศาสตร์ มหาวิทยาลัยเกษตรศาสตร์
- [12] กรมป่าไม้ กระทรวงเกษตร และสหกรณ์. 2006. “ประเภทของป่าไม้” [online]. Available : <http://www.dnp.go.th/research/Knowledge/type%20of%20forest.html>
- [13] คณะเภสัชกร จุฬาลงกรณ์มหาวิทยาลัย [online]. Available <http://www.pharm.chula.ac.th/vichen/morpho45/indehis.ht>
- [14] วนกรธิ โศทวัตร์, 2549 “พรรณไม้น้ำร้อน” [online]. Available : http://www.wanakorn.com/natural__detail.php?tid=48&nid=194

เอกสารนี้เป็นเอกสารที่สงวนไว้สำหรับการใช้งานเพื่อการศึกษาเท่านั้น ไม่อนุญาตให้拿去ใช้ประโยชน์ด้านการค้า
ไม่ว่ากรณีใดๆทั้งสิ้น อีกทั้งห้ามมิให้คัดแปลงเนื้อหา และต้องอ้างอิงถึงเจ้าของเอกสารทุกครั้งที่มีการนำไปใช้

- [15] ณรงค์ โทณาท และ สิริ เจือวิจิตรจันทร์ “ไม้เนื้อแข็งของประเทศไทย” ฝ่ายวิจัยไม้ชั้น พื้นฐาน กองวิจัยผลิตผลป่าไม้ กระทรวงเกษตรและสหกรณ์ พิมพ์ครั้งที่ 2 2528 หน้า 2-16,389.
- [16] S.Eero, in “Wood Chemistry : Fundamentals and Applications”, 2nd ed., Academic Press,Sandiego, 1993, 48.
- [17] W.B.Banks and J.M.Lawther, in “Derivatization of Wood in Composition” in *Cellulose Polymers, Blends and Composites*, Hanser Publishers, New York, 1994, 131-153.
- [18] A.K.Bledzki and J.Gassan, in “Composites reinforced with cellulose based fibers” *Prog.Polym.Sci.*, 24, 1999, 225-243.
- [19] J.I.Kroschwitz, in “Encyclopedia of Polymer Science and Engineering”, 2nd ed., John-Wiley & Sons, New York, Vol 6, 1990, 655.
- [20] R.A.Eaton and M.D.C.Hale, in “Wood Decay, Pests and Protection”, 1st ed., Chapman &Hall, London, 1993, 33.
- [21] อธิพัล แจ้จ็ค “เอกสารประกอบการสอน วิชา พอลิเมอร์คอมโพสิต” ภาควิชาเคมี คณะวิทยาศาสตร์ สถาบันเทคโนโลยีพระจอมเกล้าเจ้าคุณทหารลาดกระบัง พิมพ์ครั้งที่ 1. 2544 หน้า 1-3, 63-67.
- [22] J.M.Felix and P.Gatenholm, “The Nature of Adhesion in Composites of Modified Cellulose Fibers and Polypropylene”, *J.Appl.Polym.Sci.*, 42, 1991, 609-620.
- [23] นันทพร พันธุ์ภักดี และ เรวดี สกฤตอาริยะ “วัสดุคอมโพสิตจากพอลิพรอพิลีนและเส้นใยอ้อย” โครงการงานพิเศษวิทยาศาสตร์บัณฑิต ภาควิชาเคมี คณะวิทยาศาสตร์ สถาบันเทคโนโลยีพระจอมเกล้า เจ้าคุณทหารลาดกระบัง. 2540.
- [24] จิราพรธม หน่ายคอน และ มาริสา ดันติถักขมา “วัสดุคอมโพสิตจากพอลิเอทิลีนชนิดความหนาแน่นสูงและพอลิพรอพิลีนกับเส้นใยอ้อย” โครงการงานพิเศษวิทยาศาสตร์บัณฑิต ภาควิชาเคมี คณะวิทยาศาสตร์ สถาบันเทคโนโลยีพระจอมเกล้าเจ้าคุณทหารลาดกระบัง. 2541.
- [25] กมลทิพย์ มุมิ และ รัชณีกุล บุญหนูกลับ “การปรับปรุงพอลิเมอร์คอมโพสิตจากเส้นใยมะพร้าวโดยวิธีการค่อกิ่งแบบรีดอกซ์” โครงการงานพิเศษวิทยาศาสตร์บัณฑิต ภาควิชาเคมี คณะวิทยาศาสตร์ สถาบันเทคโนโลยีพระจอมเกล้าเจ้าคุณทหารลาดกระบัง. 2541.
- [26] M.B.Fernanda, T.H.S.Costa and D.L.Carvalho, “Polypropylene-Wood Fiber Composites :Effect of Treatment and Mixing Conditions on Mechanical Properties ”, *J.Appl.Polym.Sci.*, 65, 1997, 1227-1235.
- [27] T.Q.Li, C.N.Ng and R.K.Y.Li., “Impact Behavior of Sawdust/Recycles-Polypropylene Composites”, *J.Apply.Polym.sci.*, 81, 2001, 1420-1428.

เอกสารนี้เป็นเอกสารที่จัดทำขึ้นเพื่อใช้ในการเรียนการสอนเท่านั้น ไม่ควรนำออกจำหน่ายโดยไม่ได้รับอนุญาตจากเจ้าของลิขสิทธิ์

ไม่ว่ากรณีใดๆทั้งสิ้น อีกทั้งห้ามมิให้คัดแปลงเนื้อหา และต้องอ้างอิงถึงเจ้าของเอกสารทุกครั้งที่มีการนำไปใช้

- [28] K.Rajeev, K.Mohan and N.Ramani, "Biofiber-Reinforced Polypropylene Composites", *Polym.Eng.Sci.*, 37(2), 1997, 476-483.
- [29] P.W.Balasuriya, L.Ye, Y.W.Mai and J.Wu, "Mechanical Properties of Wood Flake-Polyethylene Composites. II. Interface Modification", *J.Appl.Polym.Sci.*, 83, 2002, 2505-2521.
- [30] M.C.Matias, M.U.De La Orden, C.G.Sanchez and J.M.Urreaga, "Comparative Spectroscopic Study of the Modification of Cellulosic Materials with Different Coupling Agents", *J.Appl.Polym.Sci.*, 75, 2000, 256-266.
- [31] N.Stark, "Effect of Species and Particle Size on Properties of Wood-Flour Filled Polypropylene Composites", 1st ed., Intertech Conferences, USA, 1997.
- [32] O.Y.Mansour, Z.A.Nagieb, and A.H.Basta, "Graft Polymerization of Some Vinyl Monomer onto Alkali-Treated Cellulose", *J.Appl.Polym.Sci.*, 43, 1991, 1147-1158.
- [33] J.C.M. Suarez, F.M.B.Coutinho, and T.H.Sydenstricker, "SEM Studies of Tensile Fracture Surfaces of Polypropylene-Sawdust Composite", *Poly. Test.*, 22, 2003, 819-824.
- [34] M.N.Ichazo, "Polypropylene/Wood Flour Composites: Treatments and Properties", *Comp. Struct.*, 54, 2001, 207-214.
- [35] K.Joseph, S.Thomas and C.Pavethran, "Tensile Properties of Short Sisal Fiber-Reinforced Polyethylene Composites.", *J.Appl.Polym.Sci.*, 47, 1993, 1731-1739.
- [36] P.V.Joseph, K.Joseph, and S.Thomas, "The Thermal and crystallization studies of Short Sisal Fiber- Reinforced Polypropylene Composites.", *Composite: Part A.*, 34, 2003, 253-266.
- [37] HMC Polymer."Profax Z30S" Technical Report: HMC Polymer 2002.
- [38] www.dupont.com/industrail-polymers/fusabond® p md353d
- [39] ASTM D 638, "Standard Test Methods for Tensile Properties of Plastic (Metric)", *Philadephia : American Society for Testing and Materials.*, 1993.
- [40] ASTM D 256, "Standard Test Methods for Impact Resistance of Plastics and Electrical Insulating Materials", *Philadephia : American Society for Testing and Materials.*, 1993.
- [41] ASTM D 785, "Standard Test Methods for Rockwell Hardness of Plastics and Electrical Insulating Materials", *Philadephia : American Society for Testing and Materials.*, 1993.

- [42] ASTM D 790, "Standard Test Methods for Flexural Properties of Unreinforced and Reinforced Plastics and Electrical Insulating Materials", *Philadelphia : American Society for Testing and Materials.*, 1993.
- [43] ASTM D 570, "Standard Test Methods for Water absorption of Plastics", *Philadelphia : American Society for Testing and Materials.*, 1993.
- [44] ASTM D 648, "Standard Test Methods for Deflection Temperature of Plastics Under Flexural Load", *Philadelphia : American Society for Testing and Materials.*, 1993.
- [45] B.Wunderlich, in "Macromolecular Physics", Academic Press, New York, vol. 3, 1980, 61-64.
- [46] J.W.Robinson, in "Practical Handbook of Spectroscopy", 1sted., CRC Press Inc.,Boston , 2000, 481-583.
- [47] Journey to forever Hong Kong to Cape Town Overland , "Mesh to micron conservation chart " [online]. Available : http://journeytoforever.org/biodiesel_mesh.html
- [48] M.Kazayawoko, J.J.Balatinecz and R.T.Woodhams, "Diffuse Reflectance Fourier Transform Infrared Spectra of Wood Fibers Treated with Maleated Polypropylenes", *J.Appl.Polym.Sci.*, 66, 1997, 1163-1173.
- [49] Nicole M. Stark and Laurent M. Matuana, "Surface Chemistry Changes of Weathered HDPE/Wood-Flour Composites Study by XRF and FT-IR Spectroscopy", *Madison: Polymer Degradation and Stability*, 86, 2004, 1-9..
- [50] แม้น อมรสิทธิ์ และ อมร เพชรสม "หลักการและเทคนิคการวิเคราะห์เชิงเครื่องมือ" กรุงเทพมหานคร พิมพ์ 2539 หน้า 108-188
- [51] U.S.D.A. forest service research paper, 1970 "Thermal degradation of wood component"[online]. Available : <http://www.fpl.fs.fed.us/documnts/fplrp/fplrp130.pdf>

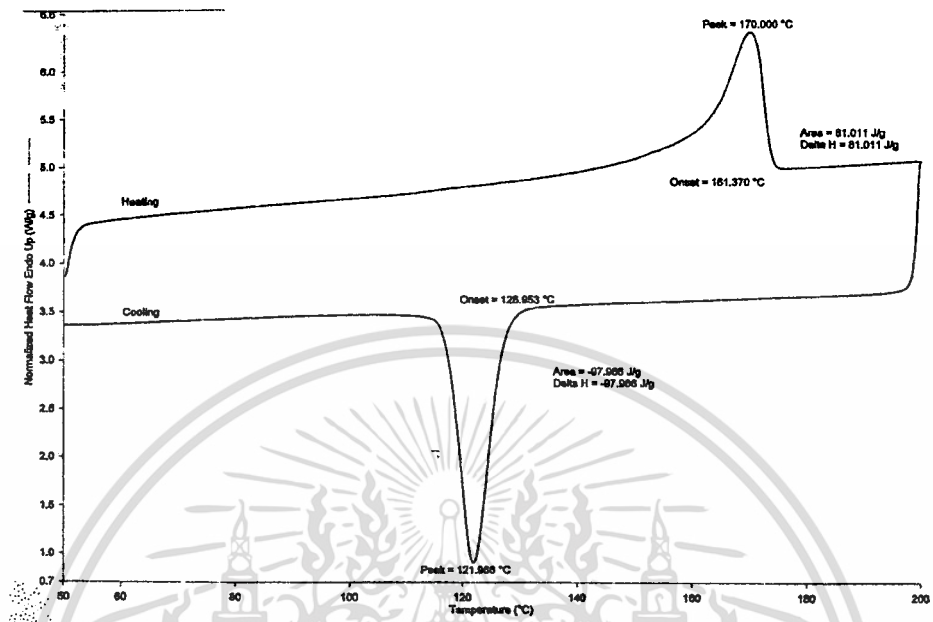


ภาคผนวก

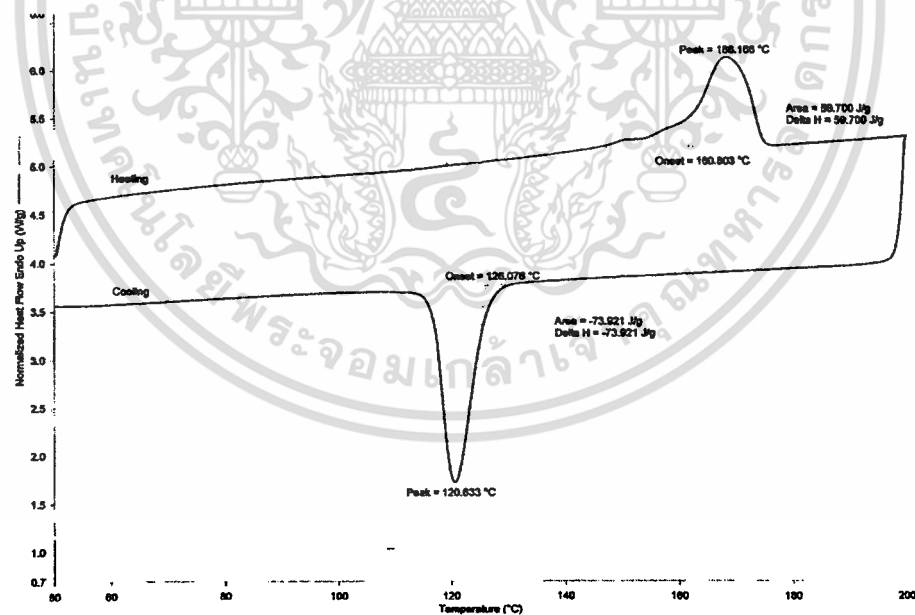
เอกสารนี้เป็นเอกสารที่สงวนไว้สำหรับการใช้งานเพื่อการศึกษาเท่านั้น ไม่อนุญาตให้นำไปใช้ประโยชน์ด้านการค้า
ไม่ว่ากรณีใดๆทั้งสิ้น อีกทั้งห้ามมิให้ดัดแปลงเนื้อหา และต้องอ้างอิงถึงเจ้าของเอกสารทุกครั้งที่มีการนำไปใช้

ภาคผนวก ก

DSC เทอร์โมแกรมของวัสดุผสมระหว่างพอลิพรอพิลีนและซีดีเอช

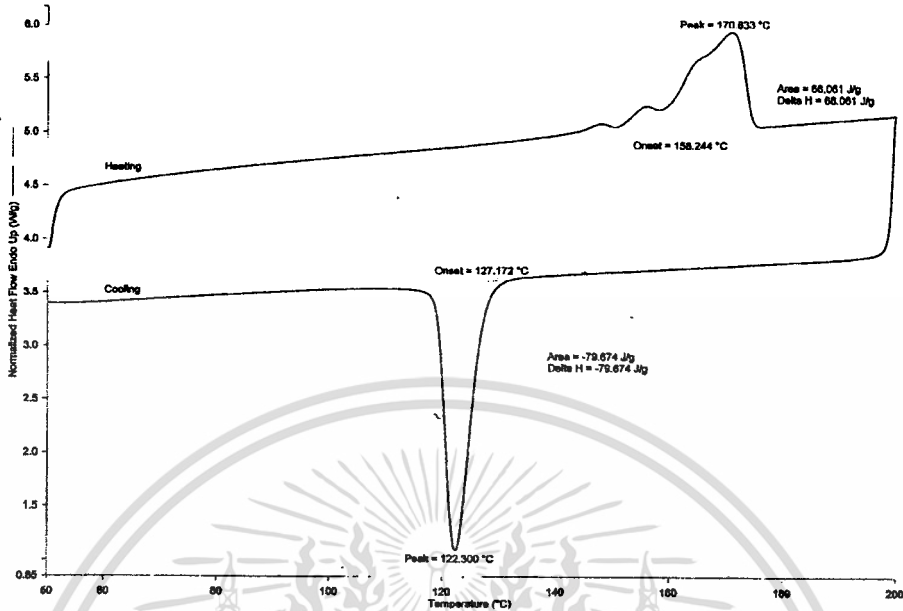


รูปที่ ก.1 DSC เทอร์โมแกรมแสดงอุณหภูมิการหลอมเหลวและเกิดผลึกของพอลิพรอพิลีน

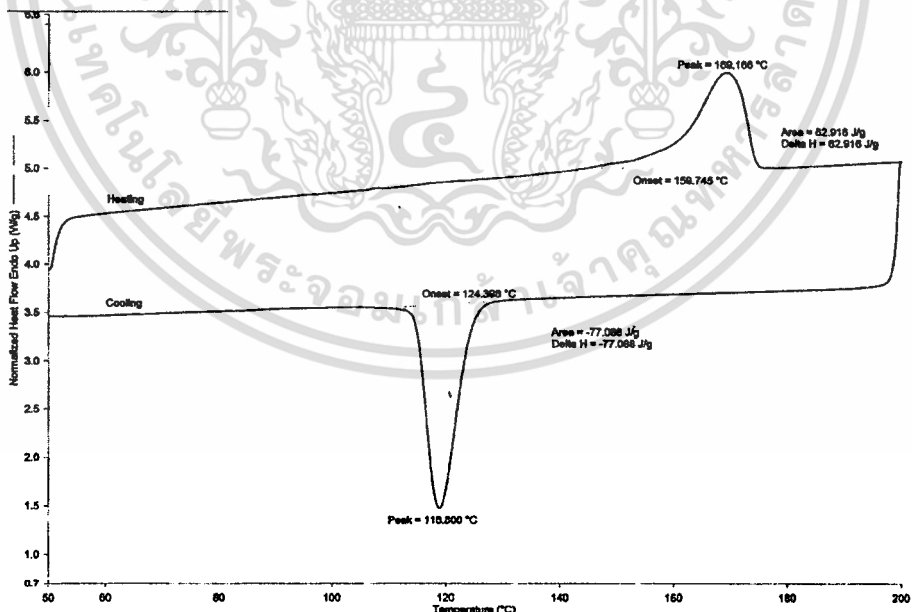


รูปที่ ก.2 DSC เทอร์โมแกรมแสดงอุณหภูมิการหลอมเหลวและเกิดผลึกของวัสดุผสมระหว่างพอลิพรอพิลีนและซีดีเอชขนาด 12-34 เมช ที่ปริมาณร้อยละ 30 โดยน้ำหนัก

เอกสารนี้เป็นเอกสารที่สงวนไว้สำหรับการใช้งานเพื่อการศึกษาเท่านั้น ไม่อนุญาตให้拿去ใช้ประโยชน์ด้านการค้า
ไม่ว่ากรณีใดๆทั้งสิ้น อีกทั้งห้ามมิให้ตัดแปลงเนื้อหา และต้องอ้างอิงถึงเจ้าของเอกสารทุกครั้งที่มีการนำไปใช้

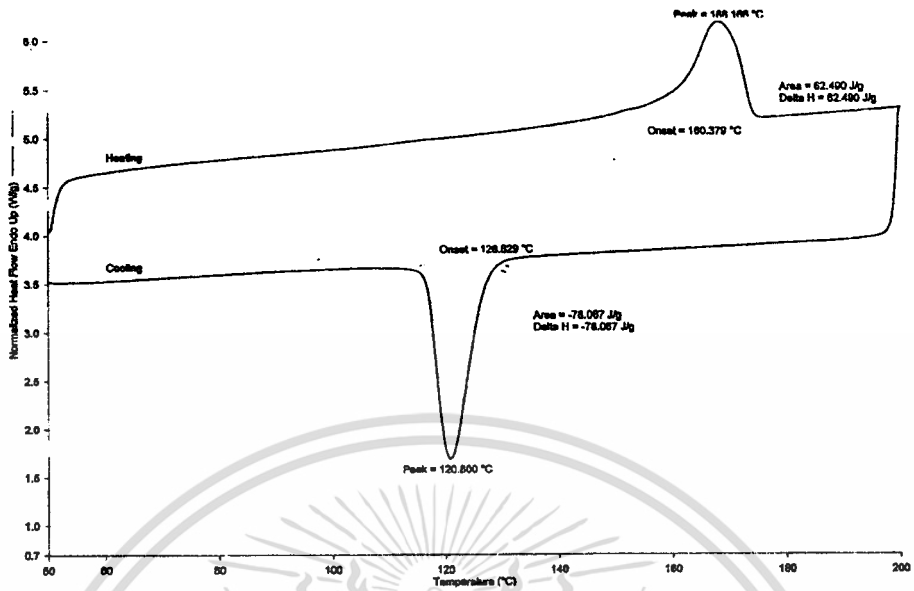


รูปที่ ก.3 DSC เทอร์โมแกรมแสดงอุณหภูมิการหลอมเหลวและเกิดผลึกของวัสดุผสมระหว่างพอลิพรอพิลีน และซีดีเอชขนาดมากกว่าหรือเท่ากับ 100 เมช ที่ปริมาณร้อยละ 30 โดยน้ำหนัก

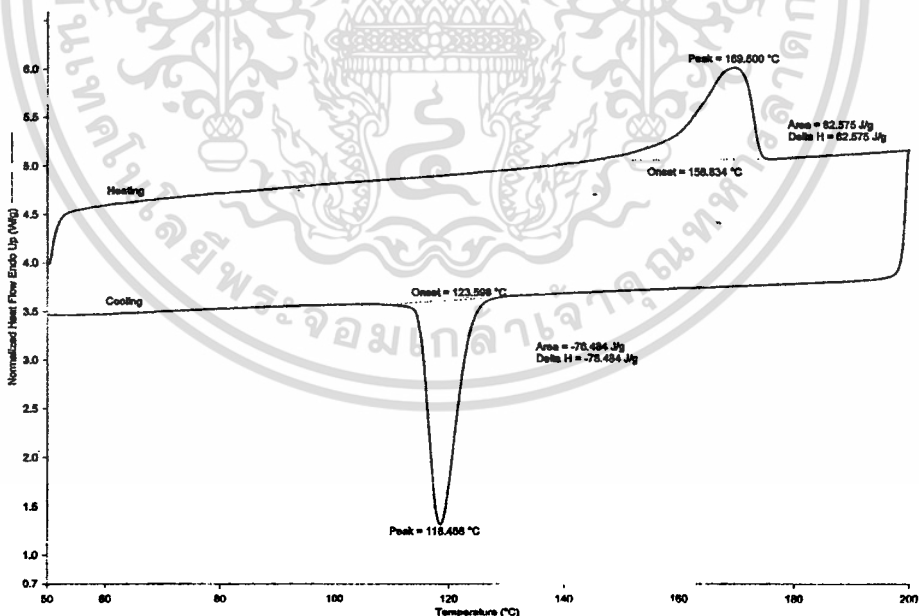


รูปที่ ก.4 DSC เทอร์โมแกรมแสดงอุณหภูมิการหลอมเหลวและเกิดผลึกของวัสดุผสมระหว่างพอลิพรอพิลีนและซีดีเอชขนาดมากกว่าหรือเท่ากับ 100 เมช ที่ปริมาณร้อยละ 30 โดยน้ำหนัก และเติมสารช่วยผสม MAPP ร้อยละ 5 โดยน้ำหนักซีดีเอช

เอกสารนี้เป็นเอกสารที่สงวนไว้สำหรับการใช้งานเพื่อการศึกษาเท่านั้น ไม่อนุญาตให้นำไปใช้ประโยชน์ด้านการค้า
ไม่ว่ากรณีใดๆทั้งสิ้น อีกทั้งห้ามมิให้คัดแปลงเนื้อหา และต้องอ้างอิงถึงเจ้าของเอกสารทุกครั้งที่มีการนำไปใช้

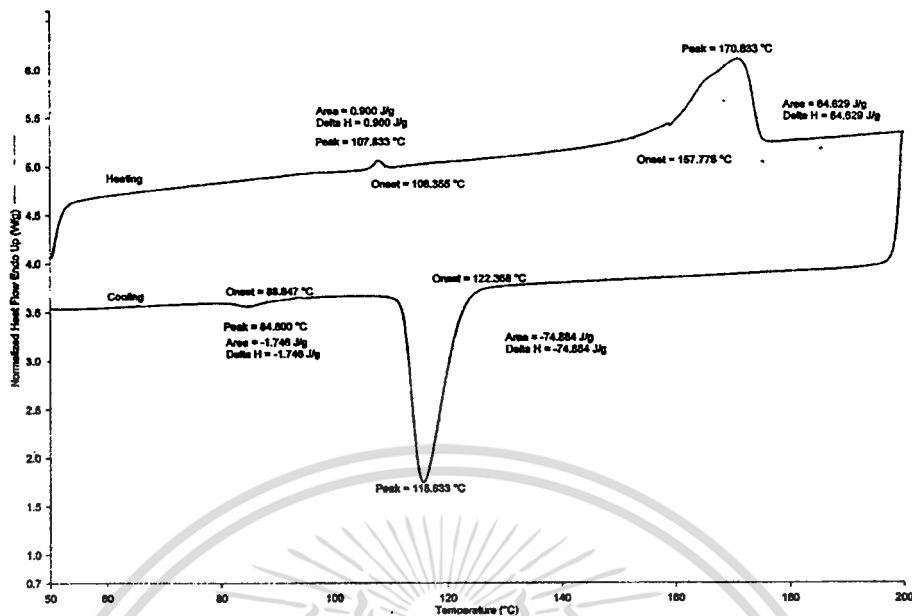


รูปที่ ก.5 DSC เทอร์โมแกรมแสดงอุณหภูมิการหลอมเหลวและเกิดผลึกของวัสดุผสมระหว่างพอลิพรอพิลีนและซีลีโอที่ปรับปรุงพื้นผิวด้วยไซเดียมไฮดรอกไซด์เข้มข้นร้อยละ 5 โดยน้ำหนัก นาน 60 นาที ขนาดมากกว่าหรือเท่ากับ 100 เมช ที่ปริมาณร้อยละ 30 โดยน้ำหนัก



รูปที่ ก.6 DSC เทอร์โมแกรมแสดงอุณหภูมิการหลอมเหลวและเกิดผลึกของวัสดุผสมระหว่างพอลิพรอพิลีนและซีลีโอที่ปรับปรุงพื้นผิวด้วยไซเดียมไฮดรอกไซด์เข้มข้นร้อยละ 15 โดยน้ำหนัก นาน 60 นาที ขนาดมากกว่าหรือเท่ากับ 100 เมช ที่ปริมาณร้อยละ 30 โดยน้ำหนัก

เอกสารนี้เป็นเอกสารที่สงวนไว้สำหรับการใช้งานเพื่อการศึกษาเท่านั้น ไม่อนุญาตให้นำไปใช้ประโยชน์ด้านการค้า
ไม่ว่ากรณีใดๆทั้งสิ้น อีกทั้งห้ามมิให้คัดแปลงเนื้อหา และต้องอ้างอิงถึงเจ้าของเอกสารทุกครั้งที่มีการนำไปใช้



รูปที่ ก.7 DSC เทอร์โมแกรมแสดงอุณหภูมิการหลอมเหลวและเกิดผลึกของวัสดุผสมระหว่างพอลิพรอพิลีนและซีดีเอชที่ปรับปรุงพื้นผิวด้วยโซเดียมไฮดรอกไซด์เข้มข้นร้อยละ 15 โดยน้ำหนัก นาน 60 นาที ขนาดมากกว่าหรือเท่ากับ 100 เมช ที่ปริมาณร้อยละ 30 โดยน้ำหนัก และเติมสารช่วยผสม MAPP ร้อยละ 5 โดยน้ำหนักซีดีเอช

เอกสารนี้เป็นเอกสารที่สงวนไว้สำหรับการใช้งานเพื่อการศึกษาเท่านั้น ไม่อนุญาตให้นำไปใช้ประโยชน์ด้านการค้า
ไม่ว่ากรณีใดๆทั้งสิ้น อีกทั้งห้ามมิให้ดัดแปลงเนื้อหา และต้องอ้างอิงถึงเจ้าของเอกสารทุกครั้งที่มีการนำไปใช้

ภาคผนวก ข

การคำนวณปริมาณความเป็นผลึกของวัสดุผสมระหว่างพอลิพรอพิลีนและซีดีเอช

การคำนวณปริมาณความเป็นผลึกของวัสดุผสมระหว่างพอลิพรอพิลีนและซีดีเอช สามารถทำได้ดังสมการต่อไปนี้

$$\Delta H_f = \frac{\text{พื้นที่ใต้กราฟ(mJ)}}{\text{น้ำหนักของสารตัวอย่าง (mg)}}$$

$$\text{Degree of crystallinity} = \frac{\Delta H_f / \text{fraction of PP (0.7)} * 100}{\Delta H_f^\circ}$$

เมื่อ ΔH_f = Enthalpy of fusion ของสารซึ่งได้จากพื้นที่ใต้กราฟ (J/g)

ΔH_f° = Enthalpy of fusion ของพอลิพรอพิลีนที่มีความเป็นผลึก 100 % เท่ากับ 165 J/g [45]

ตัวอย่างการคำนวณ

วัสดุผสมระหว่างวัสดุผสมระหว่างพอลิพรอพิลีนและซีดีเอชที่มีขนาดมากกว่าหรือเท่ากับ 100 เมช โดยมีปริมาณซีดีเอชร้อยละ 30 โดยน้ำหนัก มี $\Delta H_f = 40 \text{ J/g}$

$$\text{จากสูตร Degree of crystallinity} = \frac{\Delta H_f / \text{fraction of PP (0.7)} * 100}{\Delta H_f^\circ}$$

$$= \frac{40 * 100}{165 * 0.7}$$

$$= 51.69$$

ดังนั้น วัสดุผสมระหว่างวัสดุผสมระหว่างพอลิพรอพิลีนและซีดีเอชที่มีขนาดมากกว่าหรือเท่ากับ 100 เมช ที่ปริมาณซีดีเอชร้อยละ 30 โดยน้ำหนัก มี $\Delta H_f = 40 \text{ J/g}$ มีปริมาณความเป็นผลึกเท่ากับ 51.69 %

ภาคผนวก ก

ตารางแสดงสมบัติเชิงกลของวัสดุผสมระหว่างพอลิพรอพิลีนและซีดีเอช

ตารางที่ ค.1 ความแข็งแรงดึง

ชนิดทดสอบ	Tensile strength (MPa)
Pure PP	27.5 ± 0.2
PP + SD 12-34 เมช ที่ 15 %	16.4 ± 0.2
PP + SD 12-34 เมช ที่ 30 %	14.7 ± 0.2
PP + SD 12-34 เมช ที่ 45 %	14.1 ± 0.5
PP + SD 35-99 เมช ที่ 15 %	16.6 ± 0.4
PP + SD 35-99 เมช ที่ 30 %	14.9 ± 0.6
PP + SD 35-99 เมช ที่ 45 %	14.3 ± 0.1
PP + SD ≥100 เมช ที่ 15 %	17.4 ± 0.4
PP + SD ≥100 เมช ที่ 30 %	15.7 ± 0.5
PP + SD ≥100 เมช ที่ 45 %	14.2 ± 0.2
PP + SD ≥100 เมช ที่ 30 % + MAPP 2%	16.4 ± 0.3
PP + SD ≥100 เมช ที่ 30 % + MAPP 3%	16.5 ± 0.3
PP + SD ≥100 เมช ที่ 30 % + MAPP 5%	16.9 ± 0.3
PP + SD ≥100 เมช ที่ 30 % + NaOH 5% 30 นาที	17.0 ± 0.3
PP + SD ≥100 เมช ที่ 30 % + NaOH 5% 60 นาที	17.0 ± 0.3
PP + SD ≥100 เมช ที่ 30 % + NaOH 5% 120 นาที	16.2 ± 0.5
PP + SD ≥100 เมช ที่ 30 % + NaOH 10% 30 นาที	16.6 ± 0.2
PP + SD ≥100 เมช ที่ 30 % + NaOH 10% 60 นาที	15.7 ± 0.5
PP + SD ≥100 เมช ที่ 30 % + NaOH 10% 120 นาที	15.6 ± 0.3
PP + SD ≥100 เมช ที่ 30 % + NaOH 15% 30 นาที	15.8 ± 0.2
PP + SD ≥100 เมช ที่ 30 % + NaOH 15% 60 นาที	15.6 ± 0.4
PP + SD ≥100 เมช ที่ 30 % + NaOH 15% 120 นาที	15.2 ± 0.5
PP + SD ≥100 เมช ที่ 30 % + NaOH 5% 60 นาที + MAPP 5%	17.1 ± 0.4

เอกสารนี้เป็นเอกสารต้นฉบับไว้สำหรับการใช้งานเพื่อการศึกษาเท่านั้น ไม่อนุญาตให้拿去ใช้ประโยชน์ด้านการค้า

ไม่ว่ากรณีใดๆทั้งสิ้น อีกทั้งห้ามมิให้คัดแปลงเนื้อหา และต้องอ้างอิงถึงเจ้าของเอกสารทุกครั้งที่มีการนำไปใช้

ตารางที่ ค.2 ร้อยละการดึงยืด ณ จุดคราก

ชนิดทดสอบ	Elongation at yield (%)
Pure PP	7.4±0.3
PP + SD 12-34 เมช ที่ 15 %	4.2±0.1
PP + SD 12-34 เมช ที่ 30 %	4.1±0.1
PP + SD 12-34 เมช ที่ 45 %	3.8±0.2
PP + SD 35-99 เมช ที่ 15 %	4.2±0.2
PP + SD 35-99 เมช ที่ 30 %	4.3±0.1
PP + SD 35-99 เมช ที่ 45 %	3.9±0.2
PP + SD ≥100 เมช ที่ 15 %	4.5±0.1
PP + SD ≥100 เมช ที่ 30 %	4.4±0.1
PP + SD ≥100 เมช ที่ 45 %	4.3±0.2
PP + SD ≥100 เมช ที่ 30 % + MAPP 2%	4.5±0.1
PP + SD ≥100 เมช ที่ 30 % + MAPP 3%	4.4±0.1
PP + SD ≥100 เมช ที่ 30 % + MAPP 5%	4.6±0.1
PP + SD ≥100 เมช ที่ 30 % + NaOH 5% 30 นาที	4.7±0.1
PP + SD ≥100 เมช ที่ 30 % + NaOH 5% 60 นาที	4.7±0.1
PP + SD ≥100 เมช ที่ 30 % + NaOH 5% 120 นาที	4.8±0.1
PP + SD ≥100 เมช ที่ 30 % + NaOH 10% 30 นาที	4.8±0.1
PP + SD ≥100 เมช ที่ 30 % + NaOH 10% 60 นาที	4.7±0.1
PP + SD ≥100 เมช ที่ 30 % + NaOH 10% 120 นาที	4.6±0.2
PP + SD ≥100 เมช ที่ 30 % + NaOH 15% 30 นาที	4.8±0.2
PP + SD ≥100 เมช ที่ 30 % + NaOH 15% 60 นาที	4.5±0.1
PP + SD ≥100 เมช ที่ 30 % + NaOH 15% 120 นาที	4.2±0.1
PP + SD ≥100 เมช ที่ 30 % + NaOH 5% 60 นาที + MAPP 5%	4.9±0.1

เอกสารนี้เป็นเอกสารที่สงวนไว้สำหรับการใช้งานเพื่อการศึกษาเท่านั้น ไม่อนุญาตให้拿去ใช้ประโยชน์ด้านการค้า
ไม่ว่ากรณีใดๆทั้งสิ้น อีกทั้งห้ามมิให้ตัดแปลงเนื้อหา และต้องอ้างอิงถึงเจ้าของเอกสารทุกครั้งที่มีการนำไปใช้

ตารางที่ ค.3มอดูลัสแรงดึง

ชนิดทดสอบ	Tensile modulus (MPa)
Pure PP	160.5±8.8
PP + SD 12-34 เมช ที่ 15 %	274.4±8.1
PP + SD 12-34 เมช ที่ 30 %	330.0±9.3
PP + SD 12-34 เมช ที่ 45 %	440.4±6.3
PP + SD 35-99 เมช ที่ 15 %	330.0±9.2
PP + SD 35-99 เมช ที่ 30 %	342.6±7.4
PP + SD 35-99 เมช ที่ 45 %	356.7±8.5
PP + SD ≥100 เมช ที่ 15 %	359.2±6.3
PP + SD ≥100 เมช ที่ 30 %	379.0±8.4
PP + SD ≥100 เมช ที่ 45 %	421.6±6.3
PP + SD ≥100 เมช ที่ 30 % + MAPP 2%	377.3±7.7
PP + SD ≥100 เมช ที่ 30 % + MAPP 3%	380.6±4.9
PP + SD ≥100 เมช ที่ 30 % + MAPP 5%	395.0±4.2
PP + SD ≥100 เมช ที่ 30 % + NaOH 5% 30 นาที	395.7±12.4
PP + SD ≥100 เมช ที่ 30 % + NaOH 5% 60 นาที	408.2±12.2
PP + SD ≥100 เมช ที่ 30 % + NaOH 5% 120 นาที	383.1±9.2
PP + SD ≥100 เมช ที่ 30 % + NaOH 10% 30 นาที	382.6±4.7
PP + SD ≥100 เมช ที่ 30 % + NaOH 10% 60 นาที	385.5±3.9
PP + SD ≥100 เมช ที่ 30 % + NaOH 10% 120 นาที	379.1±10.2
PP + SD ≥100 เมช ที่ 30 % + NaOH 15% 30 นาที	392.9±5.5
PP + SD ≥100 เมช ที่ 30 % + NaOH 15% 60 นาที	381.5±8.9
PP + SD ≥100 เมช ที่ 30 % + NaOH 15% 120 นาที	376.4±7.2
PP + SD ≥100 เมช ที่ 30 % + NaOH 5% 60 นาที + MAPP 5%	410.1±11.0

เอกสารนี้เป็นเอกสารที่สงวนไว้สำหรับการใช้งานเพื่อการศึกษาเท่านั้น ไม่อนุญาตให้拿去ใช้ประโยชน์ด้านการค้า
ไม่ว่ากรณีใดๆทั้งสิ้น อีกทั้งห้ามมิให้ตัดแปลงเนื้อหา และต้องอ้างอิงถึงเจ้าของเอกสารทุกครั้งที่มีการนำไปใช้

ตารางที่ ค.4 ความแข็งแรงโค้งงอ

ชนิดทดสอบ	Flexural strength (MPa)
Pure PP	40.9±0.5
PP + SD 12-34 เมช ที่ 15 %	35.9±0.5
PP + SD 12-34 เมช ที่ 30 %	33.1±0.9
PP + SD 12-34 เมช ที่ 45 %	27.1±0.4
PP + SD 35-99 เมช ที่ 15 %	37.9±0.5
PP + SD 35-99 เมช ที่ 30 %	35.5±1.0
PP + SD 35-99 เมช ที่ 45 %	33.5±0.7
PP + SD ≥100 เมช ที่ 15 %	39.5±1.0
PP + SD ≥100 เมช ที่ 30 %	36.8±0.4
PP + SD ≥100 เมช ที่ 45 %	34.7±1.0
PP + SD ≥100 เมช ที่ 30 % + MAPP 2%	36.7±0.8
PP + SD ≥100 เมช ที่ 30 % + MAPP 3%	37.5±0.7
PP + SD ≥100 เมช ที่ 30 % + MAPP 5%	38.2±0.3
PP + SD ≥100 เมช ที่ 30 % + NaOH 5% 30 นาที	36.7±0.4
PP + SD ≥100 เมช ที่ 30 % + NaOH 5% 60 นาที	38.3±0.5
PP + SD ≥100 เมช ที่ 30 % + NaOH 5% 120 นาที	35.1±1.0
PP + SD ≥100 เมช ที่ 30 % + NaOH 10% 30 นาที	39.9±1.1
PP + SD ≥100 เมช ที่ 30 % + NaOH 10% 60 นาที	36.0±1.0
PP + SD ≥100 เมช ที่ 30 % + NaOH 10% 120 นาที	36.8±0.9
PP + SD ≥100 เมช ที่ 30 % + NaOH 15% 30 นาที	36.2±0.8
PP + SD ≥100 เมช ที่ 30 % + NaOH 15% 60 นาที	34.4±0.5
PP + SD ≥100 เมช ที่ 30 % + NaOH 15% 120 นาที	28.9±1.0
PP + SD ≥100 เมช ที่ 30 % + NaOH 5% 60 นาที + MAPP 5%	39.7±0.4

เอกสารนี้เป็นเอกสารที่สงวนไว้สำหรับการใช้งานเพื่อการศึกษาเท่านั้น ไม่อนุญาตให้นำไปใช้ประโยชน์ด้านการค้า
ไม่ว่ากรณีใดๆทั้งสิ้น อีกทั้งห้ามมิให้ตัดแปลงเนื้อหา และต้องอ้างอิงถึงเจ้าของเอกสารทุกครั้งที่มีการนำไปใช้

ตารางที่ ค.5 มอดุลัสโค้งงอ

ชนิดทดสอบ	Flexural modulus (MPa)
Pure PP	1040.8±17.8
PP + SD 12-34 เมช ที่ 15 %	1133.2±17.9
PP + SD 12-34 เมช ที่ 30 %	1178.8±36.4
PP + SD 12-34 เมช ที่ 45 %	1184.0±24.7
PP + SD 35-99 เมช ที่ 15 %	1175.6±29.1
PP + SD 35-99 เมช ที่ 30 %	1195.6±39.4
PP + SD 35-99 เมช ที่ 45 %	1206.8±25.5
PP + SD ≥100 เมช ที่ 15 %	1199.25±10.2
PP + SD ≥100 เมช ที่ 30 %	1205.4±18.4
PP + SD ≥100 เมช ที่ 45 %	1217±24.6
PP + SD ≥100 เมช ที่ 30 % + MAPP 2%	1190.4±35.6
PP + SD ≥100 เมช ที่ 30 % + MAPP 3%	1207.0±43.8
PP + SD ≥100 เมช ที่ 30 % + MAPP 5%	1303.5±18.8
PP + SD ≥100 เมช ที่ 30 % + NaOH 5% 30 นาที	1201.4±39.5
PP + SD ≥100 เมช ที่ 30 % + NaOH 5% 60 นาที	1299.2±37.3
PP + SD ≥100 เมช ที่ 30 % + NaOH 5% 120 นาที	1029.9±35.3
PP + SD ≥100 เมช ที่ 30 % + NaOH 10% 30 นาที	1127.2±38.6
PP + SD ≥100 เมช ที่ 30 % + NaOH 10% 60 นาที	1045.6±29.1
PP + SD ≥100 เมช ที่ 30 % + NaOH 10% 120 นาที	872.4±23.6
PP + SD ≥100 เมช ที่ 30 % + NaOH 15% 30 นาที	1116.7±23.3
PP + SD ≥100 เมช ที่ 30 % + NaOH 15% 60 นาที	1030.9±33.9
PP + SD ≥100 เมช ที่ 30 % + NaOH 15% 120 นาที	868.26±28.4
PP + SD ≥100 เมช ที่ 30 % + NaOH 5% 60 นาที + MAPP 5%	1398.6±16.9

เอกสารนี้เป็นเอกสารที่สงวนไว้สำหรับการใช้งานเพื่อการศึกษาเท่านั้น ไม่อนุญาตให้拿去ใช้ประโยชน์ด้านการค้า
ไม่ว่ากรณีใดๆทั้งสิ้น อีกทั้งห้ามมิให้ตัดแปลงเนื้อหา และต้องอ้างอิงถึงเจ้าของเอกสารทุกครั้งที่มีการนำไปใช้

ตารางที่ ค.6 ความแข็งแรงกระแทก

ชนิดทดสอบ	Impact strength (kJ/m ²)
Pure PP	2.25±0.1
PP + SD 12-34 เมช ที่ 15 %	2.26±0.2
PP + SD 12-34 เมช ที่ 30 %	2.57±0.1
PP + SD 12-34 เมช ที่ 45 %	2.52±0.1
PP + SD 35-99 เมช ที่ 15 %	2.32±0.03
PP + SD 35-99 เมช ที่ 30 %	2.47±0.03
PP + SD 35-99 เมช ที่ 45 %	2.49±0.1
PP + SD ≥100 เมช ที่ 15 %	2.26±0.1
PP + SD ≥100 เมช ที่ 30 %	2.30±0.1
PP + SD ≥100 เมช ที่ 45 %	2.34±0.05
PP + SD ≥100 เมช ที่ 30 % + MAPP 2%	2.24±0.1
PP + SD ≥100 เมช ที่ 30 % + MAPP 3%	2.11±0.1
PP + SD ≥100 เมช ที่ 30 % + MAPP 5%	2.26±0.03
PP + SD ≥100 เมช ที่ 30 % + NaOH 5% 30 นาที	2.26±0.03
PP + SD ≥100 เมช ที่ 30 % + NaOH 5% 60 นาที	2.26±0.1
PP + SD ≥100 เมช ที่ 30 % + NaOH 5% 120 นาที	2.25±0.1
PP + SD ≥100 เมช ที่ 30 % + NaOH 10% 30 นาที	2.22±0.03
PP + SD ≥100 เมช ที่ 30 % + NaOH 10% 60 นาที	2.23±0.04
PP + SD ≥100 เมช ที่ 30 % + NaOH 10% 120 นาที	2.25±0.1
PP + SD ≥100 เมช ที่ 30 % + NaOH 15% 30 นาที	2.22±0.1
PP + SD ≥100 เมช ที่ 30 % + NaOH 15% 60 นาที	2.20±0.04
PP + SD ≥100 เมช ที่ 30 % + NaOH 15% 120 นาที	1.96±0.1
PP + SD ≥100 เมช ที่ 30 % + NaOH 5% 60 นาที + MAPP 5%	2.37±0.1

เอกสารนี้เป็นเอกสารที่สงวนไว้สำหรับการใช้งานเพื่อการศึกษาเท่านั้น ไม่อนุญาตให้นำไปใช้ประโยชน์ด้านการค้า
ไม่ว่ากรณีใดๆทั้งสิ้น อีกทั้งห้ามมิให้ดัดแปลงเนื้อหา และต้องอ้างอิงถึงเจ้าของเอกสารทุกครั้งที่มีการนำไปใช้

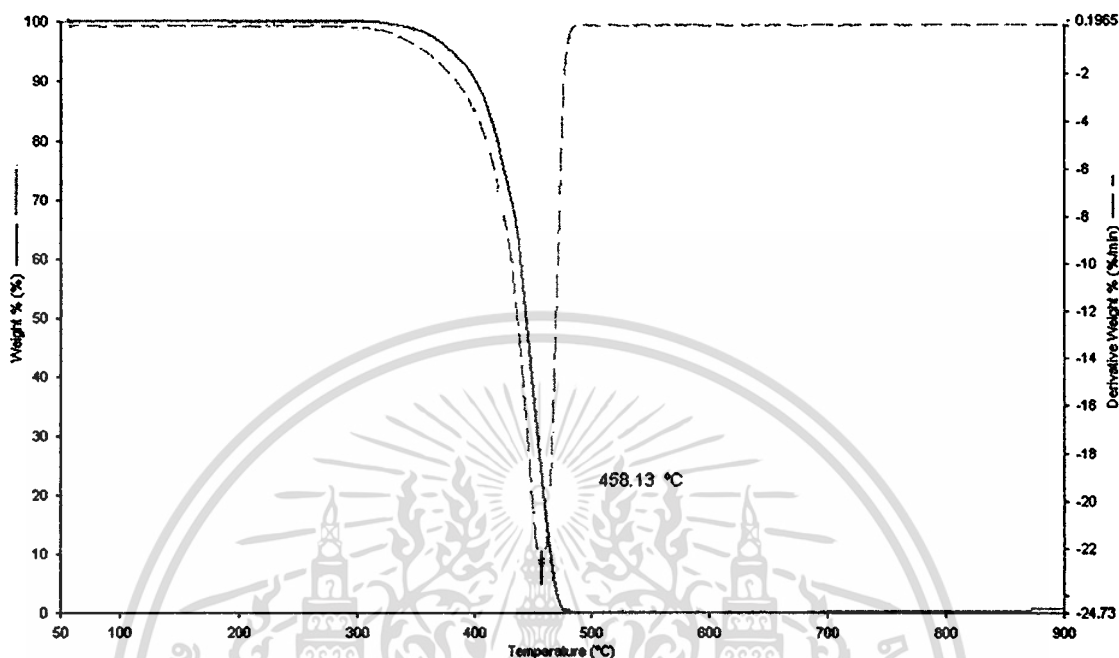
ตารางที่ ค.7 ความแข็งกด

ชนิดทดสอบ	Hardness (Shore D)
Pure PP	61.1±0.6
PP + SD 12-34 เมช ที่ 15 %	66.2±0.2
PP + SD 12-34 เมช ที่ 30 %	66.7±0.8
PP + SD 12-34 เมช ที่ 45 %	67.9±0.7
PP + SD 35-99 เมช ที่ 15 %	67.0±0.9
PP + SD 35-99 เมช ที่ 30 %	67.3±0.6
PP + SD 35-99 เมช ที่ 45 %	68.6±0.8
PP + SD ≥100 เมช ที่ 15 %	67.3±0.5
PP + SD ≥100 เมช ที่ 30 %	68.8±0.8
PP + SD ≥100 เมช ที่ 45 %	67.9±0.5
PP + SD ≥100 เมช ที่ 30 % + MAPP 2%	64.0±0.7
PP + SD ≥100 เมช ที่ 30 % + MAPP 3%	64.5±0.6
PP + SD ≥100 เมช ที่ 30 % + MAPP 5%	65.0±0.5
PP + SD ≥100 เมช ที่ 30 % + NaOH 5% 30 นาที	67.8±1.1
PP + SD ≥100 เมช ที่ 30 % + NaOH 5% 60 นาที	67.6±0.8
PP + SD ≥100 เมช ที่ 30 % + NaOH 5% 120 นาที	67.2±1.2
PP + SD ≥100 เมช ที่ 30 % + NaOH 10% 30 นาที	66.4±0.3
PP + SD ≥100 เมช ที่ 30 % + NaOH 10% 60 นาที	66.1±0.6
PP + SD ≥100 เมช ที่ 30 % + NaOH 10% 120 นาที	65.5±1.1
PP + SD ≥100 เมช ที่ 30 % + NaOH 15% 30 นาที	66.0±0.9
PP + SD ≥100 เมช ที่ 30 % + NaOH 15% 60 นาที	64.5±1.0
PP + SD ≥100 เมช ที่ 30 % + NaOH 15% 120 นาที	65.0±0.7
PP + SD ≥100 เมช ที่ 30 % + NaOH 5% 60 นาที + MAPP 5%	66.1±0.3

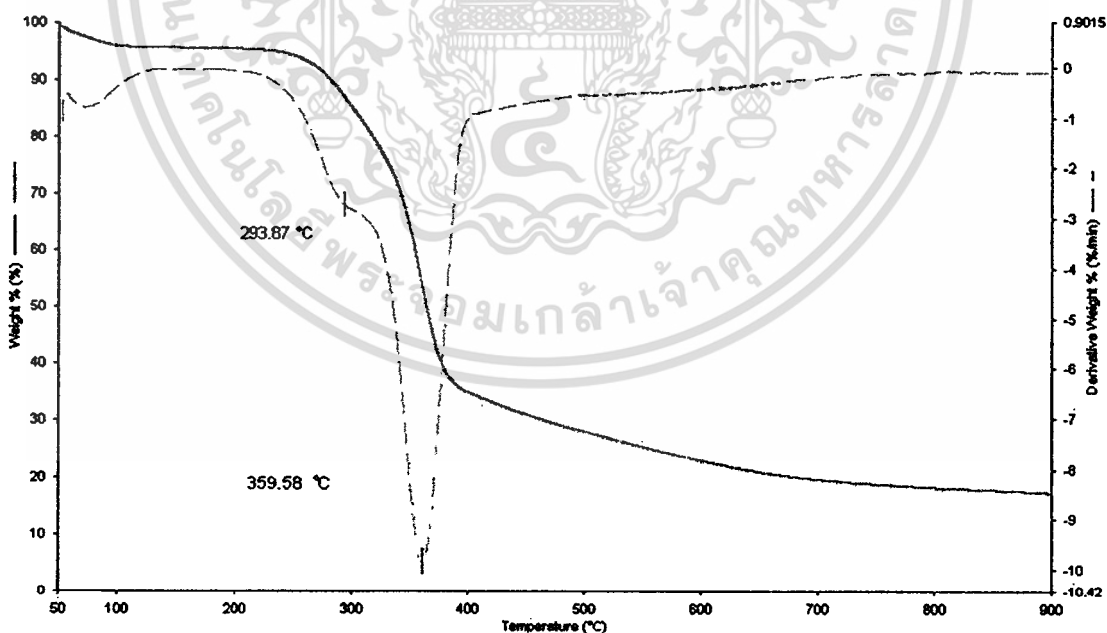
เอกสารนี้เป็นเอกสารที่สงวนไว้สำหรับการใช้งานเพื่อการศึกษาเท่านั้น ไม่อนุญาตให้拿去ใช้ประโยชน์ด้านการค้า
ไม่ว่ากรณีใดๆทั้งสิ้น อีกทั้งห้ามมิให้คัดแปลงเนื้อหา และต้องอ้างอิงถึงเจ้าของเอกสารทุกครั้งที่มีการนำไปใช้

ภาคผนวก ง

TG เทอร์โมแกรมของพอลิพรอพิลีน ชีเดี่ยว และวัสดุผสมระหว่างพอลิพรอพิลีนกับซีเดี่ยว

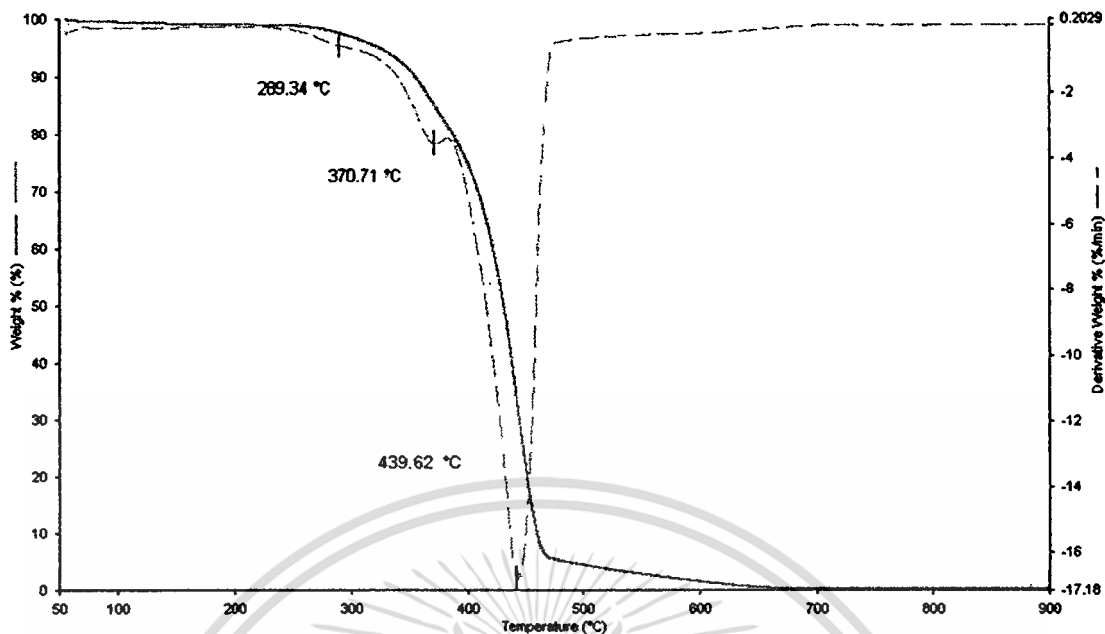


รูปที่ ง.1 DTG เทอร์โมแกรมแสดงอุณหภูมิเริ่มต้นการสลายตัวของพอลิพรอพิลีน

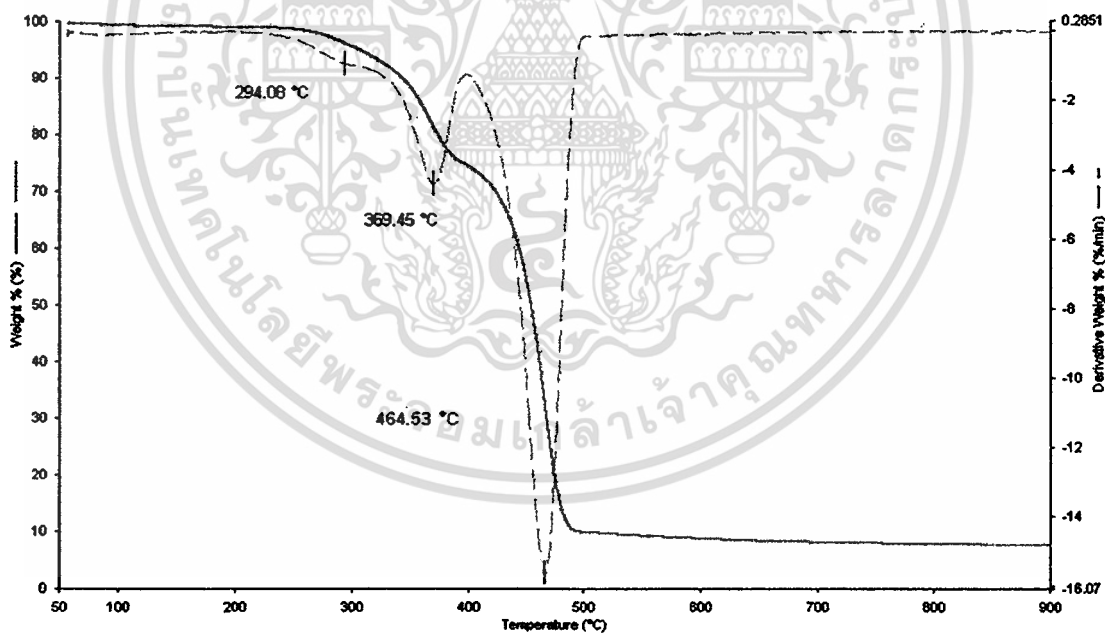


รูปที่ ง.2 DTG เทอร์โมแกรมแสดงอุณหภูมิเริ่มต้นการสลายตัวของซีเดี่ยวขนาดมากกว่าหรือเท่ากับ 100 เมช

เอกสารนี้เป็นเอกสารที่สงวนไว้สำหรับการใช้งานเพื่อการศึกษาเท่านั้น ไม่อนุญาตให้นำไปใช้ประโยชน์ด้านการค้า
ไม่ว่ากรณีใดๆทั้งสิ้น อีกทั้งห้ามมิให้ตัดแปลงเนื้อหา และต้องอ้างอิงถึงเจ้าของเอกสารทุกครั้งที่มีการนำไปใช้

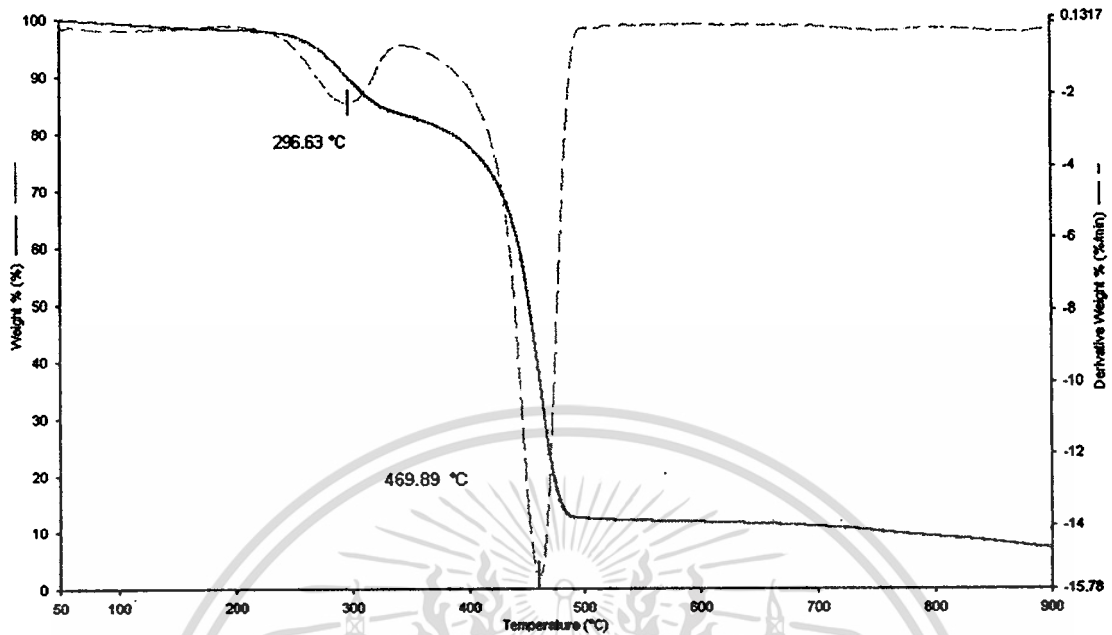


รูปที่ ง.3 DTG เทอร์โมแกรมแสดงอุณหภูมิเริ่มต้นการสลายตัวของวัสดุผสมระหว่างพอลิพรอพิลีน และซีลีเยียนขนาดมากกว่าหรือเท่ากับ 100 เมช ที่ปริมาณร้อยละ 30 โดยน้ำหนัก

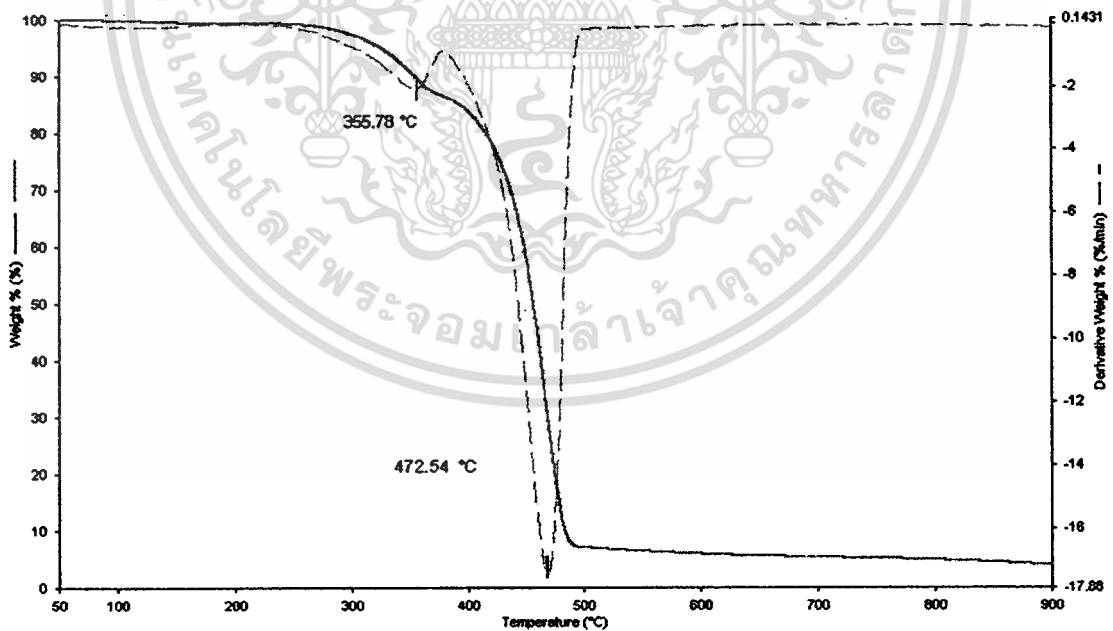


รูปที่ ง.4 DTG เทอร์โมแกรมแสดงอุณหภูมิเริ่มต้นการสลายตัวของวัสดุผสมระหว่างพอลิพรอพิลีน และซีลีเยียนขนาดมากกว่าหรือเท่ากับ 100 เมช ที่ปริมาณร้อยละ 30 โดยน้ำหนัก และเติม สารช่วยผสม MAPP ร้อยละ 5 โดยน้ำหนักซีลีเยีย

เอกสารนี้เป็นเอกสารที่สงวนไว้สำหรับการใช้งานเพื่อการศึกษาเท่านั้น ไม่อนุญาตให้นำไปใช้ประโยชน์ด้านการค้า
ไม่ว่ากรณีใดๆทั้งสิ้น อีกทั้งห้ามมิให้คัดแปลงเนื้อหา และต้องอ้างอิงถึงเจ้าของเอกสารทุกครั้งที่มีการนำไปใช้



รูปที่ 5.5 DTG เทอร์โมแกรมแสดงอุณหภูมิเริ่มต้นการสลายตัวของวัสดุผสมระหว่างพอลิพรอพิลีน และซีเมนต์ที่ปรับปรุงพื้นผิวด้วยโซเดียมไฮดรอกไซด์เข้มข้นร้อยละ 5 โดยน้ำหนัก นาน 60 นาที ขนาดมากกว่าหรือเท่ากับ 100 ไมครอน ที่ปริมาตรร้อยละ 30 โดยน้ำหนัก



รูปที่ 5.6 DTG เทอร์โมแกรมแสดงอุณหภูมิการหลอมเหลวและเกิดผลึกของวัสดุผสมระหว่าง พอลิพรอพิลีนและซีเมนต์ที่ปรับปรุงพื้นผิวด้วยโซเดียมไฮดรอกไซด์เข้มข้นร้อยละ 5 โดย น้ำหนัก นาน 60 นาที ขนาดมากกว่าหรือเท่ากับ 100 ไมครอน ที่ปริมาตรร้อยละ 30 โดยน้ำหนัก และเติมสารช่วยผสม MAPP ร้อยละ 5 โดยน้ำหนักซีเมนต์

เอกสารนี้เป็นเอกสารที่สงวนลิขสิทธิ์ไว้เพื่อการเรียนเพื่อการศึกษาเท่านั้น เมื่ออนุญาตให้นำไปใช้ประโยชน์ด้านการค้า

ไม่ว่ากรณีใดๆทั้งสิ้น อีกทั้งห้ามมิให้ดัดแปลงเนื้อหา และต้องอ้างอิงถึงเจ้าของเอกสารทุกครั้งที่มีการนำไปใช้

ภาคผนวก ง

ตารางแสดงร้อยละการดูดซึมน้ำของวัสดุผสมระหว่างพอลิพรอพิลีนและซีดีเอช

ตารางที่ ง.1 ร้อยละการดูดซึมน้ำ

ชนิดทดสอบ	Water absorption (%)
Pure PP 4 วัน	0.29 ± 0.1
Pure PP 7 วัน	0.43 ± 0.27
Pure PP 15 วัน	0.41 ± 0.15
Pure PP 30 วัน	0.48 ± 0.24
Pure PP 45 วัน	0.43 ± 0.20
Pure PP 605 วัน	0.41 ± 0.23
PP + SD ≥100 เมช ที่ 30 % 4 วัน	1.35±0.13
PP + SD ≥100 เมช ที่ 30 % 7 วัน	1.70± 0.17
PP + SD ≥100 เมช ที่ 30 % 15 วัน	1.98±0.21
PP + SD ≥100 เมช ที่ 30 % 30 วัน	2.83±0.19
PP + SD ≥100 เมช ที่ 30 % 45 วัน	3.38±0.36
PP + SD ≥100 เมช ที่ 30 % 60 วัน	3.55± 0.09
PP + SD ≥100 เมช ที่ 30 % + MAPP 5% 4 วัน	1.29±0.05
PP + SD ≥100 เมช ที่ 30 % + MAPP 5% 7 วัน	1.65± 0.04
PP + SD ≥100 เมช ที่ 30 % + MAPP 5% 15 วัน	1.92±0.03
PP + SD ≥100 เมช ที่ 30 % + MAPP 5% 30 วัน	2.41±0.06
PP + SD ≥100 เมช ที่ 30 % + MAPP 5% 45 วัน	2.9±0.07
PP + SD ≥100 เมช ที่ 30 % + MAPP 5% 60 วัน	3.17± 0.03

เอกสารนี้เป็นเอกสารที่สงวนไว้สำหรับการใช้งานเพื่อการศึกษาเท่านั้น ไม่อนุญาตให้นำไปใช้ประโยชน์ด้านการค้า
ไม่ว่ากรณีใดๆทั้งสิ้น อีกทั้งห้ามมิให้ตัดแปลงเนื้อหา และต้องอ้างอิงถึงเจ้าของเอกสารทุกครั้งที่มีการนำไปใช้

ชนิดทดสอบ	Water absorption (%)
PP + SD \geq 100 เมช ที่ 30 % + NaOH 5% 60 นาที 4 วัน	1.73 \pm 0.21
PP + SD \geq 100 เมช ที่ 30 % + NaOH 5% 60 นาที 7 วัน	2.10 \pm 0.21
PP + SD \geq 100 เมช ที่ 30 % + NaOH 5% 60 นาที 15 วัน	2.42 \pm 0.31
PP + SD \geq 100 เมช ที่ 30 % + NaOH 5% 60 นาที 30 วัน	3.44 \pm 0.22
PP + SD \geq 100 เมช ที่ 30 % + NaOH 5% 60 นาที 45 วัน	3.71 \pm 0.22
PP + SD \geq 100 เมช ที่ 30 % + NaOH 5% 60 นาที 60 วัน	4.03 \pm 0.31
PP + SD \geq 100 เมช ที่ 30 % + NaOH 5% 60 นาที+ MAPP 5% 3 วัน	1.14 \pm 0.02
PP + SD \geq 100 เมช ที่ 30 % + NaOH 5% 60 นาที+ MAPP 5% 7 วัน	1.45 \pm 0.11
PP + SD \geq 100 เมช ที่ 30 % + NaOH 5% 60 นาที+ MAPP 5% 15 วัน	1.74 \pm 0.11
PP + SD \geq 100 เมช ที่ 30 % + NaOH 5% 60 นาที+ MAPP 5% 30 วัน	2.54 \pm 0.42
PP + SD \geq 100 เมช ที่ 30 % + NaOH 5% 60 นาที+ MAPP 5% 45 วัน	3.45 \pm 0.16
PP + SD \geq 100 เมช ที่ 30 % + NaOH 5% 60 นาที+ MAPP 5% 60 วัน	3.58 \pm 0.29

เอกสารนี้เป็นเอกสารที่สงวนไว้สำหรับการใช้งานเพื่อการศึกษาเท่านั้น ไม่อนุญาตให้นำไปใช้ประโยชน์ด้านการค้า
ไม่ว่ากรณีใดๆทั้งสิ้น อีกทั้งห้ามมิให้คัดแปลงเนื้อหา และต้องอ้างอิงถึงเจ้าของเอกสารทุกครั้งที่มีการนำไปใช้

ประวัติผู้เขียน

ชื่อ	นริศรา บุครพริ้ง
วันเกิด	30 สิงหาคม พ.ศ. 2523
สถานที่เกิด	นครสวรรค์ ประเทศไทย
การศึกษา	-ระดับมัธยมศึกษาจากวิทยาลัยนาฏศิลป์อ่างทอง พ.ศ. 2534-2538 -ระดับมัธยมศึกษาปลายจากโรงเรียนสตรีนครสวรรค์ พ.ศ. 2538-2541 -ระดับปริญญาตรี (วท.บ. เคมี) จากภาควิชาเคมี คณะวิทยาศาสตร์และเทคโนโลยี สถาบันราชภัฏสวนดุสิต พ.ศ. 2541-2545



เอกสารนี้เป็นเอกสารที่สงวนไว้สำหรับการใช้งานเพื่อการศึกษาเท่านั้น ไม่อนุญาตให้นำไปใช้ประโยชน์ด้านการค้า
ไม่ว่ากรณีใดๆทั้งสิ้น อีกทั้งห้ามมิให้ตัดแปลงเนื้อหา และต้องอ้างอิงถึงเจ้าของเอกสารทุกครั้งที่มีการนำไปใช้